

การควบคุมมอเตอร์เหนี่ยวนำไฟเดี่ยวต่อขานานด้วยฟซชีล้อจิก¹
และการประยุกต์กับเครื่องสับพืช

นายศักดิ์ระวี ระวีกุล

วิทยานิพนธ์นี้สำหรับการศึกษาตามหลักสูตรปริญญาวิศวกรรมศาสตรดุษฎีบัณฑิต
สาขาวิชาวิศวกรรมไฟฟ้า
มหาวิทยาลัยเทคโนโลยีสุรนารี
ปีการศึกษา 2552

**CONTROL OF SINGLE-PHASE INDUCTION MOTORS
IN PARALLEL CONNECTION USING FUZZY LOGIC
AND AN APPLICATION TO A CROP
CHOPPING MACHINE**

Sakrawee Raweekul

**A Thesis Submitted in Fulfillment of the Requirements for the
Degree of Doctor of Philosophy in Electrical Engineering**

Suranaree University of Technology

Academic Year 2009

การควบคุมมอเตอร์เหนี่ยวนำไฟเดี่ยวต่อขานด้วยฟลีซิล็อก
และการประยุกต์กับเครื่องสับพืช

มหาวิทยาลัยเทคโนโลยีสุรนารี อนุมัติให้นับวิทยานิพนธ์บัณฑิตสำหรับการศึกษา^{นี้}
ตามหลักสูตรปริญญาดุษฎีบัณฑิต

คณะกรรมการสอบวิทยานิพนธ์

(รศ. ดร. กิตติ อัตถกิจมงคล)

ประธานกรรมการ

(ศ. น.ท. ดร. สรา Vu ศุจิธรรม)

กรรมการ (อาจารย์ที่ปรึกษาวิทยานิพนธ์)

(รศ. น.อ. ดร. สมชาย หาญกล้า)

กรรมการ

(รศ. ดร. โภสินทร์ จำรงไทย)

กรรมการ

(อ. ดร. นิมิต ชนนาวงศ์)

กรรมการ

(ศ. ดร. ชุกิจ ลิมปีจำนวนค์)
รองอธิการบดีฝ่ายวิชาการ

(รศ. น.อ. ดร. วรพจน์ คำพิช)
คณบดีสำนักวิชาชีวกรรมศาสตร์

ศักดิ์ระวี ระวีกุล : การควบคุมมอเตอร์หนี่ยวนำเฟสเดียวต่อขนาดด้วยฟซซีโลจิกและการประยุกต์กับเครื่องสับพืช (CONTROL OF SINGLE-PHASE INDUCTION MOTORS IN PARALLEL CONNECTION USING FUZZY LOGIC AND AN APPLICATION TO A CROP CHOPPING MACHINE) อาจารย์ที่ปรึกษา : ศาสตราจารย์ นavaอาภาโท ดร.สราวนิ สุจิตจร, 193 หน้า.

การวิจัยวิทยานิพนธ์นี้ได้พัฒนาองค์ความรู้การขับมอเตอร์หนี่ยวนำเฟสเดียวพิกัดกำลังต่ำ ที่นำมาต่อขนาดกันหลายตัวและขับด้วยอินเวอร์เตอร์ แหล่งจ่ายแรงดันชุดเดียว ในการพัฒนาแบบจำลองทางคณิตศาสตร์ของมอเตอร์อาศัยหลักการโกรงแบบ d-q เป็นพื้นฐานคำนวณ การ จำลองผล เพื่อหาผลตอบสนองพลวัตของระบบที่ได้พัฒนาขึ้น องค์ความรู้ดังกล่าวนี้ได้ถูกนำมาประยุกต์กับเครื่องสับพืชผลทางการเกษตรที่ได้พัฒนาขึ้น เครื่องจักรดังกล่าวประกอบด้วยใบมีดสามชุด แต่ละชุดขับด้วยมอเตอร์หนี่ยวนำเฟสเดียว มอเตอร์ทั้งสามตัวต่อขนาดกันรับกำลังจากอินเวอร์เตอร์แหล่งจ่ายแรงดันตัวเดียว การควบคุมเครื่องสับพืชดังกล่าวกระทำเพื่อคุณค่าอัตรา เร็วรองของมอเตอร์ทั้งสามตัวไว้ที่ 1200 รอบต่อนาที โดยยอมให้มีความผิดพลาดในสถานะอยู่ตัวของอัตราเร็วได้ $\pm 5\%$ ตัวควบคุมที่พัฒนาขึ้นเป็นตัวควบคุมฟซซีแบบจัดการตัวเอง ใช้กฎการควบคุมฟซซีแบบ 2 อินพุต และ 1 เอ้าต์พุต องค์ประกอบของชาร์ดแวร์ที่ใช้ทดสอบแนวคิดประกอบด้วยเครื่องสับพืชอินเวอร์เตอร์ (Frecon 3.7 kW) และไมโครคอนโทรลเลอร์ (ARM7024) จากการทดสอบเครื่องจักรด้วยระบบควบคุมฟซซีที่ได้พัฒนาขึ้น โดยการสับพืชผลทางการเกษตรหลากหลายชนิด ให้ผลอย่างน่าพึงพอใจดังที่ได้อธิบายไว้ในวิทยานิพนธ์

สาขาวิชา วิศวกรรมไฟฟ้า
ปีการศึกษา 2552

ลายมือชื่อนักศึกษา _____
ลายมือชื่ออาจารย์ที่ปรึกษา _____
ลายมือชื่ออาจารย์ที่ปรึกษาร่วม _____

SAKRAWEE RAWEEKUL : CONTROL OF SINGLE-PHASE INDUCTION MOTORS IN PARALLEL CONNECTION USING FUZZY LOGIC AND AN APPLICATION TO A CROP CHOPPING MACHINE. THESIS ADVISOR : PROF. WNG. CMDR. SARAWUT SUJITJORN, Ph.D., 193 PP.

CROP CHOPPING MACHINE/SELF-ORGANIZING FUZZY CONTROL

This research thesis has developed some new knowledge on driving multiple single-phase induction motors of fractional horsepower in parallel connection using a voltage-source inverter. Mathematical models based on the dq-frame system have been developed with corresponding simulation tasks carried out to investigate the system dynamic responses. The knowledge gained is applied to a novel agricultural crop chopping machine developed. The machine comprises three sets of blades each of which is driven by a single-phase induction motor. The three motors in parallel connection are fed by a single inverter. To control the chopping machine, the motor speeds are regulated to 1,200 rpm with $\pm 5\%$ allowance of steady-state speed errors. The developed controller is a self-organizing fuzzy controller using two-input-single-output fuzzy rule sets. The main hardware components for testing the concepts include the crop chopping machine, an inverter (Frecon 3.7 kW) and a microcontroller (ARM7024). Testing of the machine with the developed fuzzy control to chop various kinds of crops renders very satisfactory results as the details are elaborated by this thesis.

School of Electrical Engineering

Student's Signature_____

Academic Year 2009

Advisor's Signature_____

Co-advisor's Signature_____

กิตติกรรมประกาศ

ผู้วิจัยขอบพระคุณบุคคล และกลุ่มนบุคคลต่อไปนี้ ที่ได้กรุณาให้คำปรึกษา แนะนำและช่วยเหลืออย่างดีเยี่ยม ทั้งในด้านวิชาการและด้านการดำเนินงานวิจัย

ศาสตราจารย์ นาวาอากาศโท ดร.สราวนิสุจิตร อาจารย์ที่ปรึกษาวิทยานิพนธ์ และผู้ช่วยศาสตราจารย์ ดร.ชนิดชัย ฤทธิวรรณนิชพงษ์ อาจารย์ที่ปรึกษาร่วม ที่เมตตาให้การอบรมสั่งสอน ชี้แนะแนวทางอันเป็นประโยชน์ยิ่งต่องานวิจัย รวมถึงได้ช่วยตรวจสอบ และแก้ไขรายงานวิทยานิพนธ์เล่มนี้จนทำให้มีความสมบูรณ์ยิ่งขึ้น ช่วยเหลือในการทำการศึกษาวิจัย ตลอดจนให้คำแนะนำในการเขียน และตรวจแก้ไขวิทยานิพนธ์จนเสร็จสมบูรณ์

อาจารย์ประจำสาขาวิชากรรมไฟฟ้า มหาวิทยาลัยเทคโนโลยีสุรนารีทุกท่าน รวมถึงรองศาสตราจารย์ ศุภชัย ประเสริฐสกุล ผู้ช่วยศาสตราจารย์ ดร.เดชา พวงศาวเรือง อาจารย์วิชัย ศรีสุรักษ์ และ คุณคัมภีร์ ศิริคณะรัตน์ ที่ได้กรุณาให้คำปรึกษา และแนะนำความรู้ทางวิชาการอย่างดีเยี่ยมมาโดยตลอด

ขอบคุณ คุณอัญชลี รักด่านกลาง และ คุณภัทรวรรณ สิทธิกวินกุล ที่ให้ความช่วยเหลือดูแลเรื่องเอกสาร และขอบคุณเจ้าหน้าที่ศูนย์เครื่องมือวิทยาศาสตร์ มหาวิทยาลัยเทคโนโลยีสุรนารี ทุกท่านที่อำนวยความสะดวกให้กับผู้วิจัยตลอดระยะเวลาที่ศึกษา

ขอบคุณบริษัท A.P.Y Engineering และวิศวกรที่ปรึกษา ที่ได้ให้ความช่วยเหลือในด้านเทคนิคและข้อมูลที่เกี่ยวข้องสำหรับระบบสารดิจิทัล

ขอบคุณ พี่ ๆ เพื่อน ๆ น้อง ๆ บันทึกศึกษาทุกท่าน ที่ให้คำแนะนำในการทำวิจัย ให้ข้อมูลที่เป็นประโยชน์ต่อผู้วิจัย

ท้ายนี้ผู้วิจัยขอกราบขอบพระคุณ คุณพ่อวีระ คุณแม่จารัส ระวีกุล รวมถึงญาติพี่น้องของผู้วิจัยทุกท่านที่ได้ให้ความรัก ความอบอุ่น ความห่วงใย การอบรมเลี้ยงดู ให้กำลังใจในยามที่ผู้วิจัยท้อแท้ และให้การสนับสนุนทางด้านการศึกษาอย่างดีเยี่ยมมาโดยตลอด

ศักดิ์ระวี ระวีกุล

สารบัญ

หน้า

บทคัดย่อ (ภาษาไทย)	ก
บทคัดย่อ (ภาษาอังกฤษ)	ข
กิตติกรรมประกาศ	ค
สารบัญ	ง
สารบัญตาราง	ช
สารบัญรูป	ฉ
คำอธิบายสัญลักษณ์	ฉ
บทที่	
1 บทนำ	1
1.1 ความสำคัญที่มาของปัญหาการวิจัย	1
1.2 วัตถุประสงค์ของการวิจัย	2
1.3 ข้อตกลงเบื้องต้น	2
1.4 ขอบเขตของการวิจัย	3
1.5 ประโยชน์ที่คาดว่าจะได้รับ	3
1.6 การจัดรูปเล่มวิทยานิพนธ์	3
2 ปริทัศน์วรรณกรรมและงานวิจัยที่เกี่ยวข้อง	5
2.1 บทนำ	5
2.2 เครื่องสับพีช	5
2.3 การขับเคลื่อนมอเตอร์เหนี่ยวนำที่ต้องนานกันหลายตัว ด้วยอินเวอร์เตอร์เพียงชุดเดียว	7
2.4 การควบคุมอัตราเร็วของมอเตอร์เหนี่ยวนำด้วยฟิล์มเซลลูโลส	9
2.5 สรุป	13
3 แบบจำลองทางคณิตศาสตร์ของมอเตอร์เหนี่ยวนำไฟฟ้าเดียว ที่ต้องนานกันหลายตัวสำหรับการจำลองผล	15
3.1 บทนำ	15

สารบัญ (ต่อ)

หน้า

3.2	แบบจำลองทางคณิตศาสตร์ของมอเตอร์เห็นี่ยวนำไฟเดียว	16
3.3	แบบจำลองทางคณิตศาสตร์ของมอเตอร์เห็นี่ยวนำไฟเดียว ที่ต้องนานกัน n ตัว	29
3.4	การจำลองผล	33
3.5	อภิปรายผล	44
4	การควบคุมอัตราเร็วมอเตอร์ที่ต้องนานกันหลายตัว	
	ด้วยตัวควบคุมฟิชชีแบบจัดการตัวเอง	45
4.1	บทนำ	45
4.2	ระบบควบคุมแบบฟิชชีล็อกิก	46
4.3	ระบบควบคุมฟิชชีแบบจัดการตัวเอง	47
4.4	การออกแบบตัวควบคุมฟิชชีแบบจัดการตัวเองในงานวิจัยนี้	48
4.5	สรุป	58
5	การจำลองผลกระทบควบคุมการขับมอเตอร์ต้องนาน	60
5.1	บทนำ	60
5.2	การจำลองผลกระทบควบคุมฟิชชีแบบจัดการตัวเอง ขับมอเตอร์เห็นี่ยวนำไฟเดียวที่ต้องนานกันหลายตัว	60
5.3	สรุป	74
6	เครื่องสับพืชผลทางการเกษตรและระบบควบคุม	75
6.1	บทนำ	75
6.2	เครื่องสับพืชผลทางการเกษตร	75
6.2.1	การทดสอบวัสดุ	76
6.2.2	การทดสอบเหล็กเสื่อมสภาพ ก่อนและหลังผ่านกระบวนการ	77
6.2.3	กระบวนการนำเหล็กเสื่อมสภาพกลับมาใช้ใหม่ และขึ้นรูปใหม่	81
6.2.4	เครื่องสับพืชผลทางการเกษตร	85

สารบัญ (ต่อ)

	หน้า
6.3 ระบบควบคุม	93
6.3.1 วงจรตัวตรวจสอบอัตราเร็ว	94
6.3.2 วงจรอัตโนมัติตัวตรวจสอบอัตราเร็ว	95
6.3.3 ตัวประมวลผลระบบควบคุม	97
6.3.4 วงจรขยายสัญญาณ	98
6.3.5 อินเวอร์เตอร์	99
6.4 โปรแกรมประมวลผลระบบควบคุม	
ด้วยตัวควบคุมพีซีแบบจัดการตัวเอง	100
6.5 สรุป	105
7 การทดสอบระบบและอภิปรายผล	107
7.1 บทนำ	107
7.2 ผลการทดสอบเริ่มเดินเครื่องมอเตอร์	108
7.3 ผลทดสอบการขับโหลด	112
7.4 การจำลองผลลัพธ์แบบการทดสอบจริง	
117	
7.5 อภิปรายด้านเสถียรภาพ	121
7.6 สรุป	127
8 สรุปและข้อเสนอแนะ	129
8.1 บทสรุป	129
8.2 ข้อเสนอแนะ	131
รายการอ้างอิง	132
ภาคผนวก	
ภาคผนวก ก. ผลการทดสอบเหล็กจากห้องปฏิบัติการ	134
ภาคผนวก ข. โปรแกรมพีซีแบบจัดการตัวเองสำหรับควบคุม	
การขับเคลื่อนมอเตอร์เหนี่ยวนำไฟฟ้าเดียว	
ที่ต่อขนาดกัน 3 ตัวด้วยอินเวอร์เตอร์ชุดเดียว	137

สารบัญ (ต่อ)

หน้า

ภาคผนวก ค.	บทความที่ได้รับการตีพิมพ์เผยแพร่ และผลงานการจดสิทธิบัตรการประดิษฐ์	154
	1. Modelling and Simulation of Multiple Single - Phase Induction Motors in Parallel Operation.....	157
	2. Fuzzy Control of Parallel Induction Motors Drive.....	163
	3. Parallel-Connected Single-Phase Induction Motor.....	169
	4. แบบจำลองและการจำลองผลมอเตอร์เหนี่ยวนำ ไฟสเดียวกันที่เชื่อมต่อหลายตัวแบบขนาน.....	177
ประวัติผู้เขียน.....		193

สารบัญตาราง

ตารางที่	หน้า
3.1 พารามิเตอร์ของมอเตอร์	37
3.2 ผลการจำลองในแต่ละสภาวะ	37
4.1 กฎการการควบคุมฟิล์มในตัวควบคุมฟิล์มอิจิกแบบธรรมชาติ	49
4.2 ฐานกฏฟิล์มของตัวควบคุมฟิล์มแบบจัดการตัวเอง	53
5.1 แสดงช่วงเวลาและขนาดของโหลดที่กระทำกับมอเตอร์แต่ละตัว	63
5.2 เปรียบเทียบผลการควบคุมอัตราเร็วขณะขับโหลด ระหว่างตัวควบคุมฟิล์มอิจิกแบบธรรมชาติ กับตัวควบคุมฟิล์มแบบจัดการตัวเอง	64
6.1 ผลการทดสอบสับหัวมันสำปะหลัง	77

สารบัญ

รูปที่	หน้า
2.1 เครื่องย่อยขนาดวัสดุพืชผลทางการเกษตรแบบใบมีดโยกกลับ	6
2.2 เครื่องย่อยขนาดหัวมันสำปะหลังเพื่อผลิตอาหารสัตว์	7
2.3 แผนภาพการขับเคลื่อนมอเตอร์เหนี่ยวนำด้วยตัวควบคุมฟิชชีลوجิก	9
2.4 แผนภาพฟังก์ชันความเป็นสมाचิกภาพของอินพุตและเอาต์พุต	10
2.5 แผนภาพแสดงขั้นตอนทำงานของโปรแกรมควบคุมมอเตอร์	11
2.6 แผนภาพแสดงระบบควบคุมฟิชชีแบบสองชั้น	12
2.7 แผนภาพฟังก์ชันความเป็นสมाचิกภาพของอินพุต ทั้งค่าผิดพลาดและค่าอัตราการเปลี่ยนแปลงค่าผิดพลาด	13
3.1 ชุดทดลอง ทดลองช่วยบนสเตเตอร์ และทดลองโถร่องมอเตอร์เหนี่ยufe0fเดียว	16
3.2 แผนภาพทดลองสเตเตอร์และโถร่องมอเตอร์เหนี่ยวนำ	17
3.3 การต่อขนาดมอเตอร์เหนี่ยวนำหนึ่งเฟส ขับเคลื่อนด้วยอุปกรณ์ควบคุมเพียงชุดเดียว	29
3.4 มอเตอร์ที่ประกอบไปด้วยชุดทดลอง 3 ชุด ต่อขนาดกันสองตัวเข้ากับแหล่งจ่ายไฟเพียงชุดเดียว	30
3.5 อินเวอร์เตอร์ไฟเดียวแบบฟลูบอร์ดิจิทัล	33
3.6 กระแสสเตเตอร์ของมอเตอร์ทั้งสามตัวจากการจำลองผลในสภาวะที่ 1	38
3.7 กระแสโถร่องมอเตอร์ทั้งสามตัวจากการจำลองผลในสภาวะที่ 1	38
3.8 ความเร็วของมอเตอร์ทั้งสามตัวจากการจำลองผลในสภาวะที่ 1	39
3.9 กระแสสเตเตอร์ของมอเตอร์ทั้งสามตัวจากการจำลองผลในสภาวะที่ 2	39
3.10 กระแสโถร่องมอเตอร์ทั้งสามตัวจากการจำลองผลในสภาวะที่ 2	40
3.11 ความเร็วของมอเตอร์ทั้งสามตัวจากการจำลองผลในสภาวะที่ 2	40
3.12 กระแสสเตเตอร์ของมอเตอร์ทั้งสามตัวจากการจำลองผลในสภาวะที่ 3	41
3.13 กระแสโถร่องมอเตอร์ทั้งสามตัวจากการจำลองผลในสภาวะที่ 3	41
3.14 ความเร็วของมอเตอร์ทั้งสามตัวจากการจำลองผลในสภาวะที่ 3	42

สารบัญรูป (ต่อ)

รูปที่	หน้า
3.15 กระແສສເຕເຕອຣ໌ຂອງມອເຕອຣ໌ທີ່ສາມຕົວຈາກການຈຳລອງຜລໃນສກາວທີ່ 4	42
3.16 กระແສໂຕເຕອຣ໌ຂອງມອເຕອຣ໌ທີ່ສາມຕົວຈາກການຈຳລອງຜລໃນສກາວທີ່ 4	43
3.17 ຄວາມເຮົວຂອງມອເຕອຣ໌ທີ່ສາມຕົວຈາກການຈຳລອງຜລໃນສກາວທີ່ 4	43
4.1 ດັກຍະພື້ນຖານຂອງຮະບນຄວບຄຸມທີ່ໃຊ້ຕົວຄວບຄຸມແບບຟິ້ຈີລອຈິກ	46
4.2 ໂຄງສ້າງຂອງຮະບນຄວບຄຸມຟິ້ຈີແບບຈັດການຕົວເອງ	47
4.3 ສັນຍານອືນພຸດແລະເອົາດົພຸດຂອງຕົວຄວບຄຸມຟິ້ຈີແບບຈັດການຕົວເອງ	48
4.4 ແພນກາພະບນຄວບຄຸມອັດຕາເຮົວມອເຕອຣ໌ເໜື່ອຢ່ານນຳເຟສເດືອວ ທີ່ຕ່ອນນານກັນຫລາຍຕັ້ງຮັບພັດງານຈາກອືນເວອຣ໌ເຕອຣ໌ເພີ່ງຫຼຸດເດືອວ ດ້ວຍຕົວຄວບຄຸມຟິ້ຈີ	49
4.5 ກາຮົາຝຶກ໌ຂັ້ນສາມາືກົກພຳທຳຮັບ e_1 e_2 ແລະ u_1	51
4.6 ຕົວຄວບຄຸມຟິ້ຈີແບບຈັດການຕົວເອງ	53
4.7 ກາຮົາຄ່າສັນຍານກາຮົາຄວບຄຸມ ໂດຍວິທີກາຮົາຄ່າຈາກຈຸດສູນຍົກລາງພື້ນທີ່	56
5.1 ແພນກາພາກທຳການຂອງໂປ່ງແກຣມກາຮົາຄວບຄຸມມອເຕອຣ໌ ທີ່ຕ່ອນນານກັນຫລາຍຕັ້ງຮັບພັດງານຈາກອືນເວອຣ໌ເຕອຣ໌ເພີ່ງຫຼຸດເດືອວ ຄວບຄຸມດ້ວຍຕົວຄວບຄຸມຟິ້ຈີແບບຈັດການຕົວເອງ	61
5.2 ພົມກາຮົາຈຳລອງກາຮົາຄວບຄຸມອັດຕາເຮົວມອເຕອຣ໌ຂະໜະໄມ່ມີໂຫລດ ດ້ວຍຕົວຄວບຄຸມຟິ້ຈີແບບຈັດການຕົວເອງທີ່ຮະດັບອັດຕາເຮົວ 800 1000 1200 ແລະ 1300 ຮອບຕ່ອນາທີ ເປີຍນເທິບກັນແບບໄມ່ມີຕົວຄວບຄຸມ ແສດງເພີ່ງກາຮົາເດືອວນີ້ອ່າງຈາກມອເຕອຣ໌ທີ່ຕ່ອນນານກັນອີກ 2 ຕ້າ ມີກາຮົາຕອບສັນທາງການເຮົວທີ່ຄຳໄລ້ຄືກັນ	62
5.3 ພົມກາຮົາຈຳລອງກາຮົາຄວບຄຸມອັດຕາເຮົວມອເຕອຣ໌ຂະໜະ 3 ຕ້າ ບັນໂຫລດທີ່ຮະດັບ ອັດຕາເຮົວ 1200 ຮອບຕ່ອນາທີ ຮັບພັດງານຈາກອືນເວອຣ໌ເຕອຣ໌ເພີ່ງຫຼຸດເດືອວ ດ້ວຍຕົວຄວບຄຸມຟິ້ຈີແບບຈັດການຕົວເອງເປີຍນເທິບກັນ ຕົວຄວບຄຸມຟິ້ຈີລອຈິກແບບນໍຣມດາ ແລະ ໄມ່ມີຕົວຄວບຄຸມ	63
5.4 ຮູບຄົ່ນກະແສທີ່ຂໍ້ຂອງມອເຕອຣ໌ແຕ່ລະຕົວບັນໂຫລດແບບໄມ່ມີຕົວຄວບຄຸມ	65
5.5 ຮູບຄົ່ນກະແສທີ່ຂໍ້ຂອງມອເຕອຣ໌ແຕ່ລະຕົວບັນ ໂຫລດດ້ວຍຕົວຄວບຄຸມຟິ້ຈີແບບຈັດການຕົວເອງ	65

สารบัญรูป (ต่อ)

รูปที่	หน้า
5.6 ความคุณการขับโหลด 20 Nm ด้วยตัวควบคุมฟิชชีจัดการตัวเอง เปรียบเทียบกับตัวควบคุมฟิชชีล็อกิกแบบธรรมดากลางๆ ไม่มีตัวควบคุม	66
5.7 การจำลองการทำงานของเครื่องจักรเมื่อได้รับโหลดตามโครงรูปที่กำหนด (กรณีที่ 1)	69
5.8 การจำลองการทำงานของเครื่องจักรเมื่อได้รับโหลดตามโครงรูปที่กำหนด (กรณีที่ 2)	70
5.9 การจำลองการทำงานของเครื่องจักรเมื่อได้รับโหลดตามโครงรูปที่กำหนด (กรณีที่ 3)	71
5.10 การจำลองการทำงานของเครื่องจักรเมื่อได้รับโหลดตามโครงรูปที่กำหนด (กรณีที่ 4)	72
5.11 การจำลองการทำงานของเครื่องจักรเมื่อได้รับโหลดตามโครงรูปที่กำหนด (กรณีที่ 5)	73
6.1 ทดสอบแรงต้านทานการตัดเฉือนของมันสำปะหลังด้วยเครื่องขีดวิเคราะห์	76
6.2 เครื่องทดสอบความแข็งของเนื้อวัสดุ (hardness tester)	78
6.3 การทดสอบความแข็งบนพื้นผิวเหล็กเสื่อมสภาพ	78
6.4 การเตรียมเหล็กเสื่อมสภาพสำหรับเข้าเครื่องทดสอบความยืดตัว	80
6.5 เครื่องทดสอบความยืดตัวของเหล็กเสื่อมสภาพ	80
6.6 (ก) เหล็กเสื่อมสภาพก่อนผ่านการอบชุบที่ถูกดึงจนขาดออกจากกันโดยเครื่องทดสอบการยืดตัวของวัสดุ เนื้อเหล็กเกิดการแตกบิน	81
6.6 (ข) เหล็กเสื่อมสภาพผ่านการอบชุบที่ถูกดึงจนขาดออกจากกันโดยเครื่องทดสอบการยืดตัวของวัสดุ เนื้อเหล็กจะไม่แตกแต่จะแยกเป็นแนว	81
6.7 กล้องกำลังขยายสูงสำหรับตรวจเนื้อเหล็ก	83
6.8 เนื้อเหล็กเสื่อมสภาพก่อนผ่านกระบวนการ (กำลังขยาย 1000 เท่า)	84
6.9 เนื้อเหล็กเสื่อมสภาพเมื่อผ่านกระบวนการการอบชุบในขั้นตอนที่ 1 (กำลังขยาย 1000 เท่า)	84

สารบัญรูป (ต่อ)

รูปที่	หน้า
6.10 เนื้อเหล็กเสื่อมสภาพเมื่อผ่านกระบวนการอบชุบแข็งในขั้นตอนที่ 6 (กำลังขยาย 1000 เท่า)	85
6.11 รูปถ่ายภาพนอกของเครื่องสับพีซผลทางการเกษตร สิทธิบัตรการประดิษฐ์ เลขที่คำขอ 0701002473	87
6.12 ส่วนประกอบภายในของเครื่องสับพีซผลทางการเกษตร สิทธิบัตรการประดิษฐ์ เลขที่คำขอ 0701002473	88
6.13 โครงสร้างของระบบควบคุมเครื่องสับพีซผลทางการเกษตร	93
6.14 แผนภาพบล็อกແแทนชาร์ดแวร์โดยรวมของระบบ	94
6.15 วงจรตัวตรวจรู้อัตราเร็ว	95
6.16 รูปถ่ายสัญญาณอัตราเร็วมอเตอร์และเอาต์พุตของตัวตรวจรู้อัตราเร็ว	95
6.17 วงจรจอดรถหัสตัวตรวจรู้อัตราเร็ว	96
6.18 วงจรขยายสัญญาณ (ปรับความชัน)	98
6.19 โครงสร้างภายในของอินเวอร์เตอร์ รุ่น Frecon F005i-2x ขนาดพิกัด 5 HP 3.7 kW 17A	99
6.20 ส่วนของโปรแกรมหลักสำหรับกำหนดค่าพารามิเตอร์ต่าง ๆ	101
6.21 โปรแกรมส่วนของการรับค่าจากตัวตรวจรู้เข้ามาดำเนินการทางฟิชชี	101
6.22 โปรแกรมส่วนของการฟิชชีแบบจัดการตัวเอง	102
6.23 โปรแกรมส่วนของการเปิดตารางฟิชชีเพื่อใช้ในการคำนวนค่าการควบคุม	102
6.24 โปรแกรมส่วนของตารางค่าฟิชชีฟิเกชันชั้นที่ 1 และชั้นที่ 2 ของฟิชชีแบบจัดการตัวเอง	103
6.25 โปรแกรมควบคุมการทำงานส่วนของการแปลงสัญญาณแอนะล็อก เป็นสัญญาณดิจิตอล	103
6.26 โปรแกรมควบคุมการทำงานส่วนของการแปลงสัญญาณดิจิตอล เป็นสัญญาณ แอนะล็อก	
104	
6.27 โปรแกรมส่วนของการเชื่อมต่อสัญญาณรับและส่งแบบอนุกรม RS232	104
7.1 อุปกรณ์สำหรับใช้ในการทดสอบระบบพร้อมทั้งวัสดุทดสอบระบบ	107

สารบัญรูป (ต่อ)

รูปที่	หน้า
7.2 การติดตั้งແບอรหัสສະຫຼອນແສງແລະຕັວຕາຈູ້ອັຕຣາເຮົວອົມອເຕອຣ໌ ພໍອມທີ່ສາຍນຳສັ່ນຍານ	108
7.3 ກາຣົກອັຕຣາເຮົວອົມອເຕອຣ໌ທີ່ສກວະຕ່າງ ຈຸດ	109
7.4 ຈຸດທີ່ເຮັດວຽກຄຸມອັຕຣາເຮົວໃຫ້ເຂົ້າສູ່ຄ່າເປົ້າໝາຍ	110
7.5 ກາຣົກຮະແສນະເຮັດວຽກຕົວອົມອເຕອຣ໌ທີ່ 3 ຕ້າ	110
7.6 ກະແສ່ຂ່າວເຊື່ອມຕ່ອນອເຕອຣ໌ຕ້ານນເຂົ້າແຫລ່ງຈ່າຍອິນເວັຣ໌ເຕອຣ໌	111
7.7 ກະແສ່ອົມອເຕອຣ໌ຂະໜາດເຮັດວຽກຄຸມ ໃໝ່ອັຕຣາເຮົວອົມອເຕອຣ໌ເຂົ້າສູ່ຄ່າເປົ້າໝາຍ	112
7.8 ກາຣົກທຸດສອນເຂົ້າໄປຮັບກວນສກວະການທຳງານຂອງຮະບນຄຸມ	113
7.9 ອັຕຣາເຮົວອົມອເຕອຣ໌ຂ່າວທີ່ຮະບນມີສກວະຮັບກວນຈາກກາຍນອກ	114
7.10 ອັຕຣາເຮົວອົມອເຕອຣ໌ທີ່ 3 ຕ້າໃນສກວະຕ່າງ ຈຸດຂອງກາຣົກທຸດສອນ	115
7.11 ອັຕຣາເຮົວອົມອເຕອຣ໌ຂ່າວເກີດສກວະຮັບກວນຮະບນ	115
7.12 ກະແສນອເຕອຣ໌ໃນກາຣທຸດສອນສັບກະລາມະພ້າວປັນດ້ວຍໄຟມະພ້າວ	116
7.13 ກະແສນອເຕອຣ໌ເມື່ອທຸດສອນໃຫ້ສັບການມະພ້າວ	117
7.14 ພຸດກາຣຈຳລອງພົດດ້ວຍໂໂລດຄລ້າຍກາຣທຸດສອນຈິງ (ວັດຖຸດິບໜິດທີ 1) ຂອງມອເຕອຣ໌ຕ້ານນ	118
7.15 ພຸດກາຣຈຳລອງພົດດ້ວຍໂໂລດຄລ້າຍກາຣທຸດສອນຈິງ (ວັດຖຸດິບໜິດທີ 1) ຂອງມອເຕອຣ໌ຕ້າກລາງ	118
7.16 ພຸດກາຣຈຳລອງພົດດ້ວຍໂໂລດຄລ້າຍກາຣທຸດສອນຈິງ (ວັດຖຸດິບໜິດທີ 1) ຂອງມອເຕອຣ໌ຕ່າງ	119
7.17 ພຸດກາຣຈຳລອງພົດດ້ວຍໂໂລດຄລ້າຍກາຣທຸດສອນຈິງ (ວັດຖຸດິບໜິດທີ 2) ຂອງມອເຕອຣ໌ຕ້ານນ	120
7.18 ພຸດກາຣຈຳລອງພົດດ້ວຍໂໂລດຄລ້າຍກາຣທຸດສອນຈິງ (ວັດຖຸດິບໜິດທີ 2) ຂອງມອເຕອຣ໌ຕ້າກລາງ	120
7.19 ພຸດກາຣຈຳລອງພົດດ້ວຍໂໂລດຄລ້າຍກາຣທຸດສອນຈິງ (ວັດຖຸດິບໜິດທີ 2) ຂອງມອເຕອຣ໌ຕ່າງ	121
7.20 ພຸດກາຣຈຳລອງອັຕຣາເຮົວເທີບກັບເວລາຂະໜາດໄໝມືໂໂລດ	122

สารบัญรูป (ต่อ)

รูปที่	หน้า
7.21 ผลการจำลองอัตราเร่งเทียบกับเวลาขณะไม่มีโอลด	123
7.22 ผลการจำลองอัตราเร็วเทียบกับอัตราเร่งขณะไม่มีโอลด	123
7.23 ภาพขยายผลการจำลองอัตราเร็วเทียบกับอัตราเร่งขณะไม่มีโอลด	124
7.24 ผลการจำลองอัตราเร็วเทียบกับเวลาขณะขับโอลด	124
7.25 ผลการจำลองอัตราเร่งเทียบกับเวลาขณะขับโอลด	125
7.26 ผลการจำลองอัตราเร็วเทียบกับอัตราเร่งขณะขับโอลด	125
7.27 ภาพขยายผลการจำลองอัตราเร็วเทียบกับอัตราเร่งขณะขับโอลด	126

คำอธิบายสัญลักษณ์

A	พื้นที่หน้าตัดของมันสำปะหลัง (m^2)
B_m	สัมประสิทธิ์แรงเสียดทานของโลหดกั้มมอเตอร์
C	การอธิบายเชิงฟิชชีในการเปลี่ยนแปลงของศูนย์กลางความเป็น สมาชิกภาพ
E_i	ตัวแปรทางกายภาพของ e_1
E_j	ตัวแปรทางกายภาพของ e_2
F	แรงติดเนื่อง (N)
$i_{qs}, i_{ds}, i_{qr}, i_{dr}$	กระแสขดลวดนغن qd ของสเตเตอร์และโรเตอร์ (A)
J_m	ความเนื้อຍของมอเตอร์ ($Kg \cdot m^2$)
N_{qs}	จำนวนรอบของขดลวดหลักแกน q (main winding)
N_{ds}	จำนวนรอบของขดลวดช่วยแกน d (auxiliary winding)
N_r	จำนวนรอบของขดลวดโรเตอร์
N_{qr}	จำนวนรอบของขดลวดโรเตอร์บนแกน q
N_{dr}	จำนวนรอบของขดลวดโรเตอร์บนแกน d
L_r	ความเหนี่ยวแน่นที่โรเตอร์ (H)
L_s	ความเหนี่ยวแน่นที่สเตเตอร์ (H)
L_{lqs}	ความเหนี่ยวแน่ร้าวไฟล์ขดลวดหลักของสเตเตอร์ (H)
L_{lds}	ความเหนี่ยวแน่ร้าวไฟล์ขดลวดช่วยของสเตเตอร์ (H)
L_{lr}	ความเหนี่ยวแน่ร้าวไฟล์ขดลวดของโรเตอร์ (H)
L_{mq}	ความเหนี่ยวแน่ร่วมบนแกน q (H)
L_{md}	ความเหนี่ยวแน่ร่วมบนแกน d (H)
L_{qsqs}	ความเหนี่ยวแน่ภายในบนแกน q ของสเตเตอร์ (H)
L_{qsdqs}	ความเหนี่ยวแน่บนแกน qd ของสเตเตอร์ (H)
L_{qsqr}	ความเหนี่ยวแนบนแกน q ของสเตเตอร์และโรเตอร์ (H)
L_{qsdr}	ความเหนี่ยวแนบนแกน qd ของสเตเตอร์และโรเตอร์ (H)
L_{dsqs}	ความเหนี่ยวแนบนแกน dq ของสเตเตอร์ (H)
L_{dsds}	ความเหนี่ยวแน่ภายในบนแกน d ของสเตเตอร์ (H)
L_{dsqr}	ความเหนี่ยวแนบนแกน dq ของสเตเตอร์และโรเตอร์ (H)

คำอธิบายสัญลักษณ์ (ต่อ)

L_{dsdr}	ความเห็นใจวนรอบแกน d ของสเตเตอร์และโรเตอร์ (H)
L_{qrqr}	ความเห็นใจวนภายในบันได q ของโรเตอร์ (H)
L_{qsds}	ความเห็นใจวนรอบแกน qd ของสเตเตอร์ (H)
L_{grqs}	ความเห็นใจวนรอบแกน q ของสเตเตอร์และโรเตอร์ (H)
L_{grds}	ความเห็นใจวนรอบแกน qd ของสเตเตอร์และโรเตอร์ (H)
L_{drqr}	ความเห็นใจวนรอบแกน dq ของโรเตอร์ (H)
L_{drdr}	ความเห็นใจวนภายในบันได d ของโรเตอร์ (H)
L_{drqs}	ความเห็นใจวนรอบแกน dq ของสเตเตอร์และโรเตอร์ (H)
L_{drds}	ความเห็นใจวนรอบแกน d ของสเตเตอร์และโรเตอร์ (H)
r_{qs}	ความต้านทานชด漉ควบแกน q ของสเตเตอร์ (Ω)
r_{ds}	ความต้านทานชด漉ควบแกน d ของสเตเตอร์ (Ω)
r_{qr}	ความต้านทานชด漉ควบแกน q ของโรเตอร์ (Ω)
r_{dr}	ความต้านทานชด漉ควบแกน d ของโรเตอร์ (Ω)
P	จำนวนขั้วแม่เหล็ก (ขั้ว)
p	อนุพันธ์อันดับหนึ่งเทียบกับเวลา
P_g	ความชาร์จได้ของช่องอากาศ
R_r	ความต้านทานที่โรเตอร์ (Ω)
R_s	ความต้านทานที่สเตเตอร์ (Ω)
S	สูตร
T_e	ทอร์กแม่เหล็กไฟฟ้า (Nm)
T_L	โหลดทอร์ก (Nm)
U_n	การอธิบายเชิงฟิซิกในการเปลี่ยนแปลงสัญญาณควบคุม
u_{ref}	กำลังอิฐ(rpm)
u_{act1}	อัตราเร็ว robj ของมอเตอร์หมายเลข 1 (rpm)
u_{act2}	อัตราเร็ว robj ของมอเตอร์หมายเลข 2 (rpm)
u_{act1}	อัตราเร็ว robj ของมอเตอร์หมายเลข 1 (rpm)
\bar{u}_{act}	อัตราเร็วเฉลี่ย (rpm)
$V_{qs}, V_{ds}, V_{qr}, V_{dr}$	แรงดันชด漉ควบแกน qd ของสเตเตอร์และโรเตอร์ (V)

คำอธิบายสัญลักษณ์ (ต่อ)

$V_{control}$	สัญญาณควบคุมรูปคลื่นไอน์ที่ต้องการนำมาสร้างแรงดันไฟฟ้าและความถี่ทางด้านออก (V)
V_{tri}	สัญญาณรูปสามเหลี่ยมที่เป็นตัวกำหนดความถี่การสวิตช์ (V)
$\hat{V}_{control}$	ค่ายอดของสัญญาณควบคุมรูปไอน์ (V)
\hat{V}_{tri}	ค่ายอดสัญญาณรูปสามเหลี่ยม (V)
e	ค่าความคลาดเคลื่อนอัตราเร็วมอเตอร์
f_l	ความถี่หลักมูลทางด้านออกของอินเวอร์เตอร์ (Hz)
f_s	ความถี่การสวิตช์ของอินเวอร์เตอร์ (Hz)
m_a	อัตราการมอคุเลตแอมเพลจูด
m_f	อัตราการมอคุเลตความถี่
Δc	การเปลี่ยนแปลงของศูนย์กลางความเป็นสมมาตรภาพของเอาต์พุต
Δe	การเปลี่ยนแปลงค่าความคลาดเคลื่อนอัตราเร็ว
Δu	การเปลี่ยนแปลงสัญญาณควบคุม
ω_r	อัตราเร็วจริงมุน (rad/s)
θ_r	มุมระหว่างแกน q_r และ q_s
ตัวยก s	บอกถึงค่านั้น ๆ อยู่บนแกนของขดลวดสเตเตอร์
ตัวยก r	บอกถึงค่านั้น ๆ อยู่บนแกนของขดลวดโรเตอร์
ตัวยก '	บอกถึงการย้ายค่านั้นๆมาอยู่บนแกนอ้างอิง q ของสเตเตอร์
□	ตัวกระทำค่าต่ำสุดเชิงฟีซซี
τ	ความเค้นเนื้อนของหัวมันสำปะหลัง (N/m^2)
k	เมตริกซ์การแปลงระหว่างสเตเตอร์กับโรเตอร์
$[i]_{4 \times 1}$	เมตริกซ์กระแสคลอดหลักและคลอดช่วยของมอเตอร์
$[\mathfrak{N}]_{4 \times 4}$	เมตริกซ์ค่าองค์ประกอบพารามิเตอร์ของมอเตอร์
$[\mathfrak{R}]_{4 \times 4}$	เมตริกซ์ค่าองค์ประกอบพารามิเตอร์ของมอเตอร์
$[V]_{4 \times 1}$	เมตริกซ์แรงดันขดลวดหลักและขดลวดช่วยของมอเตอร์
\mathfrak{I}_{xr}^s	ค่าได ๆ ที่แปลงแกนจากโรเตอร์มาบังสเตเตอร์
\mathfrak{I}_{xr}^r	ค่าได ๆ ที่อยู่บนโรเตอร์

บทที่ 1

บทนำ

1.1 ความสำคัญและที่มาของปัญหาการวิจัย

อุตสาหกรรมส่วนมากมีการใช้เครื่องจักรกลที่ประกอบด้วยมอเตอร์เห็นได้ยานำทำหน้าที่ขับเคลื่อนกระบวนการต่าง ๆ เช่น ในอุตสาหกรรมแป้งมันสำปะหลัง อุตสาหกรรมเส้นใยและถักทอง อุตสาหกรรมแปรรูปอาหาร มอเตอร์เห็นได้ยานำได้รับความนิยมสูง เพราะมีโครงสร้างแข็งแรง และใช้งานง่าย การควบคุมมอเตอร์ให้ทำงานต้องคำนึงถึงประสิทธิภาพทางด้านพลังงานและการลงทุน ในบางกิจกรรมของโรงงานอุตสาหกรรมจะต้องใช้มอเตอร์ที่มีพิกัดเท่ากันทำงานขับโลหต์ที่มีลักษณะสมบัติคล้ายกันหลาย ๆ ตัว สิ่งที่ต้องการตามมา คือ อุปกรณ์ควบคุมที่ต้องใช้ควบคุมการขับเคลื่อนมอเตอร์แต่ละตัว อุปกรณ์ดังกล่าวมักจะมีราคาแพง หากสามารถใช้อุปกรณ์ขับเคลื่อนเพียงชุดเดียวกับมอเตอร์หลายตัวที่ต้องนา กันก็จะเป็นการช่วยลดต้นทุนการผลิตได้ระดับหนึ่ง ดังเช่นที่มีการใช้ในระบบลากจูงรถไฟฟ้า (Matsumoto et al., 2001) การใช้เทคโนโลยีในแนวโน้มนี้มีประโยชน์ต่ออุตสาหกรรมหลากหลายประเภทที่มีอัตราพิกัดและธรรมชาติของโหลดแตกต่างกัน องค์ความรู้ที่สำคัญเป็นฐานการทำการวิจัยในปัญหาการพัฒนาเทคโนโลยีการขับมอเตอร์ต้องนา กันหลายตัว ขับเคลื่อนด้วยอินเวอร์เตอร์เพียงตัวเดียว และมีการพิจารณาแหล่งจ่ายเป็นแบบสองเฟส (Jang et al., 1994) แหล่งจ่ายสองเฟสนี้ได้มาจากการอินเวอร์เตอร์แบบหนึ่งเฟสตามธรรมชาติที่มีใช้กันโดยทั่วไป ระบบขับเคลื่อนสำหรับมอเตอร์เห็นได้ยานำหนึ่งเฟสในลักษณะเช่นนี้มีประโยชน์ต่ออุตสาหกรรมขนาดเล็กและขนาดกลาง การพัฒนาแบบจำลองนั้นพิจารณาตามมอเตอร์ตามโครงแบบ dq ซึ่งทั้งสองแกนจะตั้งฉากกันตามลักษณะการวิเคราะห์ของชุดขดลวด โรเตอร์และชุดขดลวดสเตเตอร์ ทำให้สามารถแม่เหล็กของชุดขดลวดทั้งสองตั้งฉากกัน ดังนั้นหลักการโครงแบบ dq (Mutsuse et al., 2004; Krishnan, 2001) จึงเป็นพื้นฐานของการพัฒนาแบบจำลองทางคณิตศาสตร์

เพื่อให้งานวิจัยนี้สอดคล้องต่อสภาพสังคม เศรษฐกิจและการพัฒนาคุณภาพชีวิตอย่างยั่งยืนของชุมชนในพื้นที่ และในภูมิภาค จากการศึกษาพบว่าภาคตะวันออกเฉียงเหนือเป็นพื้นที่เขต้อนหมายแก่การปลูกมันสำปะหลัง แหล่งผลิตที่สำคัญของภาคตะวันออกเฉียงเหนือ คือจังหวัดอุตรธานี บุรีรัมย์ กาฬสินธุ์ ขอนแก่น ชัยภูมิ และนครราชสีมา ซึ่งได้มีการนำมันสำปะหลังมาแปรรูปเป็นผลิตภัณฑ์ต่าง ๆ หลายชนิด เช่น มันเส้น มันอัดเม็ด ใช้ในอุตสาหกรรม

อาหารสัตว์ และอุตสาหกรรมต่อเนื่อง เช่น สิ่งทอ กระดาษ อาหาร ฯลฯ รวมทั้งภาครัฐบาล ได้ส่งเสริมการผลิตอาหารจากมันสำปะหลัง เพื่อใช้ในกระบวนการผลิตพลาสติกแทน ทำให้มี ความต้องการใช้ผลิตภัณฑ์มันสำปะหลังเพิ่มขึ้นมาก เกษตรกรผู้ปลูกมันสำปะหลังสามารถจำหน่าย ผลผลิตได้ 2 วิธี คือ มันสำปะหลังแบบสด และมันสำปะหลังแปรรูปแบบฝานหรือสับacula แห้ง ที่ความชื้น 15-17% ราคาจำหน่ายมันสำปะหลังแปรรูปทั้ง 2 ชนิดแตกต่างกันมาก เนื่องจากมันแบบ ฝานหรือสับacula คาดได้ความชื้น อันเป็นองค์ประกอบส่วนใหญ่ของมันสำปะหลัง ทำให้น้ำหนัก ลดลงอย่างมาก และช่วยลดพิษของมันสำปะหลัง คือ กรดไซยาโนเจนิกกลาบิโคไซด์ (Cyanogenic Glycoside) การแปรรูปดังกล่าวในปัจจุบันเกษตรกรได้ประสบปัญหาเกี่ยวกับการใช้เครื่องจักร แปรรูป เช่น ประสิทธิภาพต่ำ มันติด อันตรายจากการกระแทก เคลื่อนย้ายลำบาก ความไม่เหมาะสม เชิงพลังงานและเชิงคุณภาพของผลผลิตที่ได้

จากปัญหาดังกล่าว ผู้วิจัยจึงได้ทำการวิจัยและพัฒนาเครื่องสับมันสำปะหลังและผลผลิต ทางการเกษตร เพื่อช่วยลดปัญหาในการแปรรูปมันสำปะหลังและผลผลิตทางการเกษตรอื่น ๆ ขึ้น เป็นการประยุกต์องค์ความรู้ของงานวิจัยนี้

1.2 วัตถุประสงค์ของการวิจัย

- 1.2.1 เพื่อพัฒนาองค์ความรู้การขับนมอเตอร์เหนี่ยวนำไฟสเดียวนที่ต้องนานกันหลายตัว
- 1.2.2 เพื่อออกแบบและพัฒนาชุดควบคุมแบบฟิซซีสำหรับการขับเคลื่อนนมอเตอร์ เหนี่ยวนำไฟสเดียวนที่ต้องนานกันหลายตัวในงานวิจัยนี้
- 1.2.3 เพื่อออกรูปแบบและพัฒนาเครื่องย่อยผลผลิตทางการเกษตร หรือที่เรียกว่าเครื่อง สับพืชที่ใช้มอเตอร์เหนี่ยวนำไฟสเดียวนที่ต้องนานกันหลายตัวควบคุมด้วยอุปกรณ์ชุดเดียว

1.3 ข้อตกลงเบื้องต้น

การควบคุมนมอเตอร์พิจารณาความคุณที่อัตราเร็วจุดทำงาน จุดใดจุดหนึ่งตามสภาพของ โอลด์ โดยมีอุปกรณ์ตรวจรู้ความเร็ว เป็นตัวผลิตสัญญาณป้อนกลับที่ใช้ในการควบคุม ระบบที่ พัฒนาขึ้นจะต้องง่ายต่อการบำรุงรักษา

1.4 ขอบเขตของการวิจัย

- 1.4.1 พัฒนาโปรแกรมจำลองผลมอเตอร์เห็นี่ยวนำนิคเฟสเดียวที่ต่อขานกันหลายตัว
- 1.4.2 พัฒนาระบบควบคุมแบบฟิซซีสำหรับการขับเคลื่อนมอเตอร์เห็นี่ยวนำเฟสเดียวที่ต่อขานกันหลายตัว โดยใช้ตัวตรวจรู้ความเร็วผลิตสัญญาณป้อนกลับ เพื่อรักษาระดับการควบคุมที่จุดทำงานของระบบ
- 1.4.3 พัฒนาชุดใบมีดสำหรับย่อยวัสดุทางการเกษตร จำนวน 3 ชุด เป็นเครื่องมือวิจัย
- 1.4.4 ชุดใบมีดแต่ละชุดจะต้องได้รับการออกแบบให้มีความสามารถใช้งานได้ทั้ง 3 ชุดพร้อมกัน หรือแยกใช้งานคราวละ 2 หรือ 1 ชุดตามความต้องการของผู้ใช้
- 1.4.5 วิเคราะห์สมรรถนะและเสถียรภาพของระบบควบคุม โดยทดสอบจริงกับมันสำปะหลังและจำลองพิสูจน์

1.5 ประโยชน์ที่คาดว่าจะได้รับ

องค์ความรู้ด้านการขับเคลื่อนมอเตอร์เห็นี่ยวนำเฟสเดียวที่ต่อขานกันหลายตัวควบคุมด้วยอุปกรณ์ควบคุมชุดเดียว ที่นำมาประยุกต์ใช้เพื่อแก้ปัญหากระบวนการแปรรูปผลผลิตทางการเกษตร หรือวัสดุทางการเกษตรที่ได้จากการเพาะปลูก อันจะส่งผลดีต่อการพัฒนาเศรษฐกิจสังคมของประเทศไทยอย่างยั่งยืน

1.6 การจัดสรุปเล่มวิทยานิพนธ์

แนวคิดของการวิจัยเพื่อออกแบบและสร้างเทคโนโลยีการควบคุมมอเตอร์เห็นี่ยวนำนิคเฟสเดียวที่ต่อขานกันหลายตัวด้วยอุปกรณ์ควบคุมชุดเดียว เพื่อนำมาประยุกต์ใช้กับเครื่องย่อยวัสดุ หรือพืชผลที่ได้จากการเพาะปลูก จึงเป็นแนวคิดหนึ่งที่มุ่งเน้นพัฒนาองค์ความรู้ใหม่ และเสริมสร้างประโยชน์ต่อภาคเกษตรกรรมอันเป็นอุดสาಹกรรมหลักของประเทศไทย ดังนั้นเอกสารรายงานฉบับนี้จึงมีเนื้อหาเกี่ยวข้องกับการวิเคราะห์แบบจำลองของมอเตอร์เห็นี่ยวนำเฟสเดียวที่ต่อขานกันหลายตัวควบคุมด้วยอุปกรณ์ชุดเดียว การควบคุมด้วยตัวควบคุมฟิซซีแบบจัดการตัวเองและสร้างเครื่องย่อยวัสดุพืชผลทางการเกษตรที่ได้จากการเพาะปลูก

บทที่ 2 กล่าวถึงงานวิจัยก่อนหน้านี้ที่เกี่ยวข้องกับเครื่องสับพืช แบบจำลองทางคณิตศาสตร์ของมอเตอร์เห็นี่ยวนำนิคเฟสเดียว และการควบคุมมอเตอร์เห็นี่ยวนำนิคเฟสเดียวด้วยตัวควบคุมฟิซซี

บทที่ 3 กล่าวถึงการพัฒนาแบบจำลองทางคณิตศาสตร์ของมอเตอร์เหนียวนำชนิดเฟสเดียว โดยแยกพิจารณาทั้งส่วนสเตเตอเร่อร์และโรเตอร์ และพัฒนาหาแบบจำลองทางคณิตศาสตร์ของมอเตอร์เหนียวนำชนิดเฟสเดียวที่ต้องนานกันหลายตัว ควบคุมด้วยอุปกรณ์ควบคุมชุดเดียว

บทที่ 4 กล่าวถึงการออกแบบด้วยควบคุมฟิล์ชซีแบบจัดการตัวเอง สำหรับใช้ในการควบคุมอัตราเร็วมอเตอร์ไฟฟ้ากระแสตรงชนิดเหนียวนำเฟสเดียวที่ต้องนานกันหลายตัว

บทที่ 5 กล่าวถึงการจำลองผลด้วยโปรแกรม MATLAB ของระบบควบคุมฟิล์ชซีแบบจัดการตัวเอง ในการควบคุมอัตราเร็วมอเตอร์ไฟฟ้ากระแสตรงชนิดเหนียวนำเฟสเดียวที่ต้องนานกันหลายตัว โดยการใส่ภาระกรมแปรเป็นกรณีต่าง ๆ

บทที่ 6 กล่าวถึงเครื่องย่อยวัสดุพืชผลทางการเกษตร โดยแยกพิจารณาออกแบบเป็นส่วน ๆ คือ ใบมีดในแต่ละชุด โครงสร้างและองค์ประกอบของเครื่องย่อยรวมทั้งกระบวนการทำงาน และอุปกรณ์ที่ใช้ในระบบควบคุม

บทที่ 7 นำเสนอผลการทดสอบควบคุมมอเตอร์หลายตัวที่ติดตั้งร่วมกันเครื่องย่อยวัสดุพืชผลทางการเกษตร ให้ทำงานที่จุดปฏิบัติการด้วยชุดควบคุมฟิล์ชซีแบบจัดการตัวเอง มีตัวตรวจวัดอัตราเร็วเป็นตัวผลิตสัญญาณป้อนกลับในการควบคุม ใช้วัสดุที่เป็นพืชผลทางการเกษตรจริง เป็นวัตถุศึกษาในการทดสอบ พร้อมทั้งทำการจำลองผลลัพธ์แบบการทดสอบกับวัตถุศึกษาจริง

บทที่ 8 เป็นบทสรุปของการวิจัยวิทยานิพนธ์นี้ พร้อมทั้งข้อเสนอแนะแนวทางในการดำเนินการวิจัยและพัฒนาในอนาคต

บทที่ 2

ปริทัศน์วรรณกรรมและงานวิจัยที่เกี่ยวข้อง

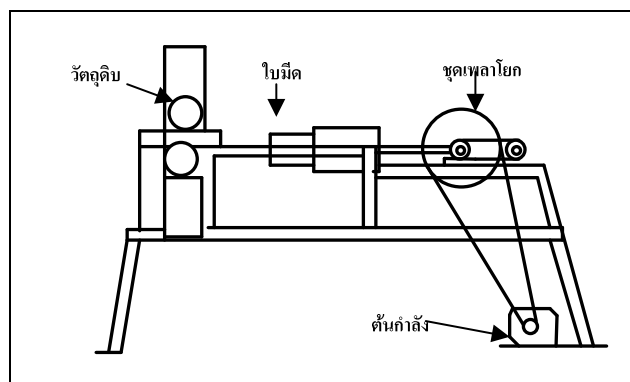
2.1 บทนำ

ในการควบคุมมอเตอร์ไฟฟ้ากระแสสลับที่ต้องนานกันหลายตัวขึ้นเคลื่อนด้วยอินเวอร์เตอร์ชุดเดียว ไม่ว่าจะใช้วิธีการควบคุมแบบวงจรเตอร์ หรือใช้การควบคุมอัตราส่วน V/f ทั้งสองวิธีนี้มีความเหมาะสมต่อการประยุกต์ใช้ในงานที่แตกต่างกัน จึงจำเป็นต้องพิจารณาลักษณะสมบัติของโหลดหรือกระบวนการของระบบนั้น ๆ เช่น การควบคุมมอเตอร์เนี่ยนานาเฟสเดียวที่ต้องนานกันหลายตัวด้วยอินเวอร์เตอร์ชุดเดียวขึ้นเคลื่อนโหลดแบบลากจูง หรือขับโหลดแบบเป็นช่วง ๆ ซึ่งการควบคุมทั้งสองวิธีนี้ต้องอาศัยเทคนิคการมอดูลาร์แบบสัญญาณ PWM มากำหนดขนาดของวงจรเตอร์สามารถแม่เหล็กในช่องว่างอากาศระหว่างสเตเตอร์กับโรเตอร์ด้วย การควบคุมอัตราเร็วนั้น มีแนวคิดที่จะใช้ตัวควบคุมฟซซีเข้ามาเป็นตัวควบคุมโดยควบคุมการทำงานของอินเวอร์เตอร์ที่จ่ายพลังงานให้กับมอเตอร์ที่ต้องนานกัน ซึ่งในการวิจัยนี้องค์ความรู้ที่ได้กล่าวมาแล้วทดสอบควบคุมเครื่องสับวัสดุพืชผลทางการเกษตร ที่ติดตั้งมอเตอร์ไฟฟ้าเดียวต้องนานกันดังนี้ในบทนี้จึงนำเสนอการทบทวนงานวิจัยที่มีปัจจุบันก่อนแล้ว ที่เกี่ยวข้องกับเครื่องสับพืชผลทางการเกษตร การขับเคลื่อนมอเตอร์ต้องนานกันหลายตัว และงานวิจัยที่เกี่ยวข้องกับการใช้ทฤษฎีฟซซีลอกิกในการควบคุม จากการสืบค้นวรรณกรรมก่อนหน้านี้ยังไม่มีงานวิจัยใดที่ตีพิมพ์เผยแพร่ การขับเคลื่อนมอเตอร์เนี่ยนานาเฟสเดียวต้องนานกันหลายตัว ที่พับนั้นเป็นระบบขับเคลื่อนแบบ 3 เฟส ดังนั้นจึงขอกล่าวถึงวรรณกรรมในระบบขับเคลื่อน 3 เฟส เพื่อเป็นแนวทางในการดำเนินการวิจัย

2.2 เครื่องสับพืช

การนำผลผลิตทางการเกษตรหลักการเก็บเกี่ยวเสร็จแล้วไปใช้ประโยชน์ จำเป็นต้องได้รับการลดขนาดหรือย่อยให้มีความเหมาะสมกับกระบวนการผลิตในขั้นตอนต่อไป ซึ่งการย่อยขนาดอาศัยวิธีทางกลและไม่มีผลต่อการเปลี่ยนแปลงคุณสมบัติทางเคมีในสารอาหาร การลดขนาดวัตถุดิบด้วยวิธีทางกลอาศัยแรงกระทำต่อวัตถุ อาจเป็น แรงกระแทก แรงสับ และแรงเฉือน จึงได้มีการคิดค้นเครื่องมือในการย่อยขนาดวัสดุพืชผลทางการเกษตร โดยอาศัยหลักการของแรงกระทำในหลาย ๆ รูปแบบ

สิงหนาท พวงจันทร์ແಡງ (2535) ໄດ້ພັດນາເຄື່ອງມືອຄົດນາດໜຸນດີໃນມືດໝູນວນ ດັ່ງແຜນກາພໃນຮູບທີ່ 2.1 ວັດຖຸດົບຈະລູກເທິງຈາກທາງດ້ານບນ ວັດສຸຈະໄຫລດັງສູ່ໃນມືດຕາມດໍາຮາງ ທັງຈາກນັ້ນໃນມືດທີ່ຕິດອູ່ກັນແບນຂອງເພົາຂ້ອເຫົ່ວ່າງຈະໜຸນຕັດຜ່ານວັດຖຸດົບນັ້ນເໜືອນລັກຍະນະ ກາຮສັບຫົວໜ້າ ຈາກຮູບທີ່ 2.1 ຈະເຫັນວ່າເຄື່ອງຈັກຮັດກຳລ່າວ ປະກອບດ້າຍມອເຕອຣີເປັນຕົວຕັ້ນກຳລັງແລະ ປຸດເພົາໂຍກໃນມືດ ກາຍໃຊ້ເຄື່ອງຈັກນີ້ສັນມັນສຳປະໜັດ ຫ້ວມັນສຳປະໜັດຫົວໜ້າ ວັດສຸຈະໄຫລດັບອື່ນທີ່ເປັນຫວ່າ ຈະຕັ້ງໄດ້ຮັບກາຮເຫົວໜ້າໃຫ້ຢູ່ໃນແນວນອນ ເພື່ອໃຫ້ໄດ້ນຸ່ມຕັ້ງຈາກກັນໃນມືດ ຈຶ່ງຈະທຳກາຮຕັດຫົວໜ້າ ຂອບຍ່ອຍນາດໄດ້



ຮູບທີ່ 2.1 ເຄື່ອງຍ່ອຍນາດວັດສຸພື້ນທາງກາຮເກຍຕຽບແບນໃນມືດໂຍກກຳລັບ
(ສິງหนາທ ພວງຈັນທີ່ແດງ, 2535)

ເກຍມສັນຕໍ່ ແສງເຈີນ ແລະ ຄະນະ (2549) ໄດ້ພັດນາເຄື່ອງສັນມັນສຳປະໜັດເພື່ອພົດຕາອາຫາຮສັດວ່າ ດັ່ງກາພທີ່ແສດງໃນຮູບທີ່ 2.2 ໂດຍເນັ້ນທີ່ຈະຍ່ອຍໃຫ້ມີຂາດເລີກເໜ້າມະແກ່ກາຮຜສນທຳເປັນອາຫາຮສັດວ່າ ເຄື່ອງຈັກທີ່ພັດນາຂຶ້ນນີ້ໃນມືດເປັນແບນຈານໜຸນວນ ຕ້າໃນມືດໄດ້ຮັບກາຮຍືດຕິດກັບຈານທາງດ້ານບນ ມີກາຮຈາກ່ອງໄດ້ຕຳແໜ່ງທີ່ຍືດໃນມືດ ເພື່ອໃຫ້ວັດສຸທີ່ລູກດັດຫົວໜ້າແລ້ວກລົງທາງດ້ານລ່າງ ກາຮເຫັນວັດສຸ ຕົ້ນທັງຈາກທາງດ້ານບນ ໂດຍອອກແບນຈ່ອງທາງໃຫ້ພາຍາມບັງຄັນຫ້ວມັນໃຫ້ມີລັກຍະນະຕັ້ງຕຽງໃນ ແນວດິງເພື່ອໃຫ້ໃນມືດວົງຕັດຜ່ານໄດ້ ໃຊ້ກາຮເວົວໃນກາຮສັບທີ່ເໜ້າສົມໄນ້ນ້ອຍກວ່າ 850 rpm ຂຶ້ນອູ່ກັນ ວັດສຸແລະ ນາດທີ່ຕົ້ນກາຮ ແຕ່ປັບຫາທີ່ເກີດຂຶ້ນຄືກາຮຕິດຂອງຫ້ວມັນສຳປະໜັດບຣິເວັນຈ່ອງປົ່ນ ແລະ ໃໃນມືດໝູນຄວາມຄມເວົວ ເນື່ອງຈາກວັດສຸທີ່ໃຊ້ໄນ້ມີຄວາມຄອງທນເພື່ອພວ ໃຊ້ສາຍພານເປັນຕົວຄວນຄຸມ ອັດຮາເຮົວອົບມອເຕອຣີທຳໃຫ້ເກີດຄວາມຜິດພາດໃນກາຮຄົກຄ່າອັດຮາເຮົວເມື່ອມີວັດສຸເຂົ້າສູ່ຮະບບ ແລະເມື່ອ ຕົ້ນກາຮປັບປຸງແປລືບໍ່ຢັນອັດຮາເຮົວຈະຕື່ອງຫຼຸດເດີນເຄື່ອງແລະປັບປຸງແປລືບໍ່ຢັນອຸປກຮົມທາງກລ



รูปที่ 2.2 เครื่องย่อยขนาดหัวมันสำปะหลังเพื่อผลิตอาหารสัตว์

(เกณมสันต์ แสงเงิน และคณะ, 2549)

2.3 การขับเคลื่อนมอเตอร์เหนี่ยวนำที่ต่อขนาดกันหลายตัวด้วยอินเวอร์เตอร์เพียงชุดเดียว

Wu, Dewan, and Sen (1988) ได้พัฒนาระบบขับเคลื่อนมอเตอร์เหนี่ยวนำที่ต่อขนาดกันหลายตัวด้วยอินเวอร์เตอร์ชุดเดียวในระบบ 3 เฟส กล่าวคือ โดยการพัฒนาจากแนวความคิด แหล่งจ่ายกระแสอินเวอร์เตอร์ (CSI) และแหล่งจ่ายแรงดันอินเวอร์เตอร์ (VSI) ซึ่งเรียกวิธีนี้ว่า แหล่งจ่ายกระแสอินเวอร์เตอร์แบบประยุกต์ เพราะอินเวอร์เตอร์แบบแหล่งจ่ายกระแสเหมาะสม กับการขับเคลื่อนมอเตอร์เพียงตัวเดียวเท่านั้น ทำให้เกิดความไม่ประหัดในบางลักษณะของการใช้งาน และส่งผลต่อแรงดันที่จ่ายให้กับมอเตอร์เมื่อแหล่งจ่ายมีการเปลี่ยนแปลงอิกด้วย วิธีการนี้ ได้ใช้อุปกรณ์อิเล็กทรอนิกส์เพื่อควบคุมขนาดแรงดันของมอเตอร์แต่ละตัวเพิ่มเข้าไปในวงจร อินเวอร์เตอร์ที่เป็นแหล่งจ่ายกระแสแบบเดิม อุปกรณ์อิเล็กทรอนิกส์ดังกล่าวประกอบไปด้วย ไดโอดคุณกำลัง ตัวเก็บประจุ ตัวเหนี่ยวนำ และไทริสเตอร์ การขับเคลื่อนด้วยวิธีนี้ใช้ไทริสเตอร์ เป็นตัวควบคุมแรงดันที่จ่ายให้มอเตอร์ในแต่ละเฟส หากมีมอเตอร์ต่อขนาดกันหลาย ๆ ตัว ก็จะต้องมีชุดอุปกรณ์ดังกล่าวใช้งานควบคู่กัน ๆ ตัว ทำให้สามารถเลือกควบคุมการขับเคลื่อน มอเตอร์แต่ละตัวได้ตามภาระที่ต่ออยู่

Matsumoto et al. (1998) ได้พัฒนาระบบขับเคลื่อนมอเตอร์เหนี่ยวนำที่ต่อขนาดกันหลายตัวด้วยอินเวอร์เตอร์ชุดเดียวในระบบ 3 เฟส กล่าวคือ ปัญหาที่เกิดขึ้นจากการขับเคลื่อน มอเตอร์ที่ต่อขนาดกันหลายตัวด้วยอินเวอร์เตอร์ชุดเดียวขึ้น โหลดลักษณะเบี่ยงเบนมาก เช่น ระบบลากจูงรถไฟฟ้า ซึ่งตามปกติใช้อุปกรณ์เชิงกลในการเบี่ยงเบนเพื่อส่งผ่านแรงบิดไปยัง

เพลาล้อต่าง ๆ ระบบลากจูงรถไฟฟ้าลักษณะนี้มักเกิดสภาวะการลื่นไถล ทำให้รถไฟฟ้าหรือระบบลากจูงเคลื่อนที่ไม่ราบรื่น ดังนั้นการควบคุมระบบขับเคลื่อนดังกล่าวโดยควบคุมความเข้มสนานแม่เหล็กบนสเตเตอเร็วแบบเวกเตอร์จึงเป็นแนวทางที่ใช้ในการควบคุม และจากการจำลองผลพบว่าแนวทางดังกล่าวให้ประสิทธิภาพการควบคุมที่ดีแม่นยำอ得多เตอร์มีการปรับเปลี่ยนแรงบิดของโอลด์ในสภาวะต่าง ๆ เช่น มอเตอร์แต่ละตัวมีความเร็วแตกต่างกัน ความต้านทานของโรเตอร์เปลี่ยนแปลงเนื่องจากความร้อนที่เกิดขึ้นในตัวมอเตอร์ เป็นต้น อีกทั้งวิธีการนี้ให้ผลการควบคุมแรงบิดที่แม่นยำ

Matsumoto, Ozaki, and Kawamura (2001) ได้พัฒนาระบบขับเคลื่อนมอเตอร์เหนี่ยวนำที่ต่อขนาดกันหลายตัวด้วยอินเวอร์เตอร์ชุดเดียวในระบบ 3 เฟส กล่าวคือ ใช้การควบคุมสนานแม่เหล็กบนสเตเตอเร็วด้วยวิธีการแบบเวกเตอร์ โดยมีสนานแม่เหล็กโรเตอร์และกระแสสเตเตอเร็วเป็นองค์ประกอบในการสังเคราะห์ระดับอ้างอิงความเร็วเชิงมุม ระบบมีการเปรียบเทียบความเร็วเชิงมุมโดยสังเคราะห์จากอัตราเร็วเชิงมุมสลิปของมอเตอร์ตัวที่มีค่ามากที่สุด นำมาคำนวณหาความถี่อ้างอิงของอินเวอร์เตอร์ ความถี่ที่ได้จะมีความสัมพันธ์กับอัตราเร็วเชิงมุมสลิปของมอเตอร์ตัวที่มีแรงบิดของโอลด์มากที่สุด ดังนั้นมอเตอร์ที่มีอัตราเร็วเชิงมุมช้าที่สุดจะถูกเร่งให้เข้าสู่ความเร็วอ้างอิงและมอเตอร์ตัวที่มีความเร็วมากที่สุดจะถูกเลือกให้อยู่ในโหมดเบรกโดยอาศัยการจำลองผล พบว่าระบบเสถียรภาพเมื่อใช้อินเวอร์เตอร์แบบ PWM หลายลูกคู่ลี่นที่ความถี่ 200 Hz ขึ้นไป หากเป็นช่วงความถี่ต่ำ ๆ ตั้งแต่ 30 Hz ขึ้นไป ระบบมีเสถียรภาพเมื่อใช้อินเวอร์เตอร์ PWM แบบลูกคู่ลี่นเดียวเป็นแหล่งจ่าย ในช่วงความถี่ที่ต่ำกว่า 30 Hz ระบบจะเกิดการแกร่งสูง

Matsuse et al. (2002) ได้พัฒนาระบบขับเคลื่อนมอเตอร์เหนี่ยวนำที่ต่อขนาดกันหลายตัวด้วยอินเวอร์เตอร์ชุดเดียวในระบบ 3 เฟส ด้วยวิธีการควบคุมแบบเวกเตอร์ โดยพิจารณาความแตกต่างของกระแสในบัดลูคส์เตอเร็วและความเข้มสนานแม่เหล็กโรเตอร์ของมอเตอร์แต่ละตัว ซึ่งมีตัวตรวจรู้กระแสและแรงดันของมอเตอร์แต่ละตัวเป็นสัญญาณป้อนกลับสำหรับคำนวณหาความเข้มสนานแม่เหล็กเฉลี่ย โดยประมาณความเร็วจากตัวตรวจรู้กระแสและแรงดันในตัวสังเกต สนานแม่เหล็กของโรเตอร์ และคำนวณแรงบิดอ้างอิงของมอเตอร์แต่ละตัว ได้จากความแตกต่างระหว่างความเร็วอ้างอิงและความเร็วประมาณค่าได้โดยใช้ตัวควบคุม P และ PI ค่าที่ได้จึงนำมาคำนวณแรงบิดเฉลี่ยอ้างอิงเพื่อใช้ในการควบคุมแหล่งจ่ายแรงดันอินเวอร์เตอร์แบบ PWM เพื่อจ่ายให้กับมอเตอร์ที่ต่อขนาดกัน

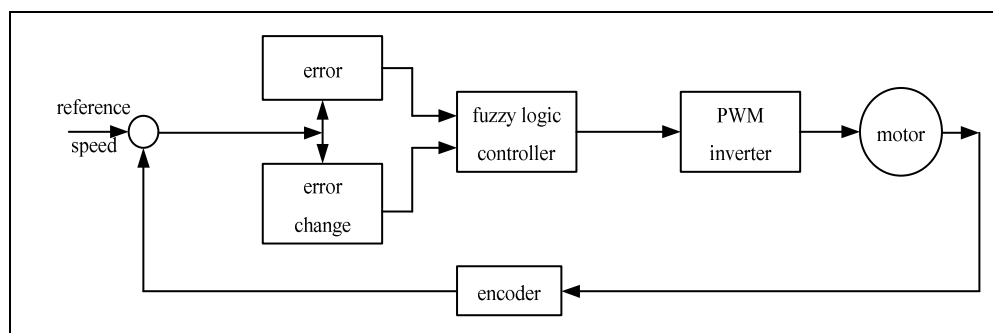
Ando, Sazawa, and Ohishi (2004) ได้พัฒนาระบบขับเคลื่อนมอเตอร์เหนี่ยวนำที่ต่อขนาดกันหลายตัวด้วยอินเวอร์เตอร์ชุดเดียวในระบบ 3 เฟส กล่าวคือ ในการควบคุมแบบดึงเดิมที่ใช้วิธีการควบคุมแบบเวกเตอร์นี้ ไม่ได้พิจารณาประสิทธิภาพการควบคุมมอเตอร์และเงื่อนไข

ความแตกต่างทางแรงบิดของโรลอดที่มอเตอร์แต่ละตัว แต่วิธีการใหม่นี้ใช้การโปรแกรมแบบไม่เป็นเชิงเส้นที่พิจารณาเงื่อนไขการควบคุมดังที่ได้กล่าวมาแล้ว มาควบคุมแรงดันและความถี่อินเวอร์เตอร์ที่ทำหน้าที่เป็นแหล่งจ่ายแรงดันให้มีค่าที่เหมาะสมสมต่อการขับเคลื่อนมอเตอร์ในแต่ละภาวะ ซึ่งสังเคราะห์จากตัวสังเกตแรงบิดโรลอดและความเร็วอ้างอิงของมอเตอร์แต่ละตัว จากการจำลองผลกระทบสามารถควบคุมความเร็วของมอเตอร์ให้ใกล้เคียงกันได้ มีประสิทธิภาพในการขับเคลื่อนสูงแม้แรงบิดโรลอดจะแตกต่างกันมาก

Ruxi et al. (2006) ได้พัฒนาระบบขับเคลื่อนมอเตอร์เหนี่ยวนำที่ต้องนาณกันหลายตัว ด้วยอินเวอร์เตอร์ชุดเดียวในระบบ 3 เฟส จากปัญหาความแตกต่างของแรงบิดของมอเตอร์แต่ละตัว ที่เกิดขึ้นในระบบขับเคลื่อนบนราง เช่น รถไฟฟ้า จึงได้วิเคราะห์ปัญหาดังกล่าวบนพื้นฐานแบบจำลองพลวัต และใช้การควบคุมแบบวงจรเดอร์ที่มีกระแสและความเข้มสานามแม่เหล็กของมอเตอร์แต่ละตัวเป็นองค์ประกอบมาคำนวณหาค่าเฉลี่ยกระแสบนแกน dq นำค่าที่ได้ไปวิเคราะห์ในสมการแบบจำลองพลวัต เพื่อหาความแตกต่างของแรงบิดในมอเตอร์แต่ละตัว ซึ่งในระบบดังเดิมนี้ใช้ตัวควบคุมแบบ PI เพียงตัวเดียว แต่ในวิธีการใหม่นี้ใช้ตัวควบคุม PI เท่ากับจำนวนของมอเตอร์ที่ต้องนาณกัน จากการจำลองผลพบว่าลักษณะสมบัติทางพลวัตของแรงบิดตอบสนองต่อการควบคุมได้เป็นอย่างดี

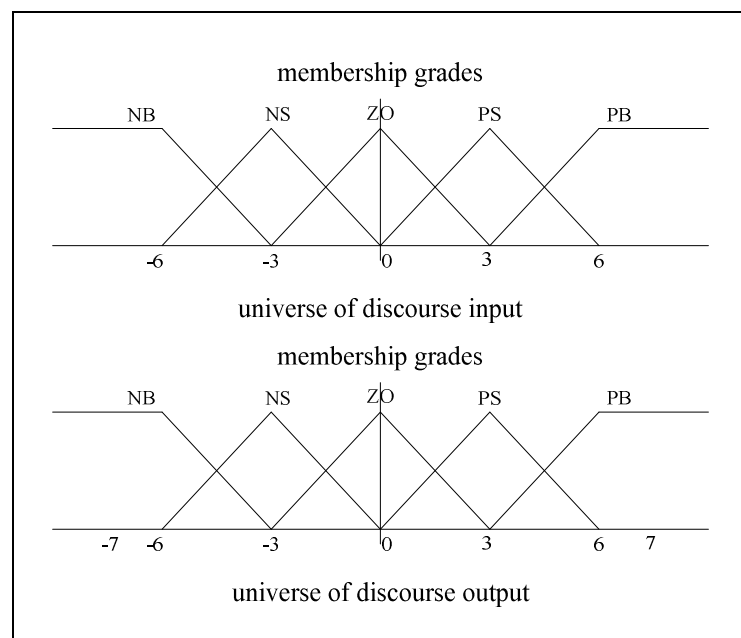
2.4 การควบคุมอัตราเร็วของมอเตอร์เหนี่ยวนำด้วยฟิชชีลوجิก

Lai, Chang, and Chiou (1997) ได้ออกแบบตัวควบคุมฟิชชีลوجิกสำหรับควบคุมอัตราเร็วมอเตอร์เหนี่ยวนำใช้อินเวอร์เตอร์แบบ PWM รับคำสั่งอินพุตเป็นอัตราเร็วของมอเตอร์ป้อนให้กับตัวควบคุมฟิชชีที่ใช้คอมพิวเตอร์ส่วนบุคคลในการประมวลผล ระบบควบคุมนี้อาจแทนได้ด้วยแผนภาพในรูปที่ 2.3



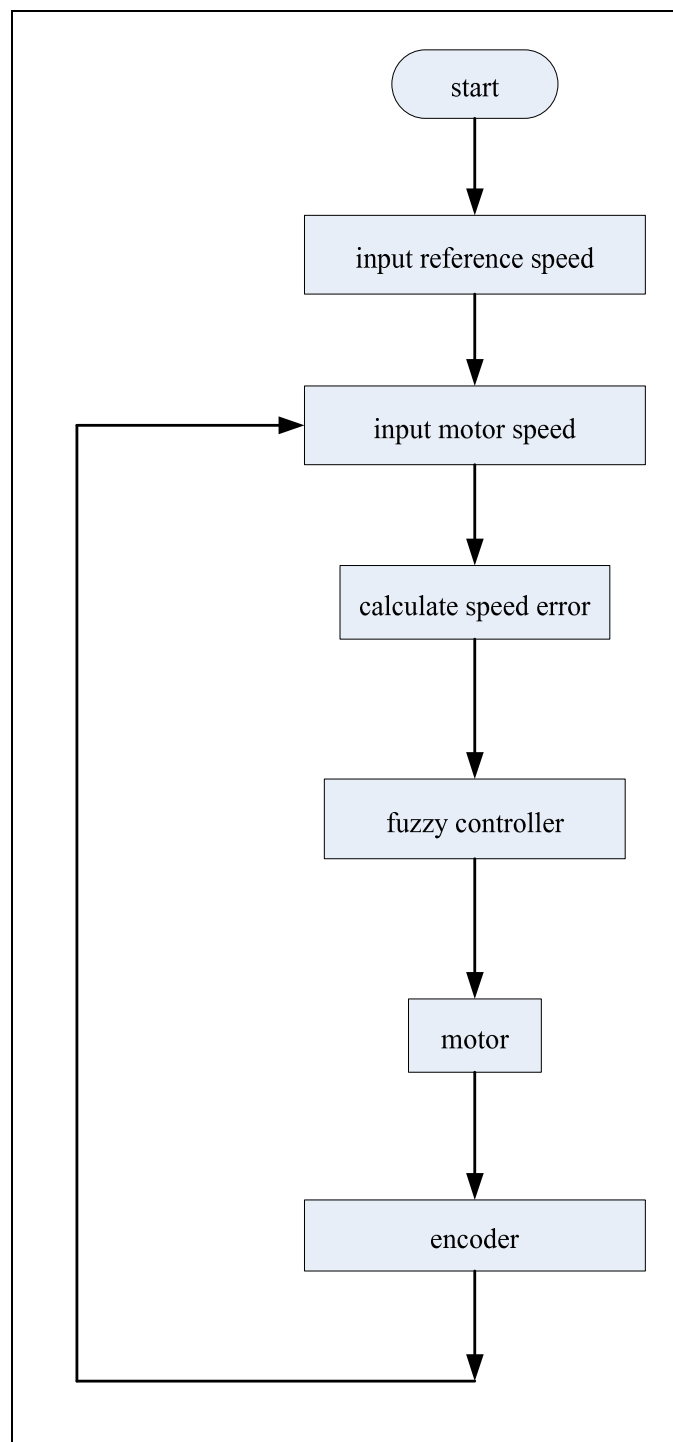
รูปที่ 2.3 แผนภาพการขับเคลื่อนมอเตอร์เหนี่ยวนำด้วยตัวควบคุมฟิชชีลوجิก

โprocงสร้างของตัวควบคุมฟิชชีใช้ค่าพิดพลาดของอัตราเร็วโมเตอร์ อธิบายด้วยตัวแปรทางภาษา ประกอบด้วยฟิชชีเซตทั้งอินพุตและเอาต์พุตอย่างละ 5 เซต แสดงได้ด้วยรูปที่ 2.4 กฎการควบคุม ทั้งอินพุตและเอาต์พุตอย่างละ 25 กฎ สามารถดูรายละเอียดตัวแปรทางภาษาได้ในบทความต้นฉบับ (Lai, Chang, and Chiou, 1997) การดิฟิชชีฟิเกชันใช้แบบหาจุดศูนย์กลางพื้นที่ และประค่า ทางภาษาด้วยการเปิดตารางฟิชชี (look-up table) ค่าที่ได้ออกมาจากการวนการนำมาเข้าสู่ การประมวลผลสำหรับปรับความถี่ในการควบคุมมอเตอร์ของวงจร PWM ซึ่งใช้วิธีควบคุม การปรับเปลี่ยนอัตราเร็วโมเตอร์แบบ V/f



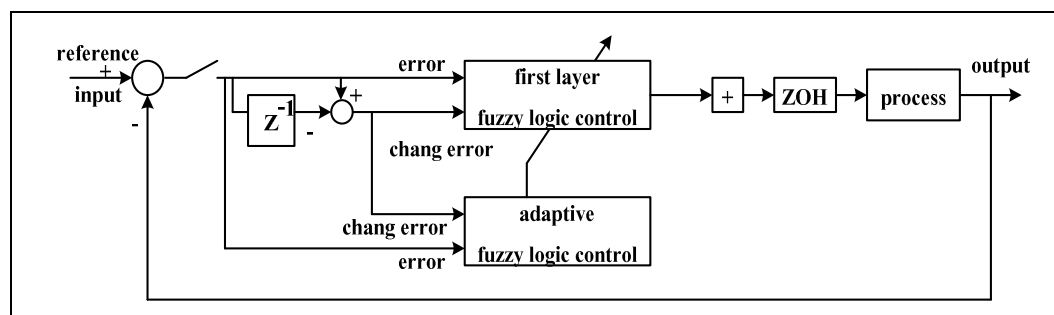
รูปที่ 2.4 แผนภาพฟังก์ชันความเป็นสมาชิกภาษาของอินพุตและเอาต์พุต

ในรูปที่ 2.5 แสดงแผนภาพการทำงานของโปรแกรมการควบคุมมอเตอร์ด้วยตัวควบคุมฟิชชีลอกิก เริ่มจากป้อนค่าอัตราเร็วอ้างอิงรับค่าอัตราเร็วจากตัวตรวจรู้ แล้วทำการคำนวณค่าพลาดอัตราเร็ว ป้อนให้กับตัวควบคุมฟิชชี ค่าที่ได้ออกมาส่งต่อไปยังอินเวอร์เตอร์เพื่อทำการปรับวงรอบของ การทำงานสำหรับควบคุมมอเตอร์ การทำงานจะยังดำเนินต่อไปจนกว่าเวลาที่ตั้งไว้ในโปรแกรม จะสิ้นสุด การควบคุมวิธีนี้สามารถควบคุมอัตราเร็วโมเตอร์หนึ่งยาน้ำสามเฟสได้เป็นอย่างดี ก่อตัวคือมีการผุ่งเกินในการตอบสนองน้อยกว่า 1% และค่าพิดพลาดในสถานะอยู่ตัวของอัตราเร็ว น้อยกว่า 1%

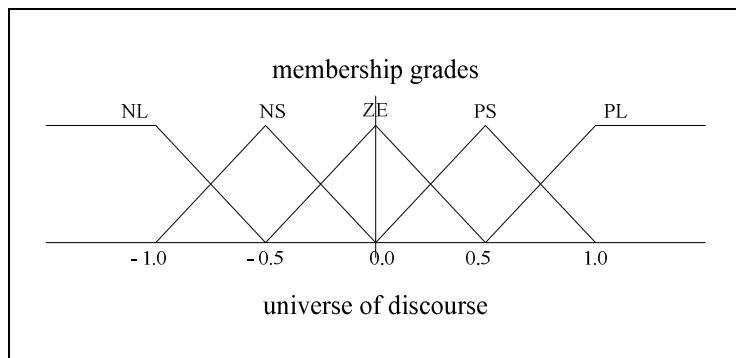


รูปที่ 2.5 แผนภาพแสดงขั้นตอนทำงานของโปรแกรมควบคุมมอเตอร์

Xu and Shin (2005) ได้นำเสนอการควบคุมฟิชชีแบบหลายระดับที่ใช้สำหรับระบบไม่เป็นเชิงเส้นและวิเคราะห์เสถียรภาพ ระบบควบคุมที่พัฒนาขึ้นเป็นแบบสองอินพุตหนึ่งเอาต์พุต เป็นระบบควบคุมที่มีกฎการควบคุมแบบสองชั้น กฎการควบคุมในชั้นแรกสร้างขึ้นด้วยหลักการศึกษาสำนึก ในชั้นที่สองทำการปรับเปลี่ยนกฎชั้นแรกให้มีความผิดพลาดของการควบคุมลดลง โดยใช้การปรับฟังก์ชันความเป็นสมาชิกเอาต์พุตของตัวควบคุมฟิชชีชั้นแรก โครงสร้างของระบบควบคุมแทนด้วยแผนภาพดังที่แสดงในรูปที่ 2.6 เมื่อระบบรับค่าจากตัวป้อนกลับ นำค่าที่ได้มาเปรียบเทียบกับค่าอ้างอิง ในการคำนวนค่าผิดพลาดและการเปลี่ยนแปลงของค่าผิดพลาด ซึ่งจะถูกส่งไปยังกระบวนการฟิชชีฟิลเตชันอิกต่อหนึ่ง ซึ่งขั้นตอนนี้ได้ออกแบบฟิชชีเซตสำหรับค่าผิดพลาด และค่าการเปลี่ยนแปลงของค่าผิดพลาดอย่างละ 5 เซต ในรูปที่ 2.7 แสดงแผนภาพฟังก์ชันความเป็นสมาชิกภาพของอินพุตทั้ง ค่าผิดพลาดและค่าอัตราการเปลี่ยนแปลงของค่าผิดพลาด กฎฟิชชีในชั้นที่สองจะมีสองอินพุตเข่นกัน ในชั้นที่สองนี้จะเป็นการนำค่าผิดพลาดและการเปลี่ยนแปลงของค่าผิดพลาดมาทำการปรับค่าการควบคุม โดยการปรับจุดศูนย์กลางพื้นที่ในขั้นตอนดีฟิชชีฟิลเตชันของชั้นแรก จากการนำวิธีการควบคุมนี้ไปจำลองผลและทดสอบการปรับทิศทางของเรือเดินทะเล ผลทำให้ความผิดพลาดของทิศทางการเดินเรือลดลงและระบบมีเสถียรภาพ รายละเอียดสามารถศึกษาได้จากต้นฉบับ (Xu and Shin, 2005) และระบบดังกล่าวสามารถใช้ในอุตสาหกรรมจริงที่มีพานต์ไม่เป็นเชิงเส้น



รูปที่ 2.6 แผนภาพแสดงระบบควบคุมฟิชชีแบบสองชั้น



รูปที่ 2.7 แผนภาพฟังก์ชันความเป็นสมาชิกภาพของอินพุตทั้งค่าผิดพลาดและค่าอัตราการเปลี่ยนแปลงค่าผิดพลาด

2.5 สรุป

ผลงานวิจัยต่าง ๆ ที่ปรากฏมา ก่อนนี้ พบว่า เป็นการพัฒนาระบบขับเคลื่อนมอเตอร์ 3 เฟส ที่ต่อขนาดกันหลายตัวทั้งสิ้น เนื่องจากผู้วิจัยได้มุ่งเน้นที่จะแก้ไขปัญหาที่เกิดขึ้นในอุตสาหกรรมขนาดใหญ่ หรือระบบควบคุมที่มีขนาดกำลังม้าสูง ๆ เช่น ในรถไฟฟ้า ได้สังเกตเห็นว่าวิธีการควบคุมเป็นไปในแนวทางที่ใกล้เคียงกัน กล่าวคือ ใช้วิธีควบคุมความเข้มสนามแม่เหล็กไฟฟ้าแบบเดอร์ ที่สังเคราะห์จากค่าเฉลี่ยของค่าประกอบของเวกเตอร์ระหัวงความเข้มสนามแม่เหล็กไฟฟ้าและกระแสที่สแตกเตอร์ของมอเตอร์แต่ละตัว ทำให้สามารถควบคุมแรงบิดของมอเตอร์ได้เหมาะสมกับการนำมาระบุกต์ใช้ในงานที่ต้องการแรงบิดคงที่ ตลอดจนแรงบิดของโหลดไม่มีการเปลี่ยนแปลงอย่างรวดเร็ว แต่หากโหลดมีลักษณะสมบัติที่เปลี่ยนแปลงแรงบิดอย่างรวดเร็ว การควบคุมแบบ V/f จะมีความเหมาะสมมากกว่า (Ong, 1998) เนื่องจากการเพิ่มแรงบิดของมอเตอร์ในวิธีการนี้จะเป็นไปโดยธรรมชาติของมอเตอร์เอง พฤติกรรมการรับโหลดทางกลจะสะท้อนเข้ามาในวงจรไฟฟ้าผ่านทางสลิป s ถ้าโหลดทางกลมีแรงบิดด้านมาก สลิป s จะมาก ทำให้อัตราส่วน R_s/L_s มีค่าน้อย กระแสไฟฟ้าที่มีค่ามาก ตรงกันข้ามถ้าโหลดทางกลมีแรงบิดด้านน้อย สลิป s จะมีค่าน้อย ทำให้ R_s/L_s มีค่ามาก กระแสไฟฟ้าที่มีค่าน้อย ดังนั้นมีการเปลี่ยนแปลงของโหลด T_L ของมอเตอร์ที่ถูกควบคุมด้วยอัตราส่วน V/f คงที่ จะออกแรงบิดด้านอย่างรวดเร็ว แต่ทว่าจะมีการหน่วงเวลาอยู่บ้างเล็กน้อย เนื่องมาจากค่าคงที่ทางเวลาของระบบ ซึ่งประกอบด้วย R_s+R_r และ L_s+L_r การตอบสนองต่อแรงบิดของโหลดจึงรวดเร็วกว่าใช้วิธีการควบคุมแบบเวกเตอร์

จากการศึกษาผลงานการวิจัยเครื่องย่อขบวนดีพีชผลทางการเกษตรที่ปรากฏมาก่อนแล้ว พบว่ามีการใช้ต้นกำลังเป็นมอเตอร์ 3 เฟส ทั้งสิ้น การใช้งานจะต้องมีแหล่งพลังงานที่เป็นระบบ 3 เฟส อีกทั้งการใส่วัสดุเพื่อให้ใบมีคุณภาพดีต้องมีประสิทธิภาพ

มีความยุ่งยาก ก่อให้เกิดผลกระทบต่อสุขภาพของผู้ใช้และกำลังการผลิต วัสดุที่นำมาทำในมีดไม่คงทน หมายความเร็ว ทำให้ต้นทุนการผลิตและการบำรุงรักษาสูง

จากการศึกษาผลงานวิจัยทางระบบควบคุมฟิล์มอิเล็กทรอนิกส์ที่ประยุกต์มา ก่อนแล้ว พบว่าเป็นการพัฒนาตัวควบคุมฟิล์มอิเล็กทรอนิกส์ที่มีโครงสร้างของตัวควบคุมฟิล์มอิเล็กทรอนิกส์ใช้ค่าผิดพลาดที่ได้จากการสัมผัสถูป ป้อนกลับ อธิบายด้วยตัวแปรทางกายภาพก่อนด้วยฟิล์มอิเล็กทรอนิกส์และหนึ่งอาจต้องการค่าฟิล์มอิเล็กทรอนิกส์ที่ได้แบบหาจุดศูนย์กลางพื้นที่ และปรับค่าทางกายภาพด้วยการเปิดตารางฟิล์มอิเล็กทรอนิกส์ ค่าที่ได้ออกมานาจกระบวนการนำมายังสู่การประมวลผลและแปลงเป็นค่าสำหรับนำไปควบคุม เช่น ควบคุมการปรับความถี่ของวงจร PWM เพื่อควบคุมมอเตอร์ และพบว่าการควบคุมฟิล์มอิเล็กทรอนิกส์ที่เป็นแบบใช้กฎสองชั้น กล่าวคือ กฎการควบคุมในชั้นแรกสร้างขึ้นจากหลักการศึกษาสำนัก ในชั้นที่สองจะทำการปรับเปลี่ยนกฎชั้นแรกให้มีความผิดพลาดของการควบคุมลดลง โดยการปรับฟังก์ชันความเป็นสมมาตรของอาจต้องการค่าฟิล์มอิเล็กทรอนิกส์ชั้นแรก ซึ่งวิธีการนี้สามารถลดความผิดพลาดในการควบคุมได้เป็นอย่างดี

ในการวิจัยนี้มุ่งเน้นที่จะทำการควบคุมมอเตอร์เฟสเดียวที่ต่อขานกันหลายตัว ซึ่งส่วนมากใช้ในอุตสาหกรรมนาคกลางและขนาดเล็ก เช่น การผลิตอาหารสัตว์ในกลุ่มสหกรณ์ การแปรรูปอาหาร การผลิตปุ๋ย เป็นต้น ซึ่งองค์ความรู้ที่ได้กล่าวไว้ในบทนี้ จะได้นำมาปรับให้เข้ากับงานวิจัยและพัฒนาต้นแบบสำหรับทดสอบจริงเปรียบเทียบกับการจำลองผลด้วยโปรแกรมคอมพิวเตอร์ต่อไป

บทที่ 3

แบบจำลองทางคณิตศาสตร์ของมอเตอร์เหนียวน้ำเฟสเดียว ที่ต้องนาอกันหลายตัวสำหรับการจำลองผล

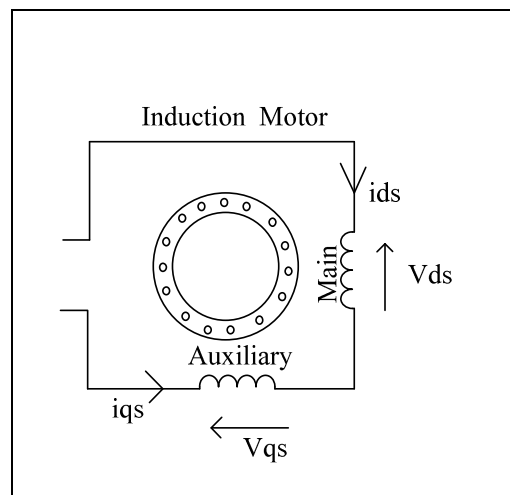
3.1 บทนำ

เทคโนโลยีการขับเคลื่อนมอเตอร์เหนียวน้ำเฟสเดียวที่ต้องนาอกันหลายตัวมีประโยชน์ต่อ อุตสาหกรรมหลากหลายประเภท ที่มีการใช้มอเตอร์ขนาดเดียวกันหลาย ๆ ตัวทำงานที่ลักษณะ สมบัติของโหลดใกล้เคียงกัน เช่น อุตสาหกรรม อัลลอย อุตสาหกรรมอาหาร เป็นต้น องค์ความรู้ ที่สำคัญเป็นรากฐานการทำความเข้าใจในปัญหาการพัฒนาเทคโนโลยีการขับเคลื่อนมอเตอร์ต้องนาอกัน หลายตัวนี้ คือ แบบจำลองทางคณิตศาสตร์ ในการวิเคราะห์แบบจำลองในบทนี้ได้มุ่งเน้นพัฒนา แบบจำลองของมอเตอร์เหนียวน้ำหนึ่งเฟสที่นิยมใช้กันอย่างแพร่หลายในภาคอุตสาหกรรม ขนาดย่อม เพื่อให้เกิดความเหมาะสมในระบบการผลิตที่ใช้มอเตอร์เหนียวน้ำหนึ่งเฟสต้องนาอกัน หลายตัวขับเคลื่อนด้วยอินเวอร์เตอร์เพียงตัวเดียว ซึ่งในการวิเคราะห์แบบจำลองนี้จะพิจารณา แหล่งจ่ายไฟฟ้าเป็นสองเฟส (Jang et al., 1994) แหล่งจ่ายสองเฟสนี้ได้มาจากการอินเวอร์เตอร์แบบ หนึ่งเฟสดามาร์กตาที่มีใช้กันโดยทั่วไป ระบบขับเคลื่อนสำหรับมอเตอร์เหนียวน้ำหนึ่งเฟส ลักษณะเช่นนี้มีประโยชน์ต่ออุตสาหกรรมขนาดเล็กและกลาง ส่วนมากการพัฒนาแบบจำลองนี้ พิจารณาของมอเตอร์ตามรูปแบบแกน dq ซึ่งทั้งสองแกนจะตั้งฉากกันตามลักษณะการวางตัวของชุด ขดลวด โรเตอร์ และชุดขดลวดสเตเตอร์ ทำให้สามารถแม่เหล็กของชุดขดลวดทั้งสองตั้งฉากกัน ดังนั้น หลักการโครงแบบ dq (Mutsuse et al., 2004; Krishnan, 2001) จึงเป็นพื้นฐานของการพัฒนา แบบจำลองทางคณิตศาสตร์ที่นำเสนอใน ประโยชน์ของแบบจำลองตามโครงแบบ dq นี้จะใช้เพื่อการ จำลองด้วยคอมพิวเตอร์

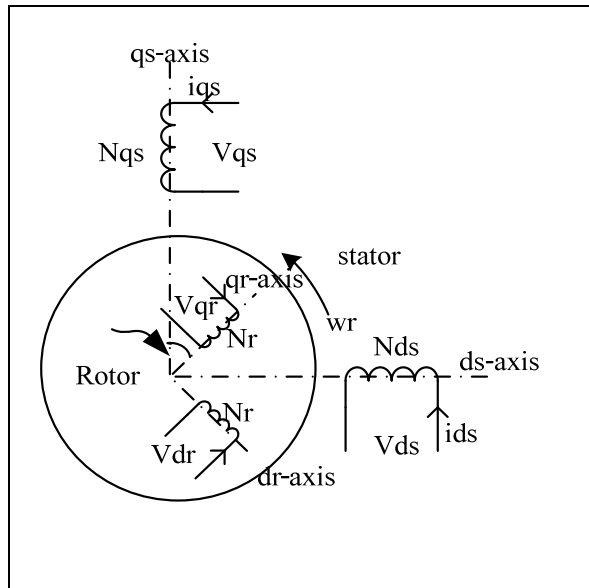
เนื้อหาในบทนี้แบ่งออกเป็น 3 ส่วนด้วยกัน กล่าวคือ (1) ส่วนของการหาแบบจำลองทาง คณิตศาสตร์ของมอเตอร์เหนียวน้ำหนึ่งเฟสโดยใช้ทฤษฎีกรอบอ้างอิง (2) ส่วนต่อมาจะเป็นการ วิเคราะห์แบบจำลองทางคณิตศาสตร์ของการบนนาของมอเตอร์ n ตัวในรูปของสมการสแตก และ (3) ส่วนของการจำลองผลการทำงานของมอเตอร์ด้วยโปรแกรมคอมพิวเตอร์

3.2 แบบจำลองทางคณิตศาสตร์ของมอเตอร์เหนี่ยวนำไฟฟ้าเดียว

ในการวิเคราะห์หาแบบจำลองทางคณิตศาสตร์ของมอเตอร์เหนี่ยวนำไฟฟ้าเดียว จะพิจารณาจากโครงสร้างของมอเตอร์ (Krishnan, 2001) ซึ่งประกอบด้วยชุดคลาวด์ 2 ชุด กล่าวคือ ชุดแรก คือ ชุดที่อยู่บนสเตเตเตอร์ ประกอบไปด้วย ชุดคลาวด์หลัก (main winding) และชุดคลาวด์ช่วย (auxiliary winding) ส่วนชุดที่สองนั้นอยู่ที่โรเตอร์ ดังแสดงในรูปที่ 3.1 ในการพัฒนาแบบจำลองทางคณิตศาสตร์จะใช้แบบสองเฟส หรืออาจเรียกว่าสองแกน ซึ่งประกอบด้วยแกน d และแกน q ตั้งฉากกัน วิเคราะห์หาแบบจำลองทางคณิตศาสตร์ อาศัยหลักการโครงแบบ dq การพัฒนาแบบจำลองมีการขยับตัวแปรบนโรเตอร์ไปอยู่บนสเตเตเตอร์ตามทฤษฎีกรอบอ้างอิง (reference frame theory) (Krause et al., 1995)



รูปที่ 3.1 ชุดชุดคลาวด์หลัก ชุดคลาวด์ช่วยบนสเตเตเตอร์ และชุดคลาวด์โรเตอร์
ของมอเตอร์เหนี่ยวนำไฟฟ้าเดียว



รูปที่ 3.2 แผนภาพขดลวดสเตเตอเร่และโรเตอร์ของมอเตอร์เนินี่ยวนำ

รูปที่ 3.2 แสดงการวางตัวของชุดขดลวดที่อยู่บนสเตเตอเร่ โดยแกน q คือ แกนของขดลวดหลักที่มีค่าแรงดันเป็น V_{qs} มีกระแสไฟ流ในขดลวดเป็น i_{qs} และมีจำนวนรอบขดลวดเป็น N_{qs} แกน d คือ แกนของขดลวดซี่ที่มีค่าแรงดันเป็น V_{ds} มีกระแสไฟ流ในขดลวดเป็น i_{ds} และมีจำนวนรอบขดลวดเป็น N_{ds} ในส่วนของโรเตอร์จะประกอบด้วยแกน q มีค่าแรงดันเป็น V_{qr} มีกระแสไฟ流ในขดลวดเป็น i_{qr} และมีจำนวนรอบขดลวดเป็น N_{qr} แกน d มีค่าแรงดันเป็น V_{dr} มีกระแสไฟ流ในขดลวดเป็น i_{dr} และมีจำนวนรอบขดลวดเป็น N_{dr} เมื่อแกน q_r ทำมุนกับแกน q_s อยู่ θ_r สามารถแยกเวกเตอร์เข้าสู่แกนหลักของขดลวดสเตเตอเร่ โดยใช้ทฤษฎีกรอบอ้างอิง จากแผนภาพขดลวดสเตเตอเร่และโรเตอร์ของมอเตอร์เนินี่ยวนำ พิจารณาในแบบสองแกน ดังที่แสดงในรูปที่ 3.2 สามารถเขียนสมการความสัมพันธ์ของแรงดันในรูปแมตริกซ์ โดยกำหนดให้ค่าที่มีตัวยก s แสดงถึงค่าที่อยู่บนสเตเตอเร่ ในทำนองเดียวกัน ค่าที่มีตัวยก r แสดงถึงค่าที่อยู่บนโรเตอร์

$$\begin{bmatrix} V_{qr}^s \\ V_{dr}^s \end{bmatrix} = \begin{bmatrix} \cos \theta_r & \cos(90 - \theta_r) \\ \cos(90 + \theta_r) & \cos \theta_r \end{bmatrix} \begin{bmatrix} V_{qr}^r \\ V_{dr}^r \end{bmatrix} \quad (3.1)$$

หรือ

$$\begin{bmatrix} V_{qr}^s \\ V_{dr}^s \end{bmatrix} = \begin{bmatrix} \cos \theta_r & \sin \theta_r \\ -\sin \theta_r & \cos \theta_r \end{bmatrix} \begin{bmatrix} V_{qr}^r \\ V_{dr}^r \end{bmatrix} \quad (3.2)$$

สมการที่ 3.2 สามารถเขียนให้กระชับได้ว่า

$$\begin{bmatrix} \mathfrak{I}_{xr}^s \\ \mathfrak{I}_{xr}^r \end{bmatrix} = [k] \begin{bmatrix} \mathfrak{I}_{xr}^r \end{bmatrix} \quad (3.3)$$

เมื่อ	\mathfrak{I}_{xr}^s	คือ	ค่าใด ๆ ที่แปลงแกนจากโรเตอร์มาบังสเตเตอร์
	\mathfrak{I}_{xr}^r	คือ	ค่าใด ๆ ที่อยู่บนโรเตอร์
	k	คือ	เมตริกซ์การแปลงระหว่างสเตเตอร์กับโรเตอร์
	$[k]$	=	$\begin{bmatrix} \cos \theta_r & \sin \theta_r \\ -\sin \theta_r & \cos \theta_r \end{bmatrix}$

ในการวิเคราะห์แบบจำลองทางคณิตศาสตร์ของมอเตอร์เห็นได้ว่านิ่งเฟสหนึ่ง จะแยกพิจารณา ออกเป็นสองส่วน คือ พิจารณาส่วนของสเตเตอร์ และพิจารณาส่วนของโรเตอร์

● พิจารณาที่สเตเตอร์

จากการสมการแรงดันที่เกิดขึ้นบนสเตเตอร์ จะได้ความสัมพันธ์ของแรงดัน กระแสความต้านทาน และความหนี้ขวาน เป็นดังนี้

$$V_{qs} = r_{qs} i_{qs} + L_{qsqs} p i_{qs} + L_{qsds} p i_{ds} + L_{qsqr} p i_{qr} + L_{qsd़} p i_{dr}$$

$$V_{ds} = r_{ds} i_{ds} + L_{dsqs} p i_{qs} + L_{dsds} p i_{ds} + L_{dsqr} p i_{qr} + L_{dsdr} p i_{dr}$$

เมื่อ	p	คือ	อนุพันธ์อันดับหนึ่งเทียบกับเวลา
	L_{qsqs}	คือ	ความหนี้ขวานภายในบันແກນ q ของสเตเตอร์ (H)
	L_{qsds}	คือ	ความหนี้ขวานภายในบันແກນ qd ของสเตเตอร์ (H)
	L_{qsqr}	คือ	ความหนี้ขวานภายในบันແກນ qr ของสเตเตอร์ และโรเตอร์ (H)
	$L_{qsd़}$	คือ	ความหนี้ขวานภายในบันແກນ qd ของสเตเตอร์ และโรเตอร์ (H)
	L_{dsqs}	คือ	ความหนี้ขวานภายในบันແກນ dq ของสเตเตอร์ (H)
	L_{dsds}	คือ	ความหนี้ขวานภายในบันແກນ d ของสเตเตอร์ (H)
	L_{dsqr}	คือ	ความหนี้ขวานภายในบันແກນ dq ของสเตเตอร์ และโรเตอร์ (H)
	L_{dsdr}	คือ	ความหนี้ขวานภายในบันແກນ d ของสเตเตอร์ และโรเตอร์ (H)

r_{qs}	คือ	ความต้านทานของลวดบันได q ของสเตเตอร์ (Ω)
r_{ds}	คือ	ความต้านทานของลวดบันได d ของสเตเตอร์ (Ω)

และสามารถจัดให้อยู่ในรูปสมการเมตริกซ์ได้ว่า

$$\begin{bmatrix} V_{qs}^s \\ V_{ds}^s \end{bmatrix} = \begin{bmatrix} r_{qs} + pL_{qsqs} & pL_{qsds} \\ pL_{dsqs} & r_{ds} + pL_{dsds} \end{bmatrix} \begin{bmatrix} i_{qs}^s \\ i_{ds}^s \end{bmatrix} + p \begin{bmatrix} L_{qsqr} & L_{qsdr} \\ L_{dsqr} & L_{dsdr} \end{bmatrix} \begin{bmatrix} i_{qr}^r \\ i_{dr}^r \end{bmatrix} \quad (3.4)$$

ในสมการที่ 3.4 จะเห็นว่ามีส่วนของกระแสโรเตอเรอร์อยู่ทางขวา มีอสุดของสมการ ทำการยกกระแสโรเตอเรอร์ไปยังสเตเตอเรอร์ ด้วยเมตริกซ์การแปลงแกนดังต่อไปนี้

$$\begin{bmatrix} i_x^s \\ i_x^r \end{bmatrix} = [k] \begin{bmatrix} i_x^r \\ i_x^s \end{bmatrix} \quad \text{หรือ} \quad \begin{bmatrix} i_x^r \\ i_x^s \end{bmatrix} = [k]^{-1} \begin{bmatrix} i_x^s \\ i_x^r \end{bmatrix}$$

เราจึงสามารถเขียนแสดงสมการ 3.4 ได้ในรูป

$$\begin{bmatrix} V_{qs}^s \\ V_{ds}^s \end{bmatrix} = \begin{bmatrix} r_{qs} + pL_{qsqs} & pL_{qsds} \\ pL_{dsqs} & r_{ds} + pL_{dsds} \end{bmatrix} \begin{bmatrix} i_{qs}^s \\ i_{ds}^s \end{bmatrix} + p \begin{bmatrix} L_{qsqr} & L_{qsdr} \\ L_{dsqr} & L_{dsdr} \end{bmatrix} [k]^{-1} \begin{bmatrix} i_{qr}^r \\ i_{dr}^r \end{bmatrix}$$

นั่นก็คือ

$$\begin{bmatrix} V_{qs}^s \\ V_{ds}^s \end{bmatrix} = \begin{bmatrix} r_{qs} + pL_{qsqs} & pL_{qsds} \\ pL_{dsqs} & r_{ds} + pL_{dsds} \end{bmatrix} \begin{bmatrix} i_{qs}^s \\ i_{ds}^s \end{bmatrix} + p \begin{bmatrix} L_{qsqr} & L_{qsdr} \\ L_{dsqr} & L_{dsdr} \end{bmatrix} \begin{bmatrix} \cos \theta_r & -\sin \theta_r \\ \sin \theta_r & \cos \theta_r \end{bmatrix} \begin{bmatrix} i_{qr}^r \\ i_{dr}^r \end{bmatrix} \quad (3.5)$$

เมื่อค่าหนึ่งนำสนาમแม่เหล็กระหว่างแกน dq ในฝั่งขวาของสมการ 3.5 ตั้งจากกัน ทำให้มีค่าความเหนี่ยวแน่นเป็นศูนย์ จัดรูปสมการ 3.5 เสียใหม่จะได้ว่า

$$\begin{bmatrix} V_{qs}^s \\ V_{ds}^s \end{bmatrix} = \begin{bmatrix} r_{qs} & 0 \\ 0 & r_{ds} \end{bmatrix} \begin{bmatrix} i_{qs}^s \\ i_{ds}^s \end{bmatrix} + \begin{bmatrix} L_{qsqr} & 0 \\ 0 & L_{dsqr} \end{bmatrix} p \begin{bmatrix} i_{qs}^s \\ i_{ds}^s \end{bmatrix} + p \begin{bmatrix} L_{qsqr} \cos \theta_r & -L_{qsqr} \sin \theta_r \\ L_{dsdr} \sin \theta_r & L_{dsdr} \cos \theta_r \end{bmatrix} \begin{bmatrix} i_{qr}^r \\ i_{dr}^r \end{bmatrix} \quad (3.6)$$

นั้นก็คือ

$$\begin{bmatrix} V_{qs}^s \\ V_{ds}^s \end{bmatrix} = \begin{bmatrix} r_{qs} & 0 \\ 0 & r_{ds} \end{bmatrix} \begin{bmatrix} i_{qs}^s \\ i_{ds}^s \end{bmatrix} + \begin{bmatrix} L_{qsqr} & 0 \\ 0 & L_{qsqr} \end{bmatrix} p \begin{bmatrix} i_{qs}^s \\ i_{ds}^s \end{bmatrix} + \begin{bmatrix} -\omega_r L_{qsqr} \sin \theta_r & -\omega_r L_{qsqr} \cos \theta_r \\ \omega_r L_{dsdr} \cos \theta_r & -\omega_r L_{dsdr} \sin \theta_r \end{bmatrix} \begin{bmatrix} i_{qr}^s \\ i_{dr}^s \end{bmatrix} + \begin{bmatrix} L_{qsqr} \cos \theta_r & -L_{qsqr} \sin \theta_r \\ L_{dsdr} \sin \theta_r & L_{dsdr} \cos \theta_r \end{bmatrix} p \begin{bmatrix} i_{qr}^s \\ i_{dr}^s \end{bmatrix} \quad (3.7)$$

- พิจารณาที่โรเตอร์

พิจารณาในกรณีที่โรเตอร์สมมาตร กล่าวคือ จำนวนรอบของชุดลวดในแนวแกน dq มีค่าเท่ากัน และความต้านทานของชุดชุดลวดที่โรเตอร์ในแนวแกน dq จะมีค่าเท่ากัน ($r_{qr} = r_{dr} = r_r$) สมการแรงดันที่โรเตอร์เป็นดังนี้

$$V_{qr}^r = r_{qr} i_{qr} + L_{qrqr} p i_{qr} + L_{qsds} p i_{dr} + L_{qrqs} p i_{qs} + L_{qrds} p i_{ds}$$

$$V_{dr}^r = r_{dr} i_{dr} + L_{drqr} p i_{qr} + L_{drdr} p i_{dr} + L_{drqs} p i_{qs} + L_{drds} p i_{ds}$$

เมื่อ	L_{qrqr}	คือ ความหนึ่งปานำภายในบันแกน q ของโรเตอร์ (H)
	L_{qsds}	คือ ความหนึ่งปานำบันแกน qd ของสเตเตอร์ (H)
	L_{qrqs}	คือ ความหนึ่งปานำบันแกน q ของสเตเตอร์และโรเตอร์ (H)
	L_{qrds}	คือ ความหนึ่งปานำบันแกน qd ของสเตเตอร์และโรเตอร์ (H)
	L_{drqr}	คือ ความหนึ่งปานำบันแกน dq ของโรเตอร์ (H)
	L_{drdr}	คือ ความหนึ่งปานำภายในบันแกน d ของโรเตอร์ (H)
	L_{drqs}	คือ ความหนึ่งปานำบันแกน dq ของสเตเตอร์และโรเตอร์ (H)
	L_{drds}	คือ ความหนึ่งปานำบันแกน d ของสเตเตอร์และโรเตอร์ (H)

และอาจจัดให้อยู่ในรูปสมการเมตริกซ์ได้ดังนี้

$$\begin{bmatrix} V_{qr}^r \\ V_{dr}^r \end{bmatrix} = \begin{bmatrix} r_{qr} + p L_{qrqr} & p L_{qrdr} \\ p L_{drqr} & r_{dr} + p L_{drdr} \end{bmatrix} \begin{bmatrix} i_{qr}^r \\ i_{dr}^r \end{bmatrix} + p \begin{bmatrix} L_{qrqs} & L_{qrds} \\ L_{drqr} & L_{drds} \end{bmatrix} \begin{bmatrix} i_{qs}^s \\ i_{ds}^s \end{bmatrix} \quad (3.8)$$

ทำการข้ายตัวแปรแรงดัน และกระแสที่อยู่บนโกรเตอร์ไปยังสเตเตอร์ ด้วยหลักการแปลงแกน ดังนี้
แปลงกระแส

$$\begin{bmatrix} i_r^r \\ \end{bmatrix} = \begin{bmatrix} k \\ \end{bmatrix}^{-1} \begin{bmatrix} i_r^s \\ \end{bmatrix} \quad (3.9)$$

แปลงแรงดัน

$$\begin{bmatrix} V_r^r \\ \end{bmatrix} = \begin{bmatrix} k \\ \end{bmatrix}^{-1} \begin{bmatrix} V_r^s \\ \end{bmatrix} \quad (3.10)$$

สมการ 3.8 จึงอาจเขียนแสดงได้ดังรูปสมการ 3.11 และ 3.12 ตามลำดับ

$$\begin{bmatrix} k \\ \end{bmatrix}^{-1} \begin{bmatrix} V_{qr}^s \\ V_{dr}^s \\ \end{bmatrix} = \begin{bmatrix} r_{qr} + pL_{qrqr} & pL_{qrdr} \\ pL_{drqr} & r_{dr} + pL_{drdr} \\ \end{bmatrix} \begin{bmatrix} k \\ \end{bmatrix}^{-1} \begin{bmatrix} i_{qr}^s \\ i_{dr}^s \\ \end{bmatrix} + p \begin{bmatrix} L_{qrqs} & L_{qrds} \\ L_{drqr} & L_{drds} \\ \end{bmatrix} \begin{bmatrix} i_{qs}^s \\ i_{ds}^s \\ \end{bmatrix} \quad (3.11)$$

$$\begin{bmatrix} V_{qr}^s \\ V_{dr}^s \\ \end{bmatrix} = \begin{bmatrix} k \\ \end{bmatrix} \begin{bmatrix} r_{qr} & 0 \\ 0 & r_{dr} \\ \end{bmatrix} \begin{bmatrix} k \\ \end{bmatrix}^{-1} \begin{bmatrix} i_{qr}^s \\ i_{dr}^s \\ \end{bmatrix} +$$

$$\begin{bmatrix} k \\ \end{bmatrix} \begin{bmatrix} L_{qrqr} & L_{qrdr} \\ L_{drqr} & L_{drdr} \\ \end{bmatrix} \begin{bmatrix} k \\ \end{bmatrix}^{-1} p \begin{bmatrix} i_{qr}^s \\ i_{dr}^s \\ \end{bmatrix} +$$

$$p \left\{ \begin{bmatrix} k \\ \end{bmatrix} \begin{bmatrix} L_{qrqs} & L_{qrds} \\ L_{drqr} & L_{drds} \\ \end{bmatrix} \right\} \begin{bmatrix} i_{qs}^s \\ i_{ds}^s \\ \end{bmatrix} \quad (3.12)$$

พิจารณาฝั่งขวาของสมการ 3.12 จะเห็นว่ามีสามพจน์รวมกันทางพีชคณิต เมื่อพิจารณาพจน์ที่ 1 คือ พจน์ที่อยู่ชุดแรกทางฝั่งขวาของสมการ นั้นคือ

$$\begin{bmatrix} k \\ \end{bmatrix} \begin{bmatrix} r_{qr} & 0 \\ 0 & r_{dr} \\ \end{bmatrix} \begin{bmatrix} k \\ \end{bmatrix}^{-1} \begin{bmatrix} i_{qr}^s \\ i_{dr}^s \\ \end{bmatrix}$$

ทำการแทนค่าเมตริกซ์ $[k]$ และเมตริกซ์ $[k]^{-1}$ จะได้

$$\begin{bmatrix} \cos \theta_r & \sin \theta_r \\ -\sin \theta_r & \cos \theta_r \end{bmatrix} \begin{bmatrix} r_{qr} & 0 \\ 0 & r_{dr} \end{bmatrix} \begin{bmatrix} \cos \theta_r & -\sin \theta_r \\ \sin \theta_r & \cos \theta_r \end{bmatrix} \begin{bmatrix} i_{qr}^s \\ i_{dr}^s \end{bmatrix}$$

ขั้นตอนที่ 2 ให้ง่ายขึ้นจะได้

$$\begin{bmatrix} r_{qr} \cos^2 \theta_r + r_{dr} \sin^2 \theta_r & -r_{qr} \cos \theta_r \sin \theta_r + r_{dr} \sin \theta_r \cos \theta_r \\ -r_{qr} \cos \theta_r \sin \theta_r + r_{dr} \sin \theta_r \cos \theta_r & r_{dr} \cos^2 \theta_r + r_{qr} \sin^2 \theta_r \end{bmatrix} \begin{bmatrix} i_{qr}^s \\ i_{dr}^s \end{bmatrix}$$

ในกรณีที่ $r_{qr} = r_{dr} = r_r$ ตลอดจน $\cos^2 \theta_r + \sin^2 \theta_r = 1$ พจน์ดังกล่าวจึงลดรูปเป็น

$$\begin{bmatrix} r_r & 0 \\ 0 & r_r \end{bmatrix} \begin{bmatrix} i_{qr}^s \\ i_{dr}^s \end{bmatrix} \quad (3.13)$$

พิจารณาส่วนที่ 2 ที่อยู่ทางฝั่งขวาของสมการ 3.12 ในกรณีที่ค่าความหนืดไขวนำร่วมระหว่างแกน dq ของโรเตอร์มีค่าเท่ากับศูนย์เนื่องจากแกนทั้งสองอยู่ในตำแหน่งตั้งฉากซึ่งกันและกันพร้อมทั้งแทนค่าเมตริกซ์ $[k]$ และ $[k]^{-1}$ พจน์ที่ได้เป็นดังนี้

$$\begin{bmatrix} \cos \theta_r & \sin \theta_r \\ -\sin \theta_r & \cos \theta_r \end{bmatrix} \begin{bmatrix} r_{qr} & 0 \\ 0 & r_{dr} \end{bmatrix} \begin{bmatrix} \cos \theta_r & -\sin \theta_r \\ \sin \theta_r & \cos \theta_r \end{bmatrix} \begin{bmatrix} i_{qr}^s \\ i_{dr}^s \end{bmatrix} \quad (3.14)$$

ขั้นตอนที่ 2 ให้ง่ายขึ้นจะได้

$$\begin{bmatrix} L_{qrqr} \cos^2 \theta_r + L_{drdr} \sin^2 \theta_r & -L_{qrqr} \cos \theta_r \sin \theta_r + L_{drdr} \sin \theta_r \cos \theta_r \\ -L_{qrqr} \sin \theta_r \cos \theta_r + L_{drdr} \sin \theta_r \cos \theta_r & L_{qrqr} \cos^2 \theta_r + L_{drdr} \sin^2 \theta_r \end{bmatrix} P \begin{bmatrix} i_{qr}^s \\ i_{dr}^s \end{bmatrix} \quad (3.15)$$

เมื่อความหนึ่งยวนำตัวเอง (self inductance) ของโรเตอร์บริเวณ qd มีค่าเท่ากัน $L_{qrqr} = L_{drdr}$ เนื่องจากมีจำนวนรอบของคลาดเท่ากัน พจน์ 3.15 สามารถจัดรูปได้เป็นดังนี้

$$\begin{bmatrix} L_{qrqr} & 0 \\ 0 & L_{qrqr} \end{bmatrix} P \begin{bmatrix} i_{qr}^s \\ i_{dr}^s \end{bmatrix} \quad (3.16)$$

เมื่อพิจารณาพจน์ที่ 3 คือ พจน์ที่อยู่ชุดสุดท้ายทางฝั่งขวาของสมการ 3.12 ซึ่งก็คือ

$$P \left\{ \begin{bmatrix} \cos \theta_r & \sin \theta_r \\ -\sin \theta_r & \cos \theta_r \end{bmatrix} \begin{bmatrix} L_{qrqs} & L_{qrds} \\ L_{drqs} & L_{drds} \end{bmatrix} \right\} \begin{bmatrix} i_{qs}^s \\ i_{ds}^s \end{bmatrix} \quad (3.17)$$

เมื่อ P คือ อนุพันธ์อันดับหนึ่งเทียบกับเวลา เราสามารถจัดรูปพจน์ 3.17 ได้ใหม่ดังนี้

$$\begin{aligned} & \begin{bmatrix} -\omega_r L_{qrqs} \sin \theta_r + \omega_r L_{drqs} \cos \theta_r \\ -\omega_r L_{qrqs} \cos \theta_r - \omega_r L_{drqs} \sin \theta_r \end{bmatrix} \\ & \quad - \omega_r L_{qrds} \sin \theta_r + \omega_r L_{drds} \cos \theta_r \begin{bmatrix} i_{qr}^s \\ i_{dr}^s \end{bmatrix} + \\ & \quad - \omega_r L_{qrds} \cos \theta_r - \omega_r L_{drds} \sin \theta_r \begin{bmatrix} L_{qrqs} \cos \theta_r + L_{drqs} \sin \theta_r \\ -L_{qrqs} \sin \theta_r + L_{drqs} \cos \theta_r \end{bmatrix} \\ & \quad - L_{qrds} \cos \theta_r + L_{drds} \sin \theta_r \end{aligned} \quad (3.18)$$

เมื่อนำพจน์ 3.13 3.16 และ 3.18 แทนกลับลงไปในสมการ 3.12 จะได้สมการ 3.19 จากการที่
ข่ายค่ากระแสมาอยู่บนแกน dq ของสเตเตอร์ จะทำให้ค่าความเห็นว่าระหว่างแกน dq หายไป
เนื่องจากขาด漉ดทั้งสองทำมุกัน 90 องศา

$$\begin{bmatrix} V_{qr}^s \\ V_{dr}^s \end{bmatrix} = \begin{bmatrix} r_r & 0 \\ 0 & r_r \end{bmatrix} \begin{bmatrix} i_{qr}^s \\ i_{dr}^s \end{bmatrix} + \begin{bmatrix} L_{qrqr} & 0 \\ 0 & L_{qrqr} \end{bmatrix} p \begin{bmatrix} i_{qr}^s \\ i_{dr}^s \end{bmatrix} +$$

$$\begin{bmatrix} -\omega_r L_{qrqs} \sin \theta_r + \omega_r L_{drqs} \cos \theta_r \\ -\omega_r L_{qrqs} \cos \theta_r - \omega_r L_{drqs} \sin \theta_r \end{bmatrix} +$$

$$\begin{bmatrix} -\omega_r L_{qrds} \sin \theta_r + \omega_r L_{drds} \cos \theta_r \\ -\omega_r L_{qrds} \cos \theta_r - \omega_r L_{drds} \sin \theta_r \end{bmatrix} +$$

$$\begin{bmatrix} L_{qrqs} \cos \theta_r + L_{drqs} \sin \theta_r \\ -L_{qrqs} \sin \theta_r + L_{drqs} \cos \theta_r \end{bmatrix} p \begin{bmatrix} i_{qr}^s \\ i_{dr}^s \end{bmatrix} -$$

$$\begin{bmatrix} L_{qrds} \cos \theta_r + L_{drds} \sin \theta_r \\ -L_{qrds} \sin \theta_r + L_{drds} \cos \theta_r \end{bmatrix} p \begin{bmatrix} i_{qr}^s \\ i_{dr}^s \end{bmatrix} \quad (3.19)$$

กระแสจากโรเตอร์ที่ข่ายมาอยู่บนแกน q ของสเตเตอร์ไม่สามารถสร้างความเห็นว่าไปยังแกน d ของสเตเตอร์ได้ ค่าความเห็นว่าของแกน dq ในสมการ 3.19 จึงมีค่าเป็นศูนย์ นั่นคือ

$$\begin{bmatrix} V_{qr}^s \\ V_{dr}^s \end{bmatrix} = \begin{bmatrix} r_r & 0 \\ 0 & r_r \end{bmatrix} \begin{bmatrix} i_{qr}^s \\ i_{dr}^s \end{bmatrix} + \begin{bmatrix} L_{qrqr} & 0 \\ 0 & L_{qrqr} \end{bmatrix} p \begin{bmatrix} i_{qr}^s \\ i_{dr}^s \end{bmatrix} +$$

$$\begin{bmatrix} -\omega_r L_{qrqs} \sin \theta_r & \omega_r L_{drds} \cos \theta_r \\ -\omega_r L_{qrqs} \cos \theta_r & \omega_r L_{drds} \sin \theta_r \end{bmatrix} +$$

$$\begin{bmatrix} L_{qrqs} \cos \theta_r & L_{drds} \sin \theta_r \\ -L_{qrqs} \sin \theta_r & L_{drds} \cos \theta_r \end{bmatrix} p \begin{bmatrix} i_{qr}^s \\ i_{dr}^s \end{bmatrix} \quad (3.20)$$

เมื่อทำการแปลงแกนตามหลักการกรอบอ้างอิงอยู่กับที่ ดังที่ได้แสดงมาแล้วข้างต้น สามารถนำส่วนที่เป็นสมการแรงดันของสเตเตอร์และโรเตอร์มาเขียนให้อยู่ในรูปสมการเมตริกซ์ได้ดังสมการ 3.21

$$\begin{bmatrix} V_{qs}^s \\ V_{ds}^s \\ V_{qr}^s \\ V_{dr}^s \end{bmatrix} = \begin{bmatrix} r_{qs} & 0 \\ 0 & r_{ds} \\ -\omega_r L_{qrqs} \sin \theta_r & -\omega_r L_{drdr} \cos \theta_r \\ -\omega_r L_{qrqs} \cos \theta_r & -\omega_r L_{drdr} \cos \theta_r \end{bmatrix} \begin{bmatrix} i_{qs}^s \\ i_{ds}^s \\ i_{qr}^s \\ i_{dr}^s \end{bmatrix} +$$

$$\begin{bmatrix} L_{qsqs} & 0 & L_{qsqr} \cos \theta_r & -L_{qsqr} \sin \theta_r \\ 0 & L_{dsds} & L_{dsdr} \sin \theta_r & L_{dsdr} \cos \theta_r \\ L_{qrqs} \cos \theta_r & L_{drdr} \sin \theta_r & L_{qsqr} & 0 \\ -L_{drqs} \sin \theta_r & L_{drds} \cos \theta_r & 0 & L_{drdr} \end{bmatrix} p \begin{bmatrix} i_{qs}^s \\ i_{ds}^s \\ i_{qr}^s \\ i_{dr}^s \end{bmatrix} \quad (3.21)$$

สมการ 3.21 สามารถหาค่าความสัมพันธ์ของค่าแรงดัน กระแส ความต้านทาน และจำนวนรอบของขดลวดแต่ละชุด เมื่อย้ายตัวแปรบนแกน dq ของโรเตอร์ ไปอยู่บนแกน dq ของสเตเตอร์

เมื่อ	N_{qs}	คือ	จำนวนรอบของขดลวดหลักแกน q (main winding)
	N_{ds}	คือ	จำนวนรอบของขดลวดช่วยแกน d (auxiliary winding)
	N_r	คือ	จำนวนรอบของขดลวดโรเตอร์
	N_{qr}	คือ	จำนวนรอบของขดลวดโรเตอร์บนแกน q
	N_{dr}	คือ	จำนวนรอบของขดลวดโรเตอร์บนแกน d
	L_r	คือ	ความเหนี่ยวนำที่โรเตอร์ (H)
	L_s	คือ	ความเหนี่ยวนำที่สเตเตอร์ (H)
	L_{lqs}	คือ	ความเหนี่ยวนำร่วมของขดลวดหลักของสเตเตอร์แกน q (H)
	L_{lds}	คือ	ความเหนี่ยวนำร่วมของขดลวดช่วยของสเตเตอร์แกน d (H)
	L_{lr}	คือ	ความเหนี่ยวนำร่วมของขดลวดของโรเตอร์ (H)
	L_{mq}	คือ	ความเหนี่ยวนำร่วมบนแกน q (H)
	L_{md}	คือ	ความเหนี่ยวนำร่วมบนแกน d (H)

และค่าที่มีตัวยก “ \cdot ” หมายถึงค่าที่ขยายนมาอยู่บนแกนอ้างอิง q ของสเตเตอร์

$$\begin{aligned} V_{ds}^{\cdot} &= \frac{N_{qs}}{N_{ds}} V_{ds} & , & i_{ds}^{\cdot} = \frac{N_{qs}}{N_{ds}} i_{ds} \\ L_{mq} &= N_{qs}^2 P_g & , & L_{ds}^{\cdot} = (\frac{N_{qs}}{N_{ds}})^2 N_{ds}^2 P_g = L_{mq} \\ L_{lds}^{\cdot} &= (\frac{N_{qs}}{N_{ds}})^2 L_{lds} & , & r_{ds}^{\cdot} = (\frac{N_{qs}}{N_{ds}})^2 r_{ds} \\ L_{lr}^{\cdot} &= (\frac{N_{qs}}{N_r})^2 L_{lr} & , & r_r^{\cdot} = (\frac{N_{qs}}{N_r})^2 r_r \\ V_{qr}^{\cdot} &= \frac{N_{qs}}{N_r} V_{qr}^s & , & V_{dr}^{\cdot} = \frac{N_{qs}}{N_r} V_{dr}^s \\ i_{qr}^{\cdot} &= \frac{N_r}{N_{qs}} i_{qr}^s & , & i_{dr}^{\cdot} = \frac{N_r}{N_{qs}} i_{dr}^s \end{aligned}$$

สามารถเปลี่ยนค่าความเหนี่ยวแน่นาระหว่างขดลวดแต่ละชุดเป็นค่าความเหนี่ยวแน่นแม่เหล็ก (magnetic inductance) ด้วยความสัมพันธ์ดังต่อไปนี้ (Ong, 1998)

$$\begin{aligned} L_{qsqs} &= L_{lqs} + N_{qs}^2 P_g & , & L_{dsds} = L_{lds} + N_{ds}^2 P_g \\ L_{qsqr} &= N_{qs} N_{qr} P_g & , & L_{qsdr} = N_{qs} N_{dr} P_g \\ L_{dsqr} &= N_{ds} N_{qr} P_g & , & L_{dsdr} = N_{ds} N_{dr} P_g \\ L_{qrqr} &= L_{lqr} + N_{qr}^2 P_g & , & L_{drdr} = L_{ldr} + N_{dr}^2 P_g \end{aligned}$$

แทนค่าต่าง ๆ ลงในสมการ 3.21 โดยพิจารณาให้จำนวนรอบของคลื่นเท่ากัน จะได้ว่า

$$\begin{aligned}
 \begin{bmatrix} V_{qs}^s \\ V_{ds}^s \\ V_{qr}^s \\ V_{dr}^s \end{bmatrix} &= \begin{bmatrix} r_{qs} & 0 \\ 0 & r_{ds} \\ -\omega_r L_{mqs} \sin \theta_r & -\omega_r L_{mqs} \cos \theta_r \\ -\omega_r L_{mqs} \cos \theta_r & -\omega_r L_{mqs} \sin \theta_r \end{bmatrix} \begin{bmatrix} i_{qs} \\ i_{ds} \\ i_{qr} \\ i_{dr} \end{bmatrix} + \\
 &\quad \begin{bmatrix} -\omega_r L_{mqs} \sin \theta_r & -\omega_r L_{mqs} \cos \theta_r \\ \omega_r L_{dsqr} \cos \theta_r & -\omega_r L_{mqs} \cos \theta_r \\ r_r & 0 \\ 0 & r_r \end{bmatrix} \begin{bmatrix} \dot{i}_{qs} \\ \dot{i}_{ds} \\ \dot{i}_{qr} \\ \dot{i}_{dr} \end{bmatrix} \\
 &\quad \begin{bmatrix} L_{lqs} + L_{mqs} & 0 \\ 0 & (L_{lqs} + L_{mqs}) \\ L_{mqs} \cos \theta_r & L_{mqs} \sin \theta_r \\ -L_{mqs} \sin \theta_r & \cos \theta_r \end{bmatrix} p \begin{bmatrix} i_{qs} \\ i_{ds} \\ i_{qr} \\ i_{dr} \end{bmatrix} \tag{3.22}
 \end{aligned}$$

และสามารถจัดให้อยู่ในรูปสมการสเตตได้ดังนี้

$$\frac{d}{dt} [i] = [A][i]_+ [B][v] \tag{3.23}$$

$$\begin{aligned}
 \text{ซึ่ง } [i] &= [i_{qs} \quad \dot{i}_{ds} \quad \dot{i}_{qr} \quad \dot{i}_{dr}]^T \\
 [v]_+ &= [V_{qs} \quad V_{ds} \quad V_{qr} \quad V_{dr}]^T \\
 [A] &= [D]^{-1} [C] \\
 [B] &= [D]^{-1}
 \end{aligned}$$

$$[C] = \begin{bmatrix} -r_{qs} & 0 & \omega_r L_{mqs} \sin \theta_r & \omega_r L_{mqs} \cos \theta_r \\ 0 & -r_{ds} & -\omega_r L_{dsqr} \cos \theta_r & \omega_r L_{mqs} \cos \theta_r \\ \omega_r L_{mqs} \sin \theta_r & -\omega_r L_{mqs} \cos \theta_r & -r_r & 0 \\ \omega_r L_{mqs} \cos \theta_r & \omega_r L_{mqs} \cos \theta_r & 0 & -r_r \end{bmatrix}$$

$$[D] = \begin{bmatrix} L_{lqs} + L_{mqs} & 0 & L_{mqs} \cos \theta_r & -L_{mqs} \sin \theta_r \\ 0 & (L_{lqs} + L_{mqs}) L_{mqs} \sin \theta_r & L_{mqs} \cos \theta_r & 0 \\ L_{mqs} \cos \theta_r & L_{mqs} \sin \theta_r (L_{lr} + L_{mqs}) & 0 & 0 \\ -L_{mqs} \sin \theta_r & L_{mqs} \cos \theta_r & 0 & (L_{lr} + L_{mqs}) \end{bmatrix}$$

เมื่อพิจารณาการเคลื่อนที่ของโรเตอร์ โดยใช้กฎการเคลื่อนที่ของนิวตัน (Krishnan, 2001) สมการเชิงกลอาจเขียนแสดงได้ดังนี้

$$\frac{d\omega_r}{dt} = \frac{P}{2J_m} T_e(t) - \frac{P}{2J_m} T_L(t) - \frac{B_m \omega_r(t)}{J_m}$$

เมื่อ	T_e	คือ	ทอร์กแม่เหล็กไฟฟ้า (Nm)
	T_L	คือ	โหลดทอร์ก (Nm)
	J_m	คือ	ความเร็วของมอเตอร์ ($\text{Kg} \cdot \text{m}^2$)
	B_m	คือ	ลัมป์ระสีทึบแรงเสียดทานของโหลดกับมอเตอร์ ($\text{N} \cdot \text{m}/\text{rad/sec}$)
	ω_r	คือ	อัตราเร็วเชิงมุม rad/s
	T_e	=	$(\frac{P}{2}) L_{mqs} i_{qs} (-i'_{qr} \sin \theta_r - i'_{dr} \cos \theta_r) + L_{mqs} i'_{ds} (i'_{qr} \cos \theta_r - i'_{dr} \sin \theta_r)$
	$\frac{d\theta_r}{dt}$	=	ω_r

จัดให้อยู่ในรูปสมการสเตต

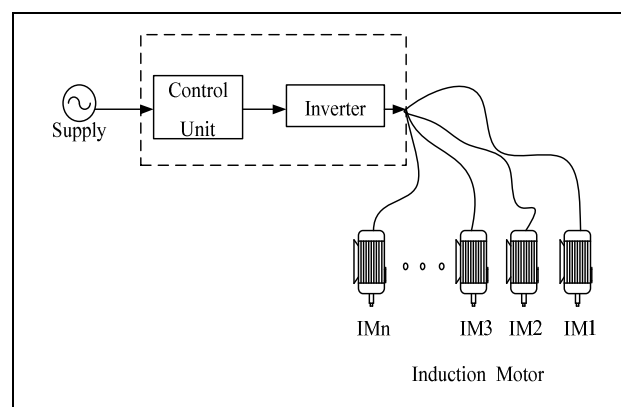
$$\begin{bmatrix} \frac{d\omega_r}{dt} \\ \frac{d\theta_r}{dt} \end{bmatrix} = \begin{bmatrix} -\frac{B_m}{J_m} & 0 \\ 1 & 0 \end{bmatrix} \begin{bmatrix} \omega_r \\ \theta_r \end{bmatrix} + \begin{bmatrix} \frac{P}{2J_m} \\ 0 \end{bmatrix} [T_e - T_L] \quad (3.24)$$

เมื่อรวมแบบจำลองปริภูมิสถานะของทั้งทางไฟฟ้าและทางกลเข้าด้วยกัน จะได้แบบจำลองปริภูมิสถานะของมอเตอร์ไฟฟ้ากระแสสลับเหนี่ยวนำแบบหนึ่งเฟสดังนี้

$$\begin{bmatrix} \frac{d[i]_{4x1}}{dt} \\ \frac{d\omega_r}{dt} \\ \frac{d\theta_r}{dt} \end{bmatrix} = \begin{bmatrix} [\mathfrak{R}]_{4x4} & \dots & 0 & \dots \\ \vdots & \ddots & & \\ 0 & & -\frac{B_m}{J_m} & 0 \\ \vdots & & 1 & 0 \end{bmatrix} \begin{bmatrix} [i]_{4x1} \\ \omega_r \\ \theta_r \end{bmatrix} + \begin{bmatrix} [\mathfrak{N}]_{4x4} & \dots & 0 & \dots \\ \vdots & \ddots & & \\ 0 & & \frac{P}{2J_m} & 0 \\ \vdots & & 1 & 0 \end{bmatrix} \begin{bmatrix} [V]_{4x1} \\ T_e - T_L \\ 0 \end{bmatrix} \quad (3.25)$$

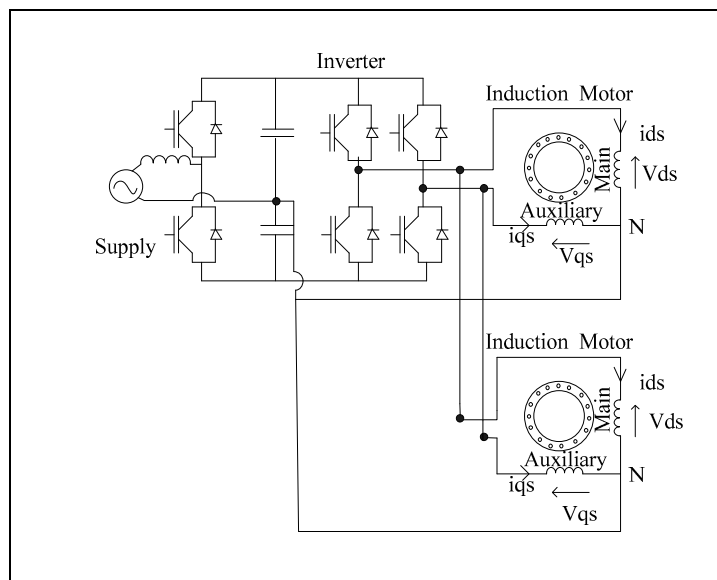
โดยที่ $[i]_{4x1} = [i_{qs} \ i_{ds} \ i_{qr} \ i_{dr}]^T$
 $[\mathfrak{R}]_{4x4} = [A] = [D]^{-1}[C]$
 $[\mathfrak{N}]_{4x4} = [B] = [D]^{-1}$

3.3 แบบจำลองทางคณิตศาสตร์ของมอเตอร์เหนี่ยวนำเฟสเดียวที่ต่อขานกัน n ตัว



รูปที่ 3.3 การต่อขานมอเตอร์เหนี่ยวนำหนึ่งเฟสซึ่บเคลื่อนด้วยอุปกรณ์ควบคุมเพียงชุดเดียว

หัวข้อที่ผ่านมาได้แสดงรายละเอียดแบบจำลองทางคณิตศาสตร์ของมอเตอร์เนี้ยวนำ หนึ่งเฟลสอ้างอิงแกน dq ใน การวิจัยนี้ได้นำมาพัฒนาเพื่อให้ได้แบบจำลองสำหรับการขานามอเตอร์ หลาย ๆ ตัว ที่ใช้อุปกรณ์ขับเคลื่อนเพียงชุดเดียว ดังแสดงในรูปที่ 3.3 การพัฒนาแบบจำลองทางคณิตศาสตร์ของการต่อขานามอเตอร์หลาย ๆ ตัวนี้ จะอาศัยหลักการถ่ายโอนแกนเหมือนการพัฒนาแบบจำลองทางคณิตศาสตร์สำหรับมอเตอร์ตัวเดียว โดยจะพิจารณาระบบที่ประกอบไปด้วย มอเตอร์เนี้ยวนำที่มีขดลวด 3 ชุด คือ ขดลวดหลัก ขดลวดช่วย และขดลวดที่โรเตอร์ นำมาต่อขานกันหลาย ๆ ตัว รับพลังงานจากแหล่งจ่ายเพียงชุดเดียว ดังแสดงในรูปที่ 3.4 เป็นตัวอย่างหนึ่งของการต่อขานามอเตอร์ไฟฟ้า 2 ตัว การพัฒนาแบบจำลองอาศัยสมการ 3.6 ซึ่งนำมาเขียนแสดงได้ใหม่ดังสมการ 3.26 เมื่อพิจารณาว่ามีมอเตอร์สองตัวต่อขานกัน ความสัมพันธ์ตาม 3.26 สามารถนำมาเขียนแสดงแบบต่อเรียงกันตามแนวโน้มดังเกิดเป็นสมการ 3.27 ในสมการจะเห็นได้ว่า เมตริกซ์ $[V]$ มีขนาด 4 แต่ 1 หลัก ที่อยู่ทางด้านขวาสุดของสมการสเตตในมอเตอร์ตัวที่ 1 และตัวที่ 2 นั้นจะเป็นชุดเมตริกซ์ชุดเดียวกัน และด้วยวิธีดำเนินการในลักษณะเช่นนี้ เมื่อพิจารณา มอเตอร์ n ตัวต่อขานกัน มีแหล่งจ่ายกำลังเช่นเดียวกัน จึงสามารถเขียนแสดงแบบจำลองทางคณิตศาสตร์ได้ดังสมการ 3.28



รูปที่ 3.4 มอเตอร์ที่ประกอบไปด้วยขดลวด 3 ชุดต่อขานกันสองตัวเข้ากับแหล่งจ่ายเพียงชุดเดียว

$$\begin{bmatrix}
\frac{d[i]_{4x1}}{dt} \\
\frac{d\omega_r}{dt} \\
\frac{d\theta_r}{dt}
\end{bmatrix} = \begin{bmatrix}
\mathfrak{R}_{11} & \mathfrak{R}_{12} & \mathfrak{R}_{13} & \mathfrak{R}_{14} & 0 & 0 \\
\mathfrak{R}_{21} & \mathfrak{R}_{22} & \mathfrak{R}_{23} & \mathfrak{R}_{24} & 0 & 0 \\
\mathfrak{R}_{31} & \mathfrak{R}_{32} & \mathfrak{R}_{33} & \mathfrak{R}_{34} & 0 & 0 \\
\mathfrak{R}_{41} & \mathfrak{R}_{42} & \mathfrak{R}_{43} & \mathfrak{R}_{44} & 0 & 0 \\
0 & 0 & 0 & 0 & -\frac{B_m}{J_m} & 0 \\
0 & 0 & 0 & 0 & 1 & 0
\end{bmatrix} \begin{bmatrix}
[i]_{4x1} \\
\omega_r \\
\theta_r
\end{bmatrix}^+ + \begin{bmatrix}
\mathfrak{N}_{11} & \mathfrak{N}_{12} & \mathfrak{N}_{13} & \mathfrak{N}_{14} & 0 & 0 \\
\mathfrak{N}_{21} & \mathfrak{N}_{22} & \mathfrak{N}_{23} & \mathfrak{N}_{24} & 0 & 0 \\
\mathfrak{N}_{31} & \mathfrak{N}_{32} & \mathfrak{N}_{33} & \mathfrak{N}_{34} & 0 & 0 \\
\mathfrak{N}_{41} & \mathfrak{N}_{42} & \mathfrak{N}_{43} & \mathfrak{N}_{44} & 0 & 0 \\
0 & 0 & 0 & 0 & -\frac{p}{2J_m} & 0 \\
0 & 0 & 0 & 0 & 0 & 0
\end{bmatrix} \begin{bmatrix}
[V]_{4x1} \\
T_e - T_L \\
0
\end{bmatrix} \quad (3.26)$$

$$\begin{bmatrix} \frac{d[i_1]_{4x1}}{dt} \\ \frac{d\omega_{r1}}{dt} \\ \frac{d\theta_{r1}}{dt} \\ \frac{d[i_2]_{4x1}}{dt} \\ \frac{d\omega_{r2}}{dt} \\ \frac{d\theta_{r2}}{dt} \end{bmatrix} = \begin{bmatrix} \Re{1}_{11} & \Re{1}_{12} & \Re{1}_{13} & \Re{1}_{14} & 0 & 0 & 0 & 0 & 0 & 0 & 0 & 0 \\ \Re{1}_{21} & \Re{1}_{22} & \Re{1}_{23} & \Re{1}_{24} & 0 & 0 & 0 & 0 & 0 & 0 & 0 & 0 \\ \Re{1}_{31} & \Re{1}_{32} & \Re{1}_{33} & \Re{1}_{34} & 0 & 0 & 0 & 0 & 0 & 0 & 0 & 0 \\ \Re{1}_{41} & \Re{1}_{42} & \Re{1}_{43} & \Re{1}_{44} & 0 & 0 & 0 & 0 & 0 & 0 & 0 & 0 \\ 0 & 0 & 0 & 0 & -\frac{B_{m1}}{J_{m1}} & 0 & 0 & 0 & 0 & 0 & 0 & 0 \\ 0 & 0 & 0 & 0 & 1 & 0 & 0 & 0 & 0 & 0 & 0 & 0 \\ 0 & 0 & 0 & 0 & 0 & 0 & 0 & \Re{2}_{11} & \Re{2}_{12} & \Re{2}_{13} & \Re{2}_{14} & 0 \\ 0 & 0 & 0 & 0 & 0 & 0 & 0 & \Re{2}_{21} & \Re{2}_{22} & \Re{2}_{23} & \Re{2}_{24} & 0 \\ 0 & 0 & 0 & 0 & 0 & 0 & 0 & \Re{2}_{31} & \Re{2}_{32} & \Re{2}_{33} & \Re{2}_{34} & 0 \\ 0 & 0 & 0 & 0 & 0 & 0 & 0 & \Re{2}_{41} & \Re{2}_{42} & \Re{2}_{43} & \Re{2}_{44} & 0 \\ 0 & 0 & 0 & 0 & 0 & 0 & 0 & 0 & 0 & 0 & -\frac{B_{m2}}{J_{m2}} & 0 \\ 0 & 0 & 0 & 0 & 0 & 0 & 0 & 0 & 0 & 0 & 1 & 0 \end{bmatrix} \begin{bmatrix} [i_1]_{4x1} \\ \omega_{r1} \\ \theta_{r1} \\ [i_2]_{4x1} \\ \omega_{r2} \\ \theta_{r2} \end{bmatrix} +$$

$$\begin{bmatrix} \mathfrak{N}1_{11} & \mathfrak{N}1_{12} & \mathfrak{N}1_{13} & \mathfrak{N}1_{14} & 0 & 0 & 0 & 0 & 0 & 0 & 0 & 0 \\ \mathfrak{N}1_{21} & \mathfrak{N}1_{22} & \mathfrak{N}1_{23} & \mathfrak{N}1_{24} & 0 & 0 & 0 & 0 & 0 & 0 & 0 & 0 \\ \mathfrak{N}1_{31} & \mathfrak{N}1_{32} & \mathfrak{N}1_{33} & \mathfrak{N}1_{34} & 0 & 0 & 0 & 0 & 0 & 0 & 0 & 0 \\ \mathfrak{N}1_{41} & \mathfrak{N}1_{42} & \mathfrak{N}1_{43} & \mathfrak{N}1_{44} & 0 & 0 & 0 & 0 & 0 & 0 & 0 & 0 \\ 0 & 0 & 0 & 0 & \frac{p_1}{2J_{m1}} & 0 & 0 & 0 & 0 & 0 & 0 & 0 \\ 0 & 0 & 0 & 0 & 1 & 0 & 0 & 0 & 0 & 0 & 0 & 0 \\ 0 & 0 & 0 & 0 & 0 & 0 & \mathfrak{N}2_{11} & \mathfrak{N}2_{12} & \mathfrak{N}2_{13} & \mathfrak{N}2_{14} & 0 & 0 \\ 0 & 0 & 0 & 0 & 0 & 0 & \mathfrak{N}2_{21} & \mathfrak{N}2_{22} & \mathfrak{N}2_{23} & \mathfrak{N}2_{24} & 0 & 0 \\ 0 & 0 & 0 & 0 & 0 & 0 & \mathfrak{N}2_{31} & \mathfrak{N}2_{32} & \mathfrak{N}2_{33} & \mathfrak{N}2_{34} & 0 & 0 \\ 0 & 0 & 0 & 0 & 0 & 0 & \mathfrak{N}2_{41} & \mathfrak{N}2_{42} & \mathfrak{N}2_{43} & \mathfrak{N}2_{44} & 0 & 0 \\ 0 & 0 & 0 & 0 & 0 & 0 & 0 & 0 & 0 & 0 & \frac{p_2}{2J_{m2}} & 0 \\ 0 & 0 & 0 & 0 & 0 & 0 & 0 & 0 & 0 & 0 & 0 & 0 \end{bmatrix} \begin{bmatrix} [V]_{4x1} \\ T_{e1} + T_{L1} \\ 0 \\ [V]_{4x1} \\ T_{e2} + T_{L2} \\ 0 \end{bmatrix} \quad (3.27)$$

$$\frac{d}{dt} \begin{bmatrix} [\Lambda_1] \\ [\Lambda_2] \\ [\Lambda_3] \\ \vdots \\ [\Lambda_n] \end{bmatrix} = \begin{bmatrix} [\Re{11}]_{6x6} & [0]_{6x6} & [0]_{6x6} & \cdots & [0]_{6x6} \\ [0]_{6x6} & [\Re{22}]_{6x6} & [0]_{6x6} & \cdots & [0]_{6x6} \\ [0]_{6x6} & [0]_{6x6} & [\Re{33}]_{6x6} & \vdots & [0]_{6x6} \\ \vdots & \vdots & \vdots & \ddots & \vdots \\ [0]_{6x6} & [0]_{6x6} & [0]_{6x6} & \cdots & [\Re{nn}]_{6x6} \end{bmatrix} \begin{bmatrix} [\Lambda_1] \\ [\Lambda_2] \\ [\Lambda_3] \\ \vdots \\ [\Lambda_n] \end{bmatrix}$$

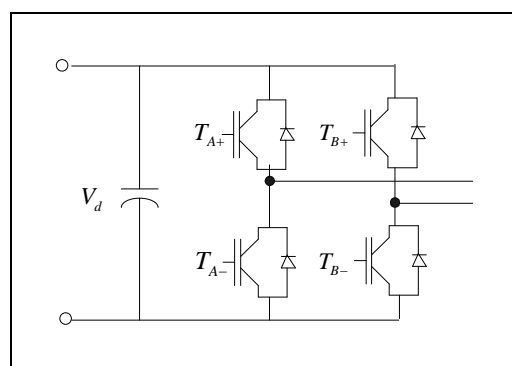
$$\begin{bmatrix} [\mathfrak{N}11]_{6x6} & [0]_{6x6} & [0]_{6x6} & \cdots & [0]_{6x6} \\ [0]_{6x6} & [\mathfrak{N}22]_{6x6} & [0]_{6x6} & \cdots & [0]_{6x6} \\ [0]_{6x6} & [0]_{6x6} & [\mathfrak{N}33]_{6x6} & \vdots & [0]_{6x6} \\ \vdots & \vdots & \vdots & \ddots & \vdots \\ [0]_{6x6} & [0]_{6x6} & [0]_{6x6} & \cdots & [\mathfrak{N}nn]_{6x6} \end{bmatrix} \begin{bmatrix} [\Theta_1] \\ [\Theta_2] \\ [\Theta_3] \\ \vdots \\ [\Theta_n] \end{bmatrix} \quad (3.28)$$

$$\text{โดยที่ } [\Lambda_n] = \begin{bmatrix} i_{qsn} \\ \dot{i}_{dsn} \\ i_{qrn} \\ \dot{i}_{drn} \\ \omega_m \\ \theta_m \end{bmatrix} \quad \text{และ} \quad [\Theta_n] = \begin{bmatrix} V_{qsn} \\ \dot{V}_{dsn} \\ V_{qrn} \\ \dot{V}_{drn} \\ T_e - T_L \\ 0 \end{bmatrix}$$

3.4 การจำลองผล

หลังจากที่ได้พัฒนาแบบจำลองทางคณิตศาสตร์ของมอเตอร์เหนี่ยวนำเฟสเดียว ที่ต่อขานกันหลายตัวรับพลังงานจากอินเควอร์เตอร์ชุดเดียวกัน ในหัวข้อนี้ได้ทำการจำลองผลโดยอาศัยแบบจำลองดังกล่าว เพื่อทดสอบลักษณะสมบัติของมอเตอร์เมื่อพารามิเตอร์ใหม่อนกันและแตกต่างกัน พร้อมทั้งจำลองการขับภาระในแต่ละสภาวะ เพื่อศึกษาถึงพฤติกรรมของมอเตอร์และอินเควอร์เตอร์ที่อาจจะเกิดขึ้นในกรณีต่าง ๆ และจะได้นำข้อมูลที่ได้จากการจำลองผลไปประยุกต์กับการออกแบบระบบควบคุมการขับเคลื่อน ได้อย่างเหมาะสมต่อไป

ในการจำลองผลขับเคลื่อนมอเตอร์ร่วมกับอินเควอร์เตอร์นั้น ในการจำลองผลได้ใช้แบบจำลองทางคณิตศาสตร์ของอินเควอร์เตอร์เฟสเดียว ดังแสดงในรูปที่ 3.5 เป็นอินเควอร์เตอร์เฟสเดียวแบบฟูลบริดจ์ที่มีการสวิตชิ่งแบบพีดับเบิลยูเอ็ม กล่าวคือ ใช้สัญญาณควบคุมรูปคลื่นไซน์ (sinusoidal control signal) ตามความถี่ที่ต้องการนำมาเปรียบเทียบกับรูปคลื่นสามเหลี่ยม (triangular waveform)



รูปที่ 3.5 อินเควอร์เตอร์เฟสเดียวแบบฟูลบริดจ์

ความถี่ในการสวิตชิ่ง (f_s) จะเท่ากับความถี่ของรูปคลื่นสามเหลี่ยม ซึ่งอัตราการมอคุเลตด้าน anompliจุด และอัตราการมอคุเลตด้านความถี่สามารถคำนวณได้จากสมการที่ 3.29 และ 3.30 ดังต่อไปนี้

$$m_a = \frac{\hat{V}_{control}}{\hat{V}_{tri}} \quad (3.29)$$

$$m_a = \frac{f_s}{\hat{f}_l} \quad (3.30)$$

การทำงานของสวิตช์ขึ้นอยู่กับผลการเปรียบเทียบของ $V_{control}$ และ V_{tri} โดยมีเงื่อนไขดังนี้

- เมื่อ $V_{control} > V_{tri}$: สวิตช์ T_{A+} จะนำกระแส
 - เมื่อ $V_{control} < V_{tri}$: สวิตช์ T_{A-} จะนำกระแส
 - เมื่อ $-(V_{control}) > V_{tri}$: สวิตช์ T_{B+} จะนำกระแส
 - เมื่อ $-(V_{control}) < V_{tri}$: สวิตช์ T_{B-} จะนำกระแส
- เมื่อ $V_{control}$ คือ สัญญาณควบคุมรูปคลื่นไซน์ที่ต้องการนำมาสร้างแรงดันไฟฟ้าและความถี่ทางด้านออก (V)
 V_{tri} คือ สัญญาณรูปสามเหลี่ยมที่เป็นตัวกำหนดความถี่การสวิตช์ (V)
 $\hat{V}_{control}$ คือ ค่ายอดของสัญญาณควบคุมรูปไซน์ (V)
 \hat{V}_{tri} คือ ค่ายอดสัญญาณรูปสามเหลี่ยม (V)
 f_l คือ ความถี่หลักมูลทางด้านออกของอินเวอร์เตอร์ (Hz)
 f_s คือ ความถี่การสวิตช์ของอินเวอร์เตอร์ (Hz)
 m_a คือ อัตราการมอคุเลต anompliจุด
 m_f คือ อัตราการมอคุเลตความถี่

และค่ายอดของแรงดันไฟฟ้าที่ความถี่หลักมูล (\hat{V}_{A_0})_l สามารถหาได้จากการคำนวณดังต่อไปนี้

$$V_{A0} = \frac{V_{control}}{\hat{V}_{tri}} \cdot \frac{V_d}{2} \quad V_{control} \leq \hat{V}_{tri} \quad (3.31)$$

$$V_{control} = \hat{V}_{control} \sin \omega t \quad V_{control} \leq \hat{V}_{tri} \quad (3.32)$$

เมื่อแทนค่าสมการ 3.31 ลงในสมการที่ 3.32 จะได้ว่า

$$(V_{A0}) = \left(\frac{V_{control}}{\hat{V}_{tri}} \cdot \frac{V_d}{2} \right) \sin \omega t$$

$$(V_{A0}) = m_a \left(\frac{V_d}{2} \right) \sin \omega t$$

$$(\hat{V}_{A0}) = m_a \left(\frac{V_d}{2} \right) \quad (3.33)$$

การจำลองผลดำเนินการด้วยโปรแกรม MATLAB โดยเริ่มจากการรับค่าพารามิเตอร์ของมอเตอร์แต่ละตัว และกำหนดค่าเริ่มต้นต่าง ๆ ของมอเตอร์ หลังจากนั้นก็จะเป็นกระบวนการคำนวณเชิงตัวเลขเพื่อหาค่าตัวแปรต่าง ๆ ในสมการ จากนั้นนำมาคำนวณค่าแรงบิดและความเรื้อน สนามแม่เหล็กซึ่งโดยตามลำดับ ในการจำลองผลการขั้นตอนมอเตอร์ 3 ตัว แบ่งการจำลองผลออกเป็น 4 สภาวะด้วยกัน ได้แก่

สภาวะที่ 1 กำหนดให้พารามิเตอร์และการของมอเตอร์แต่ละตัวเท่ากัน โดยมอเตอร์ทุกตัวมีพารามิเตอร์เท่ากับตัวที่ 1

มอเตอร์ 1 : พารามิเตอร์ชุดที่ 1 แรงบิดของการตัวที่ 1

มอเตอร์ 2 : พารามิเตอร์ชุดที่ 1 แรงบิดของการตัวที่ 1

มอเตอร์ 3 : พารามิเตอร์ชุดที่ 1 แรงบิดของการตัวที่ 1

สภาวะที่ 2 กำหนดให้พารามิเตอร์ของมอเตอร์เท่ากันทุกตัวแต่กระแสแตกต่างกัน โดยมอเตอร์ทุกตัวมีพารามิเตอร์เท่ากับตัวที่ 1

มอเตอร์ 1 : พารามิเตอร์ชุดที่ 1 แรงบิดของการตัวที่ 1

มอเตอร์ 2 : พารามิเตอร์ชุดที่ 1 แรงบิดของการตัวที่ 2

มอเตอร์ 3 : พารามิเตอร์ชุดที่ 1 แรงบิดของการตัวที่ 3

สภาวะที่ 3 กำหนดให้พารามิเตอร์ของมอเตอร์แต่ละตัวแตกต่างกัน กระแสเท่ากันทุกตัว

มอเตอร์ 1 : พารามิเตอร์ชุดที่ 1 แรงบิดของการตัวที่ 1

มอเตอร์ 2 : พารามิเตอร์ชุดที่ 2 แรงบิดของการตัวที่ 1

มอเตอร์ 3 : พารามิเตอร์ชุดที่ 3 แรงบิดของการตัวที่ 1

ส่วนที่ 4 กำหนดให้พารามิเตอร์ของมอเตอร์และ ภาระของมอเตอร์แตกต่างกัน

มอเตอร์ 1 : พารามิเตอร์ชุดที่ 1 แรงบิดของภาระตัวที่ 1

มอเตอร์ 2 : พารามิเตอร์ชุดที่ 2 แรงบิดของภาระตัวที่ 2

มอเตอร์ 3 : พารามิเตอร์ชุดที่ 3 แรงบิดของภาระตัวที่ 3

ขนาดแรงบิดของภาระเป็นปัมมน้ำชนิดแรงเหวี่ยงหนีศูนย์ 3 ตัว ซึ่งมีสมการของความสัมพันธ์ระหว่างแรงบิดกับความเร็ว เป็นดังนี้ $T = k\omega^2$

- แรงบิดของภาระตัวที่ 1 : $1.8 \times 10^{-4} \omega^2 \text{ Nm}$
- แรงบิดของภาระตัวที่ 2 : $9.5 \times 10^{-5} \omega^2 \text{ Nm}$
- แรงบิดของภาระตัวที่ 3 : $7.5 \times 10^{-5} \omega^2 \text{ Nm}$

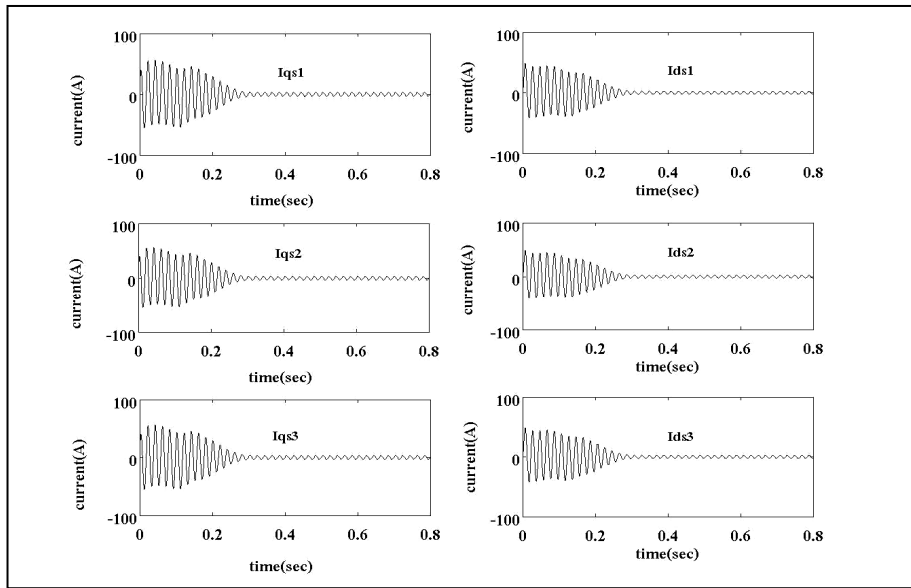
การจำลองผลจะใช้ค่าพารามิเตอร์สำหรับมอเตอร์แต่ละตัว ดังที่แสดงในตารางที่ 3.1 (Mademlis, 2005; Rahim, 2002) โดยแหล่งจ่ายพลังงานที่ให้แก่มอเตอร์จะควบคุมแรงดันให้มีขึ้น 220 V และความถี่ 50 Hz เพียงชุดเดียว ผลที่ได้ดังแสดงในตารางที่ 3.2 และรูปที่ 3.6 ถึง 3.17

ตารางที่ 3.1 พารามิเตอร์ของมอเตอร์ (Mademlis, 2005; Rahim, 2002)

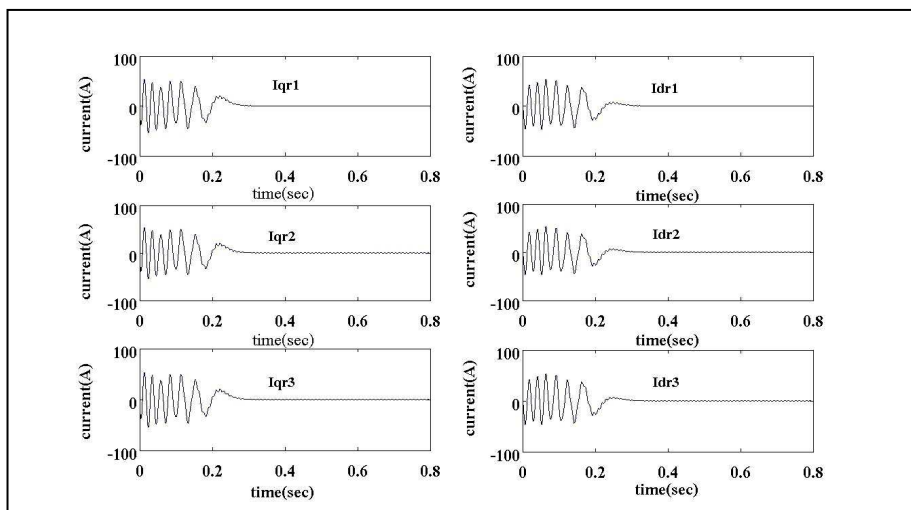
Parameter set	poles	r_{qs} (Ω)	r_{ds} (Ω)	r_r (Ω)	L_{mqs} (Ω)	L_{lr} (Ω)	L_{lqs} (Ω)	L_{lds} (Ω)	J ($kg.m^2$)	B_m ($N\cdot m/rad/sec$)
1	4	4.3	2.6	2.01	105	1.8	1.01	1.8	0.0546	0.0002
2	4	1.3	2.6	2.01	105	2.8	2.01	2.8	0.0546	0.0002
3	4	3.2	7.2	2.00	54.97	3.2	3.61	2.09	0.0546	0.0002

ตารางที่ 3.2 ผลการจำลองในแต่ละสภาวะ

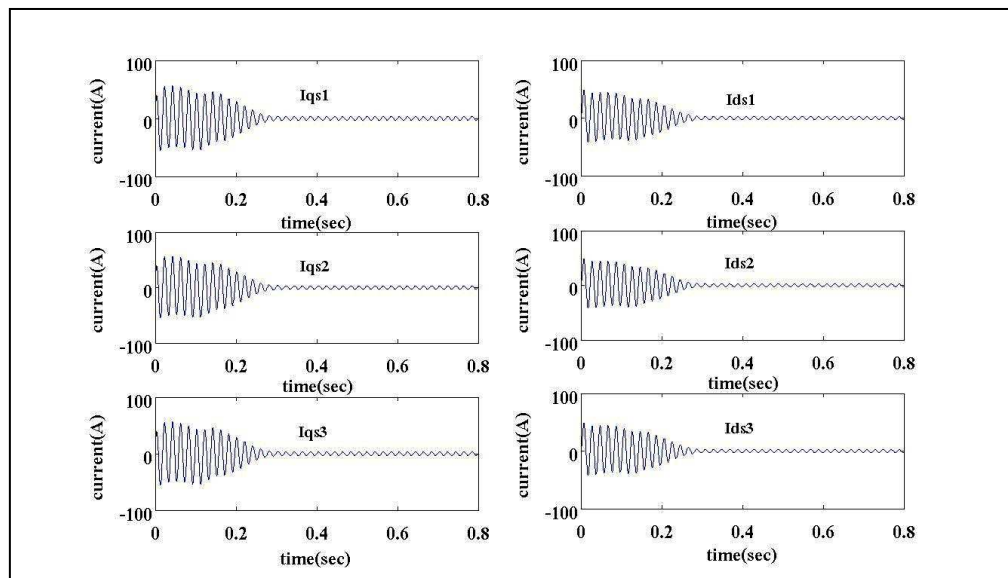
	Case 1			Case 2			Case 3			Case 4		
	M1	M2	M3									
Supply Current (A_{rms})	25.44			17.48			32.42			22.07		
Motor Current (A_{rms})	8.48	8.48	8.48	8.48	4.85	4.15	8.48	10.09	13.85	8.48	5.91	7.68
Motor Speed (rpm)	1402	1402	1402	1402	1450	1461	1402	1408	1370	1402	1452	1455
Load Torque (N.m)	14.27	14.27	14.27	14.27	7.78	6.14	14.27	14.46	17.74	14.27	9.33	8.62
Motor Slip	0.065	0.065	0.065	0.065	0.033	0.026	0.065	0.061	0.086	0.065	0.032	0.030



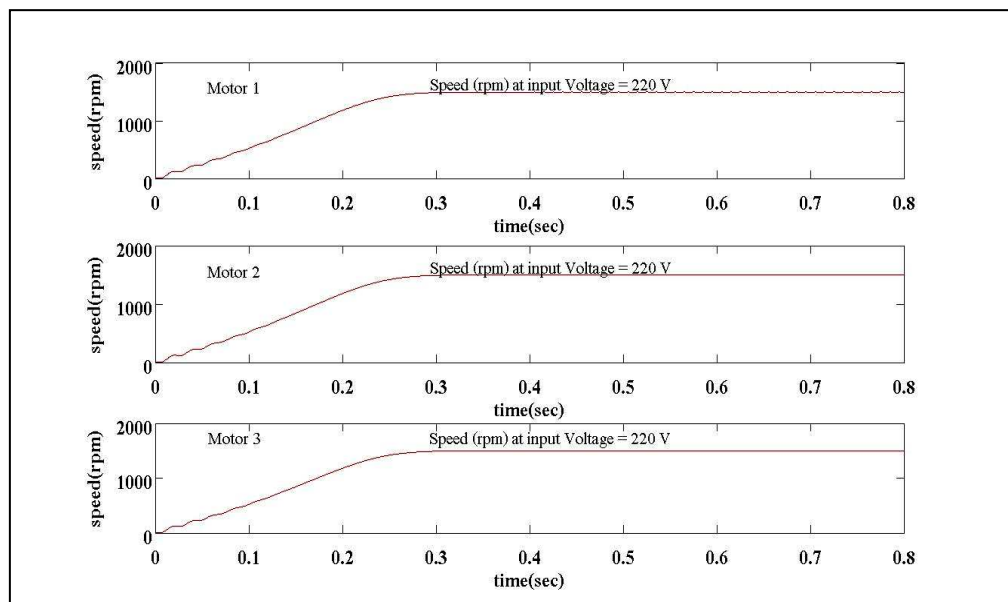
รูปที่ 3.6 กระแสสเตเตอร์ของมอเตอร์ทั้งสามตัวจากการจำลองผลในสภาวะที่ 1



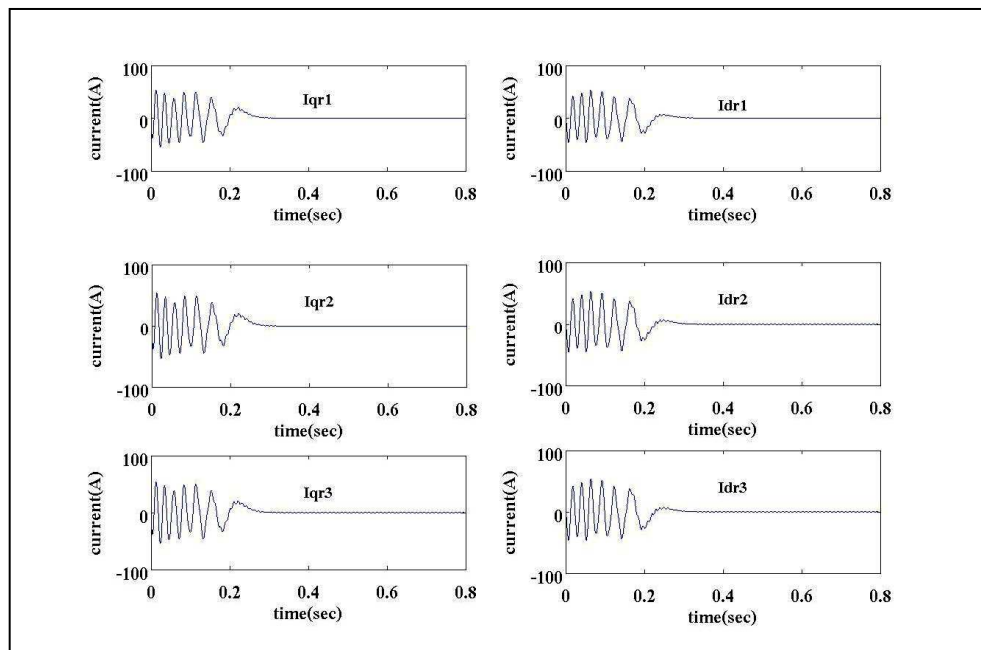
รูปที่ 3.7 กระแสโรเตอร์ของมอเตอร์ทั้งสามตัวจากการจำลองผลในสภาวะที่ 1



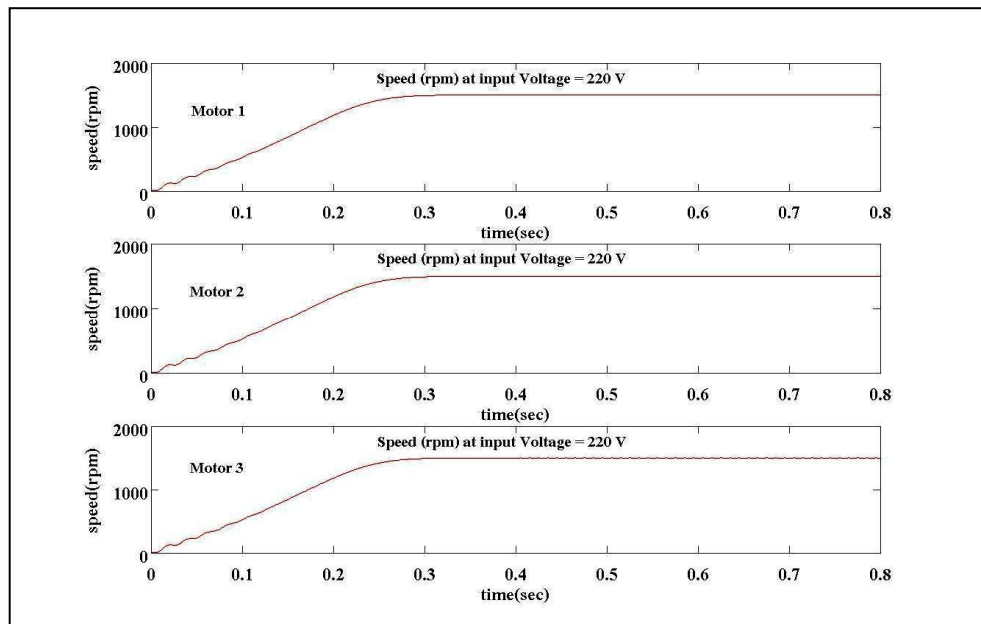
รูปที่ 3.8 ความเร็วของมอเตอร์ทั้งสามตัวจากการจำลองผลในสภาวะที่ 1



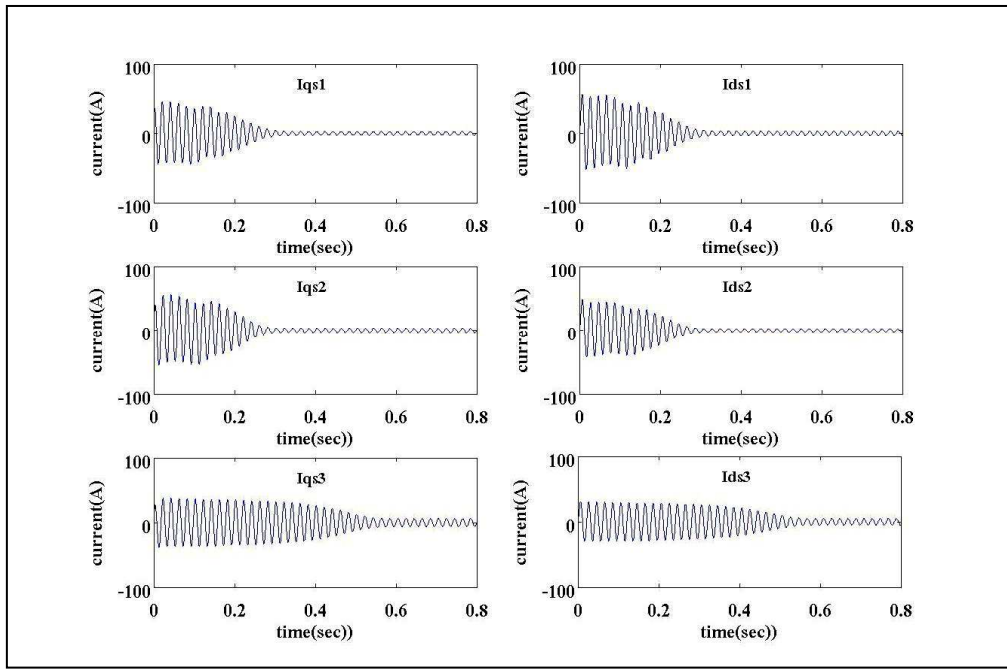
รูปที่ 3.9 กระแสสเตเตอร์ของมอเตอร์ทั้งสามตัวจากการจำลองผลในสภาวะที่ 2



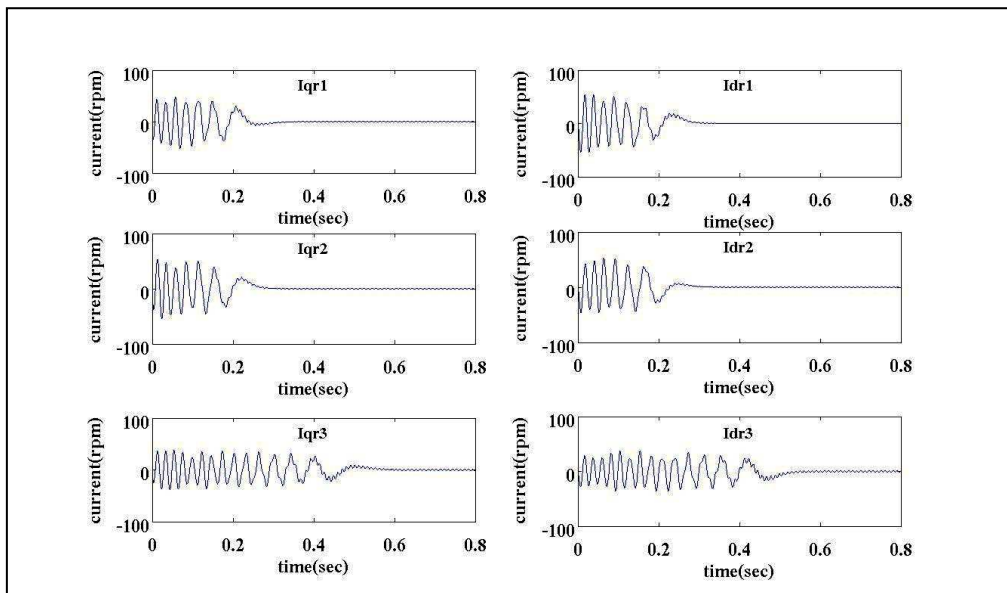
รูปที่ 3.10 กระแส ไ Kot อร์ของมอเตอร์ทั้งสามตัวจากการจำลองผลในสภาวะที่ 2



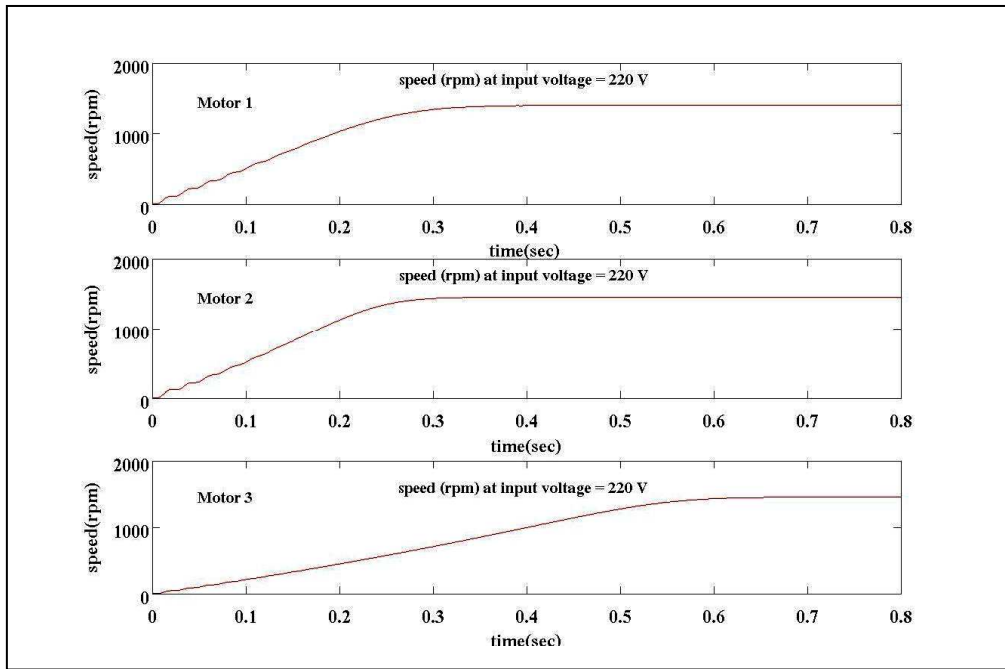
รูปที่ 3.11 ความเร็วของมอเตอร์ทั้งสามตัวจากการจำลองผลในสภาวะที่ 2



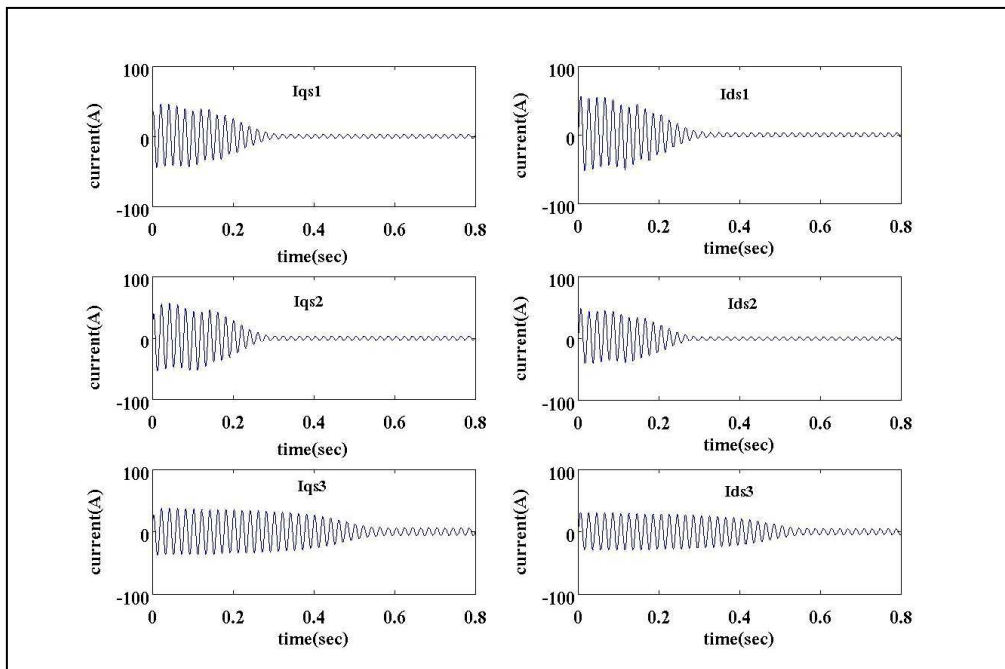
รูปที่ 3.12 กระแสสเตเตอเร็กซ์ของมอเตอร์ทั้งสามตัวจากการจำลองผลในสภาวะที่ 3



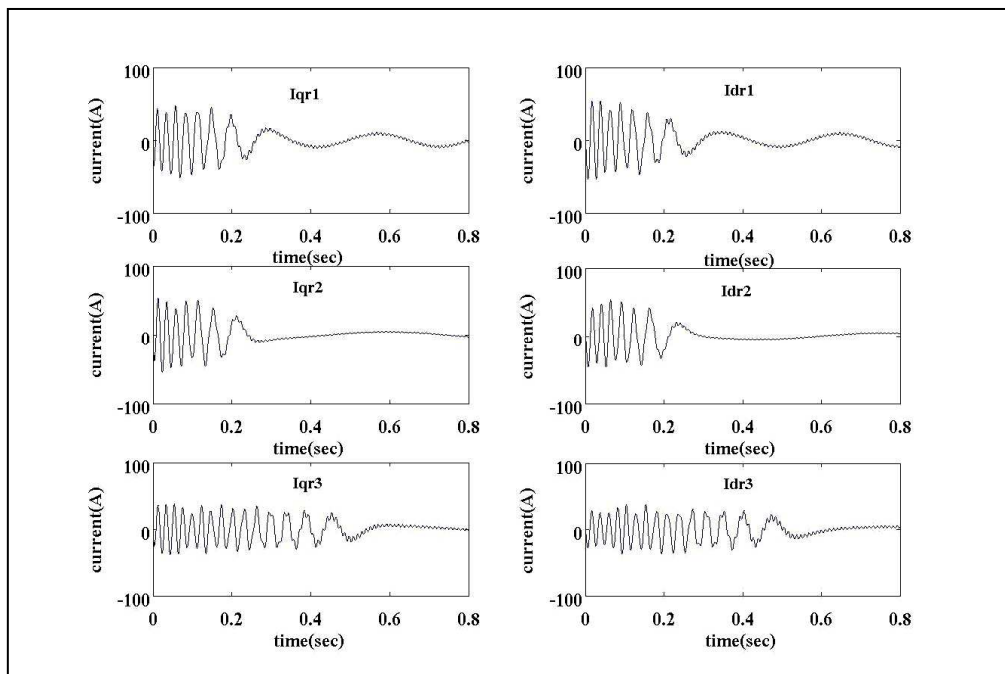
รูปที่ 3.13 กระแสโกรเดอร์ของมอเตอร์ทั้งสามตัวจากการจำลองผลในสภาวะที่ 3



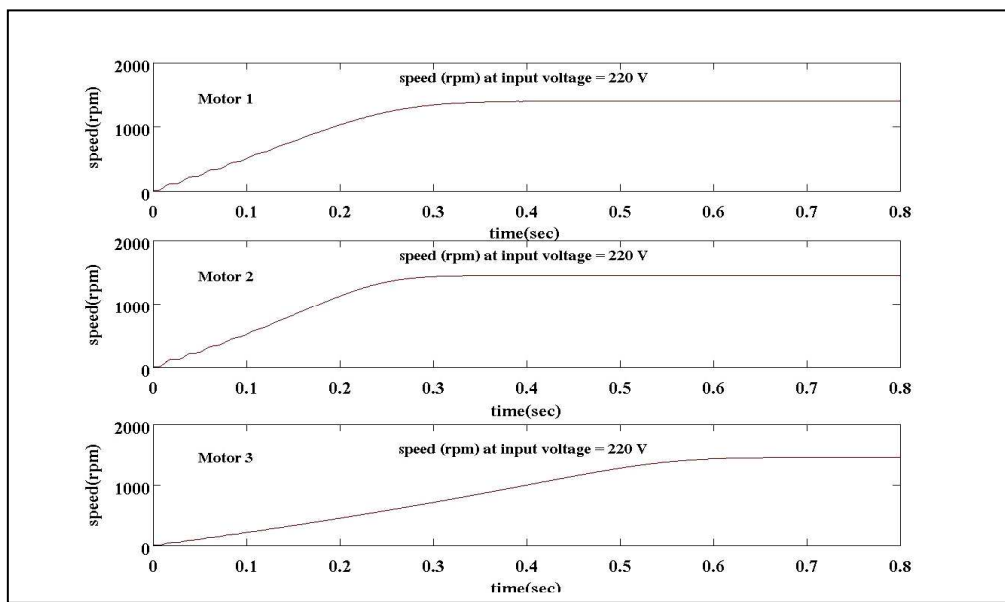
รูปที่ 3.14 ความเร็วของมอเตอร์ทั้งสามตัวจากการจำลองผลในสภาวะที่ 3



รูปที่ 3.15 กระแสสเตเตอร์ของมอเตอร์ทั้งสามตัวจากการจำลองผลในสภาวะที่ 4



รูปที่ 3.16 กระแสไฟฟ้าของมอเตอร์ทั้งสามตัวจากการจำลองผลในสภาวะที่ 4



รูปที่ 3.17 ความเร็วของมอเตอร์ทั้งสามตัวจากการจำลองผลในสภาวะที่ 4

3.5 อภิปรายผล

จากตารางที่ 3.2 ซึ่งแสดงข้อมูลที่ได้จากการจำลองผลการขับการของมอเตอร์ที่ต่อขนาดกัน 3 ตัว จะเห็นว่าในสภาวะที่ 1 (case1) มอเตอร์มีพารามิเตอร์เหมือนกัน ทำการขับการเหมือนกัน ค่าต่าง ๆ ที่เป็นผลลัพธ์จากการจำลองผลดังที่ได้แสดงในตารางจึงมีค่าเท่ากัน และรูปที่ 3.6 ถึง 3.8 แสดงปริมาณกระแสและอัตราเร็วของมอเตอร์ที่เท่ากัน ในสภาวะที่ 2 (case2) เมื่อให้มอเตอร์มีพารามิเตอร์เท่ากันตามสภาวะที่ 1 ได้กำหนดขึ้น ขั้นการแตกต่างกัน ทำให้มีการดึงกระแสและสภาวะคงค่าความเร็วของมอเตอร์แต่ละตัวไม่เท่ากัน ดังที่ปรากฏในตารางที่ 3.2 และแสดงเป็นกราฟไว้ในรูปที่ 3.9 ถึง 3.11 ในสภาวะที่ 3 (case3) มอเตอร์แต่ละตัวถูกกำหนดให้มีพารามิเตอร์แตกต่างกัน ถึงแม้จะขั้นการเท่ากัน ทำให้มีการดึงกระแสแตกต่างกันและความเร็วของมอเตอร์ได้ระดับด้วยอัตราที่ไม่เท่ากัน ดังแสดงด้วยกราฟในรูปที่ 3.12 ถึง 3.14 และในสภาวะที่ 4 (case4) ทั้งพารามิเตอร์และกระแสของมอเตอร์แต่ละตัวไม่เท่ากัน ทำการดึงกระแสและความเร็วแตกต่างกัน ดังแสดงในรูปที่ 3.15 ถึง 3.17 ดังนั้นในการขนาดมอเตอร์ต้องคำนึงถึงพารามิเตอร์ของมอเตอร์แต่ละตัวให้เท่ากันหรือใกล้เคียงกันมากที่สุด เพื่อไม่ให้เกิดผลการทำงานที่แตกต่างจากคำสั่งการควบคุมเพียงชุดเดียวจนทำให้เกิดค่าผิดพลาดของการควบคุมมากตามไปด้วย

จากการจำลองผลโดยอาศัยแบบจำลองทางคณิตศาสตร์ที่ได้พัฒนาขึ้นสำหรับการขนาดมอเตอร์หนี่ยวนำชนิดหนึ่งเฟสหลาย ๆ ตัว โดยรับพลังงานจากแหล่งจ่ายที่เป็นอินเวอร์เตอร์เพียงชุดเดียว ผลที่ได้แสดงในตารางที่ 3.2 และรูปที่ 3.5 ถึง 3.16 เห็นได้ว่า เมื่อมอเตอร์เริ่มขับโหลดจะมีการดึงกระแสในช่วงแรก ๆ ก่อนจะเข้าสู่สภาวะคงตัว สอดคล้องกับความเร็วของมอเตอร์ โดยสังเกตได้จากเวลาที่กระแสและความเร็วของมอเตอร์เข้าสู่สภาวะคงตัวมีค่าเท่ากัน เช่น ในสภาวะที่ 3 และ 4 กราฟกระแสและความเร็วมอเตอร์ตัวที่ 3 จะเข้าสู่สภาวะคงตัวที่เวลา 0.55 วินาที เมื่อกัน ดังนั้นไม่ว่าการทดสอบจะมีการเปลี่ยนแปลงโหลดที่แตกต่างกันทั้ง 4 สภาวะ (Correa et al., 1999) ผลที่ได้ยังคงมีความสอดคล้องกัน จากการทดสอบแบบจำลองในสภาวะต่าง ๆ ที่ได้กล่าวมาแล้วนั้นแสดงให้เห็นว่า แบบจำลองทางคณิตศาสตร์ของมอเตอร์หนี่ยวนำชนิดหนึ่งเฟสต่อขนาดกัน n ตัว ที่ได้พัฒนาขึ้นสามารถนำมาประยุกต์ใช้ในงานต่าง ๆ ได้อย่างเหมาะสม

บทที่ 4

การควบคุมอัตราเร็วของเตอร์ที่ต้องนาณกันหลายตัว ด้วยตัวควบคุมฟuzziแบบจัดการตัวเอง

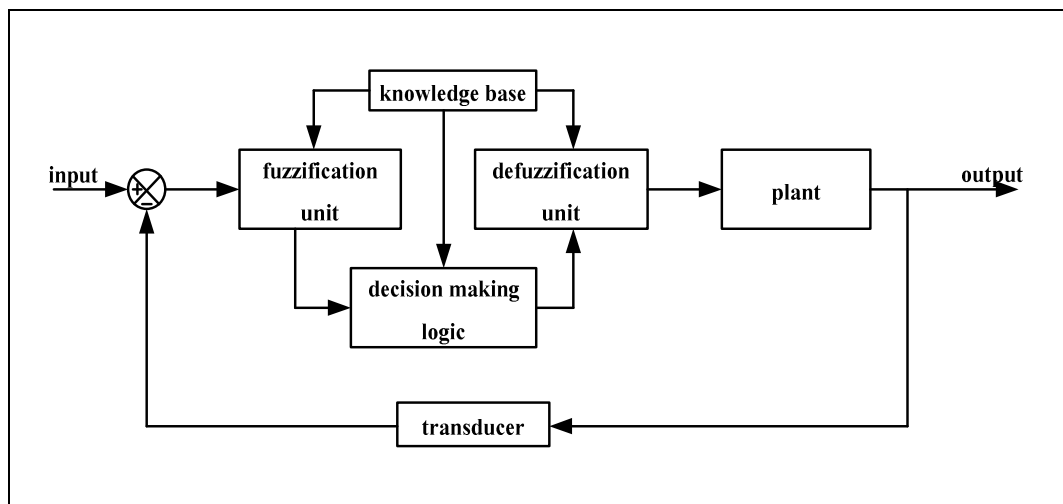
4.1 บทนำ

ฟuzzi เซต ได้ถูกนำเสนอครั้งแรกในปี ค.ศ. 1965 โดย Lotfi Zadeh และในปี ค.ศ. 1977 King and Mamdani ได้เริ่มนามาประยุกต์ใช้เป็นยุคแรก ๆ ต่อมาจึงได้รับการใช้ประโยชน์อย่างกว้างขวางในชีวิตประจำวันและในวงการอุตสาหกรรม ดังที่ได้รู้จักกันในนามเทคโนโลยี “fuzzy logic, fuzzy control, fuzzy inference และ soft-computing”

เนื่องจากในส่วนของตัวควบคุมฟuzzi มีลักษณะคล้ายการตัดสินใจของมนุษย์ กล่าวคือสามารถที่จะแสดงการวินิจฉัยและตัดสินใจในรูปแบบประโยชน์เงื่อนไข IF-THEN ซึ่งเป็นรูปแบบที่เข้าใจง่าย นับตั้งแต่ฟuzzi เซตและฟuzzi ล็อกิก ได้รับการนำเสนอจนถึงปัจจุบัน ได้มีการนำไปประยุกต์ใช้ในงานวิจัยอย่างมากมาย เช่น ระบบขับเคลื่อนกระแสตรงด้วยคอนเวอร์เตอร์ชนิดควบคุมเฟส และในการวิจัยนี้ได้นำหลักการฟuzzi ล็อกิกมาประยุกต์ใช้ในระบบควบคุม กล่าวคือได้พัฒนาตัวควบคุมฟuzzi ล็อกิกที่มีการจัดการตัวเอง (Chengying and Yung, 2005) ซึ่งเป็นตัวควบคุมที่มีการตรวจสอบค่าความคลาดเคลื่อนและนำมาปรับกระบวนการควบคุม สำหรับใช้เป็นตัวควบคุมการขับเคลื่อนของเตอร์ไฟฟ้าชนิดเหนี่ยวหนานึ่งเฟลที่ต้องนาณกันหลายตัว โดยมุ่งเน้นควบคุมอัตราเร็วของมอเตอร์พร้อมกันหลาย ๆ ตัวให้มีอัตราเร็วที่ใกล้เคียงกัน เช่นในเครื่องสับพืชผลทางการเกษตรที่ต้องใช้การควบคุมมอเตอร์หลาย ๆ ตัว พร้อมกัน สำหรับทำหน้าที่หรือกระบวนการที่แตกต่างกัน เนื่องจากแต่ละกิจกรรมที่มีความต้องการผลผลิตแตกต่างกัน ไม่ว่าจะเป็นขนาด หรือความละเอียดของชิ้นวัสดุที่ต้องมาจากกระบวนการ การซึ่งต้องอาศัยอัตราเร็วของใบมีด กระแทก หั่น หรือ สับ ให้เหมาะสมกับชนิดของวัสดุที่เป็นพืชผลทางการเกษตร ที่มีความหนึ่ง ความชื้น ความแข็ง รูปร่างลักษณะ เส้นใย แตกต่างกันไป จากกระบวนการดังกล่าว จะเห็นว่าระบบมีความยุ่งยากซับซ้อน การใช้ระบบควบคุมฟuzzi แบบจัดการตัวเองเข้ามายังควบคุมเพื่อให้เกิดผลการควบคุมเป็นไปตามที่ต้องการจึงเป็นทางเลือกที่เหมาะสม เพราะระบบฟuzzi มีความสามารถที่ยืดหยุ่น และคงทนต่อความคลาดเคลื่อนในแบบจำลองทางคณิตศาสตร์ของพลาณ์ นั้นหมายความว่า ในการพัฒนาเทคโนโลยีระบบควบคุมอาจไม่ต้องพึ่งพาแบบจำลองหรือสามารถใช้แบบจำลองโดยประมาณได้

4.2 ระบบควบคุมแบบฟิชชีส์ล็อกิก

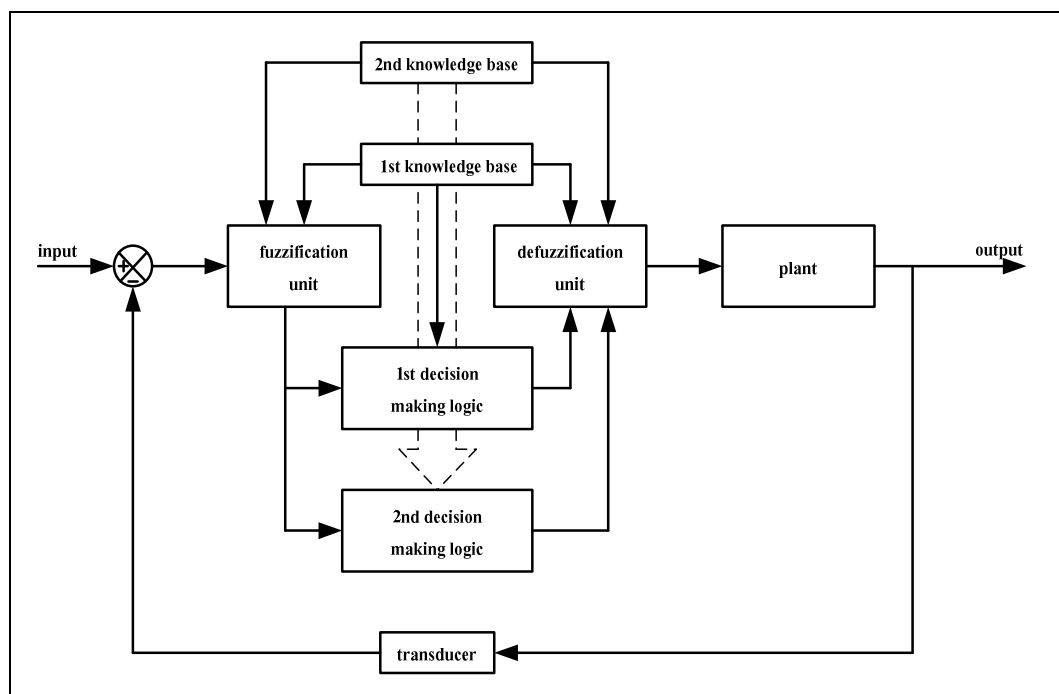
ระบบควบคุมแบบฟิชชีส์ ดังเนื้อหาปรากฏในการทบทวนโดย (Sujitjorn, 1995) มีโครงสร้างพื้นฐานดังแสดงในรูปที่ 4.1 แสดงลักษณะพื้นฐานของระบบควบคุมแบบฟิชชีส์ มีองค์ประกอบหลักอยู่ 4 ส่วน ได้แก่ ชุดปฏิบัติการฟิชชิฟิเคชัน (fuzzification unit) ฐานความรู้ (knowledge base) ลอจิกเพื่อการตัดสินใจ (decision making logic) และชุดปฏิบัติการเดฟิชชิฟิเคชัน (defuzzification unit) ปฏิบัติการฟิชชิฟิเคชัน ทำหน้าที่แปลงสัญญาณข้อมูลแบบธรรมชาติให้ไปอยู่ในรูปของตัวแปรภาษา หรือตัวแปรฟิชชีส์ ซึ่งเป็นการแปลงข้อมูลทางด้านอินพุต ฐานความรู้ ประกอบด้วยส่วนที่เป็นฐานข้อมูล (data base) และฐานกฎการควบคุม (control rule base) ส่วนที่เป็นฐานข้อมูลนั้นให้尼ยามต่าง ๆ ที่ใช้กำหนดกฎการควบคุมแบบตัวแปรทางภาษา และบ่งบอกข้อมูลแบบฟิชชีส์ต่าง ๆ สำหรับตัวควบคุมแบบฟิชชีส์ ส่วนที่เป็นฐานกฎนั้นเป็นศูนย์รวมของกฎการควบคุมแบบตัวแปรทางภาษา ซึ่งแสดงถึงแนวทางการควบคุมให้ระบบมีพฤติกรรมตามต้องการ ลอจิกเพื่อให้การตัดสินใจ เป็นส่วนที่ให้การเลียนแบบการตัดสินใจของมนุษย์ โดยอาศัยแนวความคิดทางคณิตศาสตร์และการอนุมานแบบฟิชชี ชุดปฏิบัติการเดฟิชชิฟิเคชันทำหน้าที่แปลงข้อมูลแบบฟิชชีส์ ไปเป็นตัวแปรแบบธรรมชาติ (conventional variable) ที่สมนัยกัน เพื่อให้ระบบภาษาได้การควบคุมสามารถเข้าใจสัญญาณดังกล่าวได้ ข้อมูลแบบฟิชชีที่กล่าวถึงข้างต้นเป็นข้อมูลที่ได้จากการอนุมานกฎการควบคุมแบบฟิชชีส์ต่าง ๆ



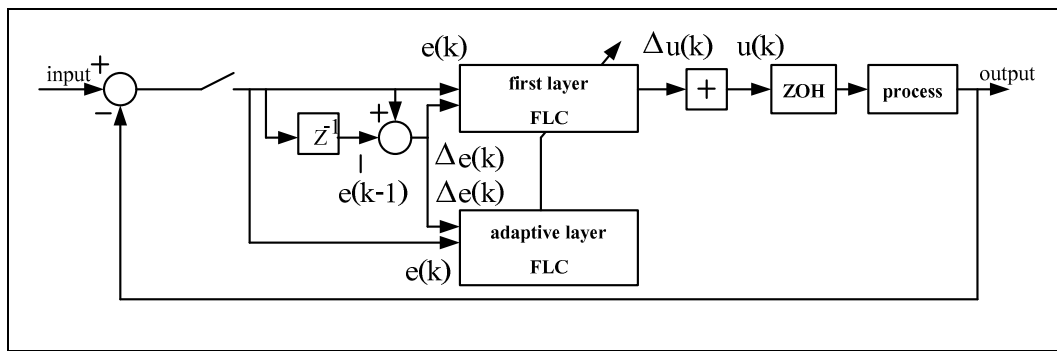
รูปที่ 4.1 ลักษณะพื้นฐานของระบบควบคุมที่ใช้ตัวควบคุมแบบฟิชชีส์ล็อกิก

4.3 ระบบควบคุมฟิชชีแบบจัดการตัวเอง

ระบบควบคุมฟิชชีแบบจัดการตัวเอง มีโครงสร้างพื้นฐานดังแสดงในรูปที่ 4.2 ตัวควบคุมประกอบด้วย ชุดปฏิบัติการฟิชชิฟิเคชัน ฐานความรู้ชั้นแรก ฐานความรู้ชั้นที่สอง โลจิกเพื่อการตัดสินใจชั้นแรก โลจิกเพื่อการตัดสินใจชั้นที่สอง และชุดปฏิบัติการดีฟิชชิฟิเคชัน กฏการควบคุม มี 2 อินพุต และ 1 เอาต์พุต โดยสัญญาณความคลาดเคลื่อนระหว่างอินพุตกับเอาต์พุตจะเข้าสู่ตัวควบคุมฟิชชีทั้งสองชั้น ดังแสดงในรูปที่ 4.3 จากนั้นสัญญาณเอาต์พุตจากตัวควบคุมฟิชชีจะถูกป้อนเข้าสู่ระบบที่ต้องการควบคุม จนกระทั่งได้สัญญาณเอาต์พุตของระบบ ดังมีรายละเอียดต่อไปนี้ ในส่วนของตัวแปรอินพุตคือสัญญาณค่าความคลาดเคลื่อนของกระบวนการ (error, e) และการเปลี่ยนแปลงค่าความคลาดเคลื่อนของกระบวนการ (change in error, Δe) ส่วนตัวแปรเอาต์พุต คือการเปลี่ยนแปลงในสัญญาณการควบคุม (Δu) ตัวควบคุมแบบนี้แตกต่างจากตัวควบคุมฟิชชีโลจิกคือ ระบบควบคุมจะทำการประมวลผลด้วยกระบวนการฟิชชิฟายในชั้นแรก เพื่อปรับเปลี่ยนค่าการควบคุมให้มีช่วงห่างของความคลาดเคลื่อนลดลง ให้ผลในการควบคุมที่แม่นยำยิ่งขึ้น ซึ่งจะได้อธิบายการออกแบบตัวควบคุมฟิชชีแบบจัดการตัวเองสำหรับงานวิจัยนี้ในหัวข้อต่อไป



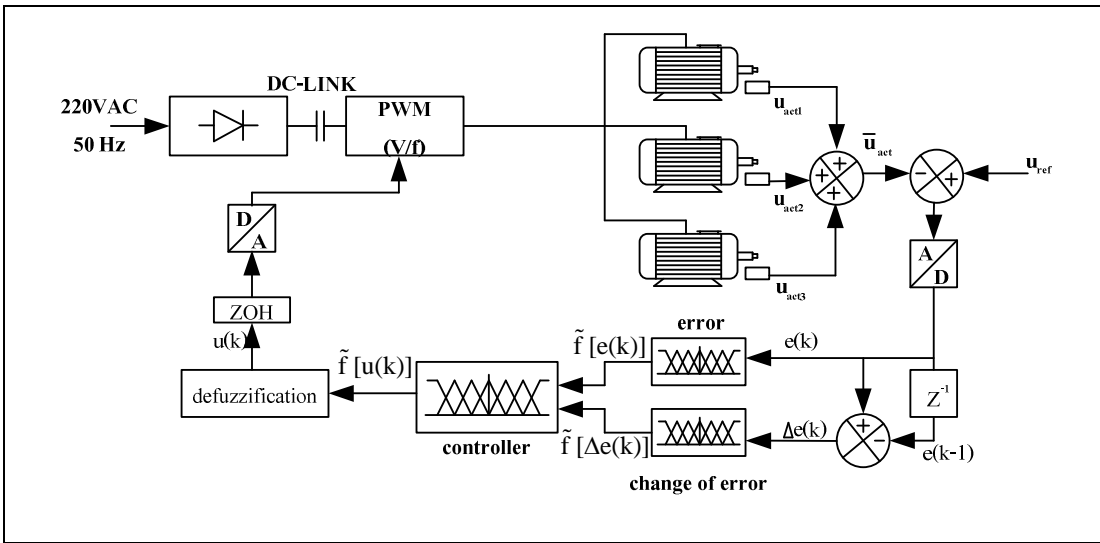
รูปที่ 4.2 โครงสร้างของระบบควบคุมฟิชชีแบบจัดการตัวเอง



รูปที่ 4.3 สัญญาณอินพุตและเอาต์พุตของตัวควบคุมฟิชชีแบบจัดการตัวเอง

4.4 การออกแบบตัวควบคุมฟิชชีแบบจัดการตัวเองในงานวิจัยนี้

การออกแบบแบบตัวควบคุมฟิชชีแบบจัดการตัวเองสำหรับควบคุมอัตราเร็วมอเตอร์เห็นได้ว่าในภาพเดียวที่ต่อขานกันหลายตัวรับพลังงานจากอินเวอร์เตอร์แหล่งจ่ายแรงดันชุดเดียว ดังแสดงในรูปที่ 4.4 ขับให้ลดแต่ละตัวด้วยแรงบิดสูงสุดไม่เกิน 6 Nm ทั้งนี้จะพิจารณาความคลาดเคลื่อนในสถานะอยู่ตัวของอัตราเร็วไม่เกิน $\pm 5\%$ ของอัตราเร็วอ้างอิงที่ 1200 rpm เป็นปัจจัยบ่งชี้สมรรถนะของระบบ ตัวควบคุมฟิชชีแบบจัดการตัวเองมีโครงสร้างพื้นฐานดังที่กล่าวมาแล้วในหัวข้อที่ 4.3 ตัวแปรอินพุตของระบบ คือ ค่าความคลาดเคลื่อนของอัตราเร็วมอเตอร์ ($\text{error, } e$) และการเปลี่ยนแปลงค่าความคลาดเคลื่อนของอัตราเร็วมอเตอร์ ($\text{change in error, } \Delta e$) ส่วนตัวแปรเอาต์พุต คือ การเปลี่ยนแปลงในสัญญาณการควบคุม (Δu)



รูปที่ 4.4 แผนภาระระบบควบคุมอัตตราเร็วมอเตอร์เห็นี่ยวน้ำไฟสเดียวที่ต่อขานกันหลายตัว
รับพลังงานจากอินเวอร์เตอร์เพียงชุดเดียวด้วยตัวควบคุมพิชชี

ตารางที่ 4.1 กฎการควบคุมพิชชีในตัวควบคุมพิชชีลอกิจแบบธรรมชาติ

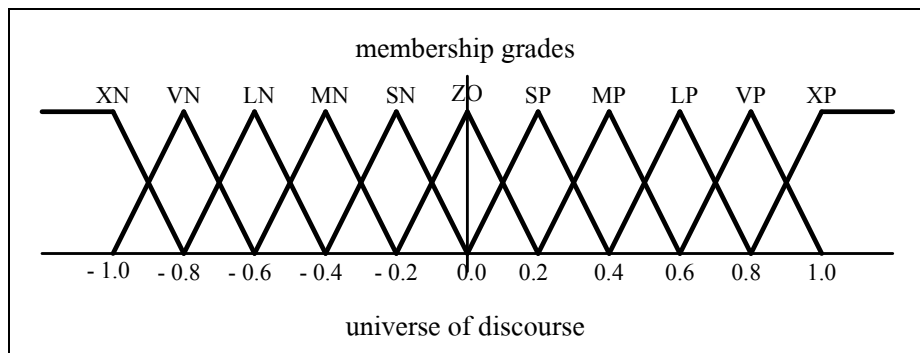
		Change in error											
		XN	VN	LN	MN	SN	ZO	SP	MP	LP	VP	XP	
Error	XN	XP	XP	XP	XP	XP	XP	VP	LP	MP	SP	ZO	
	VN	XP	XP	XP	XP	XP	VP	LP	MP	SP	ZO	SN	
	LN	XP	XP	XP	XP	VP	LP	MP	SP	ZO	SN	MN	
	MN	XP	XP	XP	VP	LP	MP	SP	ZO	SN	MN	LN	
	SN	XP	XP	VP	LP	MP	SP	ZO	SN	MN	LN	VN	
	ZO	XP	VP	LP	MP	SP	ZO	SN	MN	LN	VN	XN	
	SP	VP	LP	MP	SP	ZO	SN	MN	LN	VN	XN	XN	
	MP	LP	MP	SP	ZO	SN	MN	LN	VN	XN	XN	XN	
	LP	MP	SP	ZO	SN	MN	LN	VN	XN	XN	XN	XN	
	VP	SP	ZO	SN	MN	LN	VN	XN	XN	XN	XN	XN	

การออกแบบระบบควบคุมในงานวิจัยวิทยานิพนธ์นี้ ดำเนินการในแนวศึกษาสำนึกรีติวิสติก (heuristics) โดยอาศัยข้อมูลความรู้ที่เป็นผลของการจำลองการทำงานของระบบด้วยคอมพิวเตอร์ ซึ่งจากการวิเคราะห์พฤติกรรมของมอเตอร์ โดยอาศัยผลการจำลองสถานการณ์ ดังปรากฏในบทที่ 3 สามารถกำหนดค่าพื้นฐานได้ดังตารางที่ 4.1 และพิจารณาค่าความคลาดเคลื่อนทางอัตราเร็วของมอเตอร์ $e(k)$ ที่ได้จากการเปรียบเทียบสัญญาณคำสั่งอ้างอิง $u_{ref}(k)$ กับสัญญาณที่ได้จากตัวตรวจสอบอัตราเร็วเฉลี่ย $\bar{u}_{act}(k)$ และเมื่อระบบทำงานครบวัฏจักร จะได้ค่าความคลาดเคลื่อน $e(k-1)$ เมื่อนำไปเปรียบเทียบกับค่าความคลาดเคลื่อนเดิมก็จะได้ปริมาณการเปลี่ยนแปลงในค่าความคลาดเคลื่อน $\Delta e(k)$ และเป็นความสัมพันธ์ได้ดังนี้

$$e(k) = u_{ref}(k) - \bar{u}_{act}(k) \quad (4.1)$$

$$\Delta e(k) = e(k) - e(k-1) \quad (4.2)$$

ค่า $e(k)$ และ $\Delta e(k)$ ถูกนำไปผ่านกระบวนการฟิลเตอร์ชั้นเกิดเป็นค่า $f[e(k)]$ และ $f[\Delta e(k)]$ ซึ่งต่อไปเพื่อให้เข้าใจง่ายจะเรียกพจน์ทั้งสองที่ผ่านการฟิลเตอร์แล้วว่า $e(k)$ และ $\Delta e(k)$ ค่าการเปลี่ยนแปลงของ $e(k)$ และ $\Delta e(k)$ สมัพน์กับการเปลี่ยนแปลงอัตราเร็วของมอเตอร์ กล่าวคือ อัตราเร็วของมอเตอร์ในงานวิจัยนี้จะเปลี่ยนแปลงตามความถี่ที่เป็นอัตราส่วนโดยตรงกับแรงดันที่จ่ายให้กับมอเตอร์ ความถี่ดังกล่าวจะเปลี่ยนแปลงไปตามวัฏจักรการทำงานของอินเวอร์เตอร์ที่รับคำสั่งการควบคุมจากการประมวลผลของตัวควบคุม สัญญาณควบคุม $u(k)$ ที่เป็นผลลัพธ์ของกระบวนการคิดฟิลเตอร์ที่กระทำต่อ $f[u(k)]$ ใช้เป็นตัวปรับวัฏจักรการทำงานของอินเวอร์เตอร์ ตัวควบคุมฟิลเตอร์มีฟังก์ชันความเป็นสมาชิกภาพ (membership functions) เป็นรูปทรงสามเหลี่ยมหน้าจั่ว แสดงได้ด้วยรูปที่ 4.5



รูปที่ 4.5 กราฟฟังก์ชันสมาชิกภาพสำหรับ e_1 , e_2 และ u_1

มีตัวแปรทางภาษาตามตารางฐานกฎการควบคุมแสดงในตารางที่ 4.1 ดังนี้

XN	คือ	ค่าทางลบมากพิเศษ
VN	คือ	ค่าทางลบมาก ๆ
LN	คือ	ค่าทางลบมาก
MN	คือ	ค่าทางลบปานกลาง
SN	คือ	ค่าทางลบน้อย ๆ
ZO	คือ	ค่ากลาง
SP	คือ	ค่าทางบวกน้อย ๆ
MP	คือ	ค่าทางบวกปานกลาง
LP	คือ	ค่าทางบวกมาก
VP	คือ	ค่าทางบวกมาก ๆ
XP	คือ	ค่าทางบวกมากพิเศษ

ทั้งอนพุตและเอกสารพุตจะใช้ฟังก์ชันความเป็นสมาชิกภาพที่เหมือนกัน มีรูปแบบกฎการควบคุมพื้นฐานดังต่อไปนี้

$$\text{IF}[e_1 \text{ is } E_i] \text{ and } [e_2 \text{ is } E_j] \text{ THEN } [u_1 \text{ is } U_{n(i,j)}] \quad (4.3)$$

เมื่อ	e_1	คือ	ค่าความคลาดเคลื่อนของ $e(k)$
	e_2	คือ	การเปลี่ยนแปลงค่าความคลาดเคลื่อนของ $\Delta e(k)$
	u_1	คือ	การเปลี่ยนแปลงสัญญาณควบคุม $\tilde{f}[u(k)]$

E_i	คือ	ตัวแปรทางภาษาของ e_1
E_j	คือ	ตัวแปรทางภาษาของ e_2
$U_{n(i,j)}$	คือ	ตัวแปรทางภาษาของ n_1

ตัวอย่างเช่น IF [e_1 is MN] and [e_2 is VP] THEN [u_1 is MN] การอนุมานกฏใช้แบบ Mamdani (Mamdani, 1977) และดีฟซซิฟายด้วยวิธีการคำนวณศูนย์กลางแรงโน้มถ่วง (center of gravity, COG) (Chengying and Yung, 2005) ดังนั้นการอนุมานกฏได้ผลเป็น u คือ u_1 ที่ดีฟซซิฟายแล้วสามารถแสดงได้ด้วยความสัมพันธ์ 4.4

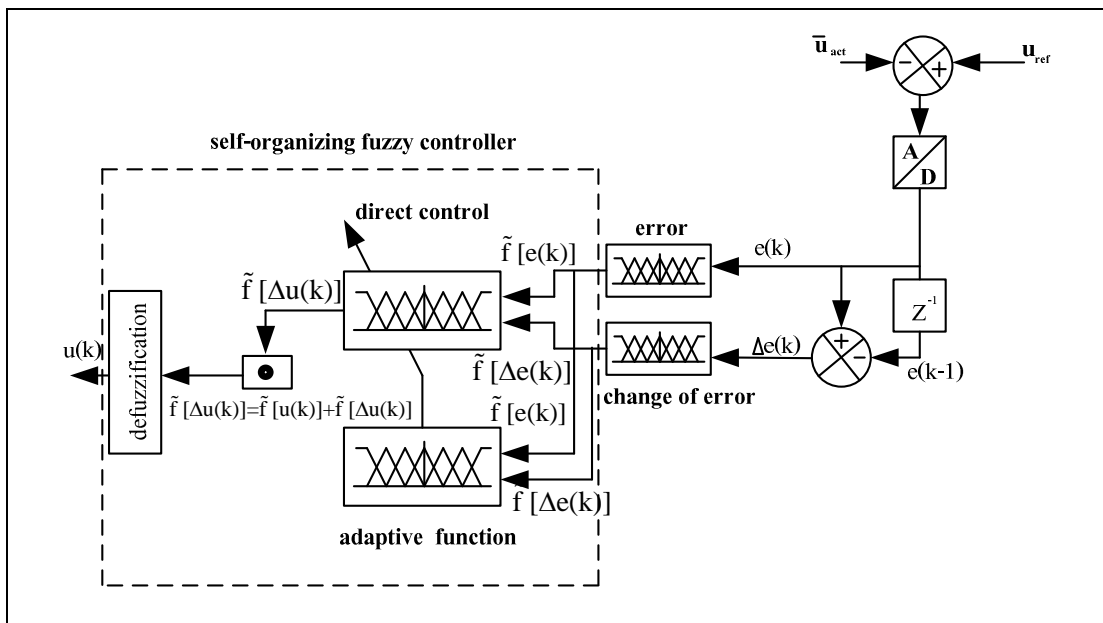
$$u = \frac{\sum_{i,j} [(\mu E_i(e_1) \cap \mu E_j(e_2)) \cdot U_{n(i,j)}]}{\sum_{i,j} (\mu E_i(e_1) \cap \mu E_j(e_2))} \quad (4.4)$$

เมื่อ $\mu E_i(e_1) \cap \mu E_j(e_2) = \min [\mu E_i(e_1), \mu E_j(e_2)]$

ขณะนี้อาจสังเกตได้ว่าตัวแปรทางภาษา e_1 e_2 และ u_1 ล้วนประยุกต์ฟังก์ชันสมาชิกภาพรูปแบบเดียวกัน เพียงแต่ต่าง โอดเมนเมื่อสั่งรูป (map) ไปยัง universe of discourse (UoD) การสั่งรูปต่าง ๆ มีรายละเอียดต่อไปนี้

- e_1 : -1 บน UoD หมายถึง ความเร็วรอบ摩托อร์ต่ำกว่าค่าเป้าหมาย 60 rpm
1 บน UoD หมายถึง ความเร็วรอบ摩托อร์สูงกว่าค่าเป้าหมาย 60 rpm
0 บน UoD หมายถึง ความเร็วรอบ摩托อร์อยู่ที่ค่าเป้าหมายที่ 1200 rpm
- e_2 : -1 บน UoD หมายถึง ปริมาณการเปลี่ยนแปลงอัตราเร็วครั้งใหม่น้อยกว่าครั้งที่ผ่านมากถูกต้อง (-5%)
1 บน UoD หมายถึง ปริมาณการเปลี่ยนแปลงอัตราเร็วครั้งใหม่มากกว่าครั้งที่ผ่านมากถูกต้อง (+5%)
0 บน UoD หมายถึง ไม่มีการเปลี่ยนแปลงปริมาณอัตราเร็วรอบระหว่างครั้งใหม่และครั้งที่ผ่านมา
- u_1 : -1 บน UoD หมายถึง สัญญาณความถี่ในการควบคุมต่ำกว่าค่าเป้าหมาย 2 Hz
1 บน UoD หมายถึง สัญญาณความถี่ในการควบคุมสูงกว่าค่าเป้าหมาย 2 Hz
0 บน UoD หมายถึง สัญญาณความถี่ในการควบคุมที่ค่าเป้าหมาย 40 Hz

การแบ่งย่าน UoD ก่อให้เกิดการแบ่ง e_1 e_2 และ u_1 บนโอดเมนจริงอย่างเป็นสัดส่วนตรงแก้กัน



รูปที่ 4.6 ตัวควบคุมพิชชีแบบจัดการตัวเอง

ตารางที่ 4.2 ฐานกฏพิชชีของตัวควบคุมพิชชีจัดแบบการตัวเอง

		Change in error										
		XN	VN	LN	MN	SN	ZO	SP	MP	LP	VP	XP
Error	XN	XP	XP	XP	XP	XP	VP	ZO	ZO	ZO	ZO	ZO
	VN	XP	XP	XP	XP	VP	LP	ZO	ZO	ZO	ZO	ZO
	LN	XP	XP	XP	VP	LP	MP	ZO	ZO	ZO	ZO	ZO
	MN	XP	XP	VP	LP	MP	SP	ZO	ZO	ZO	ZO	ZO
	SN	XP	VP	LP	MP	SP	ZO	ZO	ZO	ZO	ZO	ZO
	ZO	VP	LP	MP	SP	ZO	ZO	ZO	SN	MN	LN	VN
	SP	ZO	ZO	ZO	ZO	ZO	ZO	SN	MN	LN	VN	XN
	MP	ZO	ZO	ZO	ZO	ZO	SN	MN	LN	VN	XN	XN
	LP	ZO	ZO	ZO	ZO	ZO	MN	LN	VN	XN	XN	XN
	VP	ZO	ZO	ZO	ZO	ZO	LN	VN	XN	XN	XN	XN
	XP	ZO	ZO	ZO	ZO	ZO	VN	XN	XN	XN	XN	XN

การวิจัยวิทยานิพนธ์นี้ได้ออกแบบการควบคุมแบบฟัชซีที่มีการจัดการตัวเอง เพื่อปรับกระบวนการควบคุมในชั้นแรกของตัวควบคุมฟัชซีล็อกิก ซึ่งอาจแทนได้ด้วยแผนภาพในรูปที่ 4.6 ตัวควบคุมดังกล่าวถูกออกแบบให้มีสองอินพุตกับหนึ่งเอาต์พุต (Hwang and Yen, 1996) โดยอินพุตนี้จะเหมือนกับตัวควบคุมฟัชซีในชั้นแรก ส่วนเอาต์พุตใช้การปรับศูนย์กลางฟังก์ชันความเป็นสมาชิกภาพของเอาต์พุตของตัวควบคุมฟัชซีชั้นแรก ด้วยฐานกฎที่รวมไว้ในตารางที่ 4.2 รูปทรงฟังก์ชันความเป็นสมาชิกภาพและตัวแปรทางภาษา จะเหมือนกับในตัวควบคุมฟัชซีล็อกิกชั้นแรก เพื่อให้ง่ายต่อการคำนวณ รูปแบบกฎการควบคุมฟัชซีจัดการตัวเองอาจเขียนแสดงได้ดังนี้

$$\text{IF } [e_1 \text{ is } E_i] \text{ and } [e_2 \text{ is } E_j] \text{ THEN } [C \text{ is } C_{m(i,j)}] \quad (4.5)$$

เมื่อ	e_1	คือ	ค่าความคลาดเคลื่อน $e(k)$
	e_2	คือ	การเปลี่ยนแปลงค่าความคลาดเคลื่อนของ $\Delta e(k)$
	C	คือ	การอธิบายเชิงฟัชซีในการเปลี่ยนแปลงของศูนย์กลางความเป็นสมาชิกภาพ
	E_i	คือ	ตัวแปรทางภาษาของ e_1
	E_j	คือ	ตัวแปรทางภาษาของ e_2
	$C_{m(i,j)}$	คือ	ตัวแปรทางภาษาของ C

ตัวอย่างเช่น IF $[e_1 \text{ is LP}] \text{ and } [e_2 \text{ is MP}] \text{ THEN } [C \text{ is VN}]$ การอนุมานกฎใช้แบบ Mamdani (Calcev, 1998) และดีฟัชซิฟายด้วยวิธีการคำนวณศูนย์กลางแรง โน้มถ่วง (center of gravity, COG) ดังนั้นการอนุมานกฎได้ผลลัพธ์มาจะนำไปปรับตั้งศูนย์กลางของฟังก์ชันความเป็นสมาชิกภาพของเอาต์พุตของตัวควบคุมฟัชซีชั้นแรก สามารถแสดงด้วยความสัมพันธ์ 4.6

$$U_{n(i,j)} = U_{n(i,j)} + \frac{\sum_{i,j} [(\mu E_i(e_1) \cap \mu E_j(e_2)) \cdot C_{m(i,j)}]}{\sum_{i,j} (\mu E_i(e_1) \cap \mu E_j(e_2))} \quad (4.6)$$

อาจสังเกตได้ว่าตัวแปรทางภาษาของ C ประยุกต์ฟังก์ชันสมाचิกภาพรูปแบบเดียวกับ e_1 , e_2 และ u_1 เพียงแต่ต่างโดยmen เมื่อส่งรูป (map) ไปยัง universe of discourse (UoD) การส่งรูปต่าง ๆ มีรายละเอียดต่อไปนี้

C : -1 บน UoD หมายถึง ปริมาณที่เปลี่ยนแปลงของศูนย์กลางของฟังก์ชันความเป็น
สมाचิกภาพของตัวแปรเอกสารพุตในตัวควบคุมฟิชชีชันแรก
ที่ได้จากการอนุมานไปทางด้านซ้ายสุด (ไม่มีหน่วย)

1 บน UoD หมายถึง ปริมาณที่เปลี่ยนแปลงของศูนย์กลางของฟังก์ชันความเป็น
สมाचิกภาพของตัวแปรเอกสารพุตในตัวควบคุมฟิชชีชันแรก
ที่ได้จากการอนุมานไปทางด้านขวาสุด (ไม่มีหน่วย)

0 บน UoD หมายถึง ไม่มีการเปลี่ยนแปลงของศูนย์กลางไปจากค่าที่อยู่เดิม
ปัจจุบัน

การแบ่งย่าน UoD ก่อให้เกิดการแบ่ง C บนโดยmen จริงอย่างเป็นสัดส่วนตรงแก่กัน

ในภาพรวม จะเห็นว่าตัวควบคุมฟิชชีชันมีกฎสองชั้น ชั้นแรกเป็นการควบคุมโดยตรง
มีจำนวนกฎการควบคุม 121 ข้อ ในชั้นที่สองเป็นฟังก์ชันการปรับตัวเองให้การปรับแต่งศูนย์กลาง
ของฟังก์ชันสมाचิกภาพดังที่ได้อธิบายไว้ข้างต้น ประกอบด้วยจำนวนกฎอีก 121 ข้อ กฎทั้งสองชุด
ทำงานร่วมกันเป็นตัวควบคุมฟิชชีชันแบบจัดการตัวเอง ดังแสดงตัวอย่างต่อไปนี้

สมมุติว่าตัวตรวจรู้อัตราเร็วรอบมอเตอร์วัดค่าอัตราเร็วได้ 1210 rpm ดำเนินการ
ปรับเปลี่ยนค่าให้เข้าสู่โดยmen เพื่อส่งรูป (map) ไปยัง universe of discourse (UoD) ได้ค่าความ
คลาดเคลื่อน (e_1) 0.17 และสมมุติว่าตัวตรวจรู้อัตราเร็วรอบมอเตอร์วัดค่าอัตราเร็วรอบมอเตอร์
ครั้งก่อนได้ 1225 rpm ดำเนินการปรับเปลี่ยนค่าให้เข้าสู่โดยmen เพื่อส่งรูป (map) ไปยัง universe of
discourse (UoD) ได้ค่าการเปลี่ยนแปลงความคลาดเคลื่อน (e_2) 0.25 เมื่อเทียบค่าความคลาดเคลื่อน
ที่ได้กับรูปที่ 4.5 จะตรงกับฟิชชีเซต ZO และ SP ซึ่งมีค่า

$$\mu_{ZO}(e_1)=0.2 \quad \text{และ} \quad \mu_{SP}(e_1)=0.2$$

เมื่อเทียบค่าเปลี่ยนแปลงความคลาดเคลื่อนที่ได้กับรูปที่ 4.5 จะตรงกับฟิชชีเซต SP และ MP ซึ่งมีค่า

$$\mu_{SP}(e_2)=0.75 \quad \text{และ} \quad \mu_{MP}(e_2)=0.25$$

ทำการเปิดตารางกฎการควบคุมดังแสดงในตารางที่ 4.1 จะตรงกับกฎการควบคุมทั้งหมด 4 กฎ
สามารถให้ความหมายดังนี้รายละเอียดต่อไปนี้

- 1 IF (e_1 is ZO AND e_2 is SP) THEN (u is SN)
- 2 IF (e_1 is SP AND e_2 is SP) THEN (u is MN)
- 3 IF (e_1 is ZO AND e_2 is MP) THEN (u is MN)

4 IF (e_1 is SP AND e_2 is MP) THEN (u is LN)

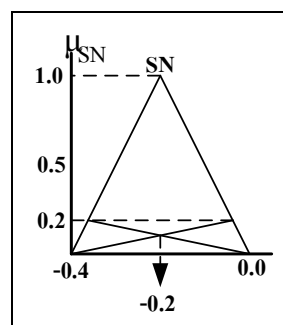
กลไกการวินิจฉัยในแต่ละกฎจะใช้ค่าความเป็นสมาชิกของแต่ละตัวแปร e_1 และ e_2 แต่ละฟัชชีเซตในการตัดสินใจ ในกฎข้อที่ 1 วิธีการตัดสินใจใช้ตัวกระทำทางฟัชชีที่เรียกว่าการอินเตอร์เซ็ค (intersection) ของฟัชชีเซตสองเซต ซึ่งก็คือการเลือกค่าความเป็นสมาชิกของตัวแปรฟัชชีที่มีค่าน้อยที่สุด

$$\min[\mu_{ZO}(e_1), \mu_{SP}(e_2)] = \min[0.2, 0.75] = 0.2$$

ดังนั้นกฎข้อที่ 1 ค่าของฟัชชีเซต SN จะมีค่าความเป็นสมาชิก

$$\mu_{SN} = 0.2$$

เมื่อใช้วิธีการหาค่าเอาต์พุตที่ได้จากการวินิจฉัยในแต่ละกฎ โดยการหาค่าจุดศูนย์กลางพื้นที่ดังแสดงในรูปที่ 4.7 จะได้ค่ากกฎการควบคุมเป็น $U_{1SN} = -0.2$



รูปที่ 4.7 การหาค่าสัญญาณการควบคุมโดยวิธีการหาค่าจากจุดศูนย์กลางพื้นที่

ในทำงานองเดี่ยวกันกับกฎข้อที่ 2 3 และ 4 จะได้ค่า

$$\min[\mu_{SP}(e_1), \mu_{SP}(e_2)] = \min[0.8, 0.75] = 0.75$$

$$\min[\mu_{ZO}(e_1), \mu_{MP}(e_2)] = \min[0.2, 0.25] = 0.2$$

$$\min[\mu_{SP}(e_1), \mu_{MP}(e_2)] = \min[0.8, 0.25] = 0.25$$

แต่ละข้อจะมีค่าความเป็นสมาชิกตามลำดับดังนี้

$$U_{2MN} = -0.4$$

$$U_{3MN} = -0.4$$

$$U_{4LN} = -0.6$$

พิจานาในส่วนของพืชซีชั้นที่สอง ซึ่งในงานวิจัยนี้ได้ใช้กราฟพิงก์ชันความเป็นสมาชิกภาพเหมือนในชั้นแรก ตามรูปที่ 4.5 แต่ใช้ตารางกฎการควบคุม ดังแสดงในตารางที่ 4.2 จะตรงกับกฎการควบคุมทั้งหมด 4 กฎ สามารถให้ความหมายดังนี้รายละเอียดต่อไปนี้

- 1 IF (e1 is ZO AND e2 is SP) THEN (c is ZO)
- 2 IF (e1 is SP AND e2 is SP) THEN (c is SN)
- 3 IF (e1 is ZO AND e2 is MP) THEN (c is SN)
- 4 IF (e1 is SP AND e2 is MP) THEN (c is MN)

กลไกการวินิจฉัยในแต่ละกฎจะใช้ค่าความเป็นสมาชิกของแต่ละตัวแปร e_1 และ e_2 แต่ละพืชซีชัตในการตัดสินใจ ด้วยการเลือกค่าความเป็นสมาชิกของตัวแปรพืชซีที่มีค่าน้อยที่สุด ผลที่ได้เป็นดังนี้

$$\min[\mu_{ZO}(e_1), \mu_{SP}(e_2)] = \min[0.2, 0.75] = 0.2$$

$$\min[\mu_{SP}(e_1), \mu_{SP}(e_2)] = \min[0.8, 0.75] = 0.75$$

$$\min[\mu_{ZO}(e_1), \mu_{MP}(e_2)] = \min[0.2, 0.25] = 0.2$$

$$\min[\mu_{SP}(e_1), \mu_{MP}(e_2)] = \min[0.8, 0.25] = 0.25$$

เมื่อใช้วิธีการหาค่าอาต์พุตที่ได้จากการวินิจฉัยในแต่ละกฎ โดยการหาค่าจุดศูนย์กลางพื้นที่ดังแสดงในรูปที่ 4.7 จะได้ค่าในแต่ละกฎการควบคุมเป็น

$$C_{1ZO} = 0$$

$$C_{2SN} = -0.2$$

$$C_{3SN} = -0.2$$

$$C_{4MN} = -0.4$$

ขั้นตอนการคำนวณพืชซีพายใช้วิธีการหาจุดศูนย์กลางมวล (center of gravity, COG) ตามสมการที่ 4.7 เมื่อแทนค่าลงในสมการผลที่ได้เท่ากับ -0.21

$$COG = \frac{\sum_{i,j} [(\mu E_i(e_1) \cap \mu E_j(e_2)) \cdot C_{m(i,j)}]}{\sum_{i,j} (\mu E_i(e_1) \cap \mu E_j(e_2))} \quad (4.7)$$

แทนค่าที่ได้ลงในสมการที่ 4.6 จะได้ค่าจุดศูนย์กลางพื้นที่เปลี่ยนไปของพัชชีชั้นแรกดังต่อไปนี้

$$U_{1MN} = -0.4$$

$$U_{2MN} = -0.6$$

$$U_{3MN} = -0.6$$

$$U_{4LN} = -0.8$$

นำค่าที่ได้ไปหาค่าการควบคุมตามสมการที่ 4.4 ดังนี้

$$u = \frac{(0.2 \times (-0.4) + 0.75 \times (-0.6) + 0.2 \times (-0.6) + 0.25 \times (-0.8))}{0.2 + 0.75 + 0.2 + 0.25} = -0.6$$

ค่าเอ่าต์พุตที่ได้อธิบายได้ว่า มอเตอร์มีความเร็วสูงกว่าค่าอ้างอิงที่กำหนด ตัวควบคุมจะต้องลดระดับสัญญาณการควบคุมลง ซึ่งค่าเอ่าต์พุตที่ได้จะถูกปรับเปลี่ยนให้เป็นสัญญาณที่ใช้ในการควบคุม เพื่อควบคุมให้อินเวอร์เตอร์ลดความถี่ที่จ่ายให้มอเตอร์ลง 1.2 Hz สัมพันธ์กับการลดแรงดันที่จ่ายไปควบคุมอินเวอร์เตอร์ลง 0.06 V เพื่อให้อัตราเร็วมอเตอร์เข้าใกล้ค่าอ้างอิงที่กำหนด

ในการประยุกต์ใช้กับระบบที่มีพิกัดมอเตอร์และจำนวนมอเตอร์ที่ต้องนานแตกต่างไปจากในงานวิจัยวิทยานิพนธ์นี้ ต้องทำการปรับเปลี่ยนพารามิเตอร์ต่าง ๆ ของมอเตอร์แต่ละตัว และกำหนดเป้าหมายของการควบคุมดังที่ได้อธิบายไว้ในตอนต้นของหัวข้อนี้ เพื่อปรับเปลี่ยนกฎการควบคุม จำเป็นต้องอาศัยการศึกษาสำนักของผู้ออกแบบร่วมด้วย เช่น ปรับเปลี่ยนจำนวนฐานกฎ หรือความกว้างของฐานฟังก์ชันความเป็นสมาชิกภาพใน UoD ตามความเหมาะสมของระบบที่ทำการควบคุม

4.5 สรุป

ในการควบคุมระบบที่ไม่สามารถคาดเดาสภาพแวดล้อมและมีพารามิเตอร์ที่แปรเปลี่ยนตามเวลา ตัวควบคุมพัชชีล็อกอิจิกแบบธรรมชาติอาจให้ผลการควบคุมที่ไม่ดีนัก ดังนั้นการวิจัยนี้ จึงออกแบบการควบคุมพัชชีที่มีการจัดการตัวเอง เพื่อปรับกระบวนการควบคุมในชั้นแรกของตัวควบคุมพัชชีล็อกอิจิก ตัวควบคุมดังกล่าวถูกออกแบบให้มีสองอินพุตกับหนึ่งเอ่าต์พุต โดยอินพุตนี้จะเหมือนกับตัวควบคุมพัชชีในชั้นแรก ส่วนเอ่าต์พุตใช้การปรับศูนย์กลางฟังก์ชันความเป็นสมาชิกภาพของเอ่าต์พุตของตัวควบคุมพัชชีชั้นแรก ซึ่งชั้นแรกเป็นการควบคุมโดยตรง มีจำนวนกฎการควบคุม 121 ข้อ ในชั้นที่สองเป็นฟังก์การปรับตัวเองให้การปรับแต่งศูนย์กลางของฟังก์ชันสมาชิกภาพดังที่ได้อธิบายไว้ข้างต้น ประกอบด้วยจำนวนกฎอีก 121 ข้อ กฎทั้งสองชุดทำงานร่วมกันเป็นตัวควบคุมพัชชีแบบจัดการตัวเอง ซึ่งสามารถปรับเปลี่ยนจำนวนกฎได้ตามความเหมาะสมของกระบวนการควบคุม ที่จำเป็นต้องอาศัยการศึกษาสำนักของผู้ออกแบบร่วมด้วย เช่น ใน การวิจัยวิทยานิพนธ์นี้ได้ใช้ตัวควบคุมพัชชีแบบจัดการตัวเองมาเป็นตัวควบคุมอัตราเร็วของ

มอเตอร์เห็นี่ยวน้ำเฟสเดียวที่ต่อขานกันหลายตัวจ่ายกำลังด้วยอินเวอร์เตอร์เพียงตัวเดียว ซึ่ง อัตราเร็วของมอเตอร์เปลี่ยนแปลงตามความถี่ที่เป็นอัตราส่วนโดยตรงกับแรงดันที่จ่ายให้กับ มอเตอร์ ความถี่ดังกล่าวจะเปลี่ยนแปลงไปตามวัฏจักรการทำงานของอินเวอร์เตอร์ ที่รับคำสั่งการ ควบคุมจากการประมวลผลของตัวควบคุม สัญญาณควบคุม $n(k)$ ที่เป็นผลลัพธ์ของการบวนการ ดิฟซิฟิเคชันที่กระทำต่อ $f[n(k)]$ ใช้เป็นตัวปรับวัฏจักรการทำงานของอินเวอร์เตอร์ ตัวควบคุม ดังกล่าวมีฟังก์ชันความเป็นสมाचิกภาพเป็นรูปทรงสามเหลี่ยมหน้าจั่ว และมีตัวแปรทางภาษาตาม ตารางฐานกฏการควบคุมดังนี้ ค่าทางลบมากพิเศษ (XN) ค่าทางลบมาก ๆ (VN) ค่าทางลบมาก (LN) ค่าทางลบปานกลาง (MN) ค่าทางลบน้อย ๆ (SN) ค่ากลาง (ZO) ค่าทางบวกน้อย ๆ (SP) ค่าทางบวกปานกลาง (MP) ค่าทางบวกมาก (LP) ค่าทางบวกมาก ๆ (VP) ค่าทางบวกมากพิเศษ (XP) ทั้งอินพุตและเอาต์พุตจะใช้ฟังก์ชันความเป็นสมाचิกภาพที่เหมือนกัน และจากตัวอย่างที่ได้ แสดงการออกแบบจะได้นำไปจำลองผลด้วยโปรแกรมคอมพิวเตอร์ ทั้งในสภาวะไม่มีโหลดและ ขับโหลด เพื่อให้ทราบถึงสมรรถนะของระบบควบคุมที่ได้ออกแบบไว้ในการวิจัยวิทยานิพนธ์นี้

บทที่ 5

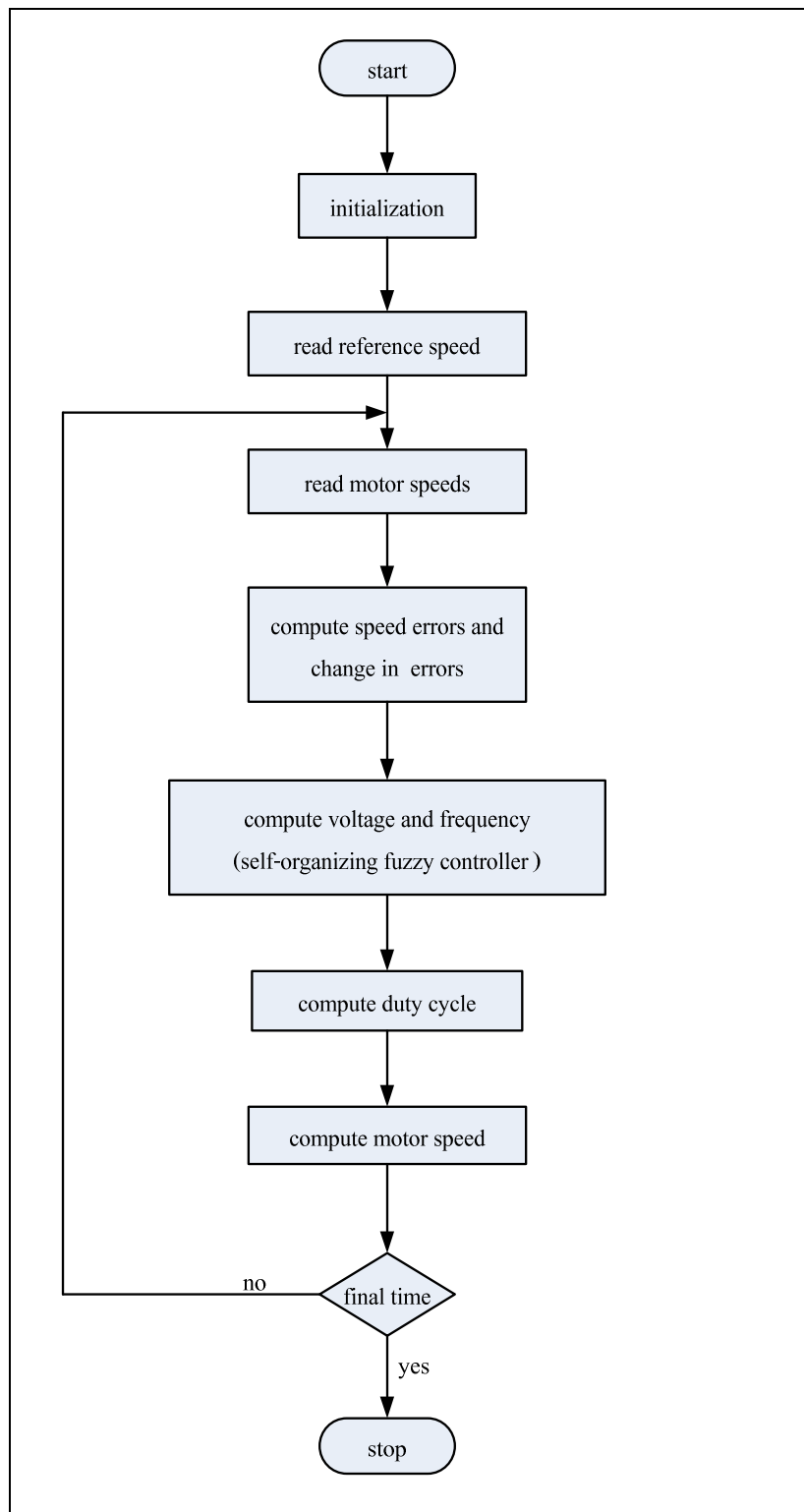
การจำลองผลระบบควบคุมการขับมอเตอร์ต่อขาน

5.1 บทนำ

การใช้ระบบควบคุมฟิลเตอร์แบบจัดการตัวเองควบคุมระบบขับเคลื่อนที่พัฒนาขึ้น โดยงานวิจัยพิทักษ์นินันท์เป็นทางเลือกที่เหมาะสม เพราะระบบฟิลเตอร์รูปแบบดังกล่าวมีความอ่อนตัว ต่อการออกแบบ นอกจากนี้ในการพัฒนาเทคโนโลยีระบบควบคุมไม่ต้องพึงพาแบบจำลอง ที่แม่นยำสูง สามารถใช้แบบจำลองโดยประมาณได้ ในบทนี้ได้นำเอาการออกแบบตัวควบคุมฟิลเตอร์แบบจัดการตัวเองมาจำลองผลร่วมกับแบบจำลองทางคณิตศาสตร์ของมอเตอร์ต่อขานกันหลายตัว ที่ได้กล่าวไปแล้วในบทที่ 3 ในการจำลองผลได้ดำเนินการทั้งกรณีขับตัวเปล่าและกรณีขับโหลด เพื่อพิจารณาผลในสภาวะต่าง ๆ ซึ่งจะเป็นองค์ความรู้สำหรับใช้ในการออกแบบและสร้างระบบทดสอบจริงต่อไป

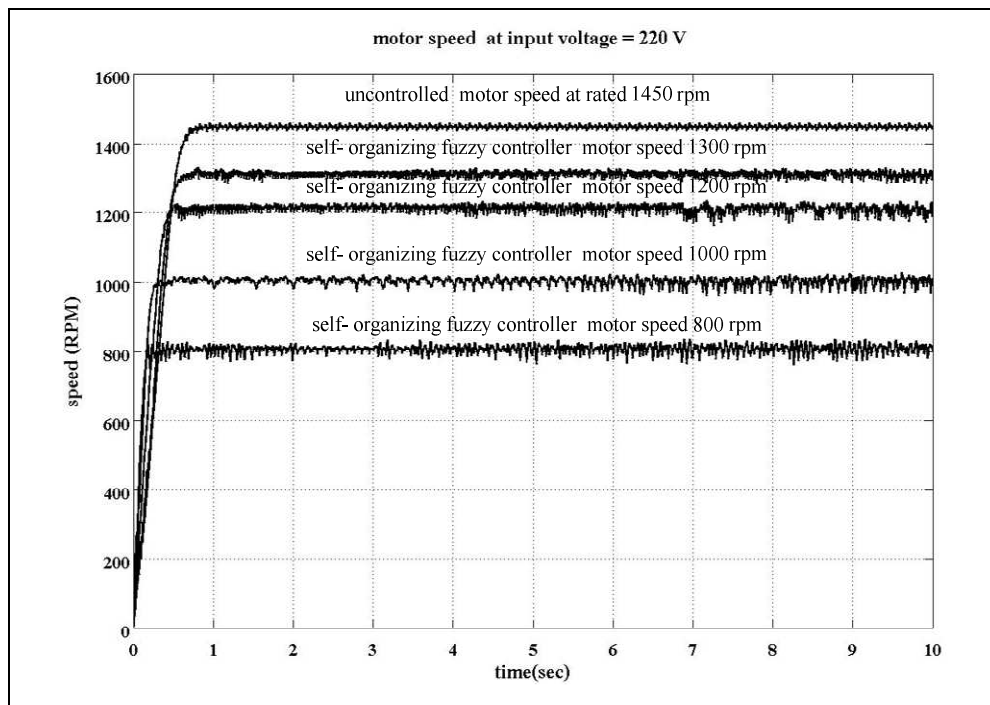
5.2 การจำลองผลระบบควบคุมฟิลเตอร์แบบจัดการตัวเองขับมอเตอร์เห็นี่ยวน้ำเพสเดียวยที่ต่อขานกันหลายตัว

จากการออกแบบตัวควบคุมฟิลเตอร์แบบจัดการตัวเองที่ได้ออกแบบไว้ ดังที่ได้อธิบายในรายละเอียดในบทที่ 4 ตัวควบคุมดังกล่าวได้รับการจำลองผลด้วยโปรแกรม MATLAB ซึ่งมีลักษณะขั้นตอนการทำงานดังแสดงในรูปที่ 5.1 เริ่มต้นจากการกำหนดค่าพารามิเตอร์ต่าง ๆ ของระบบ ขับเคลื่อน จากนั้นกำหนดค่าอัตราเร็วอ้างอิงให้กับระบบเมื่อวงจรสับไฟฟ้าทำงานครบ 1 คาบเวลา การสับสัญญาณ โปรแกรมทำการคำนวณหาค่าอัตราเร็วมอเตอร์ ค่าที่ได้นำไปลบกับค่าความเร็ว อ้างอิง ค่าผิดพลาดของอัตราเร็วและค่าผิดพลาดการเปลี่ยนแปลงอัตราเร็วจะถูกส่งเข้าไปยังตัวควบคุมฟิลเตอร์แบบจัดการตัวเอง ในขั้นตอนนี้กระบวนการการทำงานทางฟิลเตอร์ทำการคำนวณหาค่าแรงดันและความถี่ที่จะใช้ในการควบคุมอัตราเร็วมอเตอร์แบบ V/F ค่าความถี่ที่ได้ถูกนำไปคำนวณหาค่าวัฏจักรงาน (duty cycle) ที่จะกำหนดให้วงจรสับไฟฟ้าทำงาน หลังจากนั้นโปรแกรมจะทำการแก้สมการเชิงอนุพันธ์เพื่อหาค่าความเร็วของมอเตอร์ และถ้าเวลาที่กำหนดให้ยังไม่สิ้นสุด โปรแกรมก็จะทำงานซ้ำไปเรื่อย ๆ



รูปที่ 5.1 แผนภาพการทำงานของโปรแกรมการควบคุมมอเตอร์ที่ต้องขานานกันหลายตัวรับพลังงานจากอินเเวอร์เตอร์เพียงชุดเดียวควบคุมด้วยควบคุมฟิซซีแบบจัดการตัวเอง

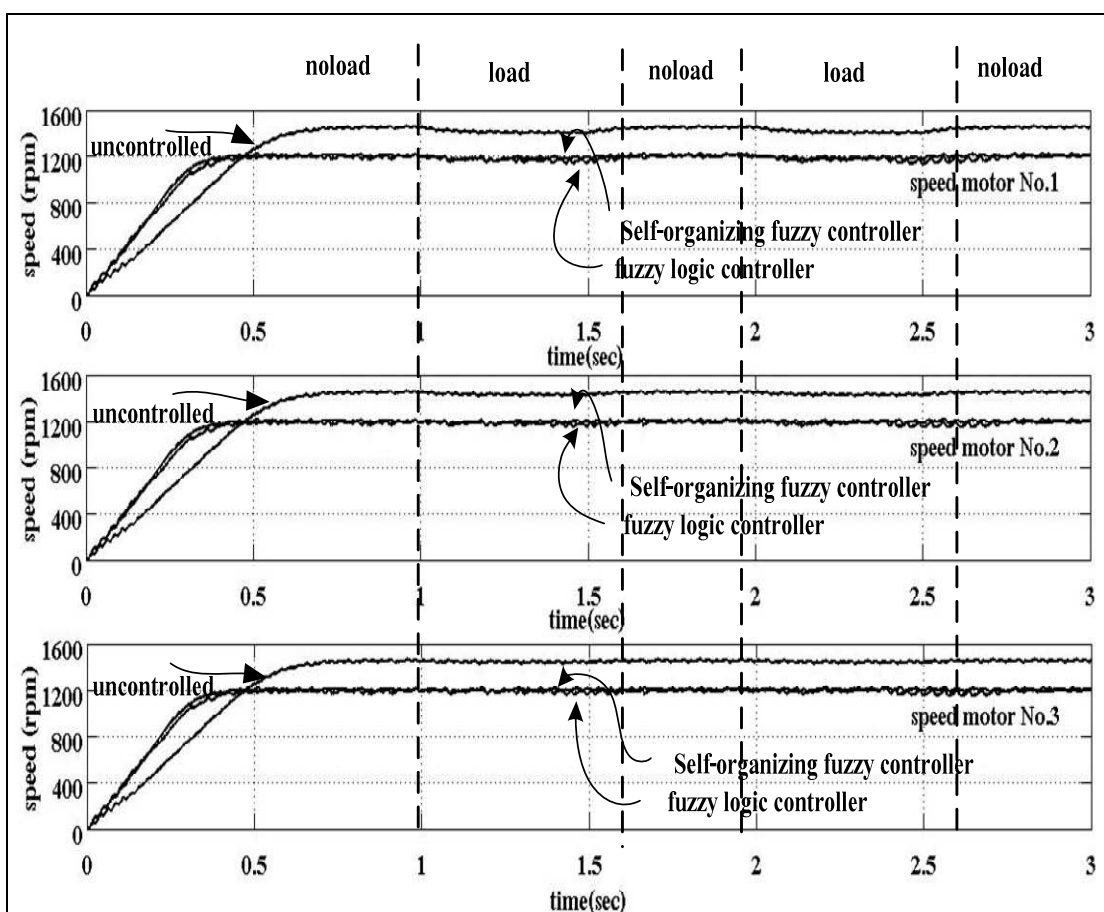
ในงานวิจัยนี้ได้ทำการจำลองผลการขับมอเตอร์เห็น yan นำไฟสีขาว 3 ตัว ต่อขนานกันด้วยโปรแกรม MATLAB ได้แบ่งการดำเนินงานออกเป็น 2 ส่วนด้วยกัน ส่วนแรกเป็นการจำลองผลการควบคุมอัตราเร็วมอเตอร์ขานกัน 3 ตัว แบบไม่มีโหลดที่ระดับอัตราเร็วต่าง ๆ ตามลำดับดังนี้ 800 1000 1200 และ 1300 รอบต่อนาที ด้วยตัวควบคุมฟิชซีจัดการตัวเองรับพลังงานจากอินเวอร์เตอร์เพียงชุดเดียว โดยที่มอเตอร์ทั้งสามตัวมีขนาดและกำลังพิกัดเท่ากัน กล่าวคือ มอเตอร์เห็น yan นำไฟสีขาวมีขนาดพิกัด 1 HP 1450 rpm 220 V 5.2 A เมื่อพิจารณาผลการจำลองดังที่แสดงในรูปที่ 5.2 จะเห็นได้ว่าก่อนที่จะใช้ตัวควบคุมขับเคลื่อนมอเตอร์ อัตราเร็วมอเตอร์มีสถานะอยู่ตัวที่ 1450 รอบต่อนาที ในรูปแสดงไว้ด้วยกราฟเส้นบนสุด และเมื่อใช้ตัวควบคุมฟิชซีแบบจัดการตัวเองควบคุมการขับเคลื่อนมอเตอร์ ผลที่ได้สามารถควบคุมอัตราเร็วมอเตอร์ให้เข้าสู่ค่าเป้าหมายและรักษาสถานะทางอัตราเร็วตามที่กำหนดในแต่ละช่วงอัตราเร็วได้เป็นอย่างดี มีค่าผิดพลาดในสถานะอยู่ตัวทางอัตราเร็วน้อยกว่า $\pm 5\%$ ของค่าเป้าหมาย อีกทั้งยังมีช่วงเวลาพุ่งเข้าสู่ค่าเป้าหมายที่รวดเร็วกว่าระบบที่ไม่มีการควบคุม



รูปที่ 5.2 ผลการจำลองการควบคุมอัตราเร็วมอเตอร์ขณะไม่มีโหลดด้วยตัวควบคุมฟิชซีแบบจัดการตัวเองที่ระดับอัตราเร็ว 800 1000 1200 และ 1300 rpm เปรียบเทียบกับแบบไม่มีตัวควบคุมแสดงเพียงกราฟเดียวเนื่องจากมอเตอร์ที่ต่อขนานกันอีก 2 ตัว มีการตอบสนองทางความเร็วที่คล้ายคลึงกัน

ตารางที่ 5.1 แสดงช่วงเวลาและขนาดของโหลดที่กระทำกับมอเตอร์แต่ละตัว

Time(sec)	Motor No1	Motor No2	Motor No3
1.0-1.7	6 Nm	3 Nm	1.5 Nm
2.0-2.7	6 Nm	3 Nm	1.5 Nm

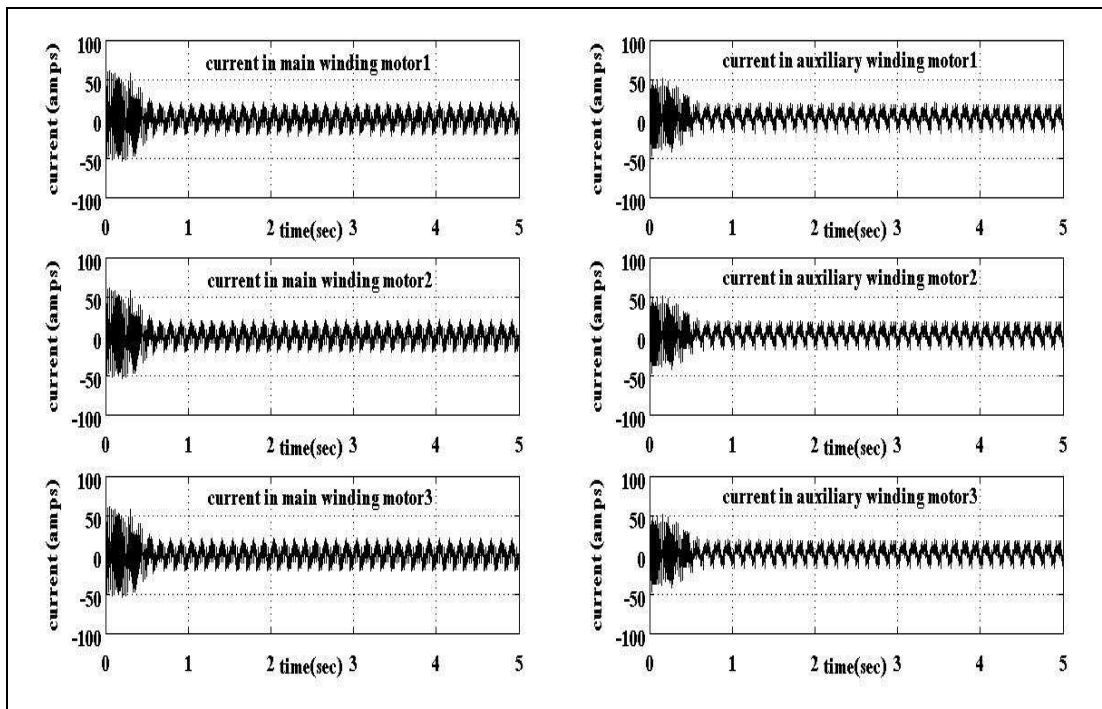


รูปที่ 5.3 ผลการจำลองการควบคุมอัตราเร็วมอเตอร์นานกัน 3 ตัว ขับโหลดที่ระดับอัตราเร็ว 1200 รอบต่อนาที รับพลังงานจากอินเวอร์เตอร์เพียงชุดเดียวด้วยตัวควบคุมฟิซซิสแบบจัดการตัวเอง เปรียบเทียบกับตัวควบคุมฟิซซิสลอจิกแบบธรรมชาติ และไม่มีตัวควบคุม

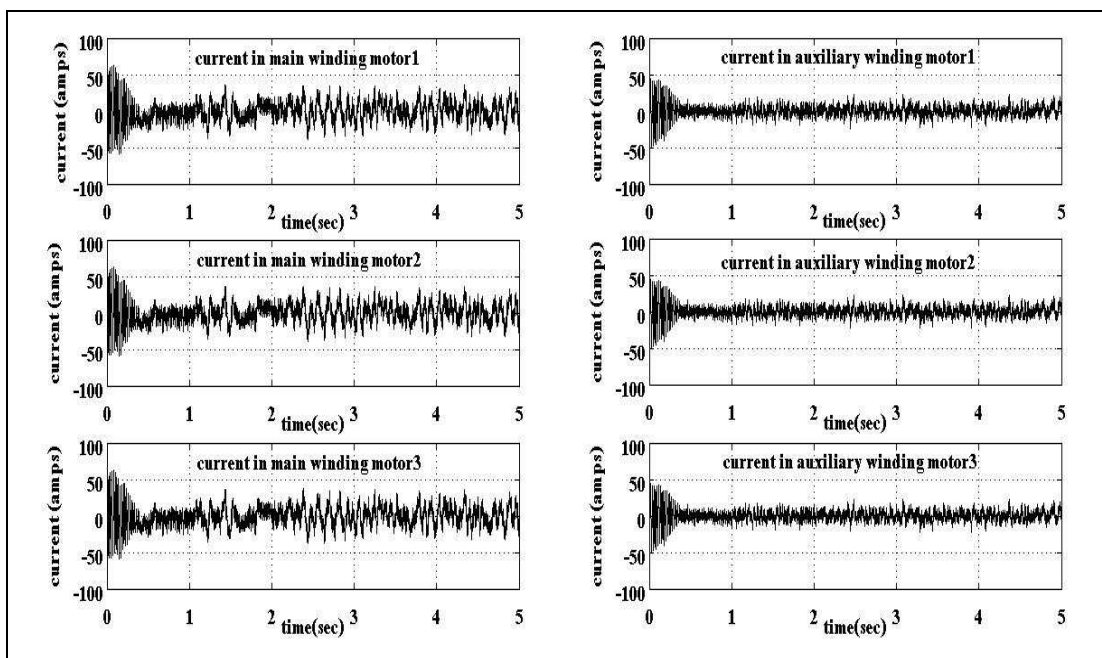
ส่วนที่สองเป็นผลการจำลองควบคุมอัตราเร็วของเตอร์ที่ 1200 rpm ขับใหลดในแต่ละช่วงเวลาตามที่ได้แสดงไว้ในตารางที่ 5.1 ตัวควบคุมเป็นชนิดฟิซซีแบบจัดการ โดยที่มอเตอร์ทั้งสามตัวที่ต่อขนาดกัน มีขนาดและกำลังพิเศษเท่ากัน ขับด้วยอินเวอร์เตอร์เพียงชุดเดียว เปรียบเทียบกับการควบคุมด้วยตัวควบคุมฟิซซีลอกิจิกแบบธรรมชาติ ที่สภาวะการทำงานเดียวกัน ในตารางที่ 5.1 จะเห็นว่าการจำลองผลงานนี้ มอเตอร์ได้รับโหลดหรือสภาวะระบบการทำงานทำงานระบบควบคุมเป็น 2 ช่วงเวลาที่ต้องกันของมอเตอร์ทั้ง 3 ตัว ก้าวเดียว เมื่อเดินเครื่องมอเตอร์ทุกตัวผ่านไป 1.0 วินาที จะเริ่มใส่สภาวะระบบกวนระบบให้แก่มอเตอร์แต่ละตัวด้วยขนาดของโหลด 6 3 และ 1.5 Nm ตามลำดับ จนถึงเวลา 1.7 วินาทีของการขับเคลื่อน จึงปลดสภาวะรบกวนออก และใส่สภาวะรบกวนขนาดเท่าเดิมกลับเข้าไปในระบบอีกครั้งในช่วงเวลา 2.0 ถึง 2.7 วินาทีของการขับเคลื่อนในการจำลองแสดงไว้ในรูปที่ 5.3 5.4 และ 5.5 ตามลำดับ การจำลองผลเปรียบเทียบระหว่างระบบที่ไม่มีการควบคุม และที่ใช้ตัวควบคุมฟิซซีลอกิจิกแบบธรรมชาติ และตัวควบคุมฟิซซีแบบจัดการตัวเอง ดังการนำเสนอในรูปที่ 5.3 สามารถสังเกตได้จากการฟ้อตราชาร์ว์เร็วของมอเตอร์ว่าระบบที่มีตัวควบคุมฟิซซีแบบจัดการตัวเองมีการไตรระดับอัตราเร็วเข้าสู่ค่าเป้าหมายที่รวดเร็วกว่า และเมื่อใส่สภาวะรบกวนตามตารางที่ 5.1 ระบบที่มีตัวควบคุมฟิซซีแบบจัดการตัวเองสามารถรักษาสถานะทางอัตราเร็วของมอเตอร์ให้เข้าสู่ค่าเป้าหมาย มีค่าผิดพลาดน้อยกว่าระบบควบคุมฟิซซีลอกิจิกและระบบที่ไม่มีการควบคุม ดังข้อมูลความเร็วเฉลี่ยที่แสดงเป็นการเปรียบเทียบไว้ในตารางที่ 5.2

ตารางที่ 5.2 เปรียบเทียบผลการควบคุมอัตราเร็วขณะขับโหลดระหว่างตัวควบคุมฟิซซีลอกิจิกแบบธรรมชาติกับตัวควบคุมฟิซซีแบบจัดการตัวเอง

Motor	Fuzzy logic controller		Self-organizing fuzzy controller	
	Average speed (rpm)	% error	Average speed (rpm)	% error
No.1	1151	-4.08	1170	-2.50
No.2	1170	-2.50	1187	-1.08
No.3	1194	-0.50	1201	+0.08

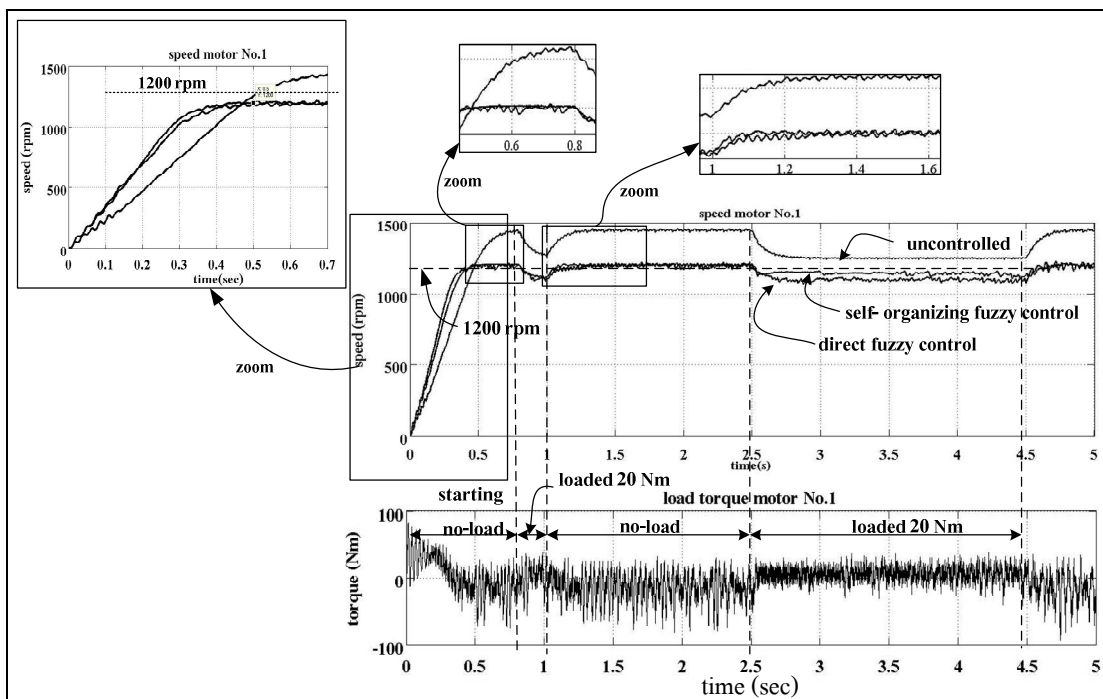


รูปที่ 5.4 รูปคลื่นกระแสที่ขับของมอเตอร์แต่ละตัวขับ โหลดแบบไม่มีตัวควบคุม



รูปที่ 5.5 รูปคลื่นกระแสที่ขับของมอเตอร์แต่ละตัวขับ โหลดด้วยตัวควบคุมพัชชีแบบขัดการตัวเอง

การเปรียบเทียบการรักษาสถานะทางอัตราเร็วของมอเตอร์ของตัวควบคุมทั้ง 2 แบบ ขณะนี้สภาพรับกวนของมอเตอร์ทั้ง 3 ตัว โดยคิดเป็นร้อยละของค่าผิดพลาดไปจากระดับอัตราเร็ว เป้าหมายที่ 1200 รอบต่อนาที จะเห็นได้ว่าตัวควบคุมฟิชชีแบบจัดการตัวเองสามารถรักษาระดับความเร็วให้มีความผิดพลาดในย่านที่แคบกว่า จากรูปคลื่นของกระแสแม่ของมอเตอร์ที่แสดงในรูปที่ 5.4 และ 5.5 จะเห็นได้ว่ากระแสที่ระบบควบคุมฟิชชีแบบจัดการตัวเองจะมีขนาดกระแสแน่นอยู่กว่าแบบไม่มีตัวควบคุม ตลอดช่วงของการขับเคลื่อน กล่าวคือ กระแสเฉลี่ยของมอเตอร์แบบที่มีระบบควบคุมมีค่า 3.8 A ส่วนในระบบที่ไม่มีการควบคุมจะมีค่า 4.2 A แต่จะมีกระแสมากกว่าหรือใกล้เคียงกันเมื่อมีสภาพรับกวนเข้ามาท่านั้น และในการจำลองผลยังได้เพิ่มน้ำหนักของโหลดให้สูงถึงระดับ 20 Nm เพื่อศึกษาสมรรถนะของตัวควบคุมฟิชชีจัดการตัวเองที่ได้พัฒนาขึ้นเปรียบเทียบกับตัวควบคุมฟิชชีหลอดจิกแบบธรรมชาติ ผลจากการจำลองแสดงไว้ในรูปที่ 5.6 จะเห็นว่ากราฟในช่วงที่มีสภาพรับกวนหรือมีภาระгрรรม ระบบที่มีตัวควบคุมฟิชชีแบบจัดการตัวเองสามารถควบคุมอัตราเร็วของมอเตอร์ให้เข้าสู่ค่าเป้าหมายมีค่าผิดพลาดน้อยกว่า และมีช่วงเวลาในการพุ่งเข้าสู่ค่าเป้าหมายเมื่อเริ่มเครื่องมอเตอร์น้อยกว่าอีกด้วย ซึ่งจะสังเกตเห็นได้จากภาพส่วนขยายของกราฟในแต่ละช่วง



รูปที่ 5.6 ผลจำลองการควบคุมการขับโหลด 20 Nm ด้วยตัวควบคุมฟิชชีจัดการตัวเองเปรียบเทียบกับตัวควบคุมฟิชชีหลอดจิกแบบธรรมชาติและไม่มีตัวควบคุม

จากความรู้และประสบการณ์ที่เกิดจากการจำลองผลการควบคุมฟื้นฟู ดังที่ได้อธิบายผ่านมาข้างต้นต่อไปนี้ได้ปรับใช้เพื่อการจำลองผลการควบคุมอัตราเร็วของเครื่องสับพืชที่โครงการวิจัยนี้ได้พัฒนาขึ้น เครื่องจักรนี้มีตัวถังภายนอกทำจากวัสดุเหล็กกล้า ไร้สนิมยึดกับโครงถังด้วยเกลียวและแหวน ติดตั้งมอเตอร์สำหรับขับเคลื่อนชุดใบมีดไว้ด้านข้าง 3 ตัว เรียงตามแนวบนลงล่างแบ่งเป็น 3 ชั้น ลอดแยกออกจากกันเป็นชั้นๆ ได้ ในแต่ละชั้นสามารถแยกทำงานอิสระจากกันหรือร่วมกันทำงานเป็นกระบวนการได้ภายในแต่ละชั้นมีส่วนประกอบหลักคือใบมีดที่ออกแบบมาแตกต่างกัน 3 ชุด เรียงตามแนวบนล่าง การทำงานของใบมีดเรียงลำดับจากบนลงล่าง ก่อให้เกิดขั้นตอนการกระแสไฟฟ้า ขั้นตอนการสับ และขั้นตอนการเฉือน กระทำการตามลำดับต่อวัสดุที่ถูกป้อนเข้าทางด้านบนเป็นวัตถุดินของเครื่องจักร ซึ่งร่วงหล่นลงสู่พื้นตามหลักแรงโน้มถ่วงของโลก ใบมีดแต่ละชุดจึงได้รับโหลดตามแนวตั้งที่เทลงมาในลักษณะต่างๆ กัน ซึ่งใบมีดชุดที่หนึ่งอยู่ด้านบนสุดนั้น ทำหน้าที่กระแสไฟฟ้าให้แตกกระจายออกเป็นชิ้นที่มีขนาดใหญ่ร่วงลงสู่ชั้นที่สองซึ่งมีในร่องสับอยู่ด้วยกัน ชั้นนี้หมุนมาสับให้วัสดุดังกล่าวมีขนาดที่เล็กลง ร่วงหล่นลงสู่ชั้นที่สาม ชั้นที่สามนี้มีใบมีดสองชุดเรียงสลับกันจำนวนมาก หมุนตัดกันในทิศทางที่สวนกันคล้ายการบด เพื่อทำให้วัสดุมีขนาดเล็กจนถึงละเอียด ในการควบคุมเครื่องจักรนี้จำเป็นต้องมีการจำลองผล เพื่อศึกษาการทำงานของเครื่องจักรในสภาพต่างๆ ที่อาจจะเกิดขึ้นในอนาคตเดินเครื่อง ตลอดจนประสบกับสภาพรบกวนซึ่งหมายถึงโหลดที่เป็นพื้นที่ทางการเกษตรที่ป้อนเข้าเครื่องสับพืชผลทางการเกษตร กลุ่มที่สามารถตัดสับได้ยาก เช่น หัวมันสำปะหลัง ท่อนอ้อยสด กลามะพร้าว เป็นต้น มีความแข็ง เหนียว มีความชื้นสูง และมีน้ำหนักมาก การทำงานของเครื่องจักรในบางกรณีอาจเกิดปัญหาที่ระบบควบคุมไม่สามารถควบคุมได้ เช่น สภาพรบกวนมีขนาดใหญ่เกินไป ความรู้ที่ได้จากการจำลองผลดังกล่าวสามารถนำไปสู่การป้องกันความเสียหายที่อาจเกิดขึ้นต่อเครื่องจักรและระบบควบคุมได้

เพื่อให้ได้เห็นผลวัตถุทางอัตราเร็วของมอเตอร์ที่หมุนใบมีดแต่ละชุดของเครื่องสับพืชผลทางการเกษตร จึงได้ดำเนินการจำลองผลโดยอาศัยโหลดสมมุติ ในกรณีศึกษาที่กำลังกล่าวถึงนี้ได้สมมุติให้โหลดทางกลซึ่งกีก้อนน้ำหนักของวัสดุที่ถูกป้อนให้เครื่องจักรมีโครงรูปต่างๆ ดังที่แสดงด้วยกราฟ “load profiles” เช่นในรูปที่ 5.7 (ต่อไปจะเรียกว่าโครงรูปโหลด) การสมมุตินี้ของโหลดและการเหลือเวลาที่โหลดประาก庾แก่เมอเตอร์ อาศัยการเลียนแบบสภาพการทำงานจริงที่เครื่องจักรเริ่มเดินเครื่องตัวเปล่าเป็นเวลา 1 วินาทีโดยประมาณ วัสดุที่จะถูกสับจึงได้รับการป้อนเข้าทางซ่องเปิดด้านบนของเครื่อง วัสดุมีขนาดโดยที่สุดและหนักที่สุดเมื่อกระทบกับใบมีดชั้นที่ 1 ดังจะสังเกตเห็นได้ว่าโหลดมีขนาดสะสมเพิ่มขึ้น เมื่อเวลาผ่านไปจนถึงช่วงเวลา 3-4 วินาที โหลดสะสมจึงมีขนาดมากที่สุดเป็น 20 Nm แล้วจึงหยุดป้อนโหลดด้วยการทำงานของเครื่องจักรเมื่อวัสดุถูกสับโดยใบมีดชั้นที่ 1 ย่อนมีขนาดเล็กลงและน้ำหนักแต่ละชิ้นย่อนจะเบาลง ตลอดจนมี

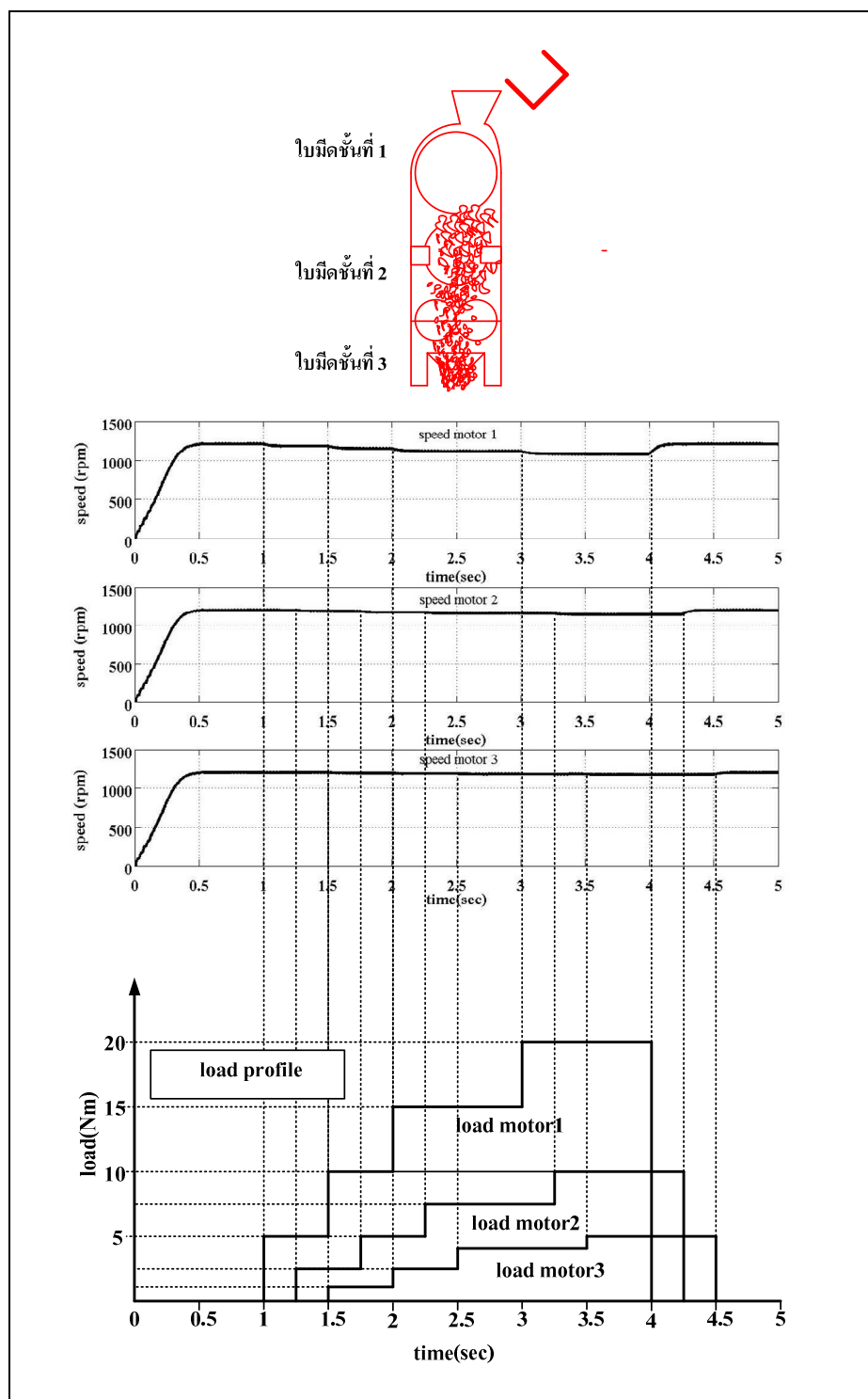
การกระจายน้ำหนักทั่วถึงมากขึ้น ตลอดแกนเพลาใบมีดการกำหนดโครงสร้างของโอลด์ในการจำลองการทำงานของเครื่องจักรให้แก่ใบมีดชั้นที่ 2 และ 3 จึงกำหนดให้น้ำหนักลดลงกันตามส่วน อีกทั้งกำหนดให้มีเวลาล้าหลังกันและกันอยู่ 0.5 วินาที graf อัตราเร็วรอบของมอเตอร์ที่เป็นผลของการจำลอง สะท้อนให้เห็นว่าอัตราเร็วรอบของมอเตอร์ตัวล่างสุดที่ขับใบมีดชุดที่ 3 ได้รับผลกระทบน้อยที่สุด เพราะวัสดุที่ถูกสับโดยใบมีดชั้นนี้มีขนาดเล็กที่สุด และน้ำหนักน้อยที่สุด ในการตรวจสอบข้อความนี้ จึงได้รับผลกระทบมากที่สุด และอัตราเร็วรอบของมอเตอร์ตัวกลาง ได้รับผลกระทบปานกลาง ทั้งนี้ตามเหตุผลทางเทคนิค และน้ำหนักของวัสดุที่ถูกสับ ดังที่ได้อธิบายมาข้างต้น อัตราเร็วรอบของมอเตอร์ทุกด้วยได้รับการคุ้มครองอย่างน่าพึงพอใจโดยการทำงานของตัวควบคุมฟิล์ชีแบบจัดการตัวเอง

การกำหนดโอลด์ในกรณีที่คล้ายกับกรณีที่ 1 ดังที่อธิบายผ่านมาได้กำหนดดังโครงสร้างของโอลด์ที่ปรากฏในรูปที่ 5.8 เพื่อเลียนแบบการทำงานจริงที่วัสดุที่ถูกสับได้รับการป้อนเพิ่มมากขึ้น จนกระทั่งอัตราการป้อนคงที่เมื่อเวลาผ่านไป 2 วินาที มอเตอร์ทั้ง 3 ตัว จึงได้รับโอลด์คงที่จากนั้นเป็นต้นไป สามารถสังเกตเห็นได้ว่าอัตราเร็วรอบของมอเตอร์ตัวที่ 1 2 และ 3 ตามลำดับจะตกลงเล็กน้อย แต่ทั้งหมดได้รับการคุ้มครอง ±5% ความผิดพลาด ในสถานะอยู่ตัวโดยตัวควบคุมฟิล์ชีแบบจัดการตัวเอง

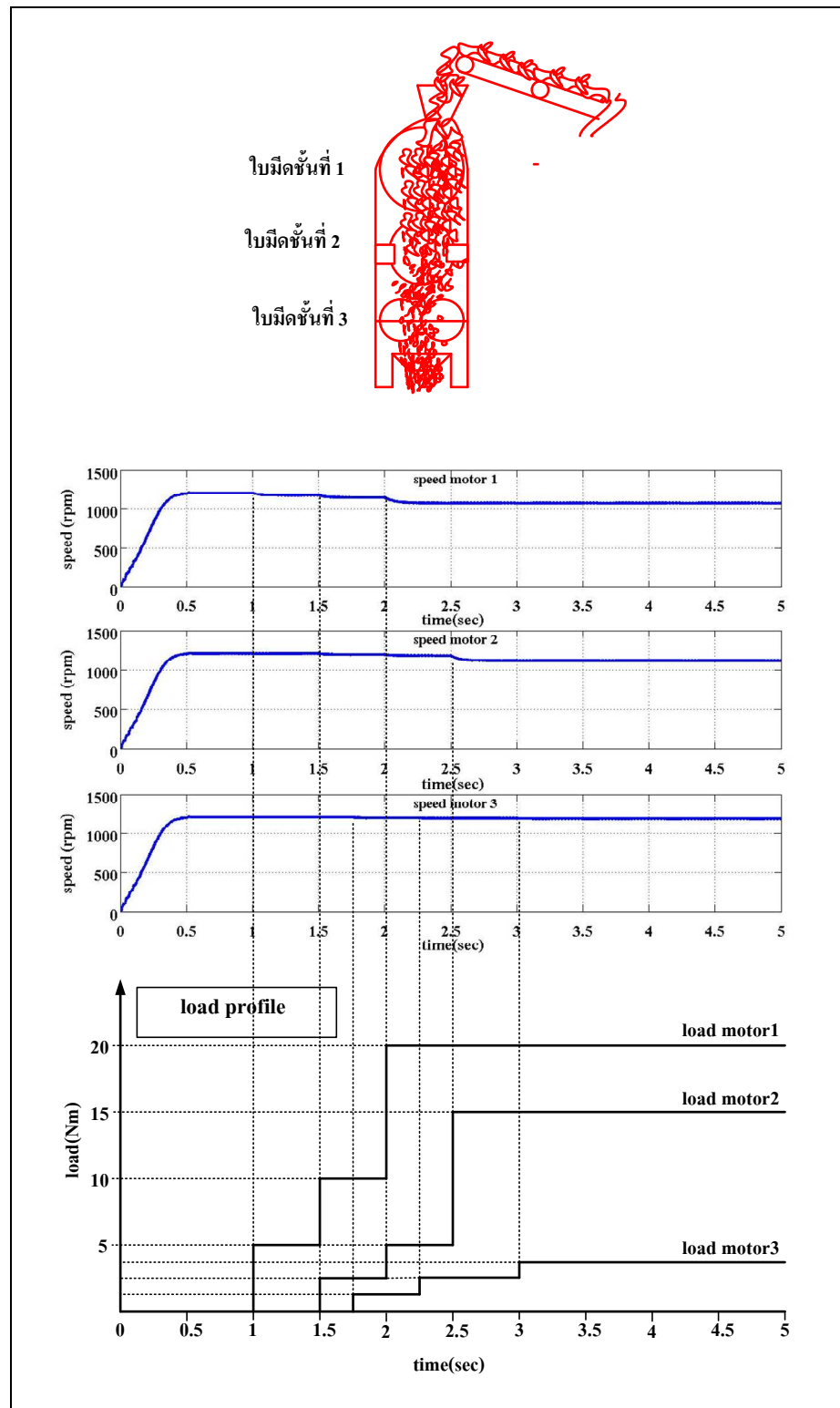
การจำลองผลที่สนใจในกรณีที่ 3 นั้นเป็นกรณีที่เครื่องจักรได้รับโอลด์ที่ร่วงหล่นเป็นกลุ่ม ๆ ไม่ต่อเนื่องสม่ำเสมอ ลักษณะของโอลด์เป็นของแข็งผสมกับเส้นใย ทำให้เกากันเป็นก้อนโอลด์ดังกล่าวอาจเดินแบบด้วยโครงสร้างกราฟในรูปที่ 5.9 จะเห็นได้จากการจำลองว่า อัตราเร็วรอบของมอเตอร์มีการแปร่ตัวเพียงเล็กน้อยเท่านั้น

ผลการจำลองการทำงานของเครื่องจักรปรากฏอัตราเร็วรอบของมอเตอร์ในลักษณะที่คล้ายกันกับกรณีที่ 4 ด้วย ซึ่งเป็นกรณีที่โอลด์มีน้ำหนักเบา ร่วงหล่นทีละก้อน ไม่ต่อเนื่อง ลงสู่ใบมีดแต่ละชั้น รูปที่ 5.10 แสดงกราฟโครงสร้างโอลด์และกราฟอัตราเร็วรอบของมอเตอร์ สะท้อนให้เห็นการทำงานอย่างได้ผลดีของตัวควบคุมฟิล์ชีที่ได้ออกแบบขึ้น

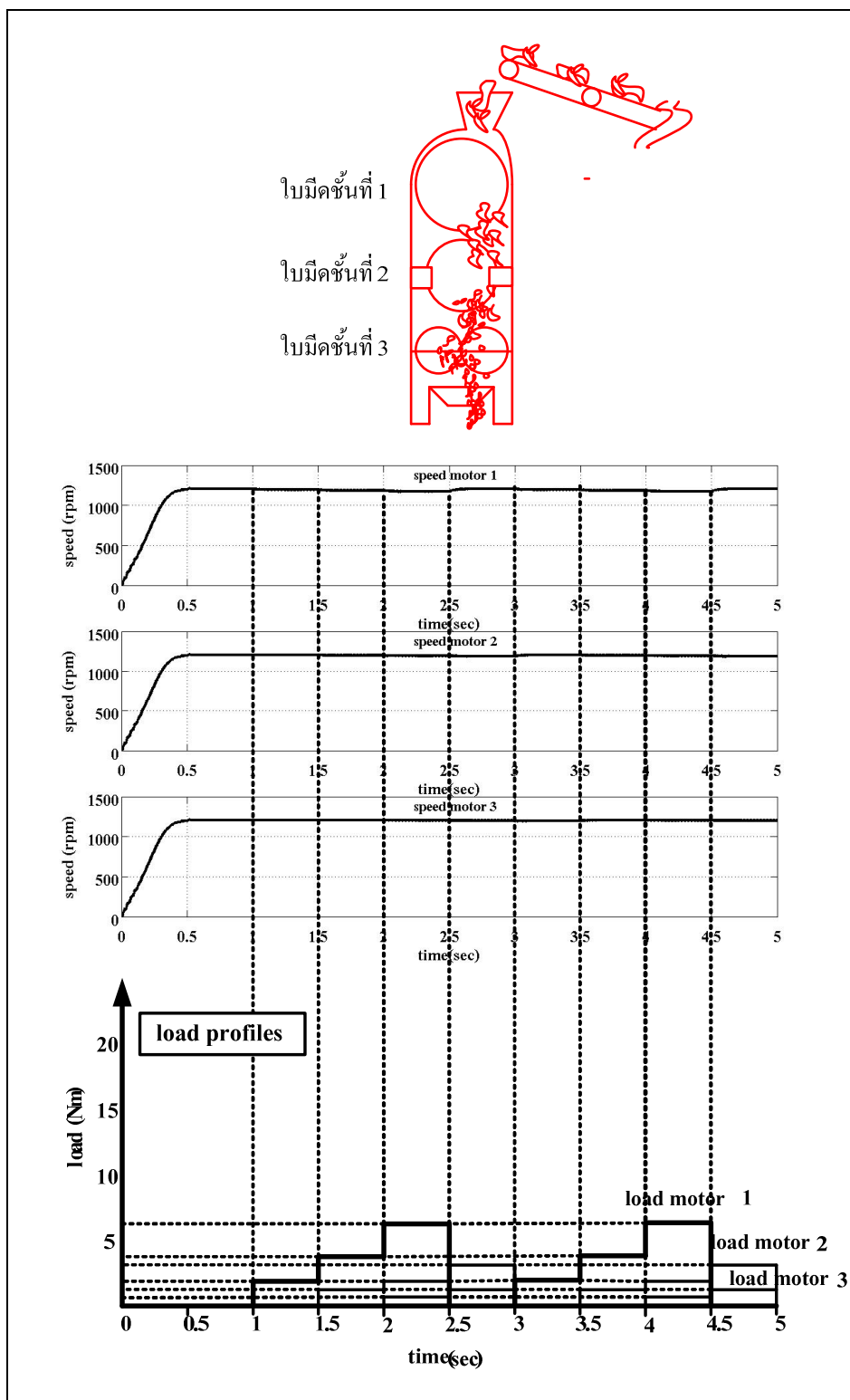
กรณีที่สนใจกรณีที่ 5 มีโอลด์น้ำหนักมากเป็นก้อน ๆ ร่วงหล่นเข้าสู่ชั้นใบมีดแต่ละชั้น ไม่ต่อเนื่องกัน ดังที่แทนด้วยโครงสร้างโอลด์ที่ปรากฏในรูปที่ 5.11 ผลการจำลองแสดงให้เห็นว่า ตัวควบคุมฟิล์ชีที่พัฒนาขึ้นสามารถคุ้มครองอัตราเร็วรอบของมอเตอร์ให้มีความผิดพลาดไม่เกิน ±5% ได้กับมอเตอร์ตัวที่ 2 และ 3 เท่านั้น ความผิดพลาดทางอัตราเร็วของมอเตอร์ตัวที่ 1 มากเกินกว่าความสามารถที่ตัวควบคุมและอินเวอร์เตอร์จะรับได้ สาเหตุที่เกิดขึ้นมา จากการที่โอลด์มีน้ำหนักมากถึง 20 Nm ในทางปฏิบัติสภาวะเช่นนี้ต้องได้รับการป้องกันมิใช่นั้นเครื่องจักรและระบบควบคุมอิเล็กทรอนิกส์จะเกิดความเสียหาย



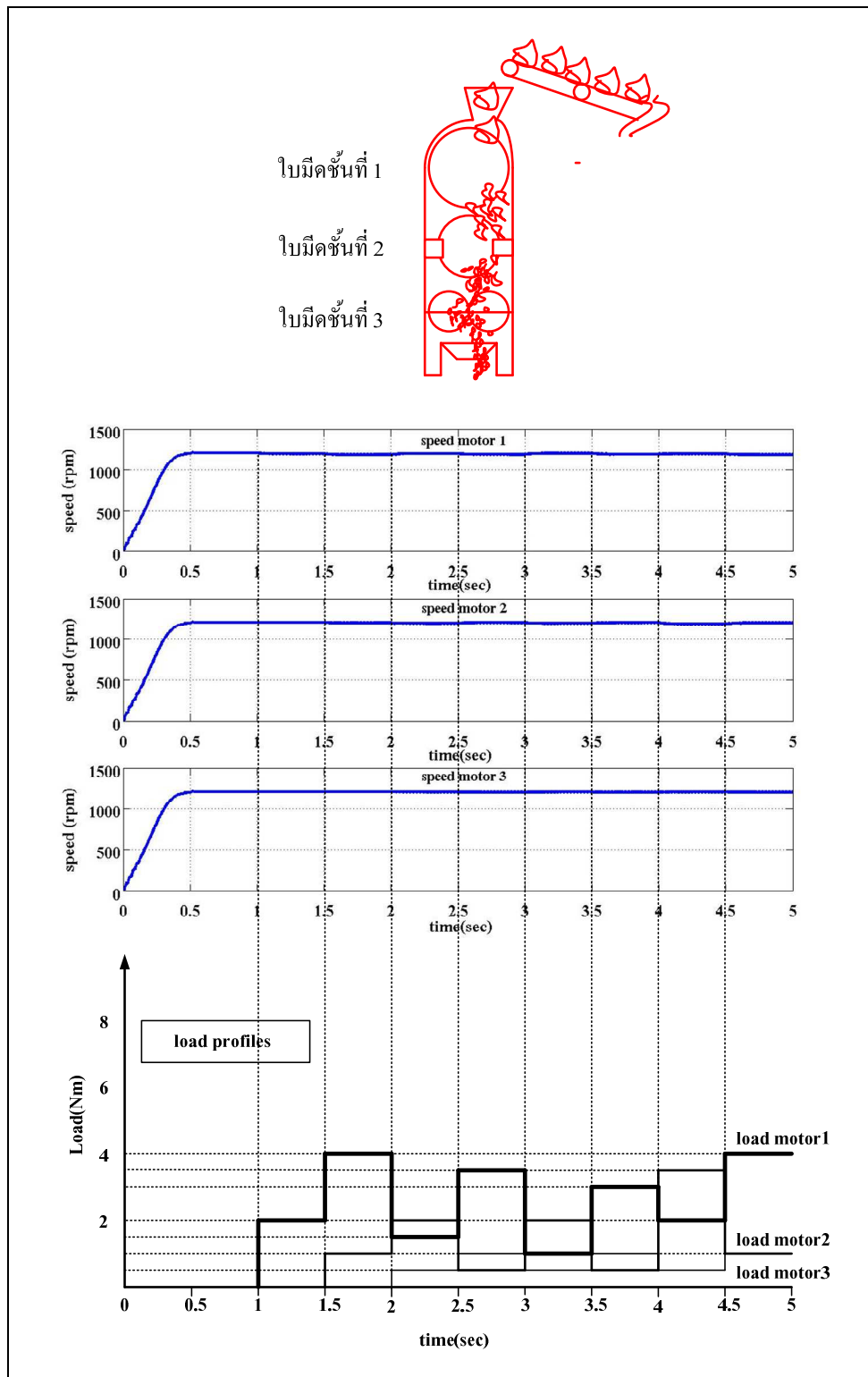
รูปที่ 5.7 การจำลองการทำงานของเครื่องจักรเมื่อได้รับโหลดตามโครงสร้างที่กำหนด (กรณีที่ 1)



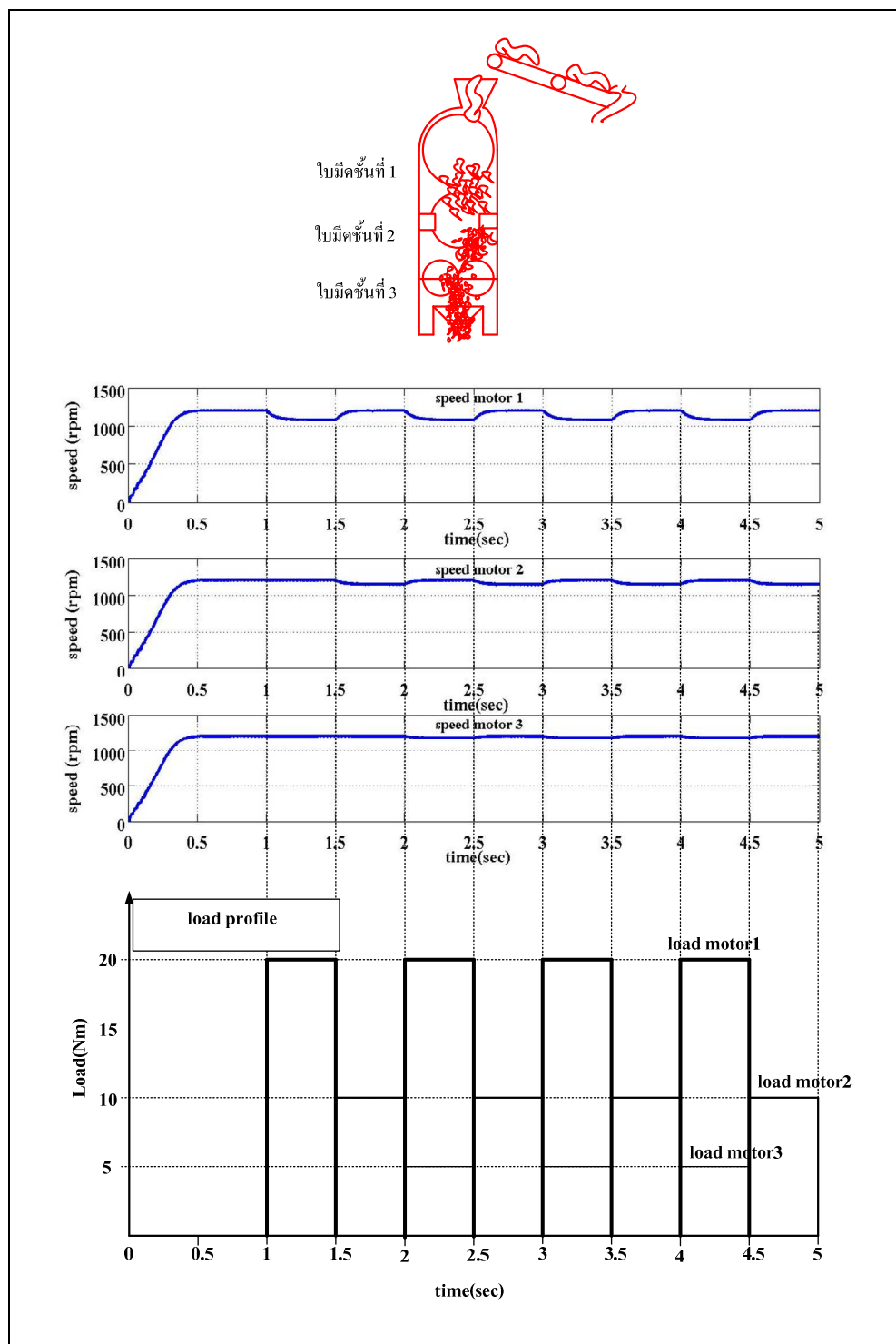
รูปที่ 5.8 การจำลองการทำงานของเครื่องจักรเมื่อได้รับโหลดตามโคลงรูปที่กำหนด (กรณีที่ 2)



รูปที่ 5.9 การจำลองการทำงานของเครื่องจักรเมื่อได้รับโหลดตามโคลงรูปที่กำหนด (กรณีที่ 3)



รูปที่ 5.10 การจำลองการทำงานของเครื่องจักรเมื่อได้รับโหลดตามโครงรูปที่กำหนด (กรณีที่ 4)



รูปที่ 5.11 การจำลองการทำงานของเครื่องจักรเมื่อได้รับโหลดตามโครงสรุปที่กำหนด (กรณีที่ 5)

5.3 สรุป

การใช้วิธีควบคุมอัตราเร็วомอเตอร์แบบ VF โดยใช้ตัวควบคุมพัซซีแบบจัดการตัวเอง เป็นตัวปรับแปรคำสั่งในการจุดชนวนอินเวอร์เตอร์ ใช้เป็นตัวจ่ายกำลังงานให้แก่มอเตอร์ทั้งสามตัว โดยรับสัญญาณป้อนกลับมาจากตัวตรวจรู้สถานะทางอัตราเร็วของมอเตอร์ ตัวควบคุมพัฒนาขึ้น ด้วยหลักการศึกษาสำนึก (heuristics) มีองค์ประกอบของกฎ 2 ชุด แต่ละชุดมีกฎ 121 ข้อ ได้ทำการจำลองผลเพื่อทดสอบแนวทางการควบคุมระบบในหลาย ๆ กรณีที่เครื่องจักรรับโหลด ผลที่ได้จะนำไปสู่การออกแบบและสร้างระบบจริงเพื่อทดสอบ และจากการจำลองผลหลาย ๆ กรณีที่ได้นำเสนอไปแล้วนั้น จะเห็นได้ว่าระบบควบคุมสามารถรักษาสถานะอยู่ตัวทางอัตราเร็วของมอเตอร์ ให้มีค่าผิดพลาดน้อยกว่า $\pm 5\%$ ไม่ปรากฏการผุ่งเกิน เนื่องจากชุดใบมีดต่าง ๆ ล้วนมีความเนื้อยสูง และในกรณีที่ระบบมีสภาวะรบกวนเนื่องจากโหลดที่มีขนาดใหญ่เกินกว่าจะควบคุมได้ (20 Nm) จะต้องมีระบบป้องกันตัดการทำงานของมอเตอร์ตัวดังกล่าวออกจากระบบ แต่จะยังคงรักษาการทำงานของมอเตอร์ตัวที่เหลือให้ทำงานตามค่าเป้าหมายต่อไป จนกว่าจะหยุดระบบทั้งหมด แล้วเริ่มต้นทำงานใหม่ ตัวควบคุมจึงจะกลับมาทำงานดังเดิม ค่าอัตราเร็วомอเตอร์ที่เป็นเป้าหมายนี้ สามารถปรับเปลี่ยนได้ตามชนิดของวัสดุ เพื่อให้เกิดความเหมาะสม และตรงตามความต้องการของกระบวนการผลิตนั้น

บทที่ 6

เครื่องสับพืชผลทางการเกษตรและระบบควบคุม

6.1 บทนำ

ในกระบวนการผลิตทางอุตสาหกรรมเกษตรที่มีความต้องการให้มีการย่อยวัสดุทางการเกษตรให้มีขนาดเล็กลง เช่น การย่อยหัวมันสำปะหลังให้มีขนาดเล็กลงในขั้นตอนการได้ความชื้น เป็นต้น อาจต้องใช้เครื่องจักรกลในการสับ ทั้ง วัสดุทางการเกษตรเหล่านั้น ซึ่งมักจะเป็นวัสดุของแข็งที่มีความชื้นสูง ดังนั้นการวิจัยวิทยานิพนธ์นี้จึงได้มีแนวคิดที่จะออกแบบและพัฒนาใบมีด พร้อมทั้งอุปกรณ์จับยึดใบมีดที่เป็นองค์ประกอบของเครื่องจักรใช้ในการย่อยวัสดุ ดังที่ได้กล่าวมาแล้ว โดยได้แบ่งขั้นตอนการย่อยวัสดุพืชผลทางการเกษตรออกเป็น 3 ขั้นตอน กล่าวคือ ขั้นตอนการกระแทกให้ชิ้นวัสดุแตกออกจากกัน ขั้นตอนการสับ ขั้นตอนการเฉือน ซึ่งจะได้อธิบายถึงแนวคิดในการออกแบบแต่ละขั้นตอนในหัวข้อต่อไป และนอกจากนั้นบทที่ 6 นี้ยังนำเสนอการพัฒนาระบบควบคุมป้อนกลับสำหรับใช้งานกับเครื่องจักรดังกล่าวอีกด้วย

6.2 เครื่องสับพืชผลทางการเกษตร

ดังที่ได้กล่าวถึงความสำคัญของปัญหาไว้ในบทที่ 2 มาแล้วว่า โครงสร้างและลักษณะทางกายภาพของเครื่องจักรแบบเดิมก่อให้เกิดปัญหาในทางปฏิบัติ ที่วัสดุพืชผลทางการเกษตร อัดตัวแน่นในเครื่องจักรขณะทำงาน ทำให้เครื่องติดยึดไม่สามารถทำงานได้อย่างปกติ ดังนั้น การวิจัยวิทยานิพนธ์นี้จึงมีแนวคิดที่จะพัฒนาเครื่องจักรกลการเกษตรสำหรับการสับย่อยพืชผลทางการเกษตร ในการพัฒนาเครื่องสับพืชนี้ได้เริ่มจากการนำวัสดุที่ต้องการสับหรือย่อยขนาดมาตรฐานทดสอบดังแสดงในหัวข้อที่ 6.2.1 เพื่อหาค่าแรงด้านทานการตัดเฉือนที่กระทำต่อใบมีด ด้วยเครื่องชีวะคราฟ รุ่น LRX plus ของบริษัท LLOYD INSTRUMENTS ประเทศอังกฤษ ดังแสดงในรูปที่ 6.1 ในขั้นตอนต่อมาในหัวข้อที่ 6.2.2 ได้ทำการทดสอบวัสดุที่นำมาทำใบมีด ซึ่งในงานวิจัยวิทยานิพนธ์นี้ได้นำเหล็กเสื่อมสภาพมาเข้ากระบวนการเพื่อนำกลับมาใช้ใหม่ ด้วยกระบวนการที่ประดิษฐ์คิดค้นขึ้นตามหัวข้อที่ 6.2.3 จนได้เหล็กที่มีความแข็งและเหนียวเมะกับการสับพืชผลทางการเกษตร หลังจากนั้นได้ทำการออกแบบโครงสร้างของเครื่องสับพืชผลทางการเกษตร ให้สามารถใช้งานได้อย่างไม่ติดขัดในขณะใช้งาน พร้อมทั้งขึ้นรูปใบมีดให้มีรูปทรงแตกต่างกันตามลักษณะการใช้งานซึ่งจะได้อธิบายในหัวข้อ 6.2.4 ต่อไป



รูปที่ 6.1 ทดสอบแรงต้านทานการตัดเนื่องของมันสำปะหลังด้วยเครื่องชีวะคราก

6.2.1 การทดสอบวัสดุ

ในการทดสอบวัสดุมุงเนื้นที่จะประดิษฐ์เครื่องสับมันสำปะหลัง ในการทดสอบ จึงได้นำหัวมันสำปะหลังพันธุ์ระยอง 50 จากแหล่งที่ปลูกแตกต่างกัน 3 แหล่ง ในพื้นที่จังหวัด นครราชสีมา เนื่องจากพื้นที่เพาะปลูกมีความอุดมสมบูรณ์ของแร่ธาตุในดินที่แตกต่างกัน จึงได้ทำการเลือกมันจากแหล่งต่าง ๆ ที่แตกต่างกัน กล่าวคือ ได้เลือกมันสำปะหลังจากบริเวณเพาะปลูก ใกล้มหาวิทยาลัย ส่วนแหล่งที่สอง และสาม เลือกมันจากสถานรับซื้อมันสองแห่งซึ่งมีการรับซื้อมัน จากหลากหลายพื้นที่ มาทำการทดสอบหารแรงตัดเนื่อง การทดสอบเริ่มจากนำหัวมันสำปะหลัง มาหั่นเป็นท่อนให้มีขนาดตามความยาว 10 cm หลังจากนั้นทำการยืดไกว กับส่วนจับชิ้นวัสดุที่อยู่ บนแท่นของเครื่องชีวะคราก ที่ด้าวเครื่องดังกล่าวมีแขนสำหรับจับยืดใบมีดให้เลื่อนขึ้นลงในแนวตั้ง เมื่อท้องส่องส่วนได้รับการติดตั้งเรียบร้อยแล้ว ใบมีดจะค่อย ๆ เลื่อนลงมาตามแนวตั้ง กดลงบน ท่อนมันสำปะหลังที่ถูกตรึงไกวบนแท่น จนท่อนมันขาดออกจากกัน จากการนำมันสำปะหลังพันธุ์ ระยอง 50 ขนาดเส้นผ่าศูนย์กลางของหัวมันสำปะหลังประมาณ 10 cm มาทำการทดสอบ 3 ครั้ง ผลที่ได้แสดงในตารางที่ 6.1 ทำให้ทราบได้ว่าจะต้องใช้แรงตัดเฉลี่ยมากที่สุด คือ 29.43 N เพื่อให้ มันสำปะหลังขาดออกจากกัน

ตารางที่ 6.1 ผลทดสอบสับหัวมันสำปะหลัง

ทดสอบครั้งที่	แรงที่ใช้ในการสับ (N)
1	28.46
2	29.43
3	27.77

ในการวิจัยนี้ใช้ค่าแรงตัดเฉือนดังกล่าว (29.43 N) เพื่อออกแบบเครื่องจักร โดยพิจารณาหาค่าความเค้นเฉือนสำหรับสับหัวมันสำปะหลังและพื้นผาทางการเกษตรที่มีความแข็งและมีเส้นใยที่หนึบกว่ามันสำปะหลัง จากความสัมพันธ์ดังต่อไปนี้

$$\tau = \frac{F}{A} \quad (6.1)$$

เมื่อ τ คือ ความเค้นเฉือนของหัวมันสำปะหลัง (N/m^2)

F คือ แรงตัดเฉือน (N)

A คือ พื้นที่หน้าตัดของมันสำปะหลัง (m^2)

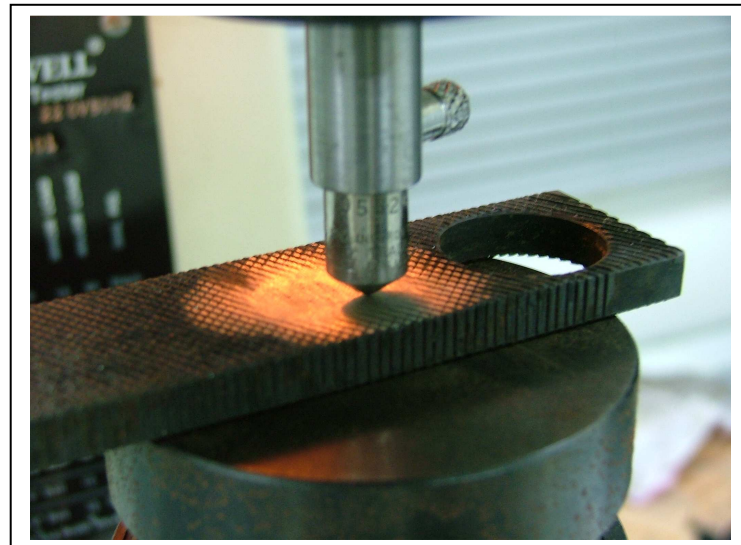
จากการทดสอบด้วยเครื่องซีวิครากทำให้ทราบว่าต้องใช้แรงตัดเฉือนสูงสุด 29.43 N เพื่อให้มันสำปะหลังขาดออกจากกัน แต่ในมีดที่ได้ทำการออกแบบไว้เป็นชนิดไม่มีความคมกล่างคือ มีบริเวณขอบมุมในการกดบนเนื้อของมันสำปะหลัง 2 จุด พื้นที่หน้าตัดจึงคิดเป็นสองเท่า ($2xA$) เมื่อแทนค่าลงในสมการที่ 6.1 ได้ความเค้นเฉือนของหัวมันสำปะหลังเป็น 1.874 kN/m^2 ทำให้ทราบว่าในมีดหนึ่งใบที่กดลงบนหัวมันสำปะหลังจนขาดออกจากกัน มีแรงต้านทานการตัดเฉือนเท่ากับ 1.874 kN/m^2 ซึ่งในการออกแบบได้พิจารณาค่าความปลอดภัยไว้ 2.5 เท่า โดยต้องคำนึงถึงขนาดของเครื่องจักรที่ได้ทำการออกแบบไว้ร่วมด้วย

6.2.2 การทดสอบเหล็กเสื่อมสภาพก่อนและหลังผ่านกระบวนการ

จากที่ได้กล่าวมาแล้วในบทที่ 2 เกี่ยวกับเครื่องสับพืช จะเห็นว่าปัญหาที่มีความสำคัญมากในเครื่องสับตามวิทยาการเดิมที่มีปรากฏมา ก่อนแล้ว คือ ในมีดที่ไม่มีความคงทน หมวดความคมเร็ว ดังนั้นในมีดของงานวิจัยนี้จึงได้รับการขึ้นรูปจากวัสดุเหล็กที่มีปริมาณคาร์บอน 1% โดยนำเหล็กที่ได้มาทดสอบความแข็งและความเหนียวด้วย Rockwell Hardness Tester รุ่น B503-R ของบริษัท Wilson ดังแสดงในรูปที่ 6.2 และ 6.3 ตามลำดับ



รูปที่ 6.2 เครื่องทดสอบความแข็งของเนื้อวัสดุ (hardness tester)



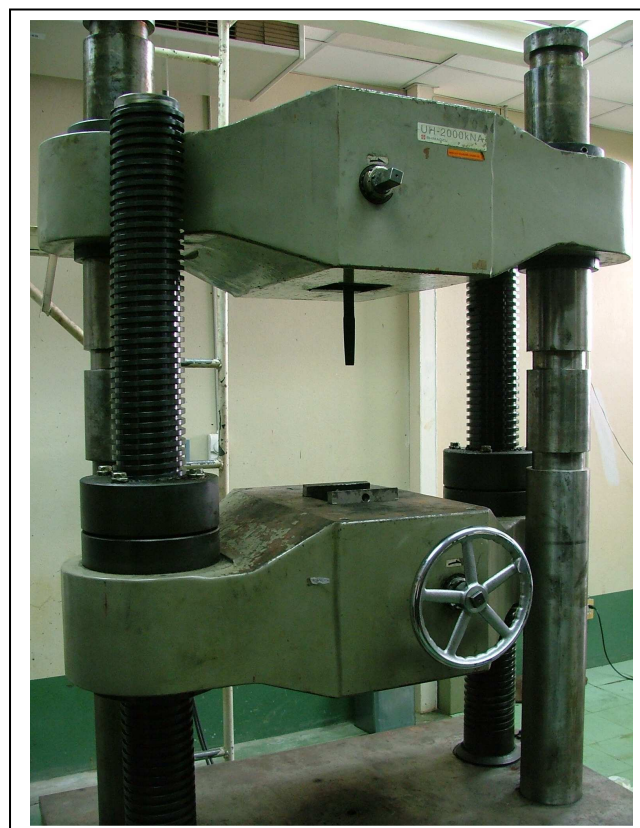
รูปที่ 6.3 การทดสอบความแข็งบนพื้นผิวเหล็กเสื่อมสภาพ

จากรูปที่ 6.2 แสดงการทดสอบความแข็งของเนื้อวัสดุที่ใช้ทำใบมีดของงานวิจัยนี้ ในการทดสอบได้ทำการตัดแผ่นวัสดุให้มีขนาดกว้าง 5 cm ยาว 10 cm วางบนแท่นรองรับวัสดุบนแท่นเครื่อง แขนด้านบนของเครื่องมีมือจับแห่งทดสอบ ล้ำรัดที่อยู่บนเครื่องจะแสดงค่าแรงที่กดจนหัวเพชรลงไปในเนื้อวัสดุ ดังแสดงในรูปที่ 6.3 วิธีการทดสอบลักษณะนี้ใช้ในการทดสอบเหล็กเสื่อมสภาพ ทั้งก่อนและหลังผ่านกระบวนการอบชุบที่ได้ประดิษฐ์คิดค้นเพื่อขึ้นรูปให้เป็นใบมีดสำหรับเครื่องสับพืชผลทางการเกษตร ผลการทดสอบความแข็งเนื้อเหล็กเสื่อมสภาพก่อนผ่านกระบวนการอบชุบมีค่าความแข็ง 65 HRC และเมื่อผ่านกระบวนการอบชุบแล้วมีค่าความแข็ง 55 HRC ดังที่มีรายละเอียดแสดงไว้ในรายงานการทดสอบ จากห้องปฏิบัติการทดสอบวัสดุ ศูนย์เครื่องมือวิทยาศาสตร์และเทคโนโลยี มหาวิทยาลัยเทคโนโลยีสุรนารี (ภาคผนวก ก.)

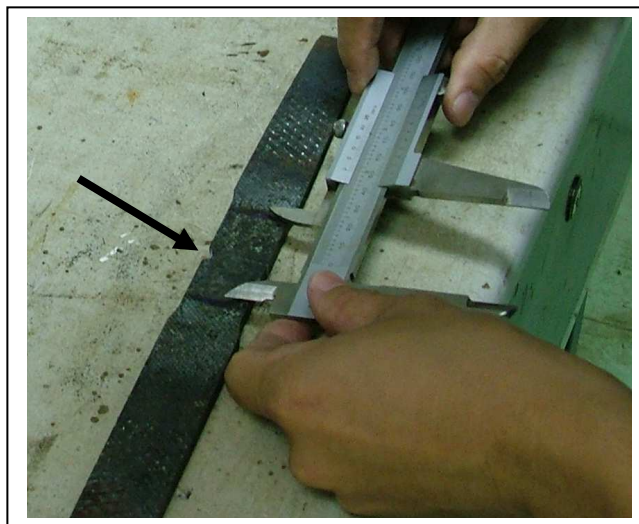
ในด้านการทดสอบความหนึบหรือยืดตัวของเหล็กเสื่อมสภาพ การทดสอบเริ่มจากเตรียมวัสดุให้มีขนาดความกว้าง 2.5 cm หนา 6.5 cm และยาว 30 cm และทำให้บริเวณที่จะทดสอบการยืดตัวมีขนาดความกว้างน้อยกว่าส่วนปลายทั้งสอง ชิ้นบริเวณนี้เหล็กจะยืดออกและขาดออกจากกันดังแสดงในรูป 6.4 ตัวเครื่องทดสอบมีส่วนจับชิ้นงานสองส่วน คือ ส่วนบน และส่วนล่างดังแสดงในรูปที่ 6.5 ส่วนบนจะเป็นส่วนที่เคลื่อนที่ขึ้นตามแนวดิ่ง วัสดุทดสอบจะถูกดึงจนแยกออกจากกันเป็นสองส่วน เครื่องวัดให้การอ่านค่าแรงดึงดังแสดงในรายงานการทดสอบจากห้องปฏิบัติการทดสอบวัสดุ ศูนย์เครื่องมือวิทยาศาสตร์และเทคโนโลยี มหาวิทยาลัยเทคโนโลยีสุรนารี (ภาคผนวก ก.) จากผลการทดสอบเหล็กเสื่อมสภาพทั้งก่อนและหลังผ่านกระบวนการอบชุบ ทำให้ทราบได้ว่าเมื่อเหล็กเสื่อมสภาพผ่านกระบวนการอบชุบแล้ว จะมีความสามารถในการยืดตัวได้กล่าวคือ ก่อนที่เหล็กจะขาดออกจากกันจะมีแรงดึงทำให้เกิดการยืดตัวขาดออกจากกันเป็นแนวเรียบ ไม่แตก ตรงกันข้ามกับก่อนที่จะผ่านกระบวนการ เหล็กเสื่อมสภาพที่นำมาทดสอบไม่สามารถยืดตัวได้ เมื่อดึงจนถึงจุดล้า เนื้อวัสดุก็จะขาดออกจากกันทันที บริเวณที่ขาดจะแตกออก ไม่เป็นแนวเรียบ ดังที่แสดงไว้ในรูปที่ 6.6



รูปที่ 6.4 การเตรียมเหล็กเสื่อมสภาพสำหรับเข้าเครื่องทดสอบความยึดตัว



รูปที่ 6.5 เครื่องทดสอบความยึดตัวของเหล็กเสื่อมสภาพ



รูปที่ 6.6 (ก) เหล็กเสื่อมสภาพก่อนผ่านการอบชุบที่ถูกดึงจนขาดออกจากกันโดยเครื่องทดสอบการยึดตัวของวัสดุ เนื่องเหล็กเกิดการแตกบิน



รูปที่ 6.6 (ข) เหล็กเสื่อมสภาพผ่านการอบชุบที่ถูกดึงจนขาดออกจากกันโดยเครื่องทดสอบการยึดตัวของวัสดุ เนื่องเหล็กจะไม่แตกแต่จะแยกเป็นแนว

6.2.3 กระบวนการนำเหล็กเสื่อมสภาพกลับมาใช้ใหม่และขึ้นรูปใบมีด
การขึ้นรูปใบมีดตามลักษณะการใช้งานหรือตามขั้นตอนการย่ออบวัสดุในการวิจัยนี้
แบ่งขั้นตอนการย่ออบออกเป็น 3 ขั้นตอน กล่าวคือ ขั้นตอนแรกเป็นการกระแทก ใบมีดที่ใช้
ในขั้นตอนนี้มีลักษณะเป็นสี่เหลี่ยมผืนผ้าไม่มีคม เจาะรูสำหรับสอดไส่เพลาตรงปลายด้านหนึ่ง

ในขั้นตอนที่สองเป็นการสับด้วยใบมีดชนิดไม่มีความคม ใบมีดมีรูปสันฐานสี่เหลี่ยมคงหมุ หั้งเมื่อมองจากด้านหน้าและเมื่อมองจากด้านบน ส่วนโคนของใบมีดสับเป็นส่วนที่ใช้ติดตั้งเข้ากับชิ้นส่วนขึ้นไปมีด โดยการยึดด้วยสลักเกลียวและแหวน ส่วนโคนของใบมีดสับจึงถูกเจาะเป็นรูกลม 2 รู ส่วนปลายใบมีดสับได้รับการขึ้นรูปให้มีลักษณะเรียวลง และขั้นตอนที่สามเป็นการเนื้อนด้วยใบมีดเนื้อน บริเวณตอนกลางลำตัวของใบมีดเนื้อน ได้รับการขึ้นรูปให้มีความแบบเรียบและมีสันฐานเป็นหกเหลี่ยม จุดกึ่งกลางของหกเหลี่ยมเป็นจุดศูนย์กลางของรูเจาะทะลุใบมีด มีไว้เพื่อการสอดใบมีดเลื่อนลงบนเพลาแกนใบมีดเมื่อติดตั้งใช้งาน ใบมีดมีรูปลักษณะที่สามารถแนวน้ำซ้ายขวา ส่วนปลายใบมีดเลื่อนต้องได้รับการเจียรให้มีความคมมาก ส่วนปลายสุดของใบมีดเนื้อน ได้รับการขึ้นรูปให้โค้งมนเพื่อให้มีความสามารถในการเนื้อน ซึ่งกระบวนการนำเหล็กเสื่อมสภาพกลับมาใช้ใหม่และขึ้นรูปใบมีดทั้งสาม ได้รับการจดสิทธิบัตรการประดิษฐ์โดยมหาวิทยาลัยเทคโนโลยีสุรนารี ซึ่งอาจประมาณโดยสังเขปได้ดังต่อไปนี้

ขั้นตอนที่ 1 นำเหล็กมีปริมาณคาร์บอน 1% ที่ได้ขนาด ไปอบเพื่อเพิ่มความเหนียว ที่อุณหภูมิที่เหมาะสมตามระยะเวลาที่กำหนด (ความแข็งจะลดลงเหลือ 45-52 HRC โดยประมาณ) และทิ้งไว้ให้เย็นตัวลงโดยธรรมชาติ

ขั้นตอนที่ 2 เป็นการเผาเหล็กจากขั้นตอนที่ 1 ด้วยเพลิงจากเครื่องเผาด้วยแก๊ส งานเหล็กร้อนจัดและมีสีส้ม

ขั้นตอนที่ 3 เป็นการนำเหล็กหุงกลงในทรายและทิ้งให้เย็นตัวลงตามธรรมชาติ (ความแข็งจะลดลงเหลือ 28 HRC โดยประมาณ แต่จะเหนียวมากขึ้น)

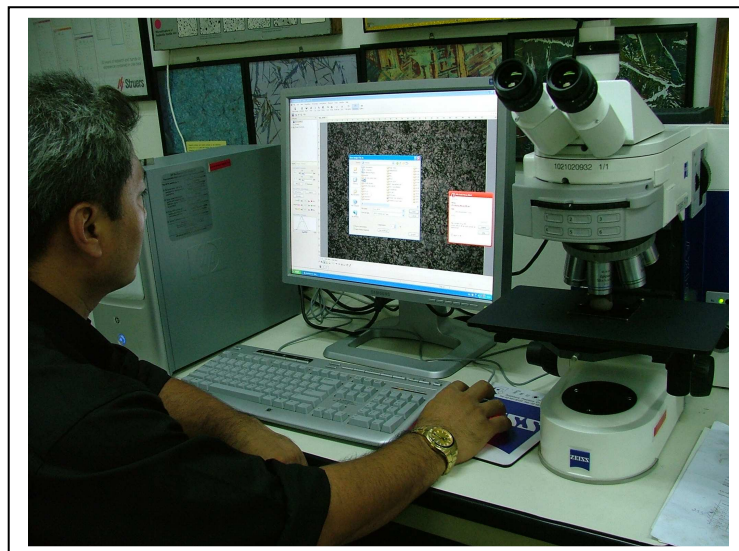
ขั้นตอนที่ 4 นำเหล็กที่ได้ขนาดและผ่านกระบวนการตามขั้นตอนที่ 3 แล้วไปเจาะรูกลมที่มีเส้นผ่าศูนย์กลางตามขนาดที่กำหนด

ขั้นตอนที่ 5 ทำการเจียรใบมีดที่ได้จากขั้นตอนที่ 4 ด้วยหินเจียรให้เข้ารูปตามมิติต่าง ๆ ของใบมีดตามการวิจัยวิทยานิพนธ์นี้

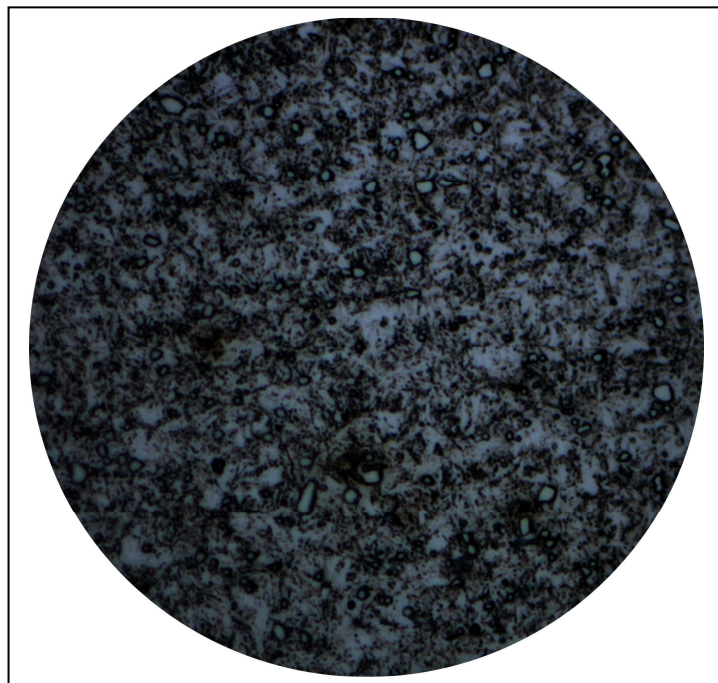
ขั้นตอนที่ 6 หลังจากผ่านกระบวนการขึ้นรูปแล้วนำไปมีดมาอบให้ความร้อนและทิ้งให้เย็นลงตามธรรมชาติ (จะได้ความแข็งของเนื้อเหล็กประมาณ 55 HRC แต่เหล็กจะเหนียวมากขึ้นกว่าก่อนผ่านกระบวนการ)

ในแต่ละกระบวนการจะต้องทำการทดสอบความแข็งตามขั้นตอนและวิธีการที่ได้อธิบายในหัวข้อ 6.2.2 การตรวจสอบจะต้องใช้กล้องกำลังขยายสูง (รูปที่ 6.7) สองคุณภาพเหล็กทั้งก่อนและหลังผ่านกระบวนการ พนว่าเนื้อเหล็กก่อนผ่านกระบวนการอบชุบ มีการรวมตัวของคาร์บอนอยู่หนาแน่นทำให้ซีเมนต์ไทร์ (cementite) มีลักษณะเป็นเม็ดดังแสดงในรูปที่ 6.8 ซึ่งซีเมนต์ไทร์เหล่านี้เป็นตัวการทำให้เหล็กมีความแข็ง จะอยู่กันเป็นกลุ่ม ๆ ไม่กระจายตัว และพื้นสีขาวที่เห็นในภาพเป็นเฟอร์ไรท์ (ferrite) มีคุณสมบัติทำให้เนื้อเหล็กอ่อนตัว แต่เมื่อเหล็กได้ผ่าน

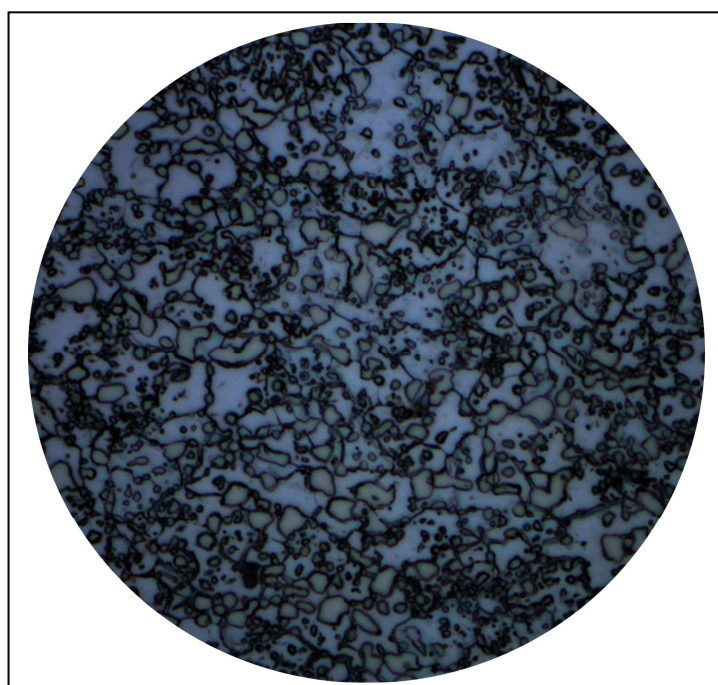
กระบวนการครอบชูบแล้วจะเห็นว่าซีเมนต์ไทต์และการ์บอนกราฟิตตัวอกร เห็นเป็นพื้นสีขาวของ เฟอร์ไรท์มากขึ้น ดังแสดงในรูปที่ 6.9 ส่วนใหญ่เหล็กมีความสามารถยึดตัวและความแข็งลดลง ซึ่งในขั้นตอนนี้จะนำเหล็กที่ได้มาตอกแต่งขึ้นรูป หลังจากขึ้นรูปแล้วจึงนำเข้าสู่กระบวนการ ครอบชูบแข็งเพื่อให้เหล็กมีความแข็ง ใกล้เคียงกับลักษณะสมบัติเดิม แต่จะมีความหน่วงยวายหรือยึดตัวได้ มากกว่าเดิม รูปที่ 6.10 แสดงลักษณะสมบัติของเนื้อเหล็กที่ผ่านกระบวนการครอบชูบเรียบร้อยแล้ว อาจสังเกตได้ว่ามีลักษณะสมบัติของเนื้อเหล็กใกล้เคียงกับกรณีของรูปที่ 6.8 แต่จะสังเกตเห็นพื้น สีขาวที่เป็นเฟอร์ไรท์ว่ามีปริมาณมากกว่าเดิมมาก กระบวนการดังที่ได้อธิบายนี้ได้รับการจด สิทธิบัตรการประดิษฐ์ โดยมหาวิทยาลัยเทคโนโลยีสุรนารี เลขที่คำขอ 0701000717



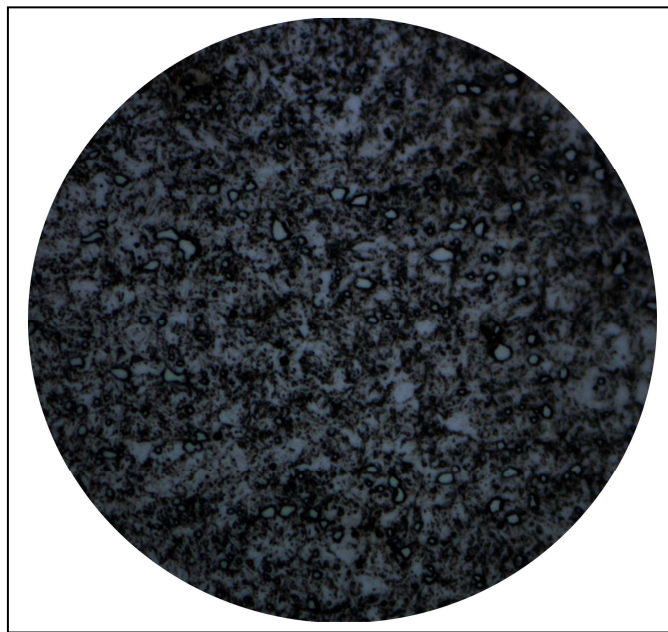
รูปที่ 6.7 กล้องกำลังขยายสูงสำหรับตรวจเนื้อเหล็ก



รูปที่ 6.8 เนื้อเหล็กเสื่อมสภาพก่อนผ่านกระบวนการ (กำลังขยาย 1000 เท่า)



รูปที่ 6.9 เนื้อเหล็กเสื่อมสภาพเมื่อผ่านกระบวนการอบชุบในขั้นตอนที่ 1 (กำลังขยาย 1000 เท่า)



รูปที่ 6.10 เนื้อเหล็กเสื่อมสภาพเมื่อผ่านกระบวนการอบชุบแข็งในขั้นตอนที่ 6
(กำลังขยาย 1000 เท่า)

6.2.4 เครื่องสับพิชผลทางการเกษตร

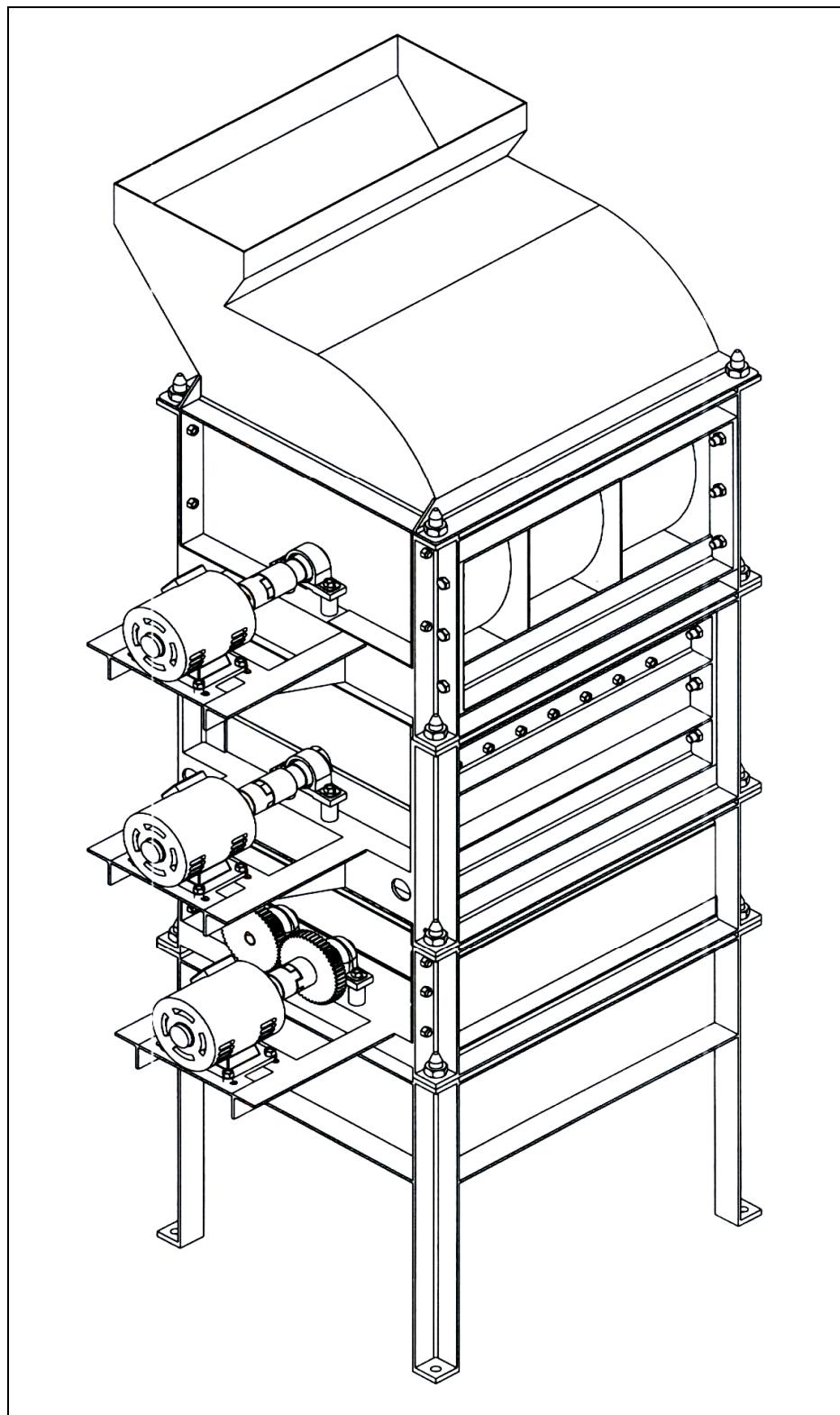
เครื่องสับพิชผลทางการเกษตรมีรูปลักษณะภายนอกดังที่แสดงในรูปที่ 6.11 ที่เป็นเครื่องปิดสะอาดแก่การใช้งาน ไม่ก่อให้เกิดอันตรายแก่ผู้ปฏิบัติงาน มีช่องเปิด-ปิดสำหรับซ่อนบำรุง และมีสลักยึดอย่างแน่นหนา ตัวถังทำจากวัสดุเหล็กกล้า ไร้สนิม ยึดกับโครงถังด้วยเกลียว และแหวน ภายในมีส่วนประกอบหลักดังแสดงในรูปที่ 6.12 ซึ่งจะเห็นว่ามีใบมีดที่ออกแบบมาแตกต่างกัน 3 ชุด เรียงตามแนว บน-ล่าง การทำงานของใบมีดเรียงลำดับจากบนลงล่าง ก่อให้เกิดขั้นตอนการกระแส ขั้นตอนการสับ และขั้นตอนการเนื้อน กระทำตามลำดับต่อวัสดุที่ถูกป้อนเข้าทางด้านบนเป็นวัตถุคุณของเครื่องจักร ซึ่งร่วงหล่นลงสู่พื้นตามหลักแรงโน้มถ่วงของโลก

- เครื่องสับพิชผลทางการเกษตรในขั้นตอนการกระแส

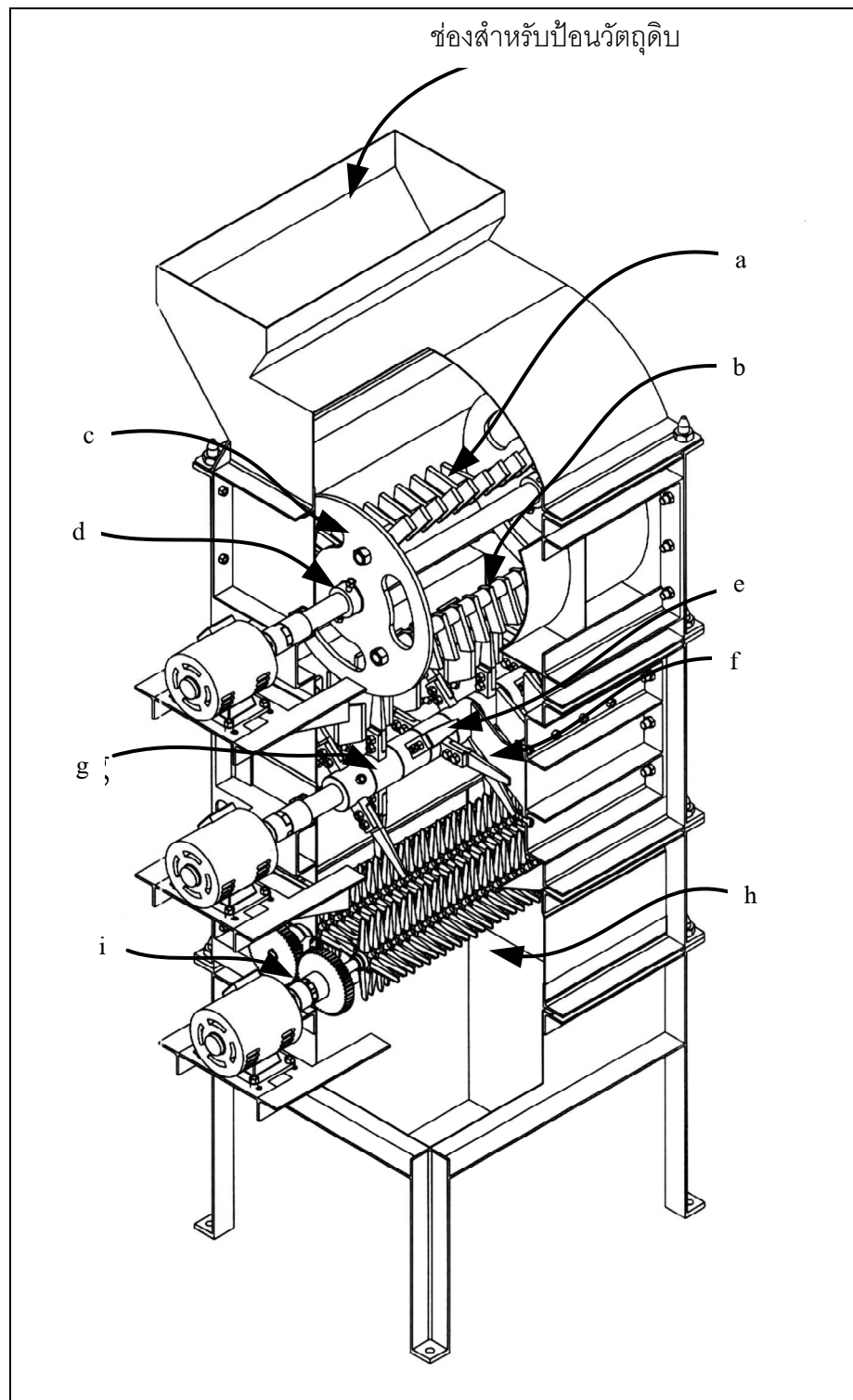
รูปที่ 6.12 แสดงใบมีด (a) ที่ใช้ในการกระแสนี้ ไม่มีความคม มีขนาดสม่ำเสมอต่อคดแนวล่างของใบมีด ในมีดมีส่วนฐานเป็นสี่เหลี่ยมผืนผ้า ขึ้นรูปจากเหล็กตะไบบริเวณใกล้ขอบด้านซ้ายของใบมีดมีการเจาะรูกลมทะลุตลอดความหนาเพื่อสอดแกนใบมีด แกนใบมีดมีรูปลักษณะเป็นทรงกระบอกกลมตัน ขึ้นรูปจากเหล็กกล้า ไร้สนิมชุบแข็งและขัดผิวน้ำที่ปลายทั้งสองด้านของเพลา ได้รับการตีเกลียว ขอบทางปลายทั้งสองด้านของแกนใบมีดต้องปิดมนเพื่อให้ง่ายต่อการสอดใส่และขันยึด ใช้ปลอกสั้นและปลอกยาวเป็นตัวปรับเปลี่ยนความยาว

และระยะประชิดระหว่างใบมีดให้สอดคล้องกับความต้องการใช้งาน ซึ่งปลอกดังกล่าวมีรูปลักษณะเป็นทรงกระบอกลมขึ้นรูปจากทองเหลือง (b) แผ่นโครง (c) จำนวน 2 แผ่น ทำจากเหล็กกล้าไร้สนิม มีสัมฐานเป็นแผ่นจานกลม กึ่งกล่างของแผ่นโครงมีการเจาะเป็นรูกลมเลี้นผ่าศูนย์กลางขนาดใหญ่กว่าแกนใบมีด บริเวณโดยรอบฐานจะดังกล่าว ได้รับการเชื่อมติดอย่างแน่นหนาด้วยวงแหวนทรงกลม (d) เพื่อใช้ยึดแผ่นโครงติดกับแกนเพลา วงแหวนดังกล่าวขึ้นรูปจากเหล็กกล้าไร้สนิม บนแผ่นโครงมีรูเจาะทรงกลมที่จะทะลุแผ่นโครงด้วยเส้นผ่าศูนย์กลางที่เล็กกว่ารูที่เจาะใบมีดเล็กน้อย เพื่อไว้สำหรับสอดแกนใบมีด และเพื่อเป็นการลดน้ำหนักของแผ่นโครงจึงทำการเจาะให้มีรูเจาะทรงกล้วยจำนวน 3 รู วางตัวให้ได้ดุล ในการติดตั้งชุดใบมีดนี้ ซึ่งเรียกว่าชุดใบมีดคงแบบเป็นพวง ใช้รูเกลียวบนวงแหวนเป็นช่องเปิดเพื่อการขันยึดติดกับเพลาโดยการทึบส่องด้านซ้ายขวาของแผ่นโครง การติดตั้งชุดใบมีดคงแบบเป็นพวงของการวิจัยนี้ ในการใช้งานอาจสอดเพลาผ่านรูของวงแหวนทรงกลม และยึดด้านหัวด้านท้ายของเพลานั้นด้วยสลักเกลียวให้แน่น ปลายด้านหนึ่งของเพลา ได้รับการต่อคู่ความเข้ากับด้านกำเนิดแรงบิดด้วยวิธีปกติ ใบมีดจะการออกเดินที่เมื่อความเร็วรอบของดันกำลังมีอัตราเร็ว 800 rpm

สิ่งประดิษฐ์ดังคำอธิบายข้างต้น ได้รับการจดสิทธิบัตรการประดิษฐ์ โดย
มหาวิทยาลัยเทคโนโลยีสุรนารี: ชุดใบมีดคงแบบเป็นพวง เลขที่คำขอ 0701000718



รูปที่ 6.11 รูปถ่ายขนาดภายนอกของเครื่องสับพืชผลทางการเกษตร
สิทธิบัตรการประดิษฐ์ เลขที่คำขอ 0701002473



รูปที่ 6.12 ส่วนประกอบภายในของเครื่องสับพืชผลทางการเกษตร
สิทธิบัตรการประดิษฐ์ เลขที่คำขอ 0701002473

- เครื่องสับพืชผลทางการเกษตรในขั้นตอนการสับ

การย่อยผลผลิตทางการเกษตรด้วยวิธีการสับนั้น ใช้ใบมีดสำหรับสับในร่องสับ และปลอกจับยึดใบมีดสับ แนวคิดในการออกแบบนั้นจะให้มีการจับยึดใบมีดในลักษณะที่มีความอ่อนตัวต่อการปรับมุมในมีด รวมทั้งปรับเปลี่ยนในมีดได้ตามความเหมาะสมต่อการใช้งานในการสับวัตถุต่างๆ ที่เป็นพืชผลทางการเกษตรต่างชนิดได้อย่างมีประสิทธิผล ซึ่งจะได้กล่าวถึงรายละเอียดในการออกแบบแต่ละชิ้นส่วนดังต่อไปนี้

ในรูปที่ 6.12 แสดงใบมีดสับ (e) ของการประดิษฐ์นี้ ได้รับการขึ้นรูปจากวัสดุเหล็ก冷 ใน มีปริมาณคาร์บอน 1% มีความแข็ง 65 HRC เป็นใบมีดชนิดไม่มีความคมและมีรูปสัมฐานแบบลีฟเลี่ยมคงหมุน ทั้งเมื่อมองจากด้านหน้าและเมื่อมองจากด้านบน ส่วนโคนของใบมีดสับเป็นส่วนที่ใช้ติดตั้งเข้ากับชิ้นส่วนยึดใบมีดได้ฯ โดยการยึดด้วยสวลักเกลียวและแหวนส่วนโคนของใบมีดสับจะเป็นรูกลม 2 รู ส่วนปลายใบมีดสับได้รับการขึ้นรูปให้มีลักษณะเรียวลง ใบร่องสับ (f) เป็นส่วนที่ใช้งานร่วมกับใบมีดสับ ทำหน้าที่พยุงและยึดวัสดุที่ถูกสับไว้牢固ๆ พอยعنาระต่อการกดและสับตัวลงของใบมีดสับ ส่งผลให้เกิดการสับวัสดุที่พึงประสงค์ได้ตามความต้องการ ใบร่องสับประกอบด้วยแผ่นใบร่องสับและฐานใบร่องสับ ส่วนประกอบทั้งสองชิ้นดังกล่าวทำจากเหล็กกล้าปลอกดันนิมที่มีปริมาณคาร์บอนสูง และยึดติดกันด้วยการเชื่อมโครงรูปของแผ่นใบร่องสับเป็นห้าเหลี่ยมไม่สมมาตร การติดตั้งใบร่องสับดังกล่าวของงานวิจัยนี้เข้ากับโครงยึดติดได้ฯ ทำได้ง่าย โดยใช้สวลักเกลียวหัวหกเหลี่ยมและแหวนจานวนสองชุด ยึดติดด้านบนและด้านล่างของฐานใบร่องสับผ่านทางรูกลมที่เจาะทะลุโครง ระยะห่างระหว่างใบร่องสับแต่ละชุดสามารถกำหนดได้ตามความเหมาะสมของกระบวนการประยุกต์ใช้งาน และความเข้ากันได้กับรูปลักษณะของใบสับที่เลือกใช้

ในรูปที่ 6.12 แสดงปลอกยึดใบมีด (g) เป็นอุปกรณ์ยึดตรึงใบมีดสับเข้ากับเพลาแกนใบมีด ในลักษณะที่มีความอ่อนตัวต่อการปรับมุมในมีด รวมทั้งปรับเปลี่ยนในมีดได้ตามความเหมาะสมต่อการใช้งานในการสับวัตถุต่างๆ ที่เป็นพืชผลทางการเกษตรต่างชนิดได้อย่างมีประสิทธิผล ปลอกยึดใบมีดสับแบบปรับมุมในงานวิจัยนี้ มีชิ้นส่วนที่สำคัญเป็น ปลอกยึดใบมีดสับแบบปรับมุมได้ชุดแรก ปลอกยึดใบมีดสับแบบปรับมุมได้ชุดกลาง ปลอกยึดใบมีดสับแบบปรับมุมได้ชุดสุดท้าย และปลอกขันยึดชุดใบมีด

ปลอกยึดใบมีดสับแบบปรับมุมได้ชุดแรกมีส่วนประกอบเป็น ส่วนกลาง ปลอกยึดใบมีดชุดแรก ส่วนปีกยึดใบมีดชุดแรก ส่วนปีกยึดใบมีดด้านซ้ายและด้านขวาของปลอกยึดใบมีดชุดแรก ส่วนปีกที่กล่าวถึงทั้งสองนี้มีลักษณะเหมือนกันทุกประการ ปลอกยึดใบมีดสับแบบปรับมุมได้ชุดแรก ดังกล่าว ต้องได้รับการกลึงขึ้นรูปเป็นชิ้นส่วนเดียวกันจากวัสดุเหล็กกล้าไร้สนิม รูปลักษณะของปลอกยึดใบมีดสับแบบปรับมุมได้ชุดแรกมีความสมมาตรกับทางซ้ายและขวาตลอดแนวยาวลำดับ

ผิวค้านหน้ามีการเจาะรูทรงกระบวนการออกกลมแบบไม่ทะลุจำนวน 8 รู มีไว้สำหรับการสอดไส่สลักจำนวน 2 ชิ้น ที่สามารถเลือกตำแหน่งสอดสลักเพื่อการปรับมุมในมีดสับได้ และมีรูทรงกระบวนการออกกลมใหญ่แบบเจาะทะลุถุงปลองยีดในมีดสำหรับสอดเพลาแกนในมีด ค้านบนของส่วนกลางปลองยีดในมีดชุดแรกมีการเจาะรูเล็กแบบทะลุผ่านสำหรับเป็นตำแหน่งสอดสลักเกลียวหัวเรียบเมื่อสอดสลักเกลียวหัวเรียบนี้ให้พอดีกับตำแหน่งรูเกลียวบนเพลาแกนในมีด จะสามารถขันสลักเกลียวหัวเรียบนี้ให้เข็มเพลาแกนในมีดได้อย่างแน่นหนา รูเกลียนี้ได้รับการเจาะตามมาตรฐานรูเกลียว และสลักเกลียวหัวเรียบท่าจากเหล็กกล้าไร้สนิมตามมาตรฐานสลักเกลียว ส่วนสลักทำจากเหล็กกล้าไร้สนิม เช่นกัน ขึ้นรูปใหม่สัมฐานทรงกระบวนการโดยขอบค้านหัวและท้ายของสลักได้รับการปัดให้มีมน ส่วนปีกยีดในมีดได้รับการขึ้นรูปใหม่รูเจาะ 2 รู และรูปลักษณะพอดีรับกับการติดตั้งในมีดสับ การยึดครั้งในมีดสับเข้ากับส่วนปีกยีดในมีดใช้สลักเกลียวหัวหกเหลี่ยมและแหวนที่พอดีกับสำหรับยึดสลักเกลียวหัวหกเหลี่ยมดังกล่าว

ปลองยีดในมีดสับแบบปรับมุมได้ชุดกลาง ทำหน้าที่ยึดในมีดสับ เช่นเดียวกับการใช้งานปลองยีดในมีดสับแบบปรับมุมได้ชุดแรกและยังมีรูปลักษณะโดยทั่วไปทั้งภายนอกและภายในคล้ายคลึงกันกับรูปลักษณะของปลองยีดในมีดสับแบบปรับมุมได้ชุดแรก ความคล้ายคลึงกันนั้นอาจสังเกตได้ว่า มีส่วนประกอบหลักเป็นส่วนกลางปลองยีดในมีดชุดกลาง ส่วนปีกยีดในมีดค้านซ้าย และส่วนปีกยีดในมีดค้านขวา รูปลักษณะเชิงโครงสร้างภายนอกตลอดจนมิติต่าง ๆ เมื่อนกันทุกประการกับปลองยีดในมีดสับแบบปรับมุมได้ชุดแรก ความแตกต่างกันมีอยู่ในส่วนที่เป็นส่วนกลางปลองยีดในมีดชุดกลางค้านบนนั้น ไม่มีการเจาะรูใด ๆ เลย ไม่ว่าจะในตำแหน่งใดของส่วนใดของผิวค้านบน นอกจากนั้นที่ผิวค้านหน้า และผิวค้านหลังของส่วนกลางของปลองยีดในมีดชุดกลางได้รับการเจาะเป็นรูทรงกระบวนการแบบไม่ทะลุ โดยเฉพาะเป็นจำนวนค้านละ 8 รู เท่า ๆ กัน ตำแหน่งของรูทรงกระบวนการแบบไม่ทะลุต่าง ๆ ทั้งสองค้านของผิวของส่วนกลางปลองยีดในมีดชุดกลางถูกจัดวางในรูปแบบเดียวกับการจัดให้ส่วนกลางปลองยีดในมีดชุดแรกตามการอธิบายรายละเอียดผ่านมาแล้วข้างต้น การเจาะทะลุเป็นทรงกระบวนการลดแนวยาวลำตัวของส่วนกลางปลองยีดในมีดชุดกลางมีเส้นผ่าศูนย์กลางการเจาะที่พอเหมาะสำหรับสอดไส่เพลากลางได้ ปลองยีดในมีดสับแบบปรับมุมได้ชุดกลางตามที่กล่าวถึนี้ ต้องได้รับการกลึงขึ้นรูปเป็นชิ้นเดียวกันจากวัสดุเหล็กกล้าไร้สนิม

ปลองยีดในมีดสับแบบปรับมุมได้ชุดสุดท้าย ทำหน้าที่ยึดในมีดสับ เช่นเดียวกับการใช้งานปลองยีดในมีดสับชุดแรกและชุดกลางดังที่ได้อธิบายผ่านมาแล้ว อีกทั้งมีรูปลักษณะภายนอกประกอบด้วยส่วนกลางปลองยีดในมีดชุดสุดท้าย ส่วนปีกยีดในมีดค้านซ้าย และส่วนปีกยีดในมีดค้านขวา การใช้งานเมื่อติดตั้งจะต้องสอดส่วนปลายของเพลาแกนในมีดเข้ามาทางค้านหลังของปลองยีดในมีดสับแบบปรับมุมได้ชุดสุดท้ายจนสุด และขันยึดปลอง

ขันยึดชุดใบมีดเข้าทางด้านหน้าของปلاอกยึดใบมีดสับที่ก่อร่อง จากนั้นใช้สลักเกลียวหัวเรียบขันยึดร่องชุดใบมีดสับเข้ากับเพลาแกนใบมีด ผ่านรูเล็กและรูเกลียว ส่วนกลางปلاอกยึดใบมีดชุดสุดท้ายมีสันฐานเป็นทรงกระบอกกลม ขอบรอบนอกตามแนวเส้นรอบวงของส่วนกลางปلاอกยึดใบมีดดังกล่าวนี้ได้รับการปิดให้มั่น มีการเจาะรูทรงกระบอกแบบไม่ทะลุ จำนวน 8 รู ในรูแบบการดำเนินการเช่นเดียวกันกับการขึ้นรูปทรงกระบอกเหล่านี้สำหรับปلاอกยึดใบมีดสับแบบปรับมุมได้ชุดแรก และชุดกลาง จากผิวด้านหน้าเข้าไปภายในลำตัวของส่วนกลางปلاอกยึดใบมีดมีการเจาะรูทรงกระบอกที่ตีเกลียว โดยมีระยะเพื่อสำหรับรับส่วนปลายของปلاอกขันยึดชุดใบมีด และมีการเจาะรูทรงกระบอกกลมจากผิวด้านหลังเพื่อการสอดเพลาแกนใบมีด

ขึ้นส่วนสำคัญอีกชิ้นหนึ่งของชุดใบมีดสับแบบปรับมุมได้เป็นปلاอกขันยึดชุดใบมีด ขึ้นส่วนดังกล่าวมีการขึ้นรูปเป็นเกลียว ซึ่งมีส่วนประกอบสองส่วน คือ ส่วนหัว และส่วนลำตัว ส่วนลำตัวต้องได้รับการตีเกลียวตัวผู้ตามมาตรฐาน ส่วนหัวมีสันฐานเป็นทรงกระบอกกลม ด้านบนและด้านล่างของส่วนหัวได้รับการเจาะรูเกลียว จุดศูนย์กลางของรูเกลียวแต่ละรูอยู่ห่างจากขอบด้านนอกของส่วนหัว กึ่งกลางตามแนวยาวลำตัวของปلاอกขันยึดชุดใบมีดได้รับการเจาะทะลุเป็นทรงกระบอกกลม สำหรับไว้สอดเพลาแกนใบมีด เมื่อใช้งานปلاอกขันยึดชุดใบมีด ต้องขันเข้าทางปลายด้านท้ายของเพลาแกนใบมีด ตำแหน่งรูเกลียวบนส่วนหัวจะต้องอยู่ในตำแหน่งตรงกับรูเกลียวบนเพลาแกนใบมีดพอดี เพื่อให้สอดสลักเกลียวหัวเรียบ และขันยึดได้อย่างแน่นหนา เพลาแกนใบมีดนี้ต้องขึ้นรูปจากเหล็กเพลาดำหัวแคง ส่วนปلاอกขันยึดชุดใบมีดที่ก่อร่องจะต้องขึ้นรูปด้วยการกลึงเป็นชิ้นเดียวกันจากวัสดุเหล็กกล้าไร้สนิม

เมื่อนำอุปกรณ์ต่าง ๆ ดังกล่าวขึ้นมาประกอบติดตั้งเข้าด้วยกันลงบนเพลาแกนใบมีด จะเกิดเป็นชุดใบมีดสับแบบปรับมุมได้ ซึ่งปلاอกยึดใบมีดสับแบบปรับมุมได้ชุดแรก ชุดสุดท้าย และปلاอกขันยึดชุดใบมีด ใช้เพียงอย่างละ 1 ชิ้น ปلاอกยึดใบมีดสับแบบปรับมุมได้ชุดกลาง อาจเลือกใช้กี่ชิ้นก็ได้ตามความต้องการ สลักจำนวนมากใช้ในการเชื่อมโดยแบบอ่อนตัวให้ปรับมุมได้แก่ปلاอกยึดใบมีดสับต่าง ๆ ในการปรับมุมใบมีดสับเราใช้วิธีหมุนปلاอกใบมีดตามแนวคิดนี้ โดยสอดสลักลงในตำแหน่งที่เหมาะสม เมื่อประกอบชิ้นส่วนต่าง ๆ ขึ้นเป็นชุดใบมีดสับแบบปรับมุมได้แล้วเสร็จ ปลายด้านหนึ่งของเพลาแกนใบมีดซึ่งเป็นทางด้านหัวเพลาจะต้องใช้เพื่อต่อคู่กับเข้ากับแหล่งกำเนิดแรงบิด เช่น นาโนเตอร์ไฟฟ้า เป็นต้น

สิ่งประดิษฐ์ดังคำอธิบายข้างต้นได้รับการจดสิทธิบัตรการประดิษฐ์ โดยมหาวิทยาลัยเทคโนโลยีสุรนารี: ใบมีดสับและกระบวนการขึ้นรูปใบมีดสับ เลขที่คำขอ 0701000717 ปلاอกยึดใบมีดสับแบบปรับมุมได้และชุดใบมีดสับแบบปรับมุมได้ เลขที่คำขอ 0701000719 และใบรองสับ เลขที่คำขอ 0701000720

- เครื่องสับพืชผลทางการเกษตรในขั้นตอนการเมือน

เมื่อต้องการย่อยพืชผลทางการเกษตรให้มีขนาดเล็กลงมาก ๆ เช่น การสับหัวมันสำปะหลังที่มีขนาดปกติ ให้เป็นชิ้นมันสำปะหลังชิ้นเล็ก ๆ ที่มีความยาวไม่เกิน 1 นิ้ว ไม่ว่าจะวัดทางด้านใด เครื่องจักรกลดังกล่าวจึงต้องการใบมีดที่มีความคมมากและมีขนาดพอเหมาะสมจำนวนมาก เป็นส่วนประกอบสำคัญส่วนหนึ่งของเครื่องจักรกล และในหัวข้อนี้จะได้กล่าวถึงรูปลักษณะของการประกอบกันของใบมีดที่มีความคมจำนวนมากขึ้นเป็นชุดใบมีดสำหรับใช้งานเพื่อวัตถุประสงค์ดังกล่าว โดยแยกอธิบายเป็นสองส่วน คือ ส่วนที่เป็นใบมีดเฉือน และส่วนที่เป็นชุดใบมีดเฉือน

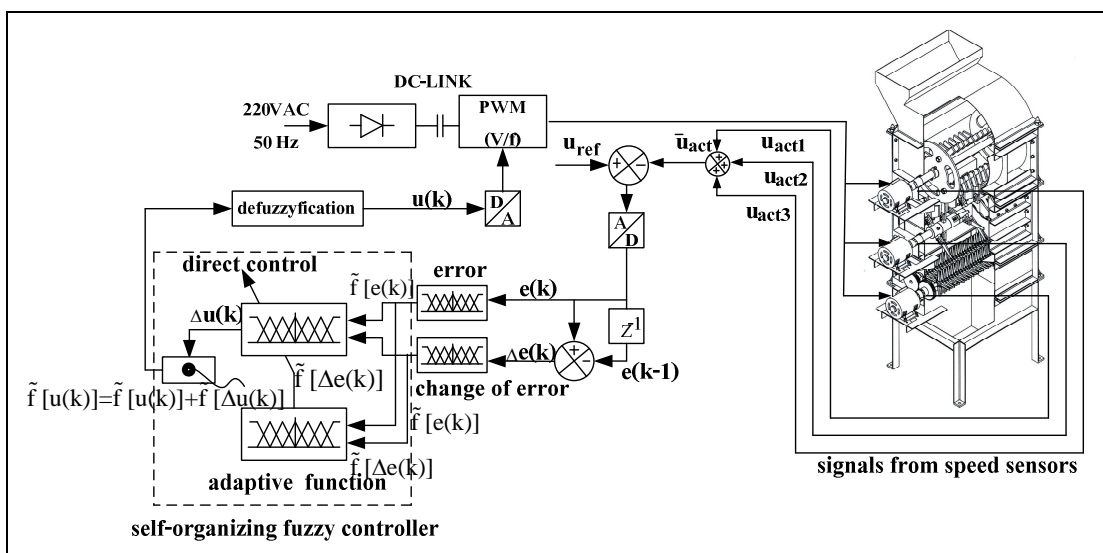
รูปที่ 6.12 แสดงใบมีดเฉือน (h) ขึ้นรูปจากวัสดุเหล็กตะไบที่ผ่านการอบชุบให้แข็งและเหนียว บริเวณตอนกลางลำตัวของใบมีดเฉือนได้รับการขึ้นรูปให้มีความแบบเรียบและมีสันฐานเป็นหยาดเหลี่ยม จุดกึ่งกลางของหยาดเหลี่ยมเป็นจุดศูนย์กลางของรูเจาะทะลุใบมีด มีไว้เพื่อการสอดใบมีดเฉือนลงบนพลาแกนใบมีดเมื่อติดตั้งใช้งาน ใบมีดมีรูปลักษณะที่สามารถแนวซ้ายขวา ส่วนปลายใบมีดเฉือนต้องได้รับการเจียรให้มีความคมมาก ส่วนปลายสุดของใบมีดเฉือนได้รับการขึ้นรูปให้โค้งมน สันของใบมีดเฉือนช่วยทำให้ใบมีดเฉือนมีความแข็งแรง ส่วนปลายสุดของใบมีดเฉือน ช่วยเพิ่มความสามารถในการเฉือน ผิวด้านบนและด้านล่างของส่วนปลายใบมีดได้รับการขึ้นรูปให้มีลักษณะลาดเอียงประนบกันเป็นรูปลิ่ม โดยมีสันอยู่ตรงกลางตามแนวยาวของส่วนปลายใบมีดเพื่อเสริมความแข็งแรง ส่วนปลายใบมีดนี้เมื่อมองจากทางด้านข้างจะเห็นเป็นรูปข้าวหลามตัด

ชุดใบมีดเฉือน (i) ดังรูปที่ 6.12 ประกอบสร้างขึ้นจากใบมีดเฉือนจำนวนมาก ชุดใบมีดเฉือน มีพลาแกนใบมีดจำนวนสองแกนที่ติดตั้งใบมีดเฉือนไว้แล้ว การติดตั้งใบมีดเฉือนลงบนพลาแกนใบมีดเดียวกันนั้นต้องติดตั้งให้ใบมีดเฉือนวางตัวตั้งได้ฉากสลับกันไป โดยใช้ปลอกคันใบมีดที่ทำการหงายหองเหลืองเป็นอุปกรณ์คันและกำหนดระยะห่างของใบมีดเฉือนแต่ละในการกำหนดระยะห่างนี้ไม่ตายตัว ขึ้นอยู่กับความต้องการในการสับย่อยวัสดุ ในมีดเฉือนที่ติดตั้งลงบนพลาแกนใบมีดอีกแกนหนึ่งนั้นดำเนินการติดตั้งแบบเดียวกับที่ได้อธิบายผ่านมา แต่จะต้องจัดใบมีดเฉือนให้มีตำแหน่งสับหัวกับใบมีดเฉือนที่ติดตั้งบนพลาแกนใบมีดแกนแรกที่กล่าวถึงที่ปลายทั้งสองด้านของพลาแกนใบมีดทั้งสองแกนจะต้องมีร่องเพลา ระหว่างใบมีดเฉือนกับร่องเพลาจะต้องมีปลอกคันที่ทำการหงายหองเหลืองเช่นกัน ถัดมาจากการรองเพลาทั้งสองชุดทางด้านซ้ายของพลาแกนใบมีดมีการติดตั้งเพื่อจัดแบบธรรมชาติ โดยที่เมื่อเพลาหนึ่งหมุนอีกเพลาหนึ่งจะหมุนสวนทางกันตลอดเวลา อัตราทดเพื่องนั้นเป็นไปตามความต้องการในอัตราเร็วรอบของการหมุนพลาแกนใบมีดแกนหนึ่งของสองแกน จะต้องมีหัวเพลาที่ประสิทธิภาพเพื่อได้รับการขึ้นรูปตามมาตรฐานทั่วไป เพื่อการยึดเข้ากับเพลาของมอเตอร์ไฟฟ้าซึ่งเป็นแหล่งกำเนิดแรงบิด

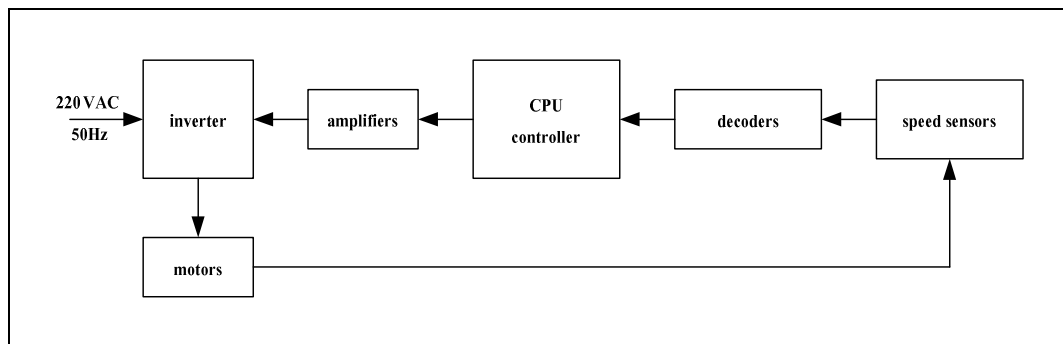
สิ่งประดิษฐ์ดังคำอธิบายข้างต้นได้รับการจดสิทธิบัตรการประดิษฐ์ โดยมหาวิทยาลัยเทคโนโลยีสุรนารี: ใบมีดเนื่อง เลขที่คำขอ 0701001328

6.3 ระบบควบคุม

งานวิจัยนี้ได้ตั้งต้นจากการศึกษาลักษณะสมบัติของระบบขับเคลื่อน ที่ใช้อินเวอร์เตอร์เป็นแหล่งจ่ายพลังงาน การออกแบบพิกัดของอินเวอร์เตอร์พิจารณาเฉพาะขนาดของมอเตอร์เพียงอย่างเดียวไม่ได้ แต่จะต้องพิจารณาถึงลักษณะสมบัติของโหลด วิธีและสภาพการเดินเครื่องด้วย เพราะเมื่อใช้อินเวอร์เตอร์ขับมอเตอร์ในย่านอัตราเร็วต่ำ การควบคุม V/f จะทำให้ได้แรงบิดน้อยลง กว่าการต่อมอเตอร์กับแหล่งจ่ายโดยตรง แต่วิธีการควบคุมนี้สามารถนำมาควบคุมการขับเคลื่อนมอเตอร์ได้พร้อมๆ กันหลายตัว แผนภาพดังรูปที่ 6.13 แสดงส่วนประกอบหลักสามส่วน กล่าวคือ ส่วนของพานต์ที่ถูกควบคุม ส่วนตัวควบคุม และส่วนแปลงผันพลังงาน ในส่วนแปลงผัน พลังงานซึ่งเป็นอินเวอร์เตอร์ในวิทยานิพนธ์นี้ได้ใช้อินเวอร์เตอร์ขนาด 3.7 kw 17 A รับคำสั่งการทำงานจากส่วนตัวควบคุม ซึ่งตัวควบคุมประกอบด้วยตัวประมวลผล (ARM 7024) ที่ถูกโปรแกรมให้เป็นตัวควบคุมฟิชชีแบบจัดการตัวเอง (self-organizing fuzzy controller) รับสัญญาณป้อนกลับจากตัวตรวจรู้อัตราเร็วผ่านทางตัวแปลงสัญญาณ A/D ตัวตรวจรู้อัตราเร็วเป็นแบบสะท้อนแสง อ่านແບບหัส ติดตั้งอยู่บริเวณส่วนต่อขยายของเพลามอเตอร์ 3 ตัว ซึ่งต่อขนาดกันรับไฟสัมภพ 220 V 50 Hz เพื่อขับใบมีดทั้ง 3 ชุดของเครื่องจักร



รูปที่ 6.13 โครงสร้างของระบบควบคุมเครื่องสับพืชผลทางการเกษตร

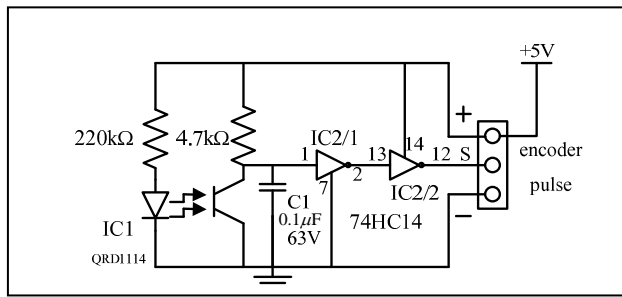


รูปที่ 6.14 แผนภาพบล็อกแทนสาร์คแวร์โดยรวมของระบบ

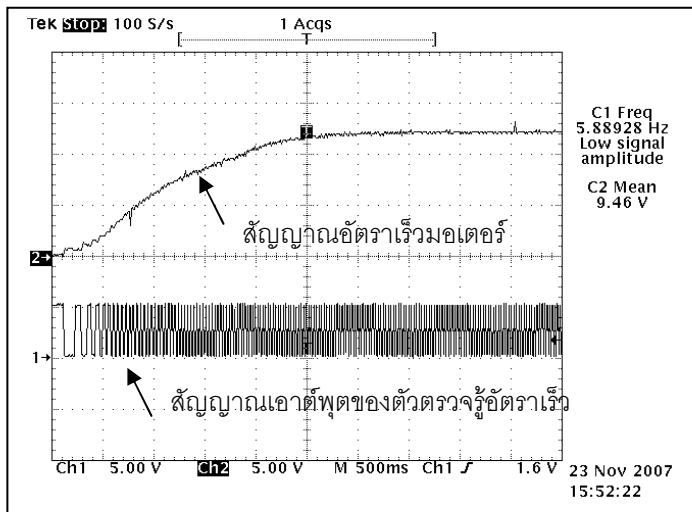
ระบบที่พัฒนาขึ้นเพื่อทดสอบแนวคิดและหลักการของการวิจัยนี้ มีโครงสร้างระบบโดยรวมดังแผนภาพบล็อกในรูปที่ 6.14 ประกอบด้วยวงจรตัวตรวจรู้อัตราเร็ว วงจรอัตโนมัติ ตัวตรวจรู้อัตราเร็ว ตัวประมวลผลระบบควบคุม วงจรขยายสัญญาณ อินเวอร์เตอร์ และมอเตอร์

6.3.1 วงจรตัวตรวจรู้อัตราเร็ว

ในการควบคุมอัตราเร็วของมอเตอร์ ได้ใช้ตัวตรวจรู้อัตราเร็วในการป้อนกลับสัญญาณ ข้อมูลอัตราเร็วของมอเตอร์ที่วัดได้ถูกส่งไปยังเครื่องบันทึกข้อมูลด้วย เพื่อทำการบันทึกข้อมูลอัตราเร็วของมอเตอร์ทุก ๆ 0.16 วินาที วงจรของตัวตรวจรู้ได้แสดงไว้ในรูปที่ 6.15 วงจรสังกัดล่าต้องใช้ไฟเลี้ยง +15 V มีส่วนรับและส่งแสงไปกระบวนการกับเอบรหัสที่ติดตั้งบนส่วนต่อขยายของเพลา สัญญาณที่ได้มีลักษณะเป็นพัลส์ มีจำนวนลูกคลื่นเปรตตามอัตราเร็วของมอเตอร์ เอบรหัสที่ใช้มีสีขาวสลับกับสีดำอย่างละ 10 แบบ แสงอินฟราเรดที่ส่งออกมากจากไฟโอล์ฟไทรานซิสเตอร์ IC1 QRD1114 จะสะท้อนกับเอบรหัส หากแสงกระแทกกับเอบรหัสสีดำ แสงสะท้อนที่ไฟโอล์ฟไทรานซิสเตอร์รับได้จะน้อย ทำให้เกิดลอจิก “1” ส่งไปยังส่วนจัดการสัญญาณดิจิตอลซึ่งประกอบด้วยนอตเกต IC2/1 และ IC2/2 74HC14 แต่ถ้าสะท้อนกับเอบรหัสสีขาวจะเกิดการสะท้อนแสงมาก ไฟโอล์ฟไทรานซิสเตอร์ทำงานได้ดีส่งผลให้เกิดลอจิก “0” เมื่อแกนเพลามอเตอร์หมุนเอบรหัสสีกึ่งหมุนเกิดการสะท้อนแสงสลับกันไปเรื่อย ๆ สัญญาณที่ได้จึงมีลักษณะเป็นสัญญาณขบวนพัลส์ (รูปที่ 6.16) ซึ่งถูกส่งไปยังอุปกรณ์อัตโนมัติ ตัวตรวจรู้อิกร่องต่อหนึ่ง ผ่านสายนำสัญญาณซึ่งจะได้ก่อตัวถึงในหัวข้อต่อไป



รูปที่ 6.15 วงจรตัวตรวจรืออัตราเร็ว



รูปที่ 6.16 รูปคลื่นสัญญาณอัตราเร็วของเตอร์และเอาต์พุตของตัวตรวจรืออัตราเร็ว

6.3.2 วงจรคัดกรองตัวตรวจรืออัตราเร็ว

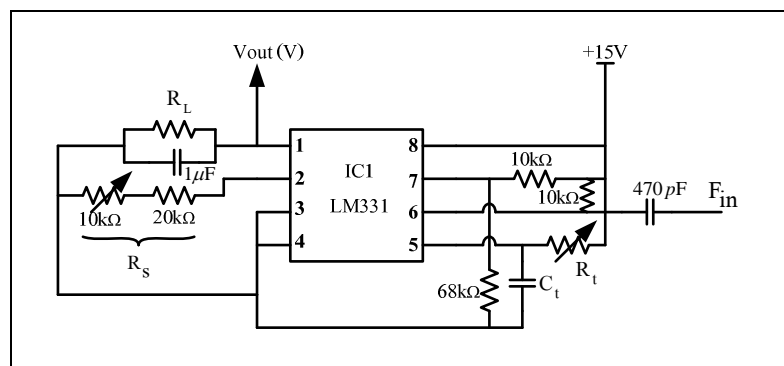
วงจรคัดกรองตัวตรวจรืออัตราเร็วในรูปที่ 6.17 มีทั้งหมด 3 ชุด แต่ละชุดคัดกรองตัวตรวจรือสัญญาณที่ได้จากการอ่านเข้ามาแล้ว วงจรดังกล่าวใช้ไฟเลี้ยง +15 V พร้อมทั้งวงจรรักษาระดับแรงดันเป็นแหล่งจ่ายกำลังให้แก่วงจร เมื่อสัญญาณขบวนพัลส์ที่ได้รับมาจากวงจrtัวตรวจรืออัตราเร็วในหัวข้อที่ผ่านมา สัญญาณขบวนพัลส์ที่ได้มีความถี่สัมพันธ์เป็นเชิงเส้นกับอัตราเร็วของมอเตอร์ก่อนที่สัญญาณจะเข้าสู่ตัวประมวลผลระบบควบคุม ต้องแปลงหรือคัดกรองตัวตรวจรือสัญญาณความถี่ดังกล่าวให้มีค่าเป็นระดับแรงดันที่มีขนาดไม่เกิน 2.5 V ตามพิกัดทางด้านอินพุตของตัวประมวลผลแรงดันเอาต์พุตของวงจรตามรูปที่ 6.17 ขึ้นอยู่กับความถี่ (f_{in}) ของสัญญาณอินพุตสัมพันธ์กับขนาดของความต้านทานและตัวเก็บประจุตามสมการ 6.2 (Robert, 1995)

$$V_{out} = f_{in} \times 2.09 \times \frac{R_L}{R_s} \times (R_t \times C_t) \quad (6.2)$$

โดยมีคำอธิบายถึงความต้องการระดับแรงดันสัมพันธ์กับอัตราเร็ว ดังต่อไปนี้

- ถ้าวงจรต่อครึ่งให้ระดับแรงดันออกมา 2.5 V อัตราเร็วรอบมอเตอร์ที่กำลังหมุนขณะนั้นคือ 1500 รอบต่อนาที และ
- ถ้าวงจรให้ระดับแรงดันออกมา 2.0 V อัตราเร็วรอบมอเตอร์ที่กำลังหมุนขณะนั้นคือ 1200 รอบต่อนาที

เมื่อพิจารณาความต้องการข้างต้นกับความสัมพันธ์ตามสมการ 6.2 เพื่อการออกแบบวงจร สามารถออกแบบวงจรให้มี $R_s=30\text{ k}\Omega$ $R_L=100\text{ k}\Omega$ $R_t=5\text{ k}\Omega$ และ $C_t=1\text{ }\mu\text{F}$ ความสัมพันธ์ระหว่างแรงดันและอัตราเร็วดังกล่าวเป็นแบบต่อเนื่องและเป็นเชิงเส้น อย่างไรก็ตาม สัญญาณที่ได้มีสัญญาณรบกวนปนเข้ามาด้วย เนื่องจากสายนำสัญญาณไม่มีการหุ้มฉนวนและเครื่องจักรมีการสั่นอยู่ตลอดเวลาขณะทำงาน ทำให้ตัวตรวจวัดเกิดการสั่นไหว ค่าที่ได้จึงอาจมีความคลาดเคลื่อนบางส่วน อาจแก้ไขได้ด้วยการใช้ตัวตรวจวัดที่มีอุปกรณ์เก็บและหน่วยข้อมูลก่อนส่งสัญญาณไปที่ตัวต่อครึ่ง ซึ่งอาจมีราคาที่แพง หมายเหตุกับงานในภาคอุตสาหกรรมขนาดใหญ่ แต่ในงานวิจัยนี้สัญญาณจากตัวตรวจวัดอัตราเร็วทั้ง 3 ชุด จะถูกแปลงเป็นสัญญาณดิจิตอลด้วย ADC ขนาด 12 bit ที่มีอยู่ภายใน ET-BASE ARM7024 ก่อนเข้าสู่ตัวประมวลผล MCU ADuC7024 การทำงานของ ADC ที่มีธรรมชาติเป็นตัวกรองตัวผ่านอยู่แล้ว สามารถช่วยลดทอนสัญญาณรบกวน จากการวัดอัตราเร็วรอบได้เป็นอย่างดี



รูปที่ 6.17 วงจรต่อครึ่งตัวตรวจวัดอัตราเร็ว

6.3.3 ตัวประมวลผลระบบควบคุม

สัญญาณที่ได้จากการจดอครหัสทั้ง 3 ชุด จะถูกส่งมายังตัวควบคุมฟิซซีแบบจัดการตัวเองผ่านสายส่งสัญญาณ ตัวควบคุมฟิซซีแบบจัดการตัวเองประกอบไปด้วย บอร์ด ET-BASE ARM7024 ที่มี ADUC7024 เป็นตัวประมวลผล สัญญาณจากตัวตรวจรู้ทั้ง 3 ชุด จะถูกแปลงเป็นสัญญาณดิจิตอลด้วย ADC ขนาด 12 bit ที่มีอยู่ในชิป ADUC7024 ก่อนเข้าสู่ตัวประมวลผล MCU ADUC7024 สัญญาณที่ได้จากตัวประมวลผลจะถูกแปลงกลับเป็นสัญญาณแอนะล็อก โดย DAC ขนาด 12 bit ที่มีอยู่ในชิป ADUC7024 เพื่อส่งออกไปควบคุมอินเวอร์เตอร์ ระดับแรงดันที่ออกจากบอร์ด ET-BASE ARM7024 มีค่าดังแต่ 0 ถึง 2.5 V ซึ่งมีความหมายคือ เมื่อระดับแรงดันมีค่า 0 อัตราเร็วโมเตอร์ที่ถูกควบคุมด้วยอินเวอร์เตอร์มีค่าเป็น 0 rpm แต่ถ้าระดับแรงดันมีค่า 2.5 V มอเตอร์จะถูกควบคุมให้มีอัตราเร็ว 1500 rpm

ET-BASE ARM7024 เป็นบอร์ดไมโครคอนโทรลเลอร์ในตรารถุล ARM7 ขนาด 64 Pin ซึ่งใช้ไมโครคอนโทรลเลอร์เบอร์ ADUC7024 ของ Analog Device เป็น MCU ประจำบอร์ด บรรจุอยู่ภายในตัวถังแบบ 64 Pin LQFP โดย MCU ตัวนี้มีความสามารถในการเชื่อมต่อกับสัญญาณแบบแอนะล็อกซึ่งมีทั้ง ADC ขนาด 12 bit จำนวน 10 ช่องสัญญาณ และ DAC ขนาด 12 bit จำนวน 2 ช่องสัญญาณ สามารถทำงานได้ด้วยความถี่สูงสุด 41.78 MHz โดยใช้ XTAL 32.768 kHz ร่วมกับวงจรคุณภาพถี่แบบลีกเฟสภายในตัว MCU นอกจากนี้แล้วยังมีหน่วยความจำแบบแฟลช ขนาด 62 kB และหน่วยความจำใช้งานแบบ RAM ขนาด 8 kB โปรแกรมที่พัฒนาขึ้นในงานวิจัยนี้จะได้ก่อตัวในหัวข้อที่ 6.4 ถูกแปลงเป็น hex file ด้วยโปรแกรม Keil uVision3 ซึ่งแสดงรายละเอียดโปรแกรมไว้ในภาคผนวก ข. หลังจากนั้นจะต้องทำการดาวน์โหลดไฟล์ให้กับหน่วยความจำของ MCU ในบอร์ด ขั้นตอนนี้จะใช้โปรแกรมชื่อ “ARMWSD” ของ Analog Device ซึ่งจะติดต่อกับ MCU ผ่านพอร์ตต่อนุกรมของคอมพิวเตอร์ โปรแกรม ARMWSD (ARM Windows Serial Download) เป็นโปรแกรมสำหรับไมโครคอนโทรลเลอร์ตรารถุล ARM ของ Analog Device โดยสามารถใช้สนับสนุนการพัฒนาโปรแกรมของไมโครคอนโทรลเลอร์ ตรารถุล ARM7 ที่ผลิตโดย Analog Device ได้หลายเบอร์ รวมถึง ADUC7024 ด้วย โปรแกรมจะทำงานภายใต้ระบบปฏิบัติการของ Windows9X/Me/NT/2000 และ Windows XP สนับสนุนการเชื่อมต่อกับระบบ seri얼 RS232

6.3.4 วงจรขยายสัญญาณ

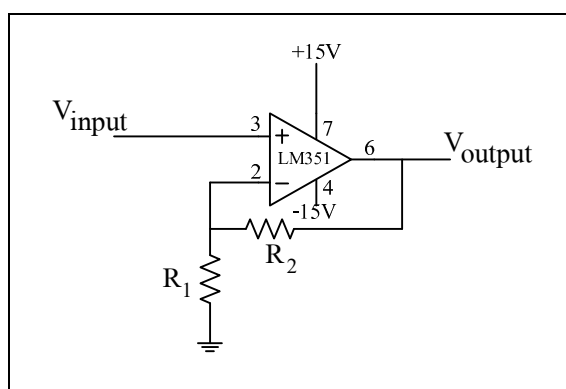
สัญญาณที่ได้ออกมาจาก ADC ของบอร์ด ET-BASE ARM7024 จะมีขนาด 0-2.5 V แต่ในการควบคุมอินเวอร์เตอร์ที่จะได้ก็ล่าวainหัวข้อต่อไปจะต้องใช้ระดับแรงดัน 0-5 V จึงต้องทำการปรับความชันสัญญาณให้เป็น 0-5 V ก่อนเข้าอินเวอร์เตอร์ โดยใช้วงจรในรูปที่ 6.18 เป็นวงจรปรับความชันหรือวงจรขยายสัญญาณแบบไม่กลับเฟส ในการวิจัยนี้ต้องทำการขยายสัญญาณให้เป็น 2 เท่า ของระดับแรงดันอินพุต มีความสัมพันธ์ระหว่างแรงดันเอาต์พุตกับแรงดันอินพุตแสดงได้ด้วยสมการที่ 6.3

$$V_{\text{output}} = \left(1 + \frac{R_2}{R_1} \right) V_{\text{input}} \quad (6.3)$$

ระดับแรงดันที่ออกมานั้นมีความหมายดังนี้

- ถ้าสัญญาณเอาต์พุตจากการปรับความชันมีระดับแรงดัน 5 V อินเวอร์เตอร์จะสวิตช์ที่ความถี่ 50 Hz
- ถ้าสัญญาณเอาต์พุตจากการปรับความชันมีระดับแรงดัน 4 V อินเวอร์เตอร์จะสวิตช์ที่ความถี่ 40 Hz

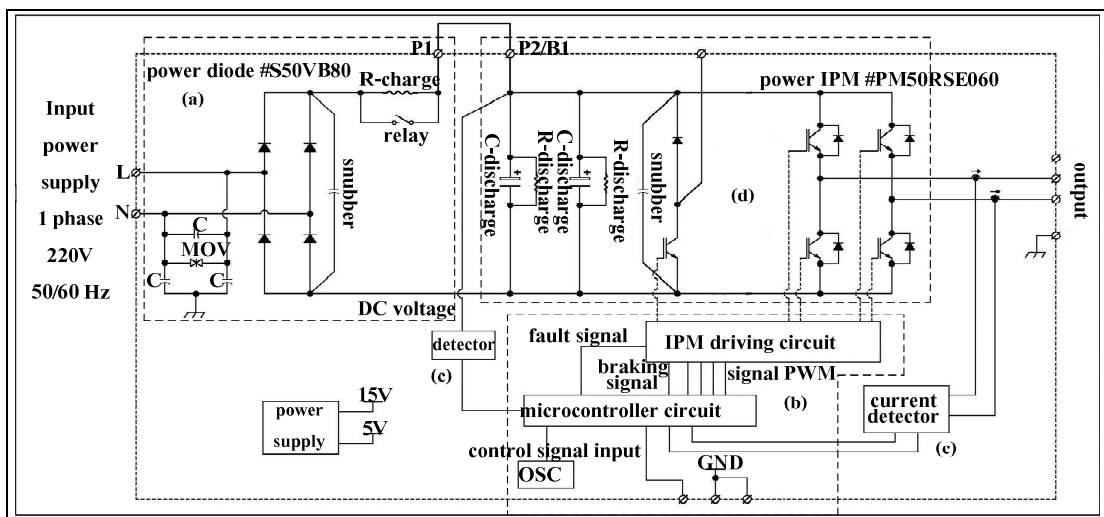
ความถี่ดังกล่าวสัมพันธ์กับอัตราเร็วรอบมอเตอร์ดังที่ได้อธิบายไว้แล้วก่อนหน้านี้ ความสัมพันธ์ระหว่างแรงดันและความถี่มีรูปแบบค่อเนื่องเชิงเส้น ในย่านของการวิจัยนี้ สัญญาณเอาต์พุตจากการปรับความชันเป็นสัญญาณที่ควบคุมอินเวอร์เตอร์สำหรับการขับมอเตอร์



รูปที่ 6.18 วงจรขยายสัญญาณ (ปรับความชัน)

6.3.5 อินเวอร์เตอร์

เมื่อสัญญาณการควบคุมจากตัวควบคุมถูกขยายให้มีขนาดเป็น 2 เท่า ด้วยวงจรปรับความชันแล้ว จะถูกส่งมาควบคุมการทำงานของอินเวอร์เตอร์ดังแสดงในรูปที่ 6.19 อินเวอร์เตอร์ที่ใช้ในงานวิจัยนี้มีอินพุตเป็นไฟฟ้ากระแสสลับจากแหล่งจ่าย 220 V 50 Hz แรงดันไฟฟ้ากระแสสลับถูกแปลงเป็นไฟฟ้ากระแสตรงโดยวงจรคอนเวอร์เตอร์ จากนั้นไฟฟ้ากระแสตรงดังกล่าวจะถูกแปลงเป็นไฟฟ้ากระแสสลับที่สามารถแปรขนาดแรงดันและความถี่ได้โดยวงจรอินเวอร์เตอร์ วงจรทั้งสองส่วนนี้เป็นวงจรหลักที่ทำหน้าที่แปลงรูปคลื่นและส่งผ่านพลังงานของอินเวอร์เตอร์ นอกจากนั้นยังมีวงจรควบคุมการทำงานของทั้งสองส่วน ในงานวิจัยวิทยานิพนธ์นี้ใช้อินเวอร์เตอร์ของบริษัท APY ENGINEERING รุ่น Frecon F005i-2x ขนาดพิกัด 220 V 5 HP 3.7 kW 17 A ที่ใช้ขั้มนอยเตอร์เหนี่ยวนำไฟเดียว พิกัด 220 V 1 HP 5.2 A ที่ต่อขนานกัน 3 ตัว รูปที่ 6.19 แสดงโครงสร้างภายในของอินเวอร์เตอร์ ประกอบด้วย วงจรแปลงผันแรงดันไฟฟ้ากระแสสลับเป็นไฟฟ้ากระแสตรง (a) ตัวประมวลผลและสร้างสัญญาณขับนำ (b) อุปกรณ์ป้องกันกระแสและแรงดันเกิน (c) ตัว IPM50RSE060 ทำหน้าที่เป็นสวิตซ์อิเล็กทรอนิกส์แปลงผันแรงดันไฟฟ้ากระแสตรงเป็นไฟฟ้ากระแสสลับ (d) ที่มีขนาดแรงดันและความถี่สำหรับจ่ายให้มอเตอร์สอดคล้องกับสัญญาณควบคุม



รูปที่ 6.19 โครงสร้างภายในของอินเวอร์เตอร์ รุ่น Frecon F005i-2x

ขนาดพิกัด 5 HP 3.7 kW 17 A

6.4 โปรแกรมประมวลผลระบบควบคุมด้วยตัวควบคุมฟิซซีแบบจัดการตัวเอง

ในการควบคุมการขับเคลื่อนมอเตอร์ไฟเดี่ยวที่ต่อขนาดกันหลาຍตัวด้วยอินเวอร์เตอร์ เพียงชุดเดียว ด้วยตัวควบคุมฟิซซีแบบจัดการตัวเองในงานวิจัยวิทยานิพนธ์นี้ อาศัยโปรแกรมและตารางฟิซซีที่ถูกเขียนลงบอร์ด ET-BASE ARM7024 โปรแกรมที่พัฒนาขึ้นมี 2 ส่วนใหญ่ ๆ ด้วยกัน กล่าวคือ ส่วนของโปรแกรมควบคุมฟิซซีแบบจัดการตัวเอง และโปรแกรมสำหรับควบคุมการแปลงและรับส่งข้อมูลกับอุปกรณ์ภายนอก ในส่วนของโปรแกรมควบคุมฟิซซีแบบจัดการตัวเอง แบ่งออกเป็นโปรแกรมหลักสำหรับประมวลผลตัวแปรและกำหนดค่าพารามิเตอร์ต่าง ๆ แสดงในรูปที่ 6.20 ส่วนของการรับค่าจากตัวตรวจรู้มาดำเนินการทางฟิซซิฟิกชันแสดงได้ด้วยรูปที่ 6.21 ส่วนของโปรแกรมประมวลผลด้วยกระบวนการทางฟิซซีแบบจัดการตัวเองแสดงได้ด้วยรูปที่ 6.22 ส่วนของโปรแกรมการเปิดตาราง (lookup table) ฟิซซีเพื่อใช้ในการคำนวณแสดงได้ด้วยรูปที่ 6.23 และส่วนของตารางฟิซซีแบบจัดการตัวเองแสดงได้ด้วยรูปที่ 6.24

ในส่วนโปรแกรมที่เกี่ยวกับการเชื่อมต่อ กับภายนอกประกอบไปด้วย โปรแกรมส่วนของการแปลงสัญญาณแอนะลอกเป็นดิจิตอลแสดงได้ด้วยรูปที่ 6.25 ส่วนของการแปลงสัญญาณดิจิตอลเป็นแอนะลอกแสดงได้ด้วยรูปที่ 6.26 และส่วนสุดท้ายแสดงได้ด้วยรูปที่ 6.27 คือส่วนของโปรแกรมรับและส่งข้อมูลผ่านทางพอร์ต seri얼 RS232 โดยอาศัย UART ซึ่งโดยทั่วไปมิใช้งานกันอยู่ 2 เบอร์ คือ 8250 และ 16450 ในงานนี้ใช้เบอร์ 16450 เนื่องจากมีความเร็วในการรับส่งข้อมูลที่สูงกว่า มีรีจิสเตอร์สำหรับพักข้อมูล และมีชิฟต์รีจิสเตอร์แบบ FIFO (first in first out) ขนาด 16 B ทำให้สามารถสนับสนุนความเร็วในการรับส่งข้อมูลที่ 256 kB/s

```

//=====
//Self Organizing fuzzy controller
// Program For "ET BASE ARM ADuC7024" Board
// Target MCU : Analog Device ADuC7024
// : X TAL : 32,768 KHz
// : Run Speed 41.78 MHz (With PLL)
// : Select CD:CPU Clock Divider = 0
// Keil Editor : uVision3 V3.03a
// Compiler : Keil CARM V2.50a
//=====

#include <ADuC7024.h> //ADuC7024 MPU Register
#include <stdio.h> // For Used Function printf
#include <math.h>

#define EN_DECODE_TB_ROWS 16
#define EN_DECODE_TB_COLS 11
#define FUZ_SET_TB_ROWS 12
#define FUZ_SET_TB_COLS 12
#define Hold_Speed 4.0
#define Fuzzy_Gain 0.5 // Range [0.1 to 1.0]
#include "ADuC7042_Srl.c"
#include "ADuC7042_ADC.c"
#include "ADuC7042_DAC.c"
#include "CM_Fuzzy.c"
double Chopping_Machine_Fuzzy(double speed_motor0,
                               double speed_motor1,
                               double speed_motor2);

int main(void)
{
    Initial_Serial();
    Initial_ADC0;
    Initial_DAC0;
    printf(" CM Fuzzy Control\n");
    // Call printf Function

    New_Start:
    V_Oper = 4.0;
    DAC_Out = (V_Oper / 2.0) * 4096 / 2.5; // Scale to 0xFFFF
    DAC0DAT = ((int)DAC_Out) << 16; // ADuC = 32 bit Data is
                                    // DDDDDXXX

    Wait_Start:
    sMotor0 = 2.0 * ADC_Read(2); // Fuzzy Input 5.0V
    printf("Wait Start to 1200 rpm \n");
    Delay(500000);
    if (sMotor0 >= 4.0) goto Wait_Start;

    while(1) // Loop Continue
    {
        sMotor0 = 2.0 * ADC_Read(2); // Fuzzy Input 5.0V
        sMotor1 = 2.0 * ADC_Read(4);
        sMotor2 = 2.0 * ADC_Read(6);
        //if (sMotor0 < 0.5) goto New_Start;
        V_Oper = Chopping_Machine_Fuzzy(sMotor0,sMotor1,sMotor2);
        DAC_Out = (V_Oper / 2.0) * 4096 / 2.5; // Scale to 0xFFFF
        DAC0DAT = ((int)DAC_Out) << 16; // ADuC = 32 bit Data is
                                         // DDDDDXXX
        printf(" #Vo:%.6f%.4f%.6f%.4f",sMotor0,sMotor1,sMotor2);
        printf(" #Vo:%.6f%.4f%.4f",V_Oper,V_Oper/2.0);
        Delay(500000);
    }
}

```

รูปที่ 6.20 ส่วนของโปรแกรมหลักสำหรับกำหนดค่าพารามิเตอร์ต่าง ๆ

```

//=====
//=====
double fuzzy_error(double error)
{
    return enfuzzy(error) * 10.0;
}

// =====
//=====
double fuzzy_change_in_error(double error)
{
    return enfuzzy(error) * 100.0;
}

// =====
//=====
doublefuzzy( const double fuzzy_table[FUZ_SET_TB_ROWS][FUZ_SET_TB_COLS],
              doublef1,doublef2)
{
    int i, j;
    doublelower,upper;
    // printf("\n\n Print Test Data in Fuzzy Table ");
    for(i=0;i<FUZ_SET_TB_ROWS-1;i++)
    {
        // {
            printf("\nRow %d >",i);
            for(j=0;j<FUZ_SET_TB_COLS-1;j++)
                printf("%7.3f",fuzzy_table[i][j]);
            //
        }
        //=====
        // check f1 ====
        if(f2 >=(fuzzy_table[FUZ_SET_TB_ROWS-1][0] +
                  fuzzy_table[FUZ_SET_TB_ROWS-2][0]) / 2.0)
        {
            i = FUZ_SET_TB_ROWS-1;
        }
        else
        {
            for (i = 2; i < FUZ_SET_TB_ROWS - 1; i++)
            {
                lower = (fuzzy_table[i][0] + fuzzy_table[i+1][0]) / 2.0;
                upper = (fuzzy_table[i][0] + fuzzy_table[i+1][0]) / 2.0;
                if ((lower < f2) && (f2 <= upper))
                    break;
            }
        }
        //=====
        // check f2 ====
        if (f2 <= (fuzzy_table[1][0] + fuzzy_table[2][0]) / 2.0)
        {
            i = 1;
        }
        else
        {
            for (j = 2; j < FUZ_SET_TB_COLS-1; j++)
            {
                lower = (fuzzy_table[0][j] + fuzzy_table[0][j+1]) / 2.0;
                upper = (fuzzy_table[0][j] + fuzzy_table[0][j+1]) / 2.0;
                if ((lower < f1) && (f1 <= upper))
                    break;
            }
        }
    }
    return fuzzy_table[i][j];
}

```

รูปที่ 6.21 โปรแกรมส่วนของการรับค่าจากตัวตรวจเชิงมำดำเนินการทางฟิชชี

```

// Fuzzy Control for Choopping Machine Process
//=====
=====double Choppling_Machine_Fuzzy( double speed_motor0,
double speed_motor1,
double speed_motor2 )
{
    double speed_error0 = 0.0;
    double error_first0 = 0.0;
    double V_Oper = 0.0;
    double speed_motor_all, control_signal, Vcon;
    double a1, a2, speed_error1, error_first1;

    speed_motor_all = (speed_motor0 + speed_motor1
+ speed_motor2) / 3.0;
    speed_error1 = (speed_motor_all - Hold_Speed )
/ Hold_Speed;
}

a1 = fuzzy_error(speed_error1);
a2 = fuzzy_change_in_error((speed_error1 - speed_error0));
//printf("a1,a0:%.7.4f,%7.4f ",a1,a2);

speed_error0 = speed_error1;
error_first1 = f1_and_f2(a1, a2);
//printf("Er_1st1:%.7.4f ",error_first1);

control_signal = f1_and_f2_self(error_first1, (error_first1-error_first0));
//printf("Ctrl_Sgn:%.7.4f ",control_signal);

error_first0 = error_first1;
Vcon = defuzzy(control_signal);
printf("#DefZ:%.7.4f",Vcon);

V_Oper = Hold_Speed - ( Vcon * Fuzzy_Gain / 10.0 );
return V_Oper;
}

```

รูปที่ 6.22 โปรแกรมส่วนของกระบวนการฟิวซ์แบบจัดการตัวเอง

```

//== Look Table For Print out Test Decode Fuzzzy Table === //== Look Table For Print out Test Encode Fuzzzy Table ===
// printf("\n\n\n Look Table For Print out Test Decode fuzzy Table "); // printf("\n\n\n Look Table For Print out Test Encode fuzzy Table ");

// for (i=0;i<=EN_DECODE_TB_ROWS-1;i++)
// {
//     printf("\nRow %d >",i);
//     for (j=0;j<=EN_DECODE_TB_COLS-1;j++)
//         printf("%7.3f,",error_table[i][j]);
// }

if (error<error_table[0][0])
{
    i = 0;
}
else if (error >= error_table[EN_DECODE_TB_ROWS-1][0])
{
    i = EN_DECODE_TB_ROWS-1;
}
else
{
    for (i=1; i<EN_DECODE_TB_ROWS-1; i++)
    {
        if ((error_table[i-1][0]<error)&&(error<error_table[i][0]))
            break;
    }
}

// Calculate F when F = Num/Den
// Num = (H_1 * C_1) + (H_2 * C_2) + (H_3 * C_3) +
(H_4 * C_4) + (H_5 * C_5)
// Den = (H_1 + H_2 + H_3 + H_4 + H_5)
num = 0;
den = 0;
for (j=1; j<EN_DECODE_TB_COLS-1; j+=2)
{
    num += (error_table[i][j] * error_table[i][j+1]);
    den += error_table[i][j];
}

return (num / den);
}

// for (i=0;i<=EN_DECODE_TB_ROWS-1;i++)
// {
//     printf("\nRow %d >",i);
//     for (j=0;j<=EN_DECODE_TB_COLS-1;j++)
//         printf("%7.3f,",cs_table[i][j]);
// }

if (cs < cs_table[0][0])
{
    i = 0;
}
else if (cs >= cs_table[EN_DECODE_TB_ROWS-1][0])
{
    i = EN_DECODE_TB_ROWS-1;
}
else
{
    for (i=1; i<EN_DECODE_TB_ROWS-1; i++)
    {
        if ((cs_table[i-1][0] <= cs) && (cs < cs_table[i][0]))
            break;
    }
}

// Calculate Fcon when Fcon = Num/Den
// Num = (Hcon_1 * Ccon_1) + (Hcon_2 * Ccon_2) +
(Hcon_3 * Ccon_3)
// Den = (Hcon_1 + Hcon_2 + Hcon_3 + Hcon_4 + Hcon_5);
num = 0;
den = 0;
for (j=1; j < EN_DECODE_TB_COLS-1; j += 2)
{
    num += (cs_table[i][j] * cs_table[i][j+1]);
    den += cs_table[i][j];
}

return (num / den);
}

```

รูปที่ 6.23 โปรแกรมส่วนของการเปิดตารางฟิวซ์เพื่อใช้ในการคำนวณค่าการควบคุม

```

//-----
double f1_and_f2(double f1, double f2)
{
    const double fuzzy_table[FUZ_SET_TB_ROWS][FUZ_SET_TB_COLS] = {
        // F2 \ F1
        {9999, -1, -0.8, -0.6, -0.4, -0.2, 0, 0.2, 0.4, 0.6, 0.8, 1},
        {-1, 1, 1, 1, 1, 1, 0.8, 0.6, 0.3, 0.1, 0},
        {-0.8, 1, 1, 1, 1, 1, 0.8, 0.6, 0.3, 0.1, 0, -0.1},
        {-0.6, 1, 1, 1, 1, 0.8, 0.6, 0.3, 0.1, 0, -0.1, -0.3},
        {-0.4, 1, 1, 1, 0.8, 0.6, 0.3, 0.1, 0, -0.1, -0.3, -0.6},
        {-0.2, 1, 1, 0.8, 0.6, 0.3, 0.1, 0, -0.1, -0.3, -0.6, -0.8},
        {0, 1, 0.8, 0.6, 0.3, 0.1, 0, -0.1, -0.3, -0.6, -0.8, -1},
        {0.2, 0.8, 0.6, 0.3, 0.1, 0, -0.1, -0.3, -0.6, -0.8, -1, -1},
        {0.4, 0.6, 0.3, 0.1, 0, -0.1, -0.3, -0.6, -0.8, -1, -1, -1},
        {0.6, 0.3, 0.1, 0, -0.1, -0.3, -0.6, -0.8, -1, -1, -1, -1},
        {0.8, 0.1, 0, -0.1, -0.3, -0.6, -0.8, -1, -1, -1, -1, -1},
        {1, 0, -0.1, -0.3, -0.6, -0.8, -1, -1, -1, -1, -1, -1}
    };
    return fuzzy(fuzzy_table, f1, f2);
}

//-----
double f1_and_f2_self(double f1, double f2)
{
    const double fuzzy_table[FUZ_SET_TB_ROWS][FUZ_SET_TB_COLS] = {
        // F2 \ F1
        {9999, -1, -0.8, -0.6, -0.4, -0.2, 0, 0.2, 0.4, 0.6, 0.8, 1},
        {-1, 1, 1, 1, 1, 1, 0.8, 0, 0, 0, 0, 0},
        {-0.8, 1, 1, 1, 1, 0.8, 0.6, 0, 0, 0, 0, 0},
        {-0.6, 1, 1, 1, 0.8, 0.6, 0.3, 0, 0, 0, 0, 0},
        {-0.4, 1, 1, 0.8, 0.6, 0.3, 0.1, 0, 0, 0, 0, 0},
        {-0.2, 1, 0.8, 0.6, 0.3, 0.1, 0, 0, 0, 0, 0, 0},
        {0, 0.8, 0.6, 0.3, 0.1, 0, 0, 0, -0.1, -0.3, -0.6, -0.8},
        {0.2, 0, 0, 0, 0, 0, -0.1, -0.3, -0.6, -0.8, -1},
        {0.4, 0, 0, 0, 0, 0, -0.1, -0.3, -0.6, -0.8, -1, -1},
        {0.6, 0, 0, 0, 0, 0, -0.3, -0.6, -0.8, -1, -1, -1},
        {0.8, 0, 0, 0, 0, 0, -0.6, -0.8, -1, -1, -1, -1},
        {1, 0, 0, 0, 0, 0, -0.8, -1, -1, -1, -1, -1, -1}
    };
    return fuzzy(fuzzy_table, f1, f2);
}

```

รูปที่ 6.24 โปรแกรมส่วนของตารางค่าฟิชชีฟิล์มชั้นที่ 1 และชั้นที่ 2 ของฟิชชีแบบจัดการตัวเอง

```

===== float ADC_Read(int channel)
// ADuC7042_ADC: Procedure ADC for
// ET-BASE ARM ADUc7024
=====
void Initial_ADC(void) {
    // Power-ON ADC
    {
        ADCCON = 0x00000000;
        // Reset ADC Config
        ADCCON |= 0x00000020;
    }
    // Power-ON ADC Function
    Delay(1000);
    // Wait ADC Power-on Ready
    ADCCON |= 0x00001400;
    // ADC Clock = fADC/32
    ADCCON |= 0x00000300;
    // Acquisition Time
    = 16 Cycle Clock
    ADCCON &= 0xFFFFFE7;
    // ADC = Single-End Mode
    ADCCON |= 0x00000004;
    // Continue Software Convert
    REFCON = 0x00000001;
    // Used Internal 2.5V Reference
    ADCCON |= 0x00000080;
    // ADC Start Conversion
}
===== float volt;
// ADC Result Volt
unsigned int val;
// ADC Result (HEX)
ADCCP = channel;
// Select Channel to Conversion 0-9
Delay(1000);
// Wait Select Channel Ready
while (!ADCSTA){};
// Wait ADC Conversion
Complete(Bit0=="1")
val = (ADCDAT >> 16) & 0x00000FFF;
// Shift ADC
Result to Integer
volt = val * (2.50 / 4096.0);
// Volt = ADC Result x [2.5V / 4095]
return (volt);
}

```

รูปที่ 6.25 โปรแกรมควบคุมการทำงานส่วนของการแปลงสัญญาณและลอกปืนสัญญาณดิจิตอล

```

//=====
// ADUc7042_DAC: Procedure DAC for ET-BASE ARM ADUc7024
//=====
void Initial_DAC(void) // Initial DAC0
{
    DAC0CON &= 0xDF; // DAC0 Used System Clock
    DAC0CON |= 0x10; // Enable DAC0
    DAC0CON |= 0x02; // DAC1 Output Range = +Vref..AGND
    REFCON = 0x01; // Used Internal 2.5V Reference
    // Initial DAC1
    DAC1CON &= 0xDF; // DAC0 Used Sysytem Clock
    DAC1CON |= 0x10; // Enable DAC1
    DAC1CON |= 0x02; // DAC1 Output Range = +Vref..AGND
    REFCON = 0x01; // Used Internal 2.5V Reference
}

```

รูปที่ 6.26 โปรแกรมควบคุมการทำงานส่วนของการแปลงสัญญาณดิจิตอลเป็นสัญญาณอนาล็อก

```

//=====
// SERIAL.C : Initial UART For ET-BASE ARM ADUc7024
//=====
#define CR 0x0D // Enter Code
//-----
// Delay Time Function 1-4294967296
//-----
void Delay(unsigned long int count1)
{
    while(count1 > 0) {count1--;}
    // Loop Decrease Counter
}
//-----
// Initial UART = 9600, N, 8, 1 when Uclk = 41.78 MHz
//-----
void Initial_Serial(void)
{
    GP1CON &= 0xFFFFFFFCC;
    // Reset P1.1 & P1.0 Pin Function
    GP1CON |= 0x00000011;
    // Setup P1.1 = TXD & P1.0 = RXD
    // Initial UART = 9600BPS
    COMCON0 = 0x80;
    // Setting DLAB
    COMDIV0 = 0x88;
    // Setting DIV0 and DIV1 to DL calculated
    COMDIV1 = 0x00;
    COMCON0 = 0x07;
    // Clearing DLAB
}
//-----
// Write Character To UART using for scanf command
//-----
int putchar(int ch)
{
    if(ch == '\n')
    {
        while (!(0x40==(COMSTA0 & 0x40)))
        {
            COMTX = CR;
        }
        while (!(0x40==(COMSTA0 & 0x40)))
        {
            COMTX = ch;
        }
        return (COMTX = ch);
    }
}
//-----
// Read Character From UART using for printf command
//-----
int getchar (void)
{
    // Read character from Serial Port
    while (!(0x01==(COMSTA0 & 0x01)))
    // Wait Receive Data Ready
    {
        COMRX;
    }
    return (COMRX);
}

```

รูปที่ 6.27 โปรแกรมส่วนของการเชื่อมต่อสัญญาณรับและส่งแบบอนุกรม RS232

6.5 สรุป

เครื่องจักรกลทางการเกษตรที่ได้พัฒนาขึ้นตามสิทธิบัตรการประดิษฐ์ เลขที่คำขอ 0701002473 มีลักษณะเด่นเฉพาะของของโครงสร้าง คือ สามารถถอดแยกใช้งานได้ในแต่ละชั้น ตามความเหมาะสมของกระบวนการผลิต เนื่องจากในแต่ละชั้นมีมอเตอร์สำหรับใช้ในการขับเคลื่อนและใบมีดที่ได้รับการประดิษฐ์คิดค้นให้มีความคงทน ทึ้งความคมและความคงรูปทางกายภาพ ตามกระบวนการที่ได้ก่อร่องไว้ และมีรูปลักษณะแตกต่างกันในแต่ละชั้นเพื่อให้สามารถปรับเปลี่ยนหรือเลือกใช้ในแต่ละกระบวนการผลิตที่หลากหลายรูปแบบ

วัสดุที่นำมาทำใบมีดในงานวิจัยวิทยานิพนธ์นี้ ผลิตมาจากเหล็กเสื่อมสภาพที่มีปริมาณคาร์บอนสูง ซึ่งเหล็กชนิดนี้จะมีความแข็งแต่ไม่เหนียวแตกหักง่ายเมื่อได้รับแรงกระแทก การที่จะนำเหล็กดังกล่าวมาทำการขึ้นรูปเป็นใบมีดสำหรับเครื่องจักรกลของงานวิจัยนี้ จำเป็นจะต้องได้รับการปรับแปรให้มีความแข็งและเหนียวด้วยกระบวนการตามที่ได้จดสิทธิบัตรการประดิษฐ์ เลขที่คำขอ 0701000717 และทำการขึ้นรูปใบมีดตามสิทธิบัตรการประดิษฐ์ชุดในมีดคงแบบเป็นพวง เลขที่คำขอ 0701000718 สิทธิบัตรการประดิษฐ์ใบมีดสับและกระบวนการขึ้นรูปใบมีดสับ เลขที่คำขอ 0701000717 สิทธิบัตรการประดิษฐ์ปลอกยึดใบมีดสับแบบปรับมุม ได้และชุดในมีดสับแบบปรับมุม ได้ เลขที่คำขอ 0701000719 สิทธิบัตรการประดิษฐ์ในร่องสับ เลขที่คำขอ 0701000720 และสิทธิบัตรการประดิษฐ์ใบมีดเนื่อง เลขที่คำขอ 0701001328

ระบบควบคุมฟิชชีแบบจัดการตัวเองถูกโปรแกรมขึ้นด้วยภาษา C ซึ่งต้องดาวน์โหลดลง MCU ด้วยโปรแกรม ARMWSD (ARM Windows Serial Download) ผ่าน RS232 มีตัวตรวจวัดความเร็วรอบมอเตอร์แบบอ่านรหัสແບນสะท้อนแสงติดตั้งอยู่บริเวณส่วนต่อข่ายเพลาของมอเตอร์ เป็นตัวสร้างสัญญาณป้อนกลับให้แก่ระบบควบคุม ผ่านวงจรดอร์หัสเพื่อแปลงสัญญาณเข้าสู่ตัวควบคุมฟิชชีแบบจัดการตัวเอง ที่ใช้บอร์ด ET-BASE ซีพียู ARM 7024 ทำการประมวลผล สร้างสัญญาณควบคุมไปส่งการทำงานของอินเวอร์เตอร์ผ่านวงจรขยายสัญญาณหรือปรับความชันสองเท่า อินเวอร์เตอร์ที่ใช้ในการวิจัยนี้จะต้องใช้ในการขับเคลื่อนมอเตอร์ที่ต่อนานกัน 3 ตัว แต่ในขณะเริ่มเดินมอเตอร์แต่ละตัวใช้กระแสที่สูงกว่าช่วงคงตัว ดังนั้น ในการเริ่มเดินเครื่องจึงต้องมีวิธีการเริ่มเดินที่เหมาะสมสมกับกำลังของอินเวอร์เตอร์ ซึ่งจะได้ก่อร่องในบทต่อไป

โปรแกรมที่งานวิจัยวิทยานิพนธ์นี้ได้พัฒนาขึ้นในส่วนของการควบคุม แบ่งได้เป็น 2 ส่วน ใหญ่ ๆ ด้วยกัน กล่าวคือ ส่วนของโปรแกรมควบคุมฟิชชีแบบจัดการตัวเอง และโปรแกรมสำหรับควบคุมการแปลงและรับส่งข้อมูลกับอุปกรณ์ภายนอก ในส่วนของโปรแกรมควบคุมฟิชชีแบบจัดการตัวเอง แบ่งออกเป็น โปรแกรมหลักสำหรับประกาศตัวแปรและกำหนดค่าพารามิเตอร์ต่าง ๆ ส่วนของการรับค่าจากตัวตรวจรูปมาดำเนินการทางฟิชชี ส่วนของโปรแกรมประมวลผลด้วย

กระบวนการทางฟิชชีแบบจัดการตัวเอง ส่วนของโปรแกรมการเปิดตาราง (lookup table) ฟิชชีเพื่อใช้ในการคำนวณ และส่วนของตารางฟิชชีแบบจัดการตัวเอง ในส่วนโปรแกรมที่เกี่ยวกับการเชื่อมต่อกับอุปกรณ์ภายนอกประกอบไปด้วย โปรแกรมในส่วนของการรับและส่งข้อมูลผ่านทางพอร์ตอนุกรม ส่วนของการแปลงสัญญาณแอนะล็อกเป็นดิจิตอล และส่วนสุดท้ายคือการแปลงสัญญาณดิจิตอลเป็นแอนะล็อก โปรแกรมในแต่ละส่วนที่กล่าวมานี้ได้แสดงรายละเอียดของโปรแกรมไว้ในภาคผนวก ๖.

บทที่ 7

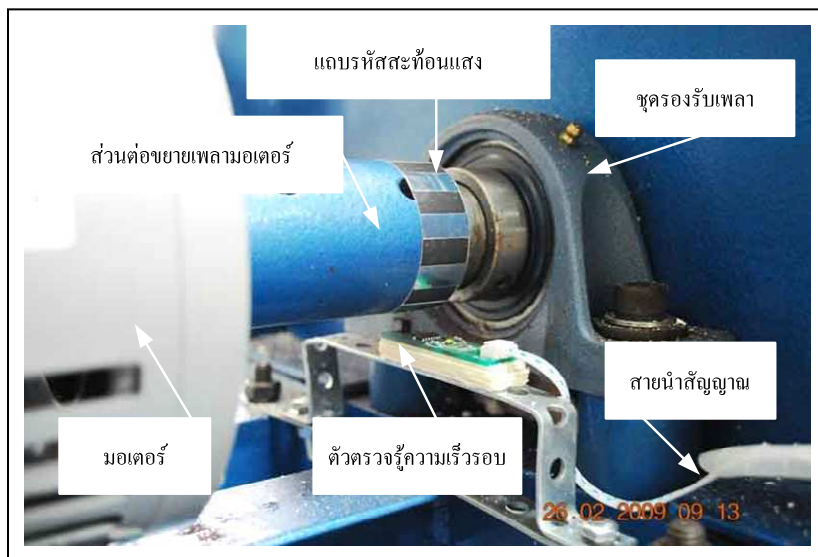
การทดสอบระบบและอภิปรายผล

7.1 บทนำ

ระบบที่พัฒนาขึ้นเพื่อทดสอบแนวคิดและหลักการของการวิจัยนี้ มีโครงสร้างดังแผนภาพในรูปที่ 7.1 เครื่องสับพืชผลทางการเกษตรที่ประดิษฐ์ขึ้นขับด้วยมอเตอร์เห็นได้ชัดเจน 3 ตัว ต่อขนาดกัน ขับด้วยอินเวอร์เตอร์ตัวเดียว (Frecon 3.7 kW 17 A) การสวิตซ์ของอินเวอร์เตอร์ ถูกควบคุมด้วยสัญญาณเอาต์พุตของตัวควบคุมพิซซีของงานวิจัยนี้ซึ่งใช้ชิปยุ่ง ARM 7024 โดยรับสัญญาณป้อนกลับจากตัวตรวจรู้อัตราเร็วของมอเตอร์ อุปกรณ์ทางชาร์ดแวร์ทั้งหมดจัดตั้งที่ห้องปฏิบัติการ 3206 อาคารเครื่องมือ 3 มหาวิทยาลัยเทคโนโลยีสุรนารี จังหวัดนครราชสีมา ซึ่งจะเห็นเครื่องสับพืชติดตั้งมอเตอร์ 3 ตัว ชุดใบมีดและตัวถัง วัสดุที่ใช้ทดสอบระบบประกอบด้วยมันสำปะหลัง กะลามะพร้าว และไข่มะพร้าว เครื่องบันทึกข้อมูลจะทำการบันทึกข้อมูลการทำงานของตัวควบคุมพิซซีและอัตราเร็วของมอเตอร์ทุก ๆ 0.16 วินาที ต่อ 1 จุดข้อมูล ดังกล่าวจะได้มาจากการตัวตรวจรู้ที่ติดตั้งอยู่บริเวณใต้เพลาและมีแถบหัสสะท้านแสงติดอยู่บริเวณส่วนต่อขยายของเพลาดังแสดงในรูปที่ 7.2



รูปที่ 7.1 อุปกรณ์สำหรับใช้ในการทดสอบระบบพร้อมทั้งวัสดุทดสอบระบบ



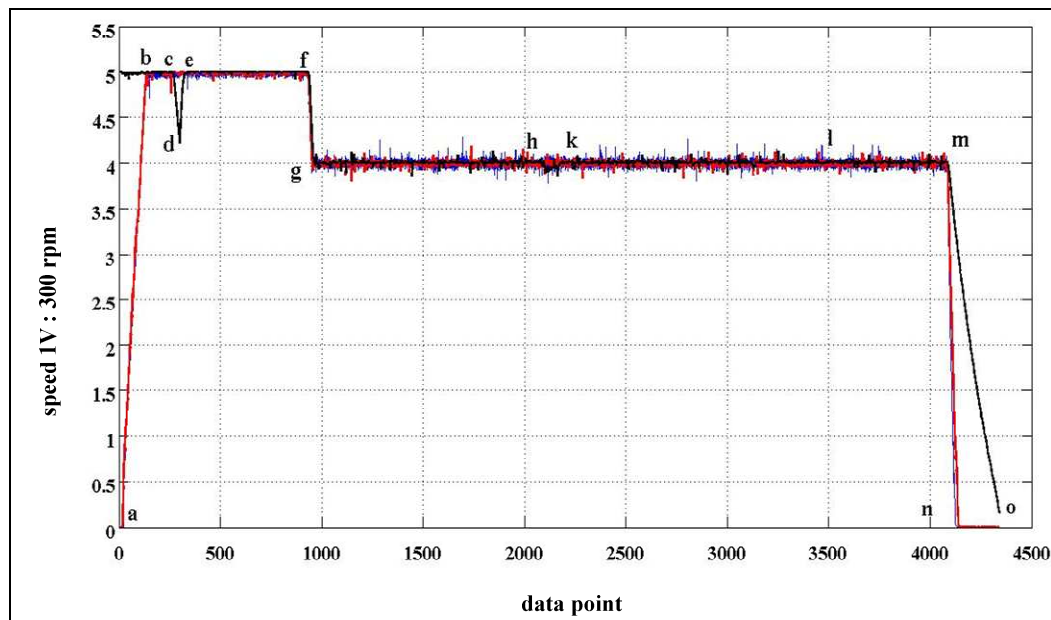
ຮູບທີ 7.2 ການຕິດຕັ້ງແດບປະກັບຫຼັກສະຫຼັອນແສງແລະຕົວຈັງຮູ້ຄວາມເຮົວອນມອເຕອຣ
ພວກເຮົາມີສ້າງສູງສູນສູນ

7.2 ພລກາຮດສອບເຮີມເດີນເຄື່ອງມອເຕອຣ

ການທດສອບເຮີມຈາກການເປີດເຄື່ອງບັນທຶກຂຶ້ນມູນ ເປີດອຸປະນົມຄວບຄຸມໃຫ້ພວກເຮົາທີ່ຈະທຳງານ
ຕ່ອງອິນເວອຣ໌ເຕອຣ໌ເຂັ້ມມີເຕອຣ໌ຕົວກລາງແລະຕົວລ່າງ ຕ່ອຮະບົນໄຟ 220 V 50 Hz ຈາກກາຍນອກເຂັ້ມມີເຕອຣ໌
ຕົວນີ້ ເນື່ອງຈາກໃນຕອນເຮີມເດີນເຄື່ອງມອເຕອຣ໌ຕົວນີ້ມີຫຼຸດໃນມີຕີທີ່ມີຮະບະຫ່າງຈາກສູນຢັກລາງມາລ
ມາກກວ່າໃນມີຕີອີກ 2 ຫຼຸດ ໂຄງສ້າງເປັນແນບກຽບກະຮອກຕິດຫຼູ້ທີ່ເພລາ ແຮງທີ່ເກີດຂຶ້ນຈະເປັນແຮງ
ເຫຊວຍໜີສູນຢັກ ເພື່ອໃຫ້ເກີດແຮງກຽບກະແທກສູງ ກາຮອກຕົວອອກມອເຕອຣ໌ຈຳເປັນຕ້ອງໃຊ້ແຮງບົດສູງ ທຳໄໝ້
ມອເຕອຣ໌ດີກຽບແສສູງມາກກວ່າການເດີນເຄື່ອງໃນສະກວະປົກຕິ ມາກໃຫ້ອິນເວອຣ໌ເຕອຣ໌ໃນໜ່າງເຮີມອອກຕົວ
ພວກເຮົາ ຖ້າ ເພື່ອບັນໃນມີຕີທີ່ 3 ຫຼຸດ ໃນທັນທຶນໃດ ອິນເວອຣ໌ເຕອຣ໌ຈະຕ້ອງມີບັນດາດກຳລັງພິກັດສູງກວ່າ
ທີ່ໃຊ້ເປັນອ່າງນາຍ ແລະຈະທຳໄຫ້ດັນຖຸນກາຮີລືດຕັ້ນແນບສູງຫຼືນຳນັກ

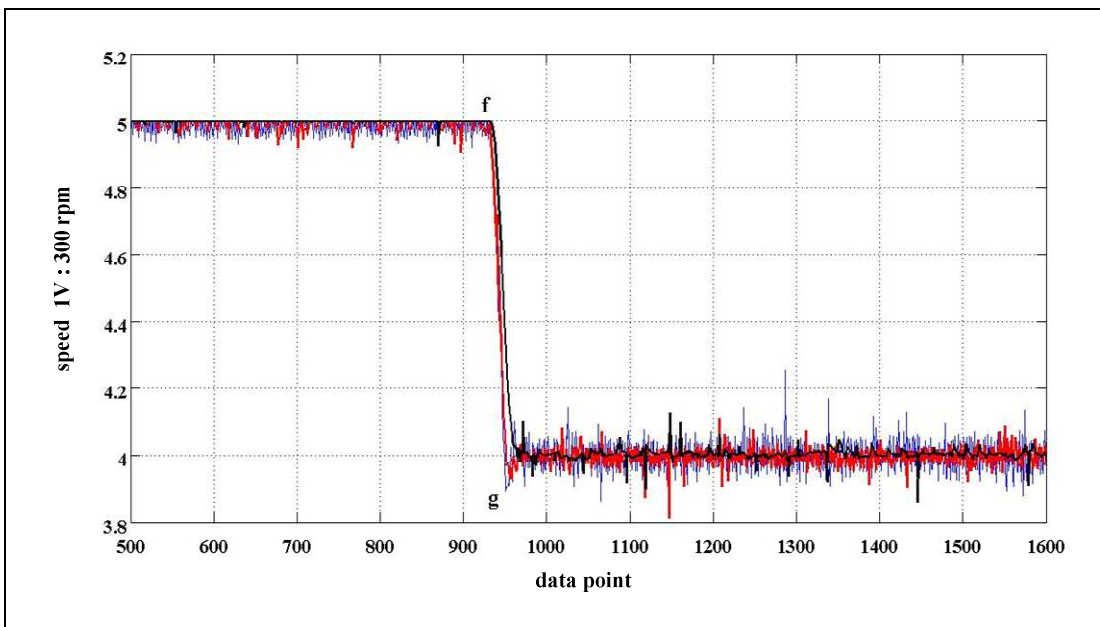
ການທດສອບເຮີມດ້ວຍກາຮີອອກຕົວມອເຕອຣ໌ຕົວນີ້ແລ້ວຈຶ່ງເຮີມອອກຕົວມອເຕອຣ໌ 2 ຕົວລ່າງ
ກາຮີນີ້ແທນໄດ້ດ້ວຍກາຮີອັດຕາເຮົວອັນມອເຕອຣ໌ໃນຮູບທີ 7.3 ທີ່ເວລາ $t = 0$ ຫຼຸດ a ມອເຕອຣ໌ຕົວກລາງ
ແລະຕົວລ່າງຄູກຂັບດ້ວຍອິນເວອຣ໌ເຕອຣ໌ ອັດຕາເຮົວອັນຈຶ່ງເຮີມໄຕ່ຮະດັບຈາກສູນຢັກໄປ 1500 ຮອບຕ່ອນາທີ່
ຄື່ງຫຼຸດ b ທີ່ຈີ່ງມີມອເຕອຣ໌ຕົວນີ້ຄູກຂັບດ້ວຍໄຟສລັບ 220 V 50 Hz ມັນດ້ວຍອັດຕາເຮົວ 1500 ຮອບ
ຕ່ອນາທີ່ ຮອຍໆກ່ອນແລ້ວ ເມື່ອມອເຕອຣ໌ທີ່ 3 ຕົວມີມູນດ້ວຍອັດຕາເຮົວອັນເດີຍກັນມາຈີ່ງຫຼຸດ c ຈຶ່ງໄດ້
ທຳການຕັດແໜ່ລ່ງຈ່າຍຂອງມອເຕອຣ໌ຕົວນີ້ອອກ ທຳໄຫ້ອັດຕາເຮົວອັນມອເຕອຣ໌ຕົວນີ້ຕົກລອງຢ່າງໜ້າ ໃນ
ເມື່ອເວລາຜ່ານໄປປະມານ 5 ວິນາທີ່ ຈຶ່ງເຫັນວ່າມີມອເຕອຣ໌ຕົວນີ້ເຂົ້າສູ່ມອເຕອຣ໌ຕົວນີ້

จะสังเกตเห็นได้ว่าอัตราเร็วของมอเตอร์ตัวบนจะค่อยๆ เพิ่มขึ้นจนกลับมา มีอัตราเร็วรอบ 1500 รอบต่อนาที ที่จุด e ใช้เวลาประมาณ 5.8 วินาที สาเหตุที่ไม่ออกตัวพร้อมกันและใช้การซิงโครไนซ์ มอเตอร์กับอินเวอร์เตอร์ด้วยวิธีนี้ถึงแม้จะแยกแยะล่วง่าย เพราะการเดินเครื่องจักรใช้ไฟฟ้าจาก ตู้ควบคุมระบบไฟฟ้าเดียวกันของห้องปฏิบัติการ ซึ่งขนาดพิกัดของสายส่งไม่สามารถทนกระแส สูงได้ การเดินเครื่องมอเตอร์ทั้ง 3 ตัว พร้อมกันอาจทำให้ระบบไฟฟ้าภายในห้องปฏิบัติการ เสียหายได้

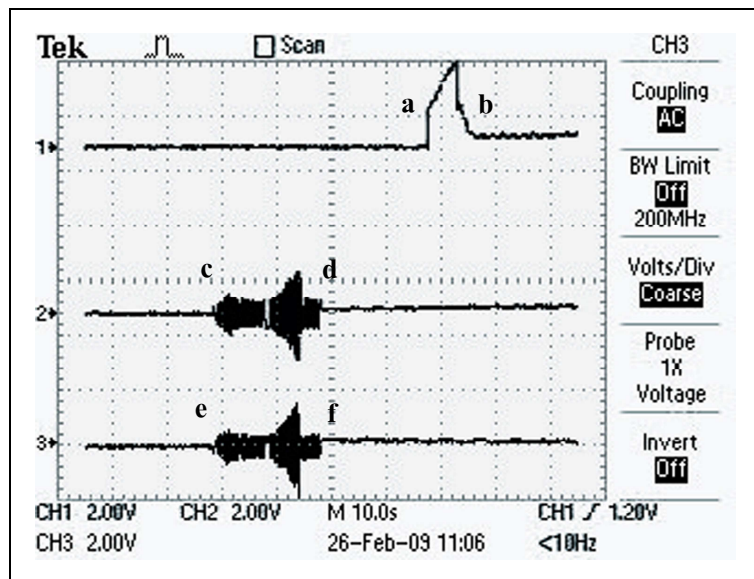


รูปที่ 7.3 กราฟอัตราเร็วรอบมอเตอร์ที่สภาวะต่าง ๆ

เมื่อมอเตอร์ทั้งสามตัวที่ถูกขับด้วยอินเวอร์เตอร์ตัวเดียวกันไปจนถึงจุด f (อัตราเร็ว 1500 รอบต่อนาที) จึงเริ่มทำการควบคุมด้วยตัวควบคุมพิซซีแบบจัดการตัวเอง ดึงให้อัตราเร็วรอบ มอเตอร์เข้าสู่ค่าเป้าหมายที่จุด g (อัตราเร็ว 1200 รอบต่อนาที) ใช้เวลาประมาณ 3.2 วินาที ดังแสดง ภาพขยายช่วงจุด f ถึง g ในรูปที่ 7.4 และเมื่อมอเตอร์ทั้งสามตัวถูกขับเคลื่อนด้วยตัวควบคุมไป จนถึงจุด h (ดูรูปที่ 7.3) ได้ทำการใส่สภาวะรบกวนเข้าไปในระบบจนถึงจุด k ด้วยการป้อนวัตถุดิน ให้เครื่องจักรสับ หลังจากสภาวะรบกวนออกไปจากระบบแล้ว มอเตอร์ทั้ง 3 หมุนด้วยอัตราเร็ว เป้าหมายต่อไปจนถึงจุด m จึงได้ทำการตัดแหล่งจ่ายออกจากระบบ จะเห็นว่ามอเตอร์ 2 ตัวล่าง อัตราเร็วลดลงมาถึงจุด n ตัวบนจะลดลงมาถึงจุด o มอเตอร์ตัวบนมีอัตราหน่วงที่ต่ำกว่าสองตัวล่าง เพราะมีความเรื้อรังมากกว่า

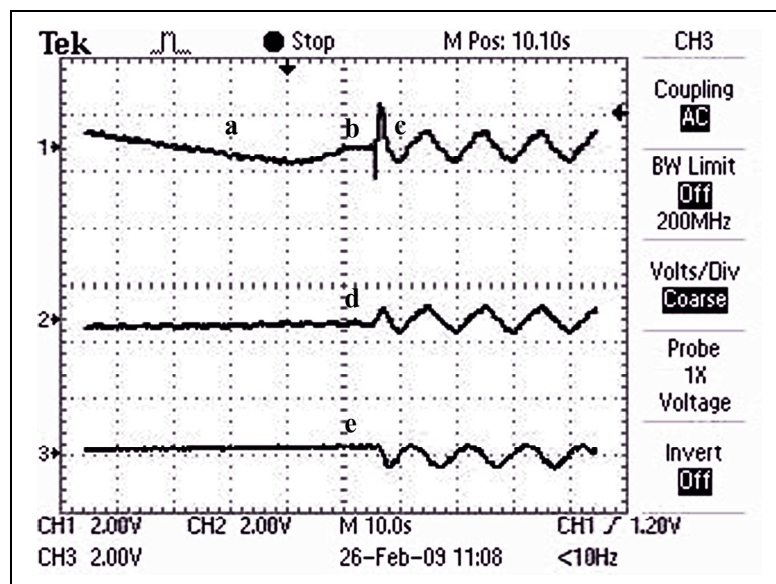


รูปที่ 7.4 จุดที่เริ่มทำการควบคุมอัตราเร็วให้เข้าสู่ค่าเป้าหมาย



รูปที่ 7.5 กราฟกระแสขั้นเริ่มออกตัวของมอเตอร์ทั้ง 3 ตัว

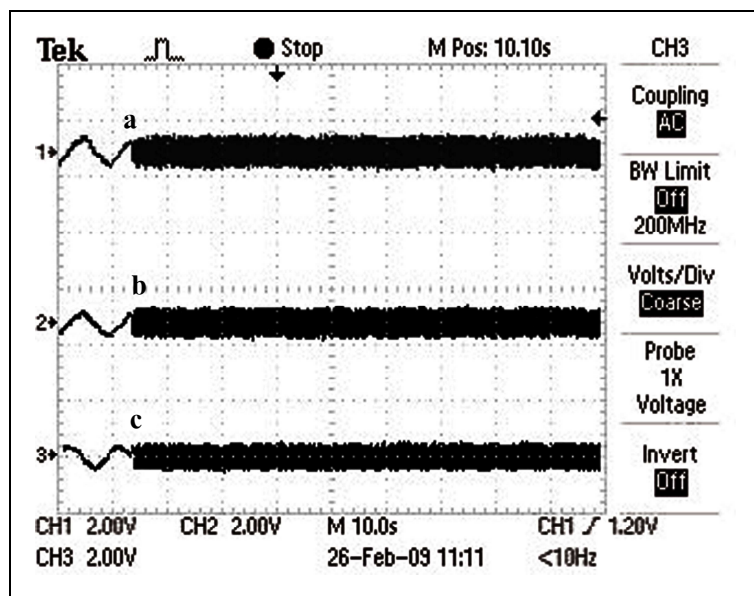
รูปที่ 7.5 แสดงกราฟของกระแสอเมเตอร์ที่บันทึกไว้ด้วยอสซิลโลสโคปแบบดิจิตอล ของ Tektronix รุ่น TPS 2024 จุด a ถึง b ในกราฟเส้นบนแสดงกระแสช่วงออกตัวของมอเตอร์ ด้วยน ล าส่วนจุด c ถึง d ในกราฟเส้นกลาง แสดงกระแสเริ่มออกตัวของมอเตอร์ชุดกลาง จุด e ถึง f ในกราฟเส้นล่างสุด แสดงกระแสช่วงออกตัวของมอเตอร์ตัวล่าง มอเตอร์ทุกตัวหมุนที่อัตราเร็วรอบ 1500 รอบต่อนาที ในสภาวะคงตัว ทั้งนี้ช่วงเวลาการดึงกระแสของมอเตอร์สัมพันธ์กับช่วงเวลาการทำงานของเครื่องจักรดังที่อธิบายไว้แล้วข้างต้น



รูปที่ 7.6 กระแสช่วงเชื่อมต่อมอเตอร์ตัวบนเข้าแหล่งจ่ายอินเวอร์เตอร์

รูปที่ 7.6 แสดงกราฟกระแสอเมเตอร์ กราฟเส้นบนสุด แสดงกระแสของมอเตอร์ตัวบน ขณะที่กราฟเส้นกลางและล่างเป็นของมอเตอร์ตัวกลางและตัวล่างสุด พิจารณากราฟเส้นบนจะเห็น จุด a b และ c ซึ่งสัมพันธ์กับสภาวะการทำงานของมอเตอร์ตัวบนดังการอธิบายก่อนหน้านี้ ซึ่งอ้างอิงรูปที่ 7.3 ในช่วงเวลาที่มอเตอร์ตัวบนได้รับกำลังไฟฟ้าโดยตรงจากแหล่งจ่ายไฟ กระแสลับ 220 V 50 Hz เวลาที่จุด b แหล่งจ่ายไฟกระแสลับถูกตัดออกจากมอเตอร์ มอเตอร์ตัวบนจึงหมุนด้วยความเร็วอยู่ต่อไปเป็นช่วงเวลาสั้น ๆ จนถึงเวลาที่จุด c อินเวอร์เตอร์จึงถูกต่อเข้า อินพุตมอเตอร์ตัวบน ซึ่งสามารถสังเกตเห็นการกระจายของกระแสได้จากการที่จุด c นี้เป็นเวลา ในการเดียวกับจุด d และ e ของกราฟเส้นกลางและล่างสุดนับจากเวลาที่ c (d หรือ e) เป็นต้นไป จะสังเกตเห็นการแก่กว่าตัวของกระแสอเมเตอร์ ซึ่งมอเตอร์ทั้ง 3 ตัว รับพลังงานจากอินเวอร์เตอร์ ตัวเดียวกัน โดยที่มอเตอร์ทั้ง 3 ตัว ต่อขนานกัน

สภาวะต่อจากนั้น ระบบควบคุมทำการควบคุมอัตราเร็วให้เข้าสู่ค่าเป้าหมาย เมื่อทำการเริ่มตั้งการควบคุมด้วยตัวควบคุมฟิซซีแบบจัดการตัวเองในรูปที่ 7.3 ที่จุด f อัตราเร็วจะมอเตอร์ถูกควบคุมค่าเข้าสู่ค่าเป้าหมายที่จุด g (อัตราเร็ว 1200 รอบต่อนาที) ใช้เวลาประมาณ 3.2 วินาที รูปคลื่นกระแสซึ่งเป็นผลการวัดที่จุด a b และ c ของมอเตอร์ตัวบน ตัวกลาง และตัวล่าง ตามลำดับ (รูปที่ 7.7) มีค่าความถี่เปลี่ยนไปตามระบบควบคุมฟิซซี ซึ่งจะเห็นได้ว่าความถี่ซึ่งก่อนทำการควบคุมหรือก่อนถึงจุด a b และ c จะน้อยกว่าความถี่หลังการควบคุม ดังที่แสดงด้วยกราฟกระแสของมอเตอร์ทั้ง 3 ตัว ในรูปที่ 7.7



รูปที่ 7.7 กระแสของมอเตอร์ขณะเริ่มถูกควบคุมให้มีอัตราเร็วตามที่ต้องการเข้าสู่ค่าเป้าหมาย

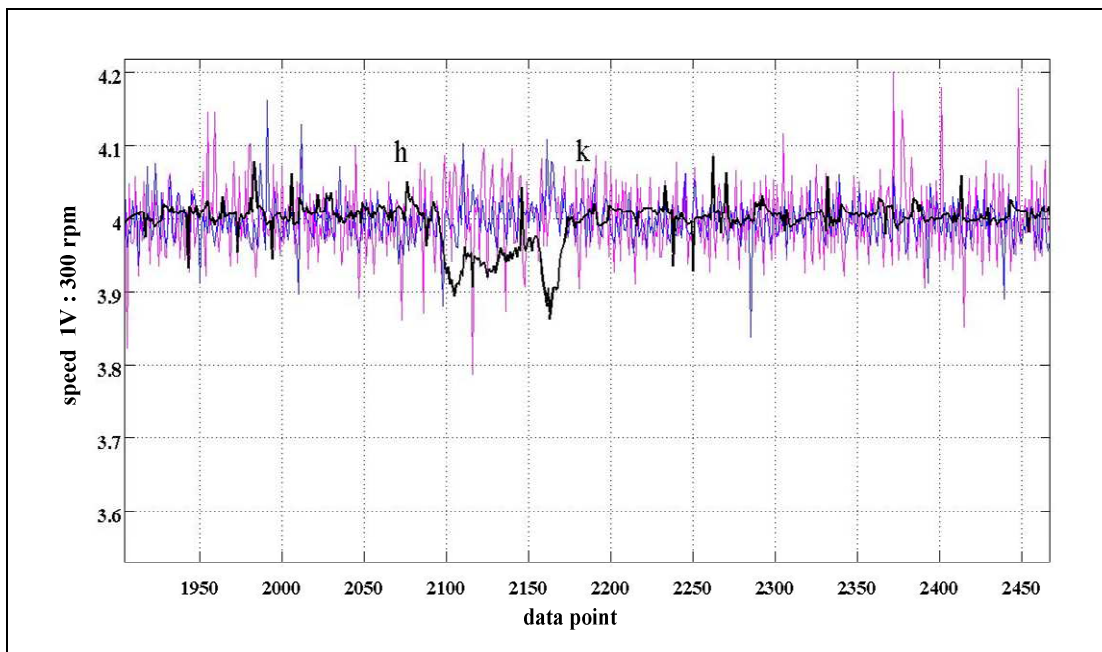
7.3 ผลทดสอบการขับโหลด

ในขั้นตอนต่อไปเป็นการป้อนสภาวะระบบให้แก่ระบบ ในที่นี้สภาวะระบบหมายถึงวัสดุเพื่อการสับ ถูกป้อนให้เครื่องจักรทำการสับ การทดสอบได้เตรียมวัสดุทดสอบระบบ ais กากบาทสำหรับเทลงด้านบนของเครื่องสับพืช ดังแสดงไว้ในรูปที่ 7.8 วัสดุที่เทลงไปเป็นตัวรับภาระ การทำงานของระบบควบคุม โดยจะเทลงไปเป็นช่วงๆ เพื่อเฝ้าตรวจผลตอบสนองของระบบและดำเนินการทดสอบ 3 ครั้ง ด้วยวัสดุที่แตกต่างกัน



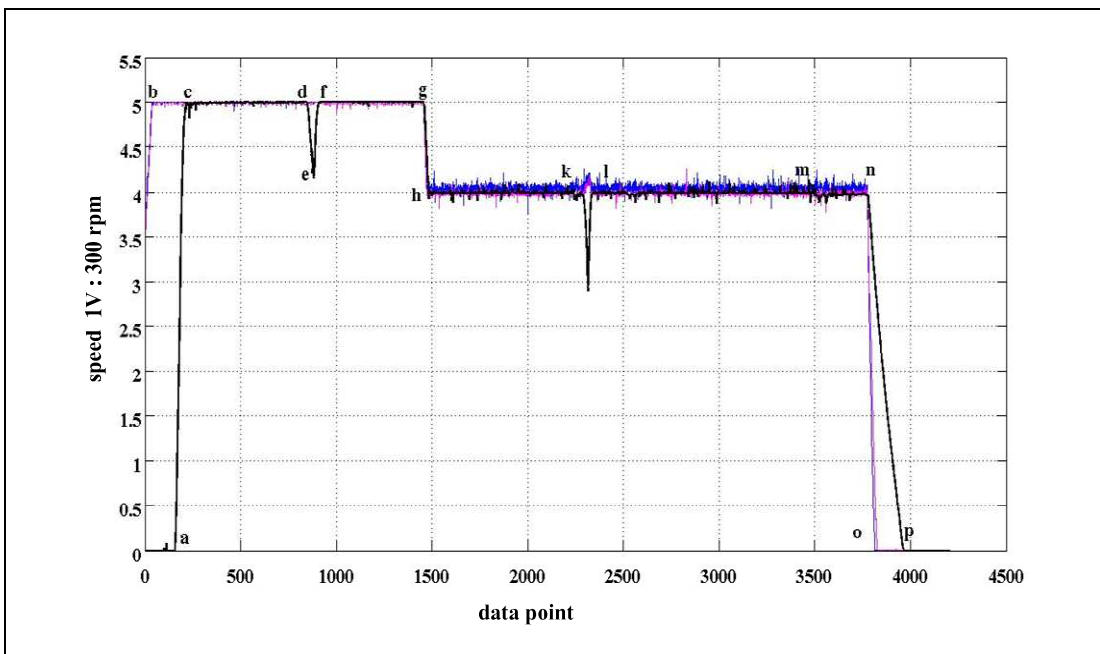
รูปที่ 7.8 การเทวสุดทดสอบเข้าไปรบกวนสภาพการทำงานของระบบควบคุม

- วัตถุคิดชนิดที่ 1 คือ มันลำປะหลัง ซึ่งมีลักษณะแข็งและมีเส้นใยที่มีความชื้นสูง อัดแน่นอยู่ภายใน ในการทดสอบได้เริ่มป้อนวัตถุคิดลำหรับสับที่จุด h ในรูปที่ 7.9 จะเห็นว่า มอเตอร์ตัวบนมืออัตราเร็วรอบตกลง (สังเกตได้จากการไฟเส้นที่บินในภาพ) แต่ระบบควบคุมพยาบาล รักษาอัตราเร็วรอบของมอเตอร์ 2 ตัวล่าง ที่ได้รับโหลดน้อยกว่า ให้คงระดับอัตราเร็วคงตัวตามที่ ต้องการ และเมื่อมีสภาวะรบกวนเข้ามายกระทำการทำต่อเครื่องจักรซ้ำอีก กล่าวคือ มีวัตถุคิดเหลงมาเพิ่ม ทำให้อัตราเร็วรอบของมอเตอร์ตัวบนตกลงมากกว่าเดิม เนื่องจากยังคงมีวัตถุคิดค้างอยู่ใน เครื่องจักร ซึ่งระบบควบคุมพยาบาลรักษาอัตราเร็วรอบให้คงระดับตามต้องการ ได้ โดยสามารถ สังเกตกราฟระหว่างจุด h ถึง k และจากจุด k เป็นต้นไป

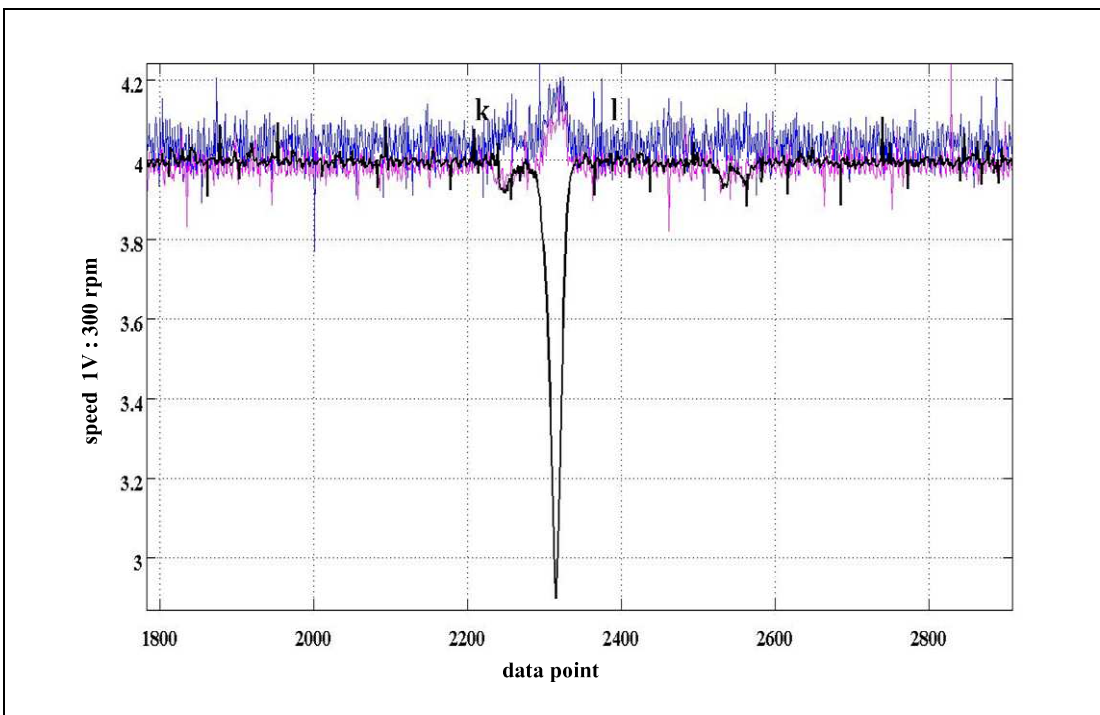


รูปที่ 7.9 อัตราเร็วของมอเตอร์ช่วงที่ระบบมีสภาวะรบกวนจากภายนอก

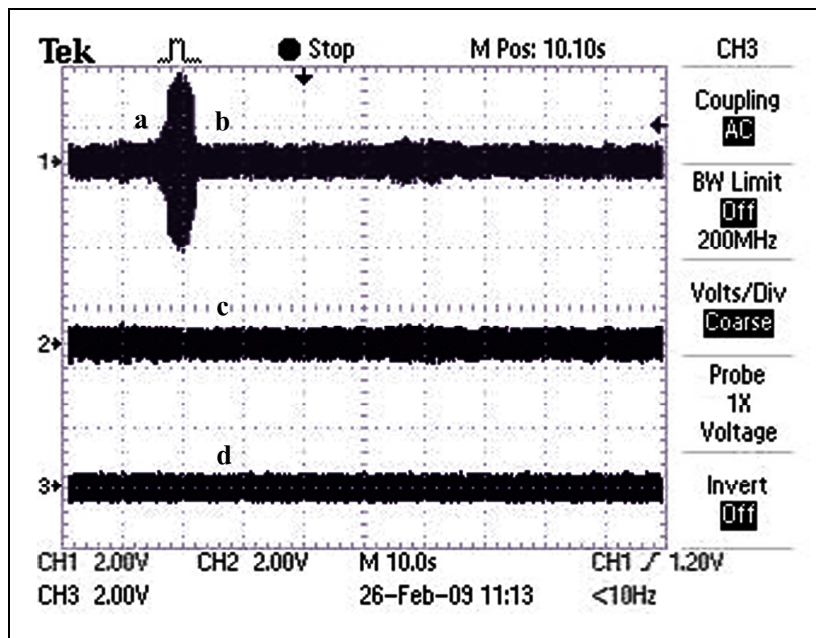
- วัตถุคิบชนิดที่ 2 คือ กลาดามะพร้าวป่นด้วยไขมะพร้าว ได้ทำการเริ่มเดินเครื่องทดสอบเหมือนครั้งที่ 1 ในรูปที่ 7.10 แสดงจุดเริ่มป้อนวัตถุคิบเข้าระบบก่อนระบบที่จุด k แต่เนื่องจากวัตถุคิบที่เตรียมไว้จับตัวกันเป็นก้อนขนาดใหญ่ เพราะมีเส้นไขมะพร้าวปอนอยู่ วัตถุคิบดังกล่าวจึงปรากฏเป็นการกรรมปริมาณมากและมีแรงกดสูง ด้านการหมุนของใบมีดชุดบนจึงสังเกตเห็น ได้ว่าอัตราเร็วของมอเตอร์ตัวบนตกลงมากกว่าปกติดังปรากฏในช่วง k ถึง 1 ช่วงเวลาดังกล่าว ได้ขยายให้เห็นอย่างชัดเจนในรูปที่ 7.11 ซึ่งอัตราเร็วของมอเตอร์ตัวบนตกจาก 1200 รอบต่อนาที เหลือประมาณ 800 รอบต่อนาที เป็นช่วงเวลาสั้น ๆ และได้รับการควบคุมปรับระดับอัตราเร็วกลับไปคงค่าที่ 1200 รอบต่อนาที ตามเดิม



รูปที่ 7.10 อัตราเร็วอุบമอเตอร์ทั้ง 3 ตัว ในสภาวะต่าง ๆ ของการทดสอบ



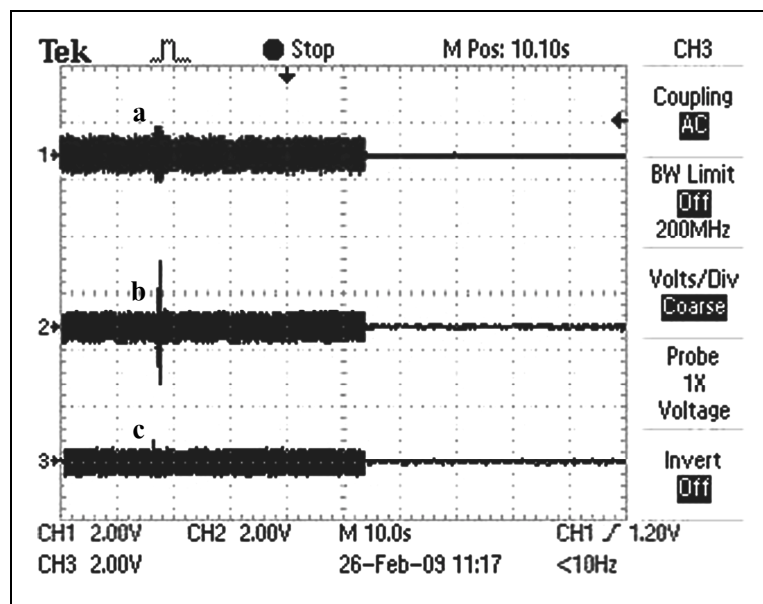
รูปที่ 7.11 อัตราเร็วอุบมอเตอร์ช่วงเกิดสภาวะระบบ



รูปที่ 7.12 กระแสเมอเตอร์ในการทดสอบสับกระแสพิริมาณด้วยไขมันพิริมาณ

รูปที่ 7.12 แสดงกราฟของกระแสเมอเตอร์ กราฟเส้นบนสุดเป็นของกระแสเมอเตอร์ ตัวบน ช่วง a ถึง b เป็นช่วงที่มอเตอร์ตัวบนดึงกระแสสูง สัมพันธ์กับการทำงานที่ชุดใบมีดคงแบบเป็นพวง ติดล็อกด้วยวัตถุคิบเป็นช่วงเวลาสั้น ๆ ที่อัตราเร็วของตกลงในช่วงเวลา k ถึง l ในรูปที่ 7.11 แต่กระแสของมอเตอร์ตัวกลางและตัวล่างในช่วงเวลาดังกล่าวไม่เพิ่มสูงตามไปด้วย ซึ่งแสดงด้วยชุด c และ d ตามลำดับ ตามที่อธิบายมาก่อนหน้านี้ว่า สภาพดังกล่าวหากเกิดขึ้น ยาวนานกว่านี้ ทำให้ระบบป้องกันตัดมอเตอร์ตัวบนออกจากระบบ เพื่อป้องกันความเสียหาย ที่อาจจะเกิดขึ้นกับกระบวนการ และระบบจะต้องหยุดทั้งหมดก่อนที่กระบวนการจะเริ่มต้นทำงานใหม่

- วัตถุคิบชนิดที่ 3 ในการทดสอบเป็นการน้ำพิริมาณ น้ำพิริมาณมีเส้นใยที่ยาวและเหนียวแตกต่างจากวัตถุคิบที่ใช้ทดสอบที่ผ่านมา เวลาที่ จุด m ในรูปที่ 7.10 ได้เริ่มเท กานน้ำพิริมาณลงสู่เครื่องจักร สภาพรบกวนที่เกิดขึ้นมีลักษณะของการพันของไขมันพิริมาณที่ใบมีด ชุดบนและในร่องสับของใบมีดชุดกลาง ทำให้อัตราเร็วของใบมีดสองชุดนี้ตกลง และกระแสที่จ่ายให้กับมอเตอร์สูงขึ้นดังแสดงในรูปที่ 7.13 จุด a b และ c ตามลำดับ อย่างไรก็ตาม อัตราเร็วของ มอเตอร์ที่ตกลงนี้เป็นปริมาณเพียงเล็กน้อย เมื่อใบมีดสับเส้นไขยาคลง กระแสจะเข้าสู่สภาพ การทำงานปกติ พร้อมทั้งอัตราเร็วของมอเตอร์ปรับเข้าสู่ค่าเป้าหมาย และทำการสับวัสดุ ที่อัตราเร็วตามค่าเป้าหมายที่กำหนด



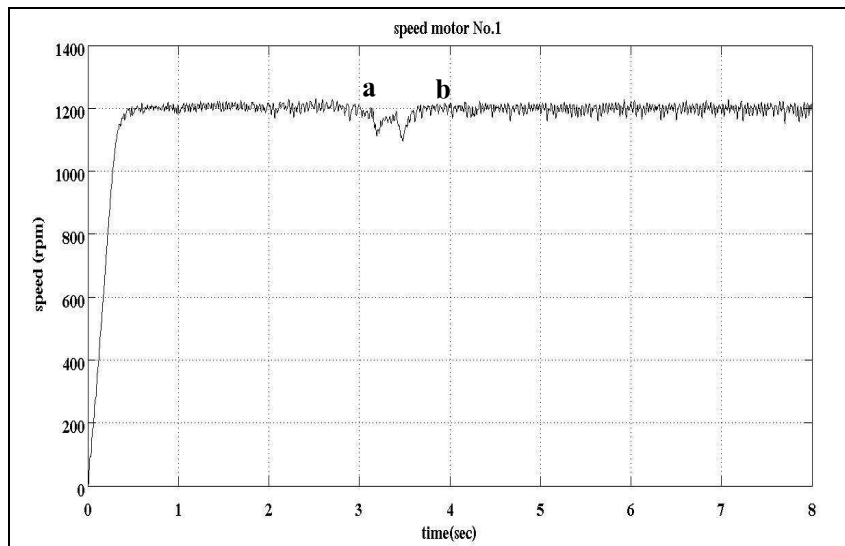
รูปที่ 7.13 กระแสเมื่อทดสอบให้สับกามมะพร้าว

7.4 การจำลองผลเลี้ยนแบบการทดสอบจริง

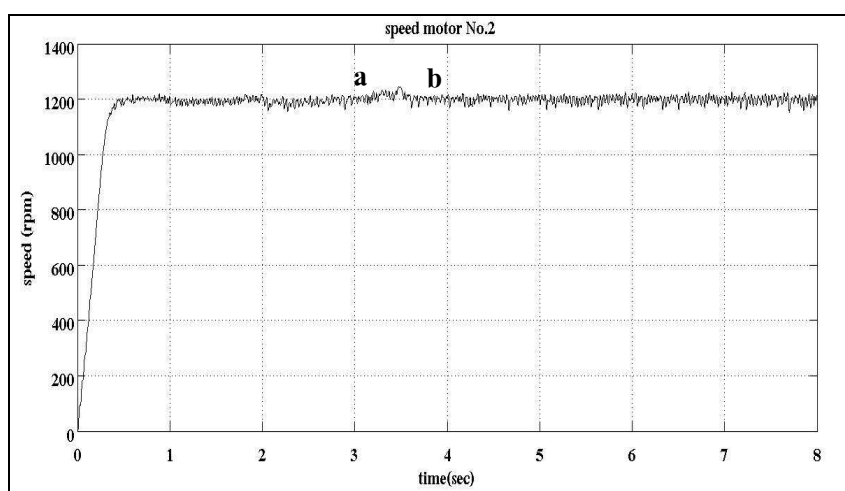
ในหัวข้อนี้เป็นการจำลองผลเลี้ยนแบบการใส่โหลดเสมือนจริง กล่าวคือ จากการทดสอบระบบจริงที่ผ่านมาดังที่ได้นำเสนอข้างต้น ทำให้ทราบว่าลักษณะหรือช่วงเวลาการเทวสุดลุงไปในระบบ ส่งผลต่อการเปลี่ยนแปลงอัตราเร็ว และปรากฏภาวะการกรรมประมวลมาก มีแรงนูดสูง ด้านการหมุนของใบมีดชุดบน ก่อให้เกิดผลกระทบต่อการเปลี่ยนแปลงอัตราเร็ว ดังนั้นเพื่อศึกษาถึงความสามารถในระบบควบคุมในการคงค่าอัตราเร็ว จึงได้ทำการจำลองผลเลี้ยนแบบการใส่ภาระกรรมในกรณีต่าง ๆ ของผลการทดสอบ

- กรณีของผลทดสอบดังที่แสดงในรูปที่ 7.9 วัตตุคิดที่เครื่องจักรสับมีลักษณะแข็งและมีเส้นไขดัดแน่นอยู่ภายใน มีความชื้นสูง ใน การทดสอบเริ่มป้อนวัตตุคิดสำหรับสับที่จุด h ของเตอร์ตัวบนมีอัตราเร็ว robust แต่เมื่อมีสภาวะรบกวนเข้ามายกระทำต่อเครื่องจักรซ้ำอีก กล่าวคือ มีวัตตุคิดเทลงมาเพิ่ม ทำให้อัตราเร็ว robust ตกลงมากกว่าเดิม เนื่องจากยังคงมีวัตตุคิดค้างอยู่ในระบบ ในการจำลองผลได้ทำการใส่โหลดเลี้ยนแบบ โดยโหลดชุดแรกปริมาณ 5 Nm เริ่มใส่ที่จุด a ของมอเตอร์ตัวที่ 1 ในรูปที่ 7.14 และเมื่อเวลาผ่านไป 0.15 วินาที ได้ใส่โหลดที่มีปริมาณ 25 Nm ซึ่งเกตได้ว่าอัตราเร็ว robust ของเตอร์จะตกลงมาที่ประมาณ 1160 รอบต่อนาที และระบบควบคุมพยายามรักษาให้เข้าหาค่าเป้าหมาย จนเมื่อเวลาผ่านไป 0.42 วินาที ได้เทวสุดลุงไปเพิ่มอีก แต่ในระบบยังมีวัตตุคิดค้างอยู่ จึงทำให้เหมือนมีโหลดปริมาณมาก ๆ เข้าสู่ระบบ ทำให้อัตราเร็ว robust ตกลงถึง 1145

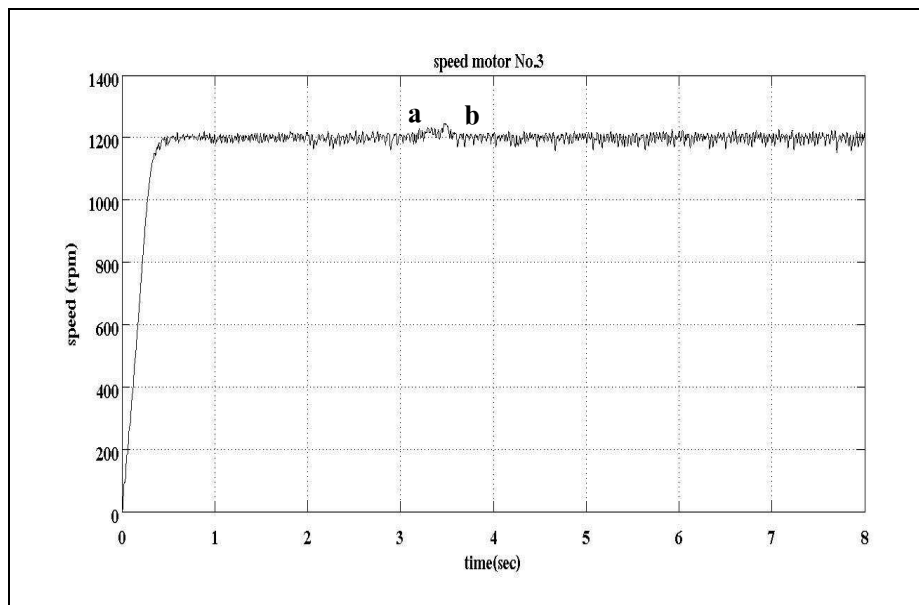
- รอบต่อนาที และเมื่อเวลาผ่านไประบบควบคุมพยายามรักษาอัตราเร็วให้เข้าสู่ค่าเป้าหมายดังแสดงในรูปที่จุด b และในมอเตอร์ตัวที่ 2 และ 3 จุด a ถึง b ในรูปที่ 7.15 และ 7.16 อัตราเร็วของมอเตอร์ของทั้งสองตัวสูงขึ้นเล็กน้อย แต่ไม่เกินขอบเขตการควบคุมที่กำหนด ในช่วงเวลาที่มอเตอร์ตัวที่หนึ่งพยายามดึงอัตราเร็วให้เข้าสู่ค่าเป้าหมาย



รูปที่ 7.14 ผลการจำลองผลด้วยໂ Holden คล้ายการทดสอบจริง (วัดฉุกเฉินิดที่ 1)
ของมอเตอร์ตัวบน

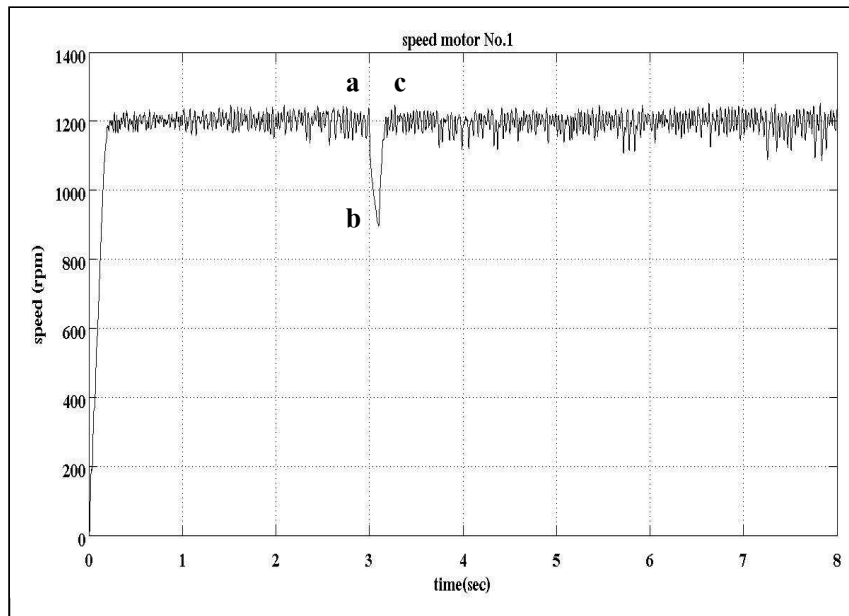


รูปที่ 7.15 ผลการจำลองผลด้วยໂ Holden คล้ายการทดสอบจริง (วัดฉุกเฉินิดที่ 1)
ของมอเตอร์ตัวกลาง

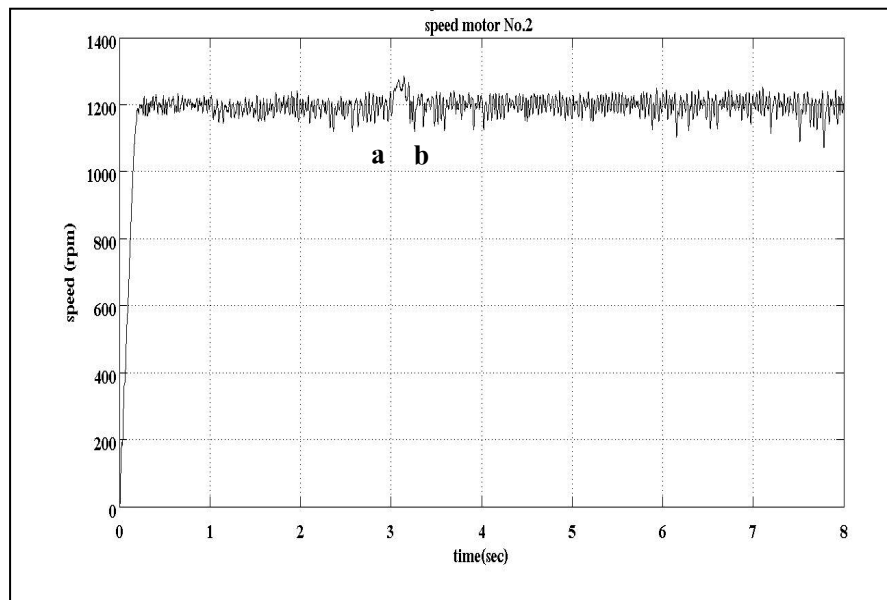


รูปที่ 7.16 ผลการจำลองผลด้วยโหลดคล้ายการทดสอบจริง (วัตถุคิบชนิดที่ 1)
ของมอเตอร์ตัวล่าง

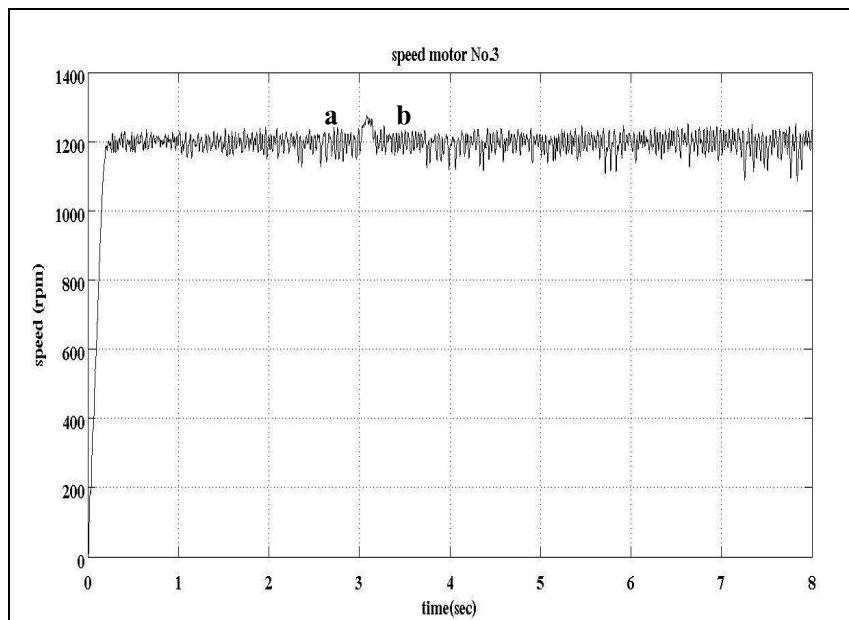
- จากรูปที่ 7.11 ที่นำเสนอผ่านมา เป็นผลจากการทดสอบระบบจริงด้วยวัตถุคิบชนิดที่ 2 คือ กลามะพร้าวป่นด้วยไขมะพร้าว แต่วัตถุคิบที่เตรียมไว้จับตัวกันเป็นก้อนขนาดใหญ่ เพราะมีเส้นไขมะพร้าวป่นอยู่ วัตถุคิบดังกล่าวจึงปรากฏเป็นภาระกรรมปริมาณมากและมีแรงนูดสูง ด้านการหมุนของใบมีดชุดบน ทำให้อัตราเร็วรอบของมอเตอร์ตัวบนตกลงจาก 1200 รอบต่อนาที เหลือประมาณ 800 รอบต่อนาที เป็นช่วงเวลาสั้น ๆ และได้รับการควบคุมปรับระดับอัตราเร็วกลับไปคงค่าที่ 1200 รอบต่อนาที ตามเดิม ในการจำลองผลลัพธ์แบบสภาวะดังกล่าว ได้ใส่โหลดที่มีปริมาณ 45 Nm ลงไว้ในระบบเป็นเวลา 1 วินาที ผลทำให้ทำให้อัตราเร็วรอบของมอเตอร์ตัวบนตกลงจาก 1200 รอบต่อนาที เหลือประมาณ 900 รอบต่อนาที เป็นช่วงเวลาสั้น ๆ การอธิบายนี้แทนได้ด้วยกราฟอัตราเร็วรอบมอเตอร์ที่เป็นผลการจำลองในรูปที่ 7.17 ในช่วง a ถึง b และได้รับการควบคุมปรับระดับอัตราเร็วกลับไปคงค่าที่ 1200 รอบต่อนาที ตามเดิมที่จุด c คล้ายผลจากการทดสอบจริง และในมอเตอร์ตัวที่ 2 และ 3 จุด a ถึง b ในรูปที่ 7.18 และ 7.19 อัตราเร็วมอเตอร์ของทั้งสองตัวสูงขึ้นพอประมาณ แต่ไม่เกินขอบเขตการควบคุมที่กำหนด ในช่วงเวลาที่มอเตอร์ตัวที่หนึ่งพยายามดึงอัตราเร็วให้เข้าสู่ค่าเป้าหมาย



รูปที่ 7.17 ผลการจำลองผลด้วยໂ Holden คล้ายการทดสอบจริง (วัดฤดูใบชันดีที่ 2)
ของมอเตอร์ตัวบน



รูปที่ 7.18 ผลการจำลองผลด้วยໂ Holden คล้ายการทดสอบจริง (วัดฤดูใบชันดีที่ 2)
ของมอเตอร์ตัวกลาง



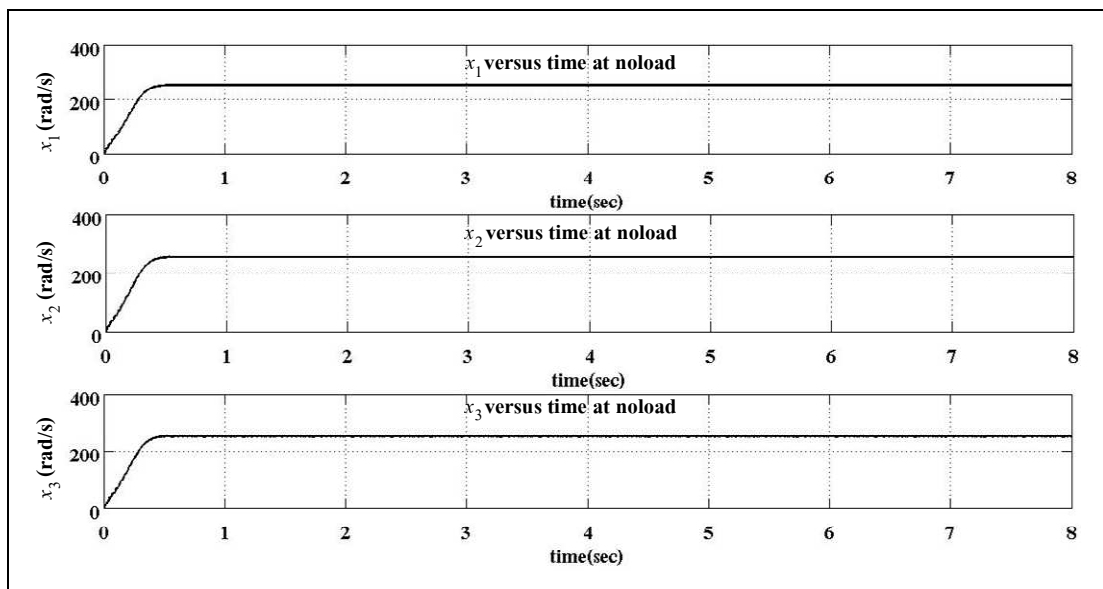
รูปที่ 7.19 ผลการจำลองผลด้วยໂ Holden ถ้าหากทดสอบจริง (วัดฤดูบันชnidที่ 2)
ของมอเตอร์ตัวล่าง

7.5 อภิปรายด้านสถิติราก

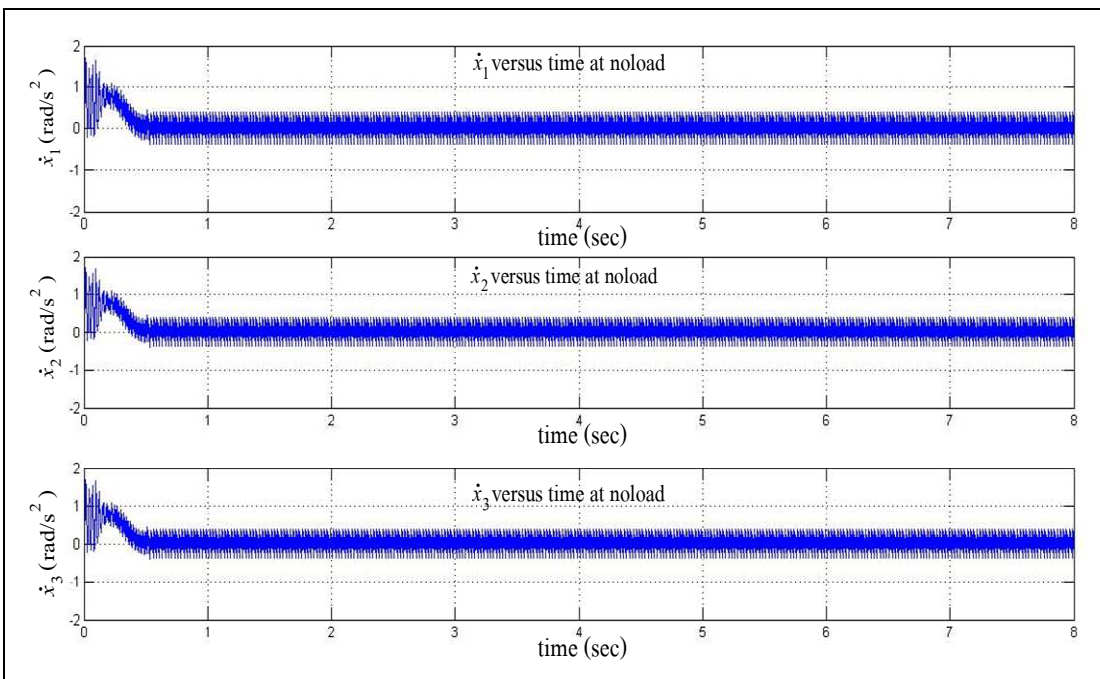
จากผลการทดสอบในหัวข้อที่ผ่านมาจะเห็นได้ว่า ระบบควบคุมสามารถควบคุมการขับเคลื่อนมอเตอร์เหนี่ยวนำไฟฟ้าเดียวที่ต้องนานกันหลายตัว ทำการสับพืชผลทางการเกษตรได้เป็นอย่างดี กล่าวคือ ระบบควบคุมพืชซึ่งแบบจัดการตัวเองสามารถควบคุมความเร็วในการสับวัสดุ พืชผลทางการเกษตร ในแต่ละชั้นที่มีโหลดไม่เท่ากัน ให้มีความเร็วเข้าใกล้ค่าเป้าหมายทุกชั้นโดยมีด้วยสังเกตได้จากการที่ได้นำเสนอไว้อย่างละเอียดในหัวข้อที่ 7.2 และ 7.3 ระบบควบคุมรักษาอัตราเร็วของมอเตอร์เข้าใกล้ค่าเป้าหมายมีความผิดพลาดอัตราเร็วไม่เกิน $\pm 5\%$

ในการวิจัยวิทยานิพนธ์นี้ได้ทำการวิเคราะห์สถิติรากของระบบควบคุม โดยอาศัยวิธีระบบเฟส (phase-plane) ซึ่งวิธีการนี้ถูกนำมาใช้อย่างกว้างขวางในงานวิศวกรรมควบคุม เพื่อศึกษาผลกระทบของความไม่เป็นเชิงเส้นในระบบควบคุมป้อนกลับ (Bharat and Madhusudan, 2008) ในที่นี้กำหนดให้ x_1 , x_2 และ x_3 แทนอัตราเร็วเชิงมุมของมอเตอร์ตัวที่ 1, 2 และ 3 ตามลำดับ และกำหนดให้ \dot{x}_1 , \dot{x}_2 และ \dot{x}_3 แทนอัตราเร็วเชิงมุมของมอเตอร์ กราฟที่ได้จากการคำนวณตามแบบจำลองทางคณิตศาสตร์แสดงให้เห็นวิถีพลวัตมีจุดเริ่มต้นของกราฟที่จุดกำเนิด แนวระยะโคลงจะถูกลากและวนซ้ำรอบค่าอ้างอิงอัตราเร็วที่ตั้งไว้ ในการจำลองผล phase-plane plot ได้ทำการจำลองผล ทั้งไม่ขับโหลดและขับโหลด กราฟที่ได้ตามลำดับดังนี้

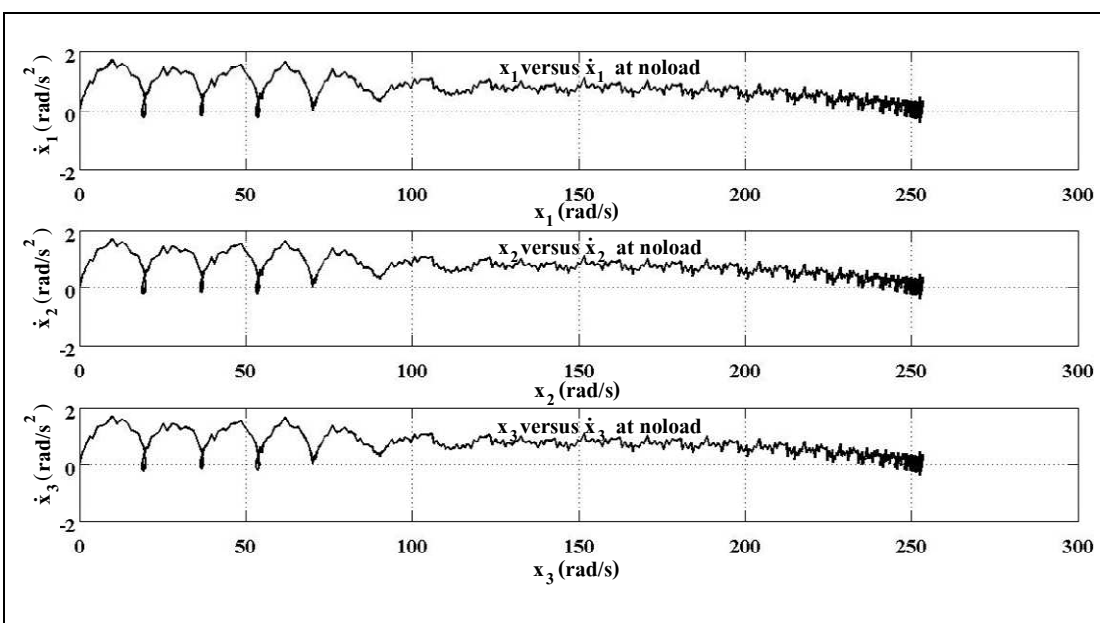
จากผลการจำลองความคุณด้วยตัวความคุณฟ์ซซีแบบจัดการตัวเอง ทั้งมีโหลดและไม่มีโหลด ในรูปที่ 7.20 เป็นกราฟอัตราเร็วเชิงมุมเทียบกับเวลาของมอเตอร์ทั้งสามตัวในขณะไม่มีโหลด ในรูปที่ 7.21 แสดงกราฟอัตราเร่งเทียบกับเวลา สังเกตเห็นว่าในช่วงเริ่มต้นอัตราเร่งมีค่าพุ่งสูงขึ้น และเมื่อมอเตอร์เข้าสู่สภาวะคงตัวที่ค่าเป้าหมายหรือค่าอ้างอิง อัตราเร่งจะเข้าสู่สภาวะสมดุล โดยรอบค่า 0 rad/s^2 เพียงแต่มีการแก่วงบ้างเล็กน้อย ในรูปที่ 7.22 แสดงกราฟความสัมพันธ์ระหว่าง อัตราเร่งเชิงมุมกับอัตราเร็วเชิงมุม สังเกตว่ากราฟเริ่มต้นที่สูงหรือจุดกำหนด มีการโคลรุ่นเข้าหา อัตราเร่งมีค่าเข้าใกล้สูง ขณะนั้นมอเตอร์เข้าสู่ดุลยภาพสอดคล้องกับกราฟอัตราเร่งในรูปที่ผ่านมา แสดงให้เห็นว่ามอเตอร์สามารถเข้าถึงเป้าหมายที่อัตราเร็วเชิงมุมที่ 250 rad/s ได้อย่างดี และในรูปที่ 7.23 แสดงส่วนขยายช่วงที่มอเตอร์รุ่นเข้าหาจุดดุลยภาพ จะสังเกตได้ว่าระบบมีพฤติกรรมแก่วงไกว เล็กน้อย รอบค่าอ้างอิงหรือเป้าหมายของการควบคุมอัตราเร็วที่กำหนด การแก่วงนั้นมีแนวโน้ม ลุ่นเข้าจุดอ้างอิงไม่นวนออก และในสภาวะขับโหลดของมอเตอร์ทั้งสามตัว ที่แสดงในรูปที่ 7.24 7.25 และ 7.26 เช่นกัน สังเกตได้จากภาพขยายกราฟความสัมพันธ์ระหว่างอัตราเร่งเชิงมุมกับ อัตราเร็วเชิงมุมในรูปที่ 7.27 สังเกตได้ว่าการแก่วงจะมีขอบเขตที่แตกต่างกัน ซึ่งเกิดจากขนาดของ โหลดที่มอเตอร์แต่ละตัวได้รับ 15 10 และ 5 Nm แต่ละตัวแตกต่างกันตามลำดับ การแก่วงเป็นวง นี้จะวนเวียนซ้ำ และลุ่นเข้าไม่นวนออก



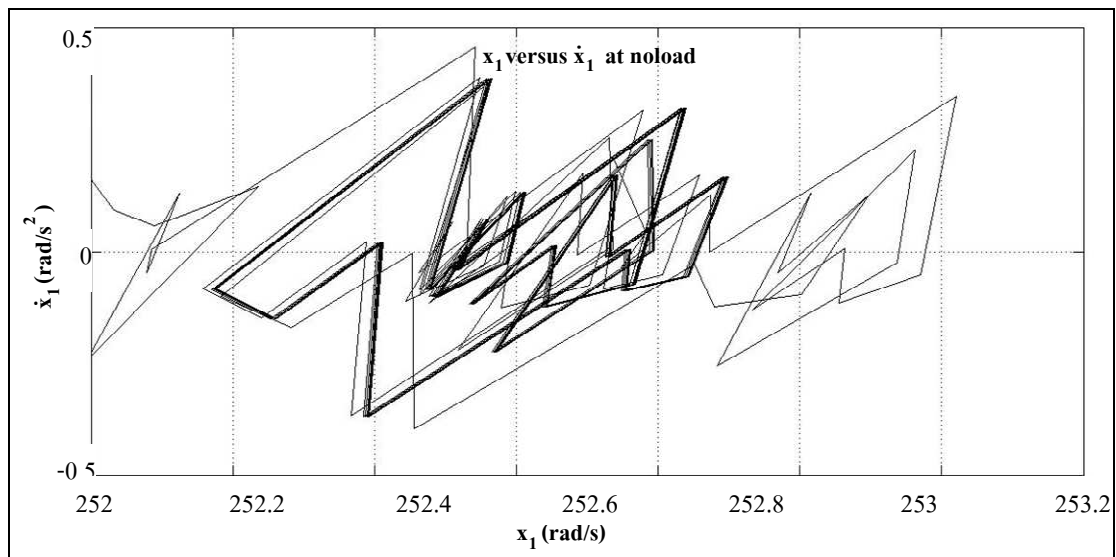
รูปที่ 7.20 ผลการจำลองอัตราเร็วเทียบกับเวลาขณะไม่มีโหลด



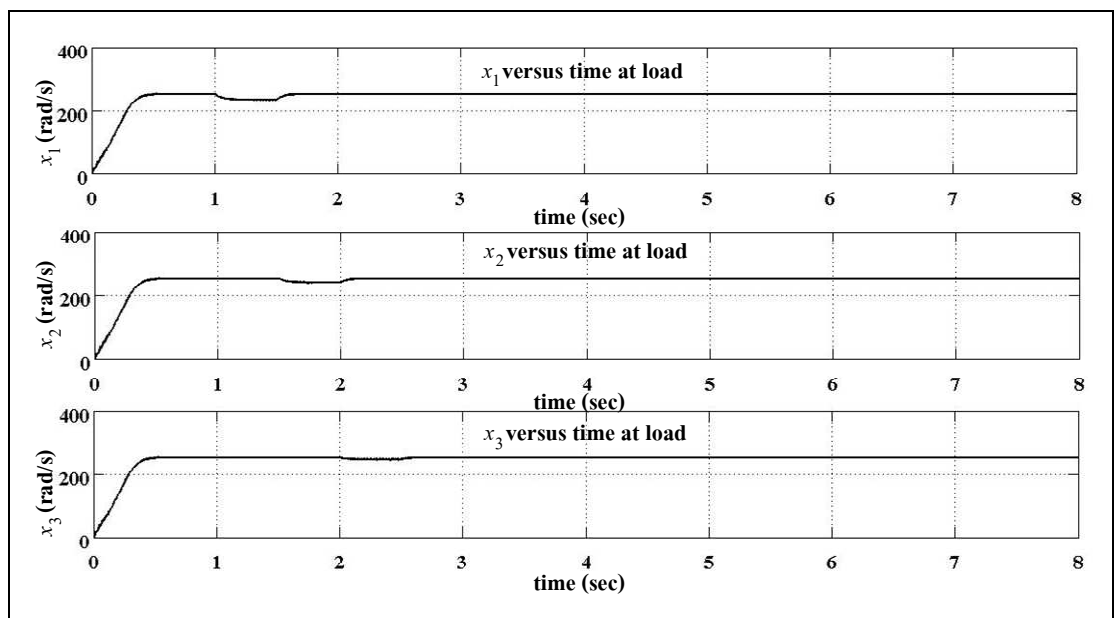
รูปที่ 7.21 ผลการจำลองอัตราเร่งเทียบกับเวลาขณะ ไม่มีโหลด



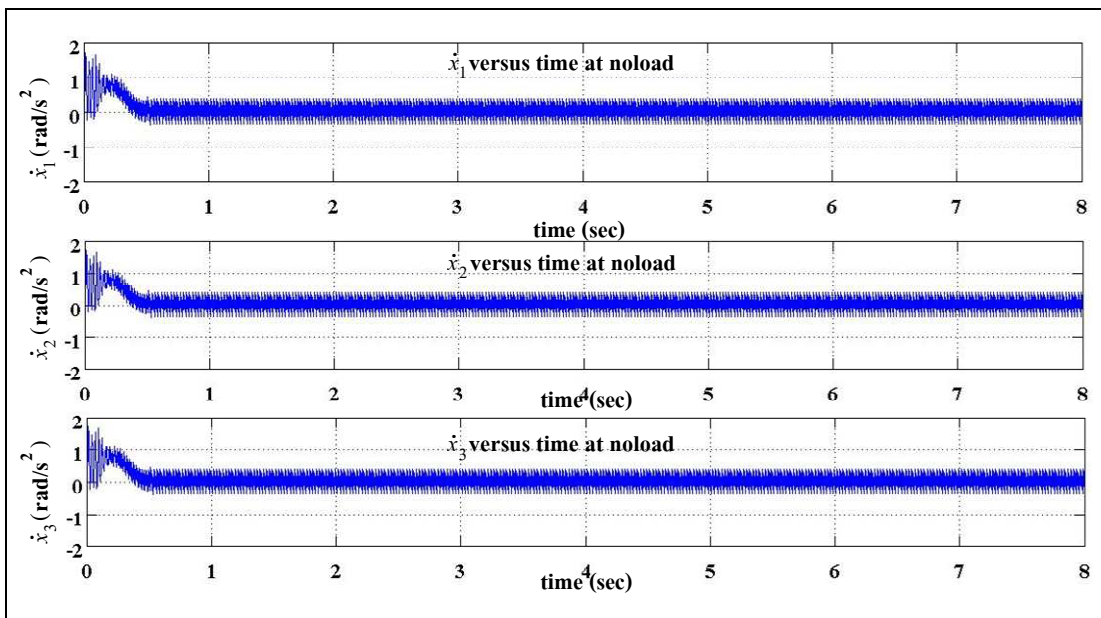
รูปที่ 7.22 ผลการจำลองอัตราเร็วเทียบกับอัตราเร่งขณะ ไม่มีโหลด



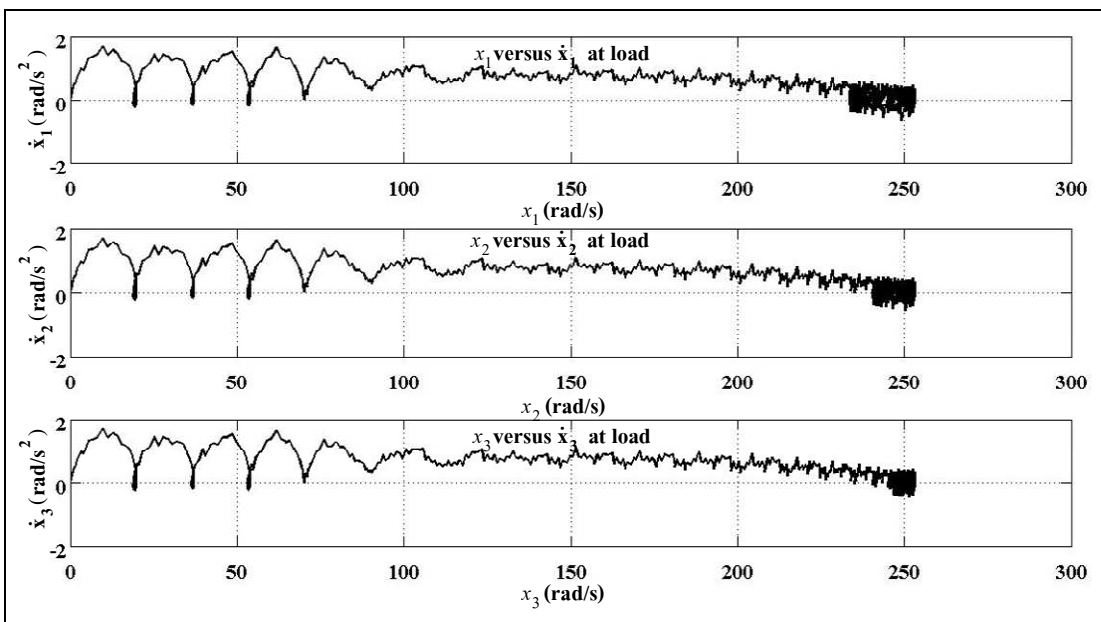
รูปที่ 7.23 ภาพขยายผลการจำลองอัตราเร็วเทียบกับอัตราเร่งขณะไม่มีโหลด



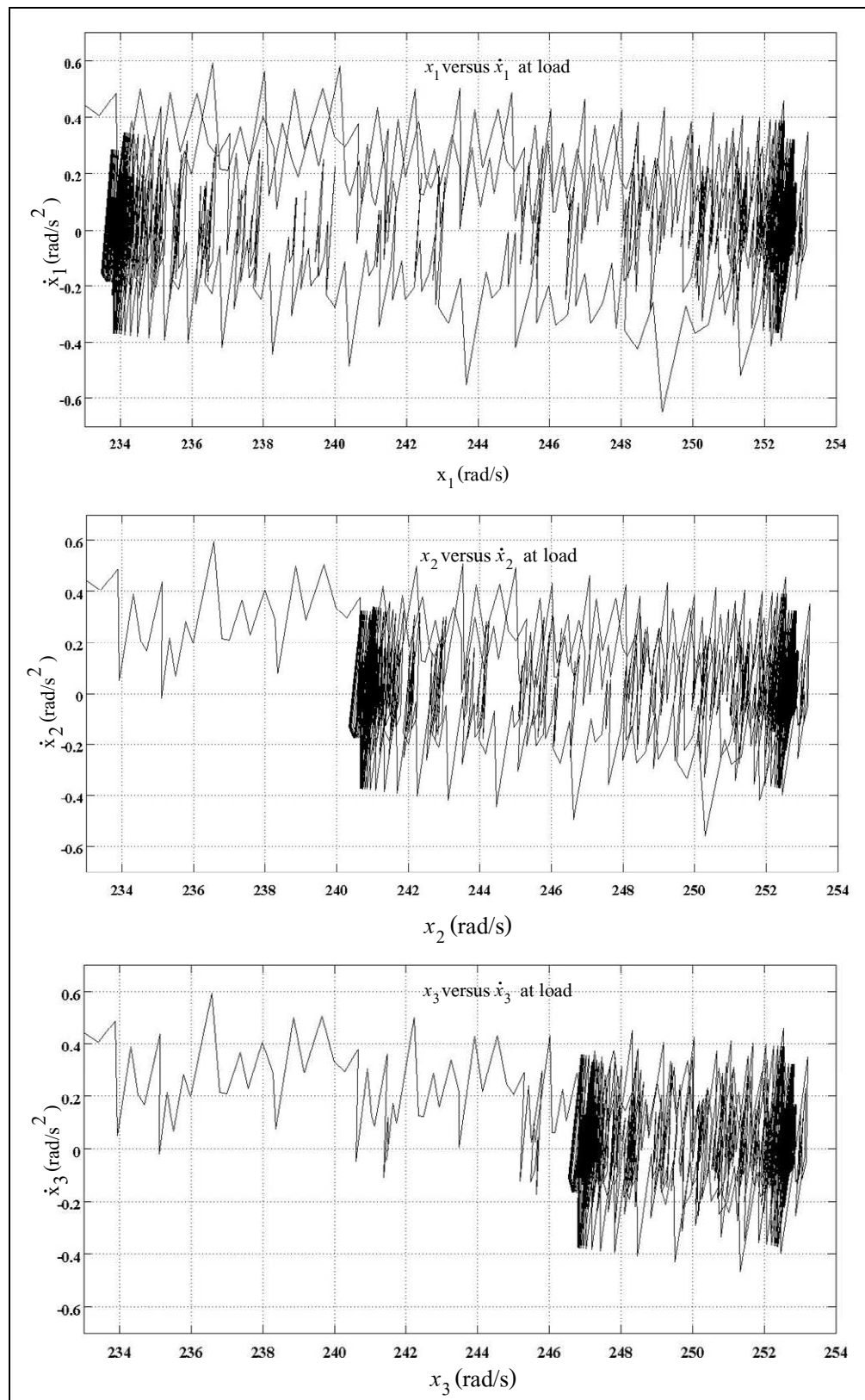
รูปที่ 7.24 ผลการจำลองอัตราเร็วเทียบกับเวลาของขับโหลด



รูปที่ 7.25 ผลการจำลองอัตราเร่งเทียบกับเวลาของขับไฟล์



รูปที่ 7.26 ผลการจำลองอัตราเร็วเทียบกับอัตราเร่งขณะขับไฟล์



รูปที่ 7.27 ภาพขยายผลการจำลองอัตราเร็วเทียบกับอัตราเร่งขณะขับไฟล์ด

7.6 สรุป

จากการทดสอบระบบโดยรวมจะเห็นได้ว่า เครื่องสับพืชผลทางการเกษตรที่ประดิษฐ์ขึ้น ขับด้วยมอเตอร์เหนี่ยวนำไฟเดียว 3 ตัวต่อขนาดกัน ขับด้วยอินเวอร์เตอร์ตัวเดียว (Frecon 3.7 kW 17 A) การสวิตซ์ของอินเวอร์เตอร์ถูกควบคุมด้วยสัญญาณอาจต์พุตของตัวควบคุมฟิชชีของงานวิจัย นี้ซึ่งใช้ชิปปิค ARM 7024 โดยรับสัญญาณป้อนกลับจากตัวตรวจรู้อัตราเร็วของมอเตอร์ วัสดุที่ใช้ทดสอบระบบประกอบด้วย มันสำปะหลัง กระ吝ะพร้าวและไยมะพร้าว บันทึกข้อมูลการทำงาน ของตัวควบคุมฟิชชีและอัตราเร็วของมอเตอร์ทุก ๆ 0.16 วินาที ต่อ 1 ชุดข้อมูลจากตัวตรวจรู้ อัตราเร็ว ซึ่งการทดสอบเริ่มจากต่ออินเวอร์เตอร์เข้ามอเตอร์ตัวกลางและตัวล่าง ต่อระบบไฟ 220 V 50 Hz จากภายนอกเข้ามอเตอร์ตัวบน เนื่องจากมีชุดใบมีดที่มีระยะห่างจากศูนย์กลางมวล มากกว่าใบมีดอีก 2 ชุด แรงที่เกิดขึ้นจะเป็นแรงเหวี่ยงหนีสูนย์ เพื่อให้เกิดแรงกระแทกสูง การออกตัวของมอเตอร์จำเป็นต้องใช้แรงบิดสูง ทำให้มอเตอร์ดึงกระแสสูงมากกว่าการเดินเครื่อง ในสภาพะปกติ หากใช้อินเวอร์เตอร์ในช่วงเริ่มออกตัวพร้อม ๆ กันเพื่อขับใบมีดทั้ง 3 ชุด ในทันทีทันใด อินเวอร์เตอร์จะต้องมีขนาดกำลังพิกัดสูงกว่าที่ใช้เป็นอย่างมาก และจะทำให้ต้นทุน การผลิตต้นแบบสูงขึ้นมาก เมื่อมอเตอร์ทั้ง 3 ตัว หมุนด้วยอัตราเร็วรอบเดียวกัน ได้ทำการตัด แหล่งจ่ายของมอเตอร์ตัวบนออก และเชื่อมต่อเข้ากับแหล่งจ่ายจากอินเวอร์เตอร์ สาเหตุที่ไม่ ออกตัวพร้อมกันและใช้การซิงโครไนซ์มอเตอร์กับอินเวอร์เตอร์ด้วยวิธีนี้ถึงแม้จะแยกแหล่งจ่าย เนื่องจากระบบไฟฟ้าที่ใช้มาจากการจุดเดียวกันของห้องปฏิบัติการ ซึ่งขนาดของสายส่งไม่ตอบที่จะ สามารถทนกระแสสูงได้ การเดินเครื่องมอเตอร์ทั้ง 3 ตัวพร้อมกันอาจทำให้ระบบไฟฟ้าภายใน ห้องปฏิบัติการเสียหายได้ เมื่อมอเตอร์ทั้งสามตัวถูกควบคุมให้มีอัตราเร็วเข้าสู่ค่าเป้าหมาย ได้เท วัตถุดิน 3 ชนิด ที่เป็นสภาพะรบกวนลงไปในระบบ ผลจากการทดสอบระบบจริงจะเห็นได้ว่า ตัวควบคุมฟิชชีแบบจัดการตัวเองพยายามรักษาระดับการควบคุมอัตราเร็วของมอเตอร์ทั้งสามตัว ให้เข้าสู่ค่าเป้าหมาย แม้ว่าในบางกรณีจะเกิดสภาพะรบกวนจากการกระ扰ที่ทำให้มอเตอร์บางตัว เสียการควบคุม แต่ระบบก็พยายามจะรักษาการควบคุมมอเตอร์ตัวที่เหลือให้มีอัตราเร็วรอบ ใกล้เคียงค่าเป้าหมายได้ ค่าเป้าหมายในการทดสอบนี้คือระดับอัตราเร็วของมอเตอร์ที่ 1200 รอบ ต่อนาที หากใช้วิธีควบคุมกระแสเพื่อรักษาค่าเป้าหมายดังกล่าว ต้องใช้อุปกรณ์และเทคนิควิธีการ ที่ยุ่งยากกว่าจำนวนมาก ซึ่งอาจจะเหมาะสมกับงานที่ต้องการควบคุมแรงบิด แต่สำหรับการวิจัยนี้มุ่งเน้น ที่จะควบคุมอัตราเร็วของมอเตอร์ของเครื่องสับพืชที่เป็นเครื่องมือวิจัยตั้งต้น และเพื่อศึกษาถึง ผลกระทบสนองของการคงค่าอัตราเร็วที่เกิดขึ้นจากการทดสอบ จึงได้ทำการจำลองผลการใส่ภาระ ภาระในกรณีต่าง ๆ เเละออกแบบการทดสอบจริง ซึ่งผลจากการจำลองระบบและการทดสอบ สอดคล้องกัน จึงอาจกล่าวได้ว่ามอเตอร์ไฟเดียวที่ต้องนานกันหลายตัวที่จ่ายพลังงานจาก

อินเวอร์เตอร์เพียงตัวเดียวควบคุมด้วยตัวควบคุมฟ์ซซีแบบจัดการตัวเอง เป็นวิธีที่เหมาะสม
และใช้ได้ผลเป็นอย่างดี ในการควบคุมการทำงานของเครื่องสับฟ์ซซ์ผลทางการเกษตรของการวิจัยนี้

บทที่ 8

สรุปและข้อเสนอแนะ

8.1 บทสรุป

งานวิจัยวิทยานิพนธ์นี้ได้ดำเนินการศึกษาวิจัยและพัฒนาองค์ความรู้ และเทคโนโลยีการขับมอเตอร์เหนี่ยวนำไฟฟ้าเดี่ยวที่มีพิกัดกำลังต่ำ ๆ และต่อขนาดกันหลายตัว ซึ่งการขับเคลื่อนดำเนินการผ่านอินเวอร์เตอร์เพียงตัวเดียวได้อย่างประสิทธิภาพ ถึงแม้ว่าแนวคิดการขับมอเตอร์หลายตัวต่อขนาดกันด้วยอินเวอร์เตอร์ตัวเดียวเป็นแนวคิดที่ได้มีการใช้ประโยชน์จริงมานานกว่า 20 ปีแล้วก็ตาม แต่ก็เป็นการใช้งานในระบบรถไฟฟ้าขนส่งมวลชน ระบบรางที่ใช้มอเตอร์เหนี่ยวนำสามเฟส มีพิกัดหลายร้อยแรงม้า แนวคิดดังกล่าวยังไม่เคยได้รับการนำมาใช้ประโยชน์กับมอเตอร์ไฟฟ้าพิกัดกำลังต่ำมาก่อน การพัฒนาองค์ความรู้และเทคโนโลยีจึงต้องตั้งต้นใหม่ นับตั้งแต่การพัฒนาแบบจำลองทางคณิตศาสตร์สำหรับมอเตอร์ไฟฟ้าเดี่ยวที่ต่อขนาดหลายตัว แบบจำลองที่ใช้กับงานวิจัยนี้อาศัยระบบอ้างอิง dq ดังที่ได้กล่าวไว้โดยละเอียดในบทที่ 3

เนื่องจากระบบขับเคลื่อนในองค์รวมเป็นระบบไม่เป็นเชิงเส้น การพัฒนาองค์ความรู้และเทคโนโลยีไม่สามารถพึ่งพาวิธีนัยทั่วไป (general methods) ของระบบเชิงเส้นได้ จึงต้องพึ่งพาการจำลองผลด้วยคอมพิวเตอร์ และได้ดำเนินการจำลองผลหลากหลายกรณี เพื่อศึกษาวิเคราะห์พฤติกรรมทางพลวัตของระบบขับเคลื่อน ดังที่ได้อธิบายรายละเอียดการดำเนินงาน การวิเคราะห์ผล และอภิปราย ไว้ในบทที่ 3 ความรู้ที่เกิดขึ้นได้นำมาใช้สำหรับการออกแบบตัวควบคุมฟิชชี แบบจัดการตัวเอง (self-organizing fuzzy controller) การออกแบบระบบควบคุมในงานวิจัยวิทยานิพนธ์นี้ดำเนินการในแนวศึกษาสำนัก (heuristics) โดยอาศัยข้อมูลความรู้ที่เป็นผลของการจำลองการทำงานของระบบด้วยคอมพิวเตอร์ วิเคราะห์พฤติกรรมของมอเตอร์โดยอาศัยผลการจำลองสถานการณ์ ซึ่งอัตราเร็วตอบของมอเตอร์ในงานวิจัยนี้จะเปลี่ยนแปลงตามความถี่ที่เป็นอัตราส่วนโดยตรงกับแรงดันที่จ่ายให้กับมอเตอร์ ความถี่ดังกล่าวจะเปลี่ยนแปลงไปตามวัฏจักรการทำงานของอินเวอร์เตอร์ที่รับคำสั่งการควบคุมจากการประมวลผลของตัวควบคุม ตัวควบคุมฟิชชีแบบจัดการตัวเองมีโครงสร้างประกอบด้วย ชุดปฏิบัติการฟิชชีฟิล์เซ็น ฐานความรู้ชั้นแรก ฐานความรู้ชั้นที่สอง โลจิกเพื่อการตัดสินใจชั้นแรก โลจิกเพื่อการตัดสินใจชั้นที่สอง ชุดปฏิบัติการฟิชชีฟิล์เซ็น กฎการควบคุมมี 2 อินพุต และ 1 เอาต์พุต ตัวควบคุมแบบนี้แตกต่างจากตัวควบคุมฟิชชีโลจิกแบบธรรมชาติ กล่าวคือ ระบบควบคุมจะทำการประมวลผลด้วยกระบวนการฟิชชีอิกรอบหนึ่งที่มีความละเอียดมากกว่า และนำผลที่ได้ไปประมวลผลร่วมกับ

ดิฟซิฟายในชั้นแรก เพื่อปรับเปลี่ยนค่าการควบคุมให้มีความผิดพลาดลดลง ผลในการควบคุมที่ได้จึงแม่นขึ้นขึ้น

ในการจำลองผลกระทบขั้นเคลื่อนที่มีการควบคุมป้อนกลับ ได้กำหนดโครงรูปໂທลดสำหรับการจำลองผลหากลายกรณ์ จนเป็นที่แน่ใจได้ว่า ระบบควบคุมป้อนกลับโดยใช้ตัวควบคุมฟิซซิแบบจัดการตัวเอง สามารถทำงานได้เป็นอย่างดี อีกทั้งยังได้ข้อสรุปด้วยว่า มีความจำเป็นในทางปฏิบัติที่จะต้องติดตั้งอุปกรณ์นิรภัยตัดมอเตอร์ออกจากแหล่งจ่ายกำลังในกรณีฉุกเฉิน ที่ໂທลดมีขนาดมากเกินไป เพื่อป้องกันความเสียหายที่อาจเกิดกับตัวมอเตอร์ เครื่องจักรกล และอุปกรณ์อิเล็กทรอนิกส์ต่างๆ ดังที่ได้กล่าวไว้โดยละเอียดในบทที่ ๕

องค์ความรู้และเทคโนโลยีการขับมอเตอร์ดังที่ได้กล่าวข้างต้น ได้รับการประยุกต์กับเครื่องสับพืชผลทางการเกษตร การวิจัยวิทยานิพนธ์นี้จึงได้ออกแบบและพัฒนาใบมีด พร้อมหั้งอุปกรณ์จับยึดใบมีดที่เป็นองค์ประกอบของเครื่องจักร ใช้ในการย่อวัสดุพืชผลทางการเกษตร โดยได้แบ่งขั้นตอนการย่อวัสดุพืชผลทางการเกษตรออกเป็น ๓ ขั้นตอน ก้าวคือ ขั้นตอนการกระแทกให้ชิ้นวัสดุแตกออกจากกัน ขั้นตอนการสับ ขั้นตอนการเนื้อน วัสดุที่นำมาทำใบมีดในงานวิจัยวิทยานิพนธ์นี้ผลิตมาจากเหล็กเสื่อมสภาพที่มีปริมาณคาร์บอนสูง ซึ่งเหล็กชนิดนี้จะมีความแข็งแต่ไม่เหนียวแตกหักง่ายเมื่อได้รับแรงกระแทก การที่จะนำเหล็กดังกล่าวมาทำการขีณรูปเป็นใบมีดสำหรับเครื่องจักรกลของงานวิจัยนี้ จำเป็นจะต้องได้รับการปรับปรุงให้มีความแข็งและเหนียว ด้วยกระบวนการตามที่ได้จำกัดศิทธิบัตรการประดิษฐ์ เลขที่คำขอ 0701000717 และทำการขีณรูปใบมีดตามสิทธิบัตรการประดิษฐ์ชุดใบมีดความแบบเป็นพวง เลขที่คำขอ 0701000718 สิทธิบัตรการประดิษฐ์ใบมีดสับและกระบวนการขีณรูปใบมีดสับ เลขที่คำขอ 0701000717 สิทธิบัตรการประดิษฐ์ปลอกยึดใบมีดสับแบบปรับมุม ได้และชุดใบมีดสับแบบปรับมุม ได้ เลขที่คำขอ 0701000719 สิทธิบัตรการประดิษฐ์ใบมีดเนื้อน เลขที่คำขอ 0701000720 และสิทธิบัตรการประดิษฐ์ใบมีดเนื้อน เลขที่คำขอ 0701001328

การทดสอบระบบควบคุมเครื่องสับพืชผลทางการเกษตร ซึ่งมีส่วนประกอบหลักเป็นเครื่องสับพืช มอเตอร์เฟสเดียว ๓ ตัวต่อขนาดกัน อินเวอร์เตอร์ Frecon 3.7kW-17A และไนโตรคอนโทรลเลอร์ ARM7024 การทดสอบเริ่มจากต่ออินเวอร์เตอร์เข้ามอเตอร์ตัวกลาง และตัวล่าง ต่อระบบไฟ 220 V 50 Hz จากภายนอกเข้ามอเตอร์ตัวบนเนื่องจากมีชุดใบมีดที่มีระยะห่างจากกันมากกว่าใบมีดอีก 2 ชุด แรงที่เกิดขึ้นจะเป็นแรงเหวี่ยงหนาสูนย์ เพื่อให้เกิดแรงกระแทกสูง การออกแบบตัวของมอเตอร์จำเป็นต้องใช้แรงบิดสูงทำให้มอเตอร์ดึงกระแสสูงมากกว่าการเดินเครื่องในสภาพปกติ หากใช้อินเวอร์เตอร์ในช่วงเริ่มตัวพร้อมๆ กันเพื่อขับใบมีดทั้ง ๓ ชุดในทันทีทันใด อินเวอร์เตอร์จะต้องมีขนาดกำลังพิเศษสูงกว่าที่ใช้เป็นอย่างมาก และจะทำให้ต้นทุนการผลิตต้นแบบสูงขึ้นมาก เมื่อมอเตอร์ทั้ง ๓ ตัว หมุนด้วยอัตราเร็วรอบเดียวกัน ได้ทำการ

ตัดแหล่งจ่ายของมอเตอร์ตัวบนออก และเชื่อมต่อเข้ากับแหล่งจ่ายจากอินเวอร์เตอร์ สาเหตุที่ไม่ออกตัวพร้อมกันและใช้การซิงโครไนซ์มอเตอร์กับอินเวอร์เตอร์ด้วยวิธีนี้ถึงแม้จะแยกแหล่งจ่ายเนื่องจากระบบไฟฟ้าที่ใช้มาจากการเดินเครื่องมอเตอร์ทั้ง 3 ตัวพร้อมกันอาจทำให้ระบบไฟฟ้าภายในห้องปฏิบัติการเสียหายได้ การทดสอบได้ดำเนินการสับมันสำปะหลัง กลางมาร์ทร้าวปั่นด้วยไบมาร์ทร้าว และกานบาร์มาร์ทร้าว พร้อมทั้งได้กำหนดโครงสร้างโดยลอดจริงที่มอเตอร์จะได้รับ ปรากฏผลไว้ในบทที่ 7 การดำเนินงานของเครื่องจักรและการควบคุมระบบเป็นไปตามความคาดหมายอย่างหน้าที่มาก กล่าวคือ เครื่องจักรสามารถสับวัตถุคิบได้อย่างที่ต้องการ ระบบควบคุมแบบฟิชชีสามารถคุ้มค่าอัตราเร็วรอบมอเตอร์ได้ตามความคาดหวังที่ 1200 รอบต่อนาที โดยมีความผิดพลาดจำกัดในย่าน $\pm 5\%$ เป็นไปตามข้อกำหนดสมรรถนะ ตลอดจนไม่เกิดเกิดการขัดข้องใด ๆ เลย ตลอดการทดสอบทุกครั้ง

8.2 ข้อเสนอแนะ

8.2.1 องค์ความรู้ที่ได้สามารถนำไปประยุกต์กับงานในรูปลักษณะอื่น ๆ ให้เกิดประโยชน์ เช่น ระบบควบคุมที่ได้พัฒนาขึ้นสามารถนำไปใช้ในงานควบคุมการขับเคลื่อนด้วยไฟฟ้าได้ และเครื่องมือวิจัยที่ได้ประดิษฐ์คิดค้นขึ้นสามารถนำไปประยุกต์ใช้กับงานที่เกี่ยวข้องกับเครื่องจักรกลการเกษตร ได้หลากหลาย เช่น เครื่องบด เครื่องสับต่าง ๆ ก่อให้เกิดผลต่อการพัฒนากระบวนการผลิตในภาคเกษตรกรรมขนาดเล็กและขนาดกลางได้เป็นอย่างดี

8.2.2 ขณะเครื่องจักรทำงานมีการสั่นมาก และเสียงดังมาก จึงควรมีการวิจัยพัฒนาเพื่อลดการสั่นสะเทือนทางกล และลดความดังของเสียง

8.2.3 ควรมีการวิจัยพัฒนาเพื่อสร้างอินเวอร์เตอร์ที่ทนกระแสไฟฟ้าได้สูง จากชิ้นส่วนอิเล็กทรอนิกส์ เพราะจะใช้งานได้สะดวกกว่าที่จะใช้อินเวอร์เตอร์สำเร็จรูป อีกทั้งการซ่อมบำรุงจะทำได้ง่ายกว่า

8.2.4 ในทางทฤษฎี ควรมีการศึกษาวิเคราะห์เสถียรภาพของระบบควบคุมป้อนกลับนี้ และเนื่องจากกฎฟิชชีที่ออกแบบไว้ในชั้นนี้มี 2 ชุด ชุดละ 121 ข้อ ซึ่งถือว่ามีจำนวนมาก จึงควรมีการศึกษาเพิ่มเติมเพื่อการminimizeจำนวนกฎ

รายการอ้างอิง

- สิงหนาท พวงจันทร์แดง. (2535). **การประยุกต์อาหาร 1. รายงานการวิจัยฉบับสมบูรณ์.** คณะวิศวกรรมศาสตร์: มหาวิทยาลัยขอนแก่น ขอนแก่น.
- เกย์มสันต์ แสงเงิน ขวัญ ทิพย์แสง และ ออาท มาตรฐาน. (2549). **เครื่องสั่นมันสำปะหลังเพื่อผลิตมันเส้นอาหารสัตว์.** รายงานการวิจัยฉบับสมบูรณ์. คณะวิศวกรรมศาสตร์: มหาวิทยาลัยราชมงคลลีสาน วิทยาเขตขอนแก่น.
- Ando, I., Sazawa, M., and Ohishi, K. (2004). High efficient speed control of parallel-connected induction motors with unbalanced load condition using one inverter. **IEEE 30th Annual Conf. on Industrial Electronics Society.** 2: 1361-1366.
- Calcev, G. (1998). Some remarks on the stability of Mamdani fuzzy control system. **IEEE Trans on Fuzzy System.** 6(3): 436-442.
- Correa, M.B.R., Jacobina, C.B., Lima, A.M.N., and da Silva, E.R.C. (2004). Vector control strategies for single-phase induction motor drive systems. **IEEE Trans on Industry Applications.** 51(5): 1073-1080.
- Hwang, C.J. and Yen., T.T. (1996). A design of fuzzy self-organizing controller. **Proc. IEEE Conf. on Fuzzy Systems.** 3: 1567-1572.
- Jang, D.H. (1994). Voltage, frequency, and phase-difference angle control of PWM inverters-fed two-phase induction motors. **IEEE Trans on Power Electronics.** 9(4): 377-383.
- Krause, P.C., Wasynczuk, O., and Sudhoff, S.D. (1995). **Analysis of Electrical Machinery.** Piscataway, NJ: IEEE Press.
- Krishnan, R. (2001). **Electric Motor Drive Modeling Analysis and Control.** USA: Prentice Hall.
- Lai, M.F., Chang, C., and Chiou, W.Y. (1997). Design of fuzzy logic controller for an induction motor speed drive. **Proceedings of SICE:** 1071-1076.
- Mademlis, C., Kioskeridis, I., and Theodoulidis, T. (2005). Optimization of single-phase induction motors-Part I: Maximum energy efficiency control. **IEEE Trans on Energy Conversion.** 20(1): 187-195.

- Mamdani, E.H. (1977). Application of fuzzy logic to approximate reasoning using linguistic synthesis. **IEEE Trans on Computers**. C-26(12): 1182-1191.
- Matsumoto, Y., Osawa, C., Mizukami, T., and Ozaki, S. (1998). A stator-flux-based vector control method for parallel-connected multiple induction motors fed by a single inverter. **Proceeding of APEC**. 2: 575-580.
- Matsumoto, Y., Ozaki, S., and Kawamura, A. (2001). A novel vector control of single-inverter multiple-induction-motors drives for Shinkansen traction system. **Proc. IEEE Conf. Applied Power Electronics**. 1: 608-614.
- Matsuse, K., Kouno, Y., Kawai, H., and Yokomizo, S. (2002). A speed-sensorless vector control method of parallel-connected dual induction motor fed by a single inverter. **IEEE Trans on Industry Applications**. 38(6): 1566-1571.
- Matsuse, K., Kouno, Y., Kawai, H., and Oikawa, J. (2004). Characteristics of speed sensorless vector controlled dual induction motor drive connected in parallel fed by a single inverter. **IEEE Trans on Industry Applications**. 40(1): 153-161.
- Ong, C.M. (1998). **Dynamic simulation of Electric machinery using MATLAB/SIMULINK**. USA: Prentice Hall.
- Rahim, N.A. (2002). Operating of single-phase induction motor as two-phase motor. **IEEE Trans on Industry Applications**. 38(6): 1566.
- Ruxi, W., Yue, W., Qiang, D., Yanhui, H., and Zhaoan, W. (2006). Study of control methodology for single inverter parallel connected dual induction motors based on the dynamic model. **Proc. IEEE Conf. Power Electronics Specialists Conference**: 1-7.
- Sujitjorn, S. (1995). Fuzzy logic and control system. **Suranaree J. Sci. Technol**. 2: 171-196.
- Wu, B., Dewan, S.B., and Sen., P.C. (1988). A modified current source inverter for a multiple induction motor drive system. **IEEE Trans on Power Electronics**. 3(1): 10-16.
- Wu, B., Dewan, B.S., and Sen, P.C. (1988). A modified current-source inverter (MCSI) for a multiple induction motor drive system. **IEEE Trans on Power Electronics**. 9(4): 377-383.
- Xu, C. and Yung, C.S. (2005). Design of multilevel fuzzy controller for nonlinear systems and stability analysis. **IEEE Trans on Fuzzy System**. 13(6): 761-778.

ภาคผนวก ก

ผลการทดสอบเหล็กจากห้องปฏิบัติการ

ที่ ศธ 5632/..... 2142



หน้าที่ 1/1

๑๓ มิถุนายน 2550

เรียน ศาสตราจารย์ นาวาอากาศฯ ดร. สราวุฒิ สุจิตตระ

รายงานผลการทดสอบ

ห้องปฏิบัติการ ทดสอบวัสดุ

โครงการ งานวิจัยการขับเคลื่อนมอเตอร์

ไฟฟ้าเดียวที่ต่อขนาดกันหลาຍตัว

หมายเลขใบอนุญาต ฝ.ป.อ.ก. MT012-12/2550

หมายเลขใบอนุญาต 8 มิถุนายน 2550

วันที่รับตัวอย่าง 8 มิถุนายน 2550

วันที่ทดสอบตัวอย่าง 11 มิถุนายน 2550

ลักษณะ	ลักษณะการทดสอบ	Yield Point (Kgf/mm²)	Tensile strength (Kgf/mm²)	Elongation (%)	หมายเหตุ
1	เหล็กดํา ไบบานาค 6.5mm x 25mm	32.33	32.88	1.10	-
2	เหล็กดํา ไบบานาค 6.5mm x 25mm	35.95	46.88	-	ขาดอ ก Gauge Length

(นายศิริพัฒนา พิริสิริวงศ์)

ผู้ช่วยผู้อำนวยการศูนย์ความคุ้มครองทดสอบ

11 มิถุนายน 2550

(นายอาทิตย์ อุไรรัตน์พงษ์)

ผู้รับรองผลการทดสอบ

11 มิถุนายน 2550

(รองศาสตราจารย์ เกiergeing ไกร ไตรสาร)

รองผู้อำนวยการศูนย์เครื่องมือวิทยาศาสตร์และเทคโนโลยี

รับรองรายงานผลการทดสอบ

13 มิถุนายน 2550

(ยังเรย์ ดร. นรนทร์ อัครพัฒนาภูค)

ผู้ดำเนินการศูนย์เครื่องมือวิทยาศาสตร์และเทคโนโลยี

รับรองรายงานผลการทดสอบ

13 มิถุนายน 2550

*รายงานผลการทดสอบใช้ได้เฉพาะตัวอย่างที่นำมาทดสอบเท่านั้น

*ห้ามแยกตัวเนื่องไปรายงานผลการทดสอบ ให้ข้อมูลเท็จ ไม่ได้รับความยินยอมเป็นลายลักษณ์อักษรจากห้องปฏิบัติการ

111 ถนนมหาวิทยาลัย ตำบลสุรุนยวิช อำเภอเมือง จังหวัดนครราชสีมา 30000 โทรศัพท์ (044) 223000 โทรสาร (044) 224070

S U R A N A R E E U N I V E R S I T Y O F T E C H N O L O G Y

111 UNIVERSITY AVENUE, SUB DISTRICT SURANAREE, MUANG DISTRICT, NAKHON RATCHASIMA 30000, THAILAND Tel. (044) 223000 Fax. (044) 224070



รายงานผลการทดลอง

เรียน ศาสตราจารย์ นavaอาภาส์ ดร. สราฐ ศุจิชร

ห้องปฏิบัติการ ทดสอบวัสดุ

วันที่ 7 มิถุนายน 2550

โครงการ งานวิจัยการ

ขับเคลื่อนนวัตกรรมเพื่อสังคมที่ดี

ขนาดกันพลาสติก

ชื่นงานจะใน ชื่นรูปเป็นชื่นงานทดสอบแรงดึง ผ่านกระบวนการ ชุมชนและอบต้าไฟ
และได้ทดสอบค่าความแข็ง ได้ค่าดังนี้

55 58 56 HRC

นาย พัฒนา วงศ์
(นาย พัฒนา วงศ์)
นายช่างเทคนิค

13 มิถุนายน 2550

ภาคผนวก ข

โปรแกรมฟ์ชซีแบบจัดการตัวเองสำหรับควบคุมการขับเคลื่อน
มอเตอร์เรนี่ยวนำไฟสดเดียวที่ต่อขนาดกัน 3 ตัวด้วยอินเวอร์เตอร์ชุดเดียว

โปรแกรมพืชชีแบบจัดการตัวเองสำหรับควบคุม
การขับเคลื่อนมอเตอร์เหนี่ยวนำไฟสเดียวก็ต่อขานานกัน 3 ตัว
ด้วยอินเวอร์เตอร์ชุดเดียว

โปรแกรมพืชชีแบบจัดการตัวเองสำหรับควบคุมการขับเคลื่อนมอเตอร์ที่ต่อขานานกัน 3 ตัว ด้วยอินเวอร์เตอร์ชุดเดียว ที่ได้รับการพัฒนาขึ้นโดยโปรแกรมภาษาซีสำหรับไมโครคอนโทรลเลอร์ ARM7 มีรายละเอียดดังต่อไปนี้

```

=====

// โปรแกรมพืชชีแบบจัดการตัวเองนี้พัฒนาด้วยโปรแกรมภาษาซีสำหรับไมโครคอนโทรลเลอร์ ARM7
// โปรแกรมนี้สำหรับทำงานบนบอร์ดทดลองรุ่น "ET-BASE ARM ADUc7024"
// รายละเอียดของบอร์ดไมโครคอนโทรลเลอร์ คือ
// ไมโครคอนโทรลเลอร์เบอร์ : Analog Device ADUc7024
// ความถี่สัญญาณนาฬิกา : 32.768 KHz
// ความถี่ในการประมวลผล : 41.78 MHz (With PLL)
// การตั้งค่า CD (Clock Divider) : CPU Clock Divider = 0
=====

=====

#include <ADUc7024.h>          // สำหรับเลือกใช้งาน ADUc7024 MPU รีจิสเตอร์
#include <stdio.h>              // สำหรับเลือกใช้งานคำสั่ง printf
#include <math.h>                // สำหรับเลือกใช้งานคำสั่งทางคณิตศาสตร์

#define EN_DECODE_TB_ROWS 16    // กำหนดค่าคงที่ Fuzzy Encoder Table จำนวน 16 แถว
#define EN_DECODE_TB_COLS 11   // กำหนดค่าคงที่ Fuzzy Encoder Table จำนวน 11 หลัก
#define FUZ_SET_TB_ROWS 12     // กำหนดค่าคงที่ Fuzzy Set Table จำนวน 12 แถว
#define FUZ_SET_TB_COLS 12     // กำหนดค่าคงที่ Fuzzy Set Table จำนวน 12 หลัก
#define Hold_Speed 4.0        // กำหนดค่าคงที่ Hold Speed สำหรับรักษาระดับแรงดัน 4.0 V
#define Fuzzy_Gain 0.5         // กำหนดค่าคงที่ Fuzzy Gain ระหว่าง [0.1 ถึง 10.0]
                                // สำหรับปรับอัตราขยายของค่าที่ได้จากฟลัชชี

#include "ADUc7042_Srl.c"      // เพิ่มส่วนของโปรแกรมย่อย “การเริ่มสารอนุกรม”
#include "ADUc7042_ADC.c"       // เพิ่มส่วนของโปรแกรมย่อย “การแปลงแอนalog เป็นดิจิตอล”
#include "ADUc7042_DAC.c"       // เพิ่มส่วนของโปรแกรมย่อย “การแปลงดิจิตอลเป็นแอนalog”
#include "CM_Fuzzy.c"           // เพิ่มส่วนของโปรแกรมย่อย “กระบวนการทาง Fuzzy”

```



```

//                จึงมีการหารค่าลง
//                คูณ 4096 ทีอ ค่าของ DAC 12 บิต
//                หาร 2.5 คือ ค่าแรงดันอ้างอิงสูงสุด
DAC0DAT = ((int)DAC_Out)<<16;      // ส่งค่าไปยังหน่วย DAC ในรูปของตัวแปรแบบ
//                                            // อินทีจีอีร์เฉพาะ 16 บิตถ่าง
//-----
====

Wait_Start:
sMotor0 = 2.0 * ADC_Read(2);      // อ่านค่า DAC จากมอเตอร์ตัวที่ 2 และคูณสอง
//                                            // เนื่องจากค่า DAC สูงสุดที่อ่านได้ 2.5 โวลต์
printf("Wait Start to 1200 rpm \n"); // แสดงข้อความเพื่อรอให้สตาร์ทมอเตอร์ทั้งสามตัว
//                                            // และลดกำลังลงเป็น 4 โวลต์หรือ
80%
Delay(500000);                  // หน่วงเวลา
if (sMotor0>=4.0) goto Wait_Start; // ในการณ์ที่ลดกำลังมอเตอร์ยังไม่ได้หักล้าไป
//                                            // ยังลูป "Wait_Start." ก่อน

while(1)                         // วนลูปไม่รู้จบ
{
    sMotor0 = 2.0 * ADC_Read(2); // อ่านค่าความเร็วมอเตอร์ 0 จาก DAC ช่อง 2
    sMotor1 = 2.0 * ADC_Read(4); // อ่านค่าความเร็วมอเตอร์ 1 จาก DAC ช่อง 4
    sMotor2 = 2.0 * ADC_Read(6); // อ่านค่าความเร็วมอเตอร์ 2 จาก DAC ช่อง 6
    V_Oper = Chopping_Machine_Fuzzy(sMotor0,sMotor1,sMotor2);
// คำนวณค่าพื้นที่จากความเร็วมอเตอร์ทั้งสาม
    DAC_Out = (V_Oper / 2.0) * 4096 / 2.5;
// แปลงค่า V_Oper เป็นค่าเพื่อส่งให้ DAC
    DAC0DAT = ((int)DAC_Out)<<16; // ส่งค่าไปยังอินเวอร์เตอร์เพื่อส่งการ
    printf("#Vi:%6.4f,%6.4f,%6.4f",sMotor0,sMotor1,sMotor2);
// แสดงค่าพารามิเตอร์ความเร็วมอเตอร์ 0,
1, 2
    printf("#Vo:%6.4f(%4.2f)\n\0",V_Oper,V_Oper/2.0);
// แสดงค่าพื้นที่ที่คำนวณได้
    Delay(500000);              // หน่วงเวลา
}
=====

// โปรแกรมพื้นที่แบบจัดการตัวเองสำหรับควบคุมการขับเคลื่อนมอเตอร์ที่ต้องนานกัน 3 ตัว
// ด้วยอินเวอร์เตอร์ชุดเดียว

```



```

//=====
//===
// โปรแกรม "ADUc7042_Srl.c": ส่วนของโปรแกรมย่ออย่างสำหรับการสื่อสารอนุกรมและหน่วงเวลา
//===
//=====

#define CR 0x0D           // ค่าคงที่รหัส ASCII ของคำสั่ง Carry Return

//-----
//-
// โปรแกรมย่ออยหน่วงเพื่อการเวลา กำหนดค่าอินพุต 1-4294967296
//-
//-

void Delay(unsigned long int count1)
{
    while(count1 > 0) {count1--;} // วนรอป ลดค่าตัวแปรเพื่อหน่วงเวลา
}

//-----
//-
// กำหนดอัตราบอต 9600, N, 8, 1 เมื่อใช้สัญญาณนาฬิกา 41.78 MHz
//-
//-

void Initial_Serial(void)
{
    GP1CON &= 0xFFFFFFFCC; // กำหนดหน้าที่ P1.1 และ P1.0 เป็นพอร์ตอนุกรม
    GP1CON |= 0x00000011; // กำหนด P1.1 เป็นขา Tx และ P1.0 เป็นขา Rx
    COMCON0 = 0x80; // ตั้งค่า DLAB เพื่อกำหนดอัตราบอต 9600
    COMDIV0 = 0x88; // ตั้งค่า DIV0 และ DIV1
    COMDIV1 = 0x00;
    COMCON0 = 0x07;
}

//-----
//-
// พังก์ชันเขียนข้อมูลไปยังพอร์ตอนุกรม สำหรับใช้งานร่วมกับคำสั่ง printf
//-
//-

int putchar(int ch)           // พังก์ชันเขียนข้อมูลไปยังพอร์ตอนุกรม
{
    if (ch == '\n')
    {
        while (!(0x40==(COMSTAO & 0x40)))

```

```

    { }          // รอนกว่าการส่งข้อมูลสมบูรณ์
    COMTX = CR;    // เขียนข้อมูลรหัส ASCII CR
}
while (!(0x40==(COMSTA0 & 0x40)))
{
    { }          // รอนกว่าการส่งข้อมูลสมบูรณ์
return (COMTX = ch);
}

//-----
-- 
// พังก์ชันอ่านข้อมูลจากพอร์ตต่อหุ่นยนต์ สำหรับใช้งานร่วมกับคำสั่ง scanf
//-----


int getchar (void)           // อ่านข้อมูลจากพอร์ตต่อหุ่นยนต์
{
    while(!(0x01==(COMSTA0 & 0x01))) // รอนกว่ามีการรับข้อมูลจากพอร์ตต่อหุ่นยนต์
    {
        return (COMRX);
    }
}

//=====
== 
// โปรแกรม "ADUc7042_ADC.C": โปรแกรมย่อยการทำ ADC สำหรับบอร์ด ET-BASE ARM ADUc7024
//=====
== 

void Initial_ADC(void)           // โปรแกรมย่อยการตั้งค่าเริ่มต้นให้งาน ADC
{
    ADCCON = 0x00000000;      // รีเซ็ตค่า ADC เพื่อเริ่มต้นทำงานใหม่
    ADCCON |= 0x00000020;     // กำหนดให้มีการใช้งานฟังก์ชัน ADC
    Delay(1000);             // หน่วงเวลาเพื่อตั้งค่าการเรียกใช้ฟังก์ชัน ADC
    ADCCON |= 0x00001400;     // กำหนด อัตราการสุ่มเรียกสัญญาณ = fADC/32
    ADCCON |= 0x00000300;     // กำหนด Acquisition Time = 16 Cycle Clock
    ADCCON &= 0xFFFFFE7;     // กำหนด โหมด ADC เป็นโหมด Single-End
    ADCCON |= 0x00000004;     // กำหนด ให้การแปลง ACD แบบต่อเนื่องตลอดเวลา
    REFCON = 0x00000001;      // กำหนด ใช้แรงดันอ้างอิงจากภายในขนาด 2.5 โวลต์
    ADCCON |= 0x00000080;     // เริ่มการทำงาน ADC
}

//-----
-- 

```

```

// พังก์ชันสำหรับอ่านข้อมูลจาก ADC จากช่องสัญญาณที่ต้องการ
//-----
//-----

float ADC_Read(int channel)
{
    float volt;           // ตัวแปรสำหรับเก็บค่าแรงดันที่อ่านได้ (โวลต์)
    unsigned int val;     // ตัวแปรสำหรับเก็บค่า ADC ที่อ่านได้ (HEX)
    ADCCP = channel;      // สั่งการให้หน่วย ADC แปลงค่าในช่องที่เลือก
    Delay(1000);          // หน่วงเวลาเพื่อให้การเลือกช่องการแปลงสมบูรณ์
    while (!ADCSTA){};   // รอดจนกว่าการแปลง ADC เสร็จสิ้น (Bit0="1")
    val = (ADCDAT>>16)&0xFFFF; // แปลงค่า ADC ที่อ่านได้เป็นอินทีเจอร์ 12 บิต
    volt = val * (2.50 / 4096.0); // แรงดันที่อ่านได้ = ค่า ADC x [2.5V / 4095]
    // ค่า ADC สูงสุด คือ 2.5 โวลต์ = 4095
    return (volt);        // ส่งค่าแรงดันที่อ่านกลับไปโปรแกรมหลัก
}

=====

====

// โปรแกรม "ADUc7042_DAC.C": โปรแกรมย่อยการทำ DAC สำหรับบอร์ด ET-BASE ARM ADUc7024
// การเรียกใช้ DAC โดยการส่งค่าไปยังรีสเตอร์ DAC0DAT หรือ DAC1DAT
=====

====

void Initial_DAC(void)
{
    // โปรแกรมย่อยการตั้งค่าเริ่มต้นใช้งาน DAC0
    DAC0CON &= 0xDF; // กำหนด ส่วนวงจร DAC0 ใช้สัญญาณนาฬิกการหลัก
    DAC0CON |= 0x10; // กำหนด DAC0 ให้เริ่มการทำงาน
    DAC0CON |= 0x02; // กำหนด DAC0 ให้มีผลการแปลงจาก +Vref ถึง 0 โวลต์
    REFCON = 0x01; // กำหนด Vref จากภายในมีค่า 2.5 โวลต์

    // โปรแกรมย่อยการตั้งค่าเริ่มต้นใช้งาน DAC1
    DAC1CON &= 0xDF; // กำหนด ส่วนวงจร DAC1 ใช้สัญญาณนาฬิกการหลัก
    DAC1CON |= 0x10; // กำหนด DAC1 ให้เริ่มการทำงาน
    DAC1CON |= 0x02; // กำหนด DAC1 ให้มีผลการแปลงจาก +Vref ถึง 0 โวลต์
    REFCON = 0x01; // กำหนด Vref จากภายในมีค่า 2.5 โวลต์
}

=====

====

// โปรแกรม ""CM_Fuzzy.C": โปรแกรมย่อยกระบวนการการทำงานของพื้นที่

```

```

//=====
====

/*
---



Calculate Encoder Fuzzy Table. Using this Fuzzy Table for Encode

H_1, C_1, H_2, C_2, H_3, C_3, H_4, C_4, H_5, C_5
0 { -1, 1, -1, 0, 0, 0, 0, 0, 0, 0 }, // case 1 LN
1 { -0.75, 1, -1, 1, error, 0, 0, 0, 0, 0 }, // case 2 LN
2 { -0.625, y3, -1, y3, -0.75, 0.5, -0.625, x3, -0.5, x3, -0.375 }, // case 3 LN MN
3 { -0.5, x4, -1, x4, -0.75, 0.5, -0.625, y4, -0.5, 0.5, -0.375 }, // case 4 LN MN
4 { -0.375, 0.5, -0.625, y5, -0.5, 0.5, -0.375, x5, -0.25, x5, -0.125 }, // case 5 MN SN
5 { -0.25, x6, -0.625, x6, -0.5, 0.5, -0.375, y6, -0.25, 0.5, -0.125 }, // case 6 MN SN
6 { -0.125, 0.5, -0.375, y7, -0.25, 0.5, -0.125, x7, 0, x7, 0.125 }, // case 7 SN ZO
7 { 0, x8, -0.375, x8, -0.25, 0.5, -0.125, y8, 0, 0.5, 0.125 }, // case 8 SN ZO
8 { 0.125, 0.5, -0.125, y9, 0, 0.5, 0.125, x9, 0.25, x9, 0.375 }, // case 9 ZO SP
9 { 0.25, x10, -0.125, x10, 0, 0.5, 0.125, y10, 0.25, 0.5, 0.375 }, // case 10 ZO SP
10 { 0.375, 0.5, 0.125, y11, 0.25, 0.5, 0.375, x11, 0.5, x11, 0.625 }, // case 11 SP MP
11 { 0.5, x12, 0.125, x12, 0.25, 0.5, 0.375, y12, 0.5, 0.5, 0.625 }, // case 12 SP MP
12 { 0.625, 0.5, 0.375, y13, 0.5, 0.5, 0.625, x13, 0.75, x13, 1 }, // case 13 MP LP
13 { 0.75, x14, 0.375, x14, 0.5, 0.5, 0.625, y14, 0.75, y14, 1 }, // case 14 MP LP
14 { 1, 1, error, 1, 1, 0, 0, 0, 0, 0 }, // case 15 LP
15 { 1, 1, 1, 0, 0, 0, 0, 0, 0, 0 } // case 16 LP

// ตารางการเข้า_encode Fuzzy
//-----



double enfuzzy(double error)
{
    int i, j, Chk_Case;
    double num, den;

    double error_table[EN_DECODE_TB_ROWS][EN_DECODE_TB_COLS] = {
        // error = 99.99, xn= 98.0n yn=97.0n
        // H_1, C_1, H_2, C_2, H_3, C_3, H_4, C_4, H_5, C_5
        { -1, 1, -1, 0, 0, 0, 0, 0, 0, 0}, // case 1
LN
        { -0.75, 1, -1, 1, 99.99, 0, 0, 0, 0, 0}, // case 2
LN
        { -0.625, 97.03, -1, 97.03, -0.75, 0.5, -0.625, 98.03, -0.5, 98.03, -0.375}, // case 3 LN MN
        { -0.5, 98.04, -1, 98.04, -0.75, 0.5, -0.625, 97.04, -0.5, 0.5, -0.375}, // case 4 LN MN
        { -0.375, 0.5, -0.625, 97.05, -0.5, 0.5, -0.375, 98.05, -0.25, 98.05, -0.125}, // case 5 MN SN
        { -0.25, 98.06, -0.625, 98.06, -0.5, 0.5, -0.375, 97.06, -0.25, 0.5, -0.125}, // case 6 MN SN
        { -0.125, 0.5, -0.375, 97.07, -0.25, 0.5, -0.125, 98.07, 0, 98.07, 0.125}, // case 7 SN ZO
    };
}

```

```

{ 0, 98.08, -0.375, 98.08, -0.25, 0.5, -0.125, 97.08, 0, 0.5, 0.125}, // case 8 SN ZO
{ 0.125, 0.5, -0.125, 97.09, 0, 0.5, 0.125, 98.09, 0.25, 98.09, 0.375}, // case 9 ZO SP
{ 0.25, 98.10, -0.125, 98.10, 0, 0.5, 0.125, 97.10, 0.25, 0.5, 0.375}, // case 10 ZO SP
{ 0.375, 0.5, 0.125, 97.11, 0.25, 0.5, 0.375, 98.11, 0.5, 98.11, 0.625}, // case 11 SP MP
{ 0.5, 98.12, 0.125, 98.12, 0.25, 0.5, 0.375, 97.12, 0.5, 0.5, 0.625}, // case 12 SP MP
{ 0.625, 0.5, 0.375, 97.13, 0.5, 0.5, 0.625, 98.13, 0.75, 98.13, 1}, // case 13 MP LP
{ 0.75, 98.14, 0.375, 98.14, 0.5, 0.5, 0.625, 97.14, 0.75, 97.14, 1}, // case 14 MP LP
{ 1, 1, 99.99, 1, 1, 0, 0, 0, 0, 0, 0}, // case 15 LP
{ 1, 1, 1, 0, 0, 0, 0, 0, 0, 0}; // case 16 LP

for (i=0;i<=EN_DECODE_TB_ROWS-1;i++)
    for (j=0;j<=EN_DECODE_TB_COLS-1;j++)
        {
            Chk_Case = (int)(100.0 * error_table[i][j]);
            switch(Chk_Case)
                {
                    case 9999 : { error_table[i][j] = error; break;}
                    case 9803 : { error_table[i][j] = 4.0 * (0.75 + error); break;}
                    case 9804 : { error_table[i][j] = 4.0 * fabs(error + 0.5); break;}
                    case 9805 : { error_table[i][j] = 4.0 * (error + 0.5); break;}
                    case 9806 : { error_table[i][j] = 4.0 * fabs(0.25 + error); break;}
                    case 9807 : { error_table[i][j] = 4.0 * (0.25 + error); break;}
                    case 9808 : { error_table[i][j] = 4.0 * fabs(error); break;}
                    case 9809 : { error_table[i][j] = 4.0 * (error); break;}
                    case 9810 : { error_table[i][j] = 4.0 * (0.25 - error); break;}
                    case 9811 : { error_table[i][j] = 4.0 * (error - 0.25); break;}
                    case 9812 : { error_table[i][j] = 4.0 * (0.5 - error); break;}
                    case 9813 : { error_table[i][j] = 4.0 * (error - 0.25); break;}
                    case 9814 : { error_table[i][j] = 4.0 * (0.75 - error); break;}
                    case 9703 : { error_table[i][j] = 4.0 * fabs(error + 0.5); break;}
                    case 9704 : { error_table[i][j] = 4.0 * (0.75 + error); break;}
                }
        }
    }
}

```

```

        case 9705 : { error_table[i][j] = 4.0 * fabs(0.25 + error); break;}
        case 9706 : { error_table[i][j] = 4.0 * (error + 0.5);      break;}
        case 9707 : { error_table[i][j] = 4.0 * fabs(error);      break;}
        case 9708 : { error_table[i][j] = 4.0 * (0.25 + error);    break;}
        case 9709 : { error_table[i][j] = 4.0 * (0.25 - error);    break;}
        case 9710 : { error_table[i][j] = 4.0 * (error);          break;}
        case 9711 : { error_table[i][j] = 4.0 * (0.5 - error);    break;}
        case 9712 : { error_table[i][j] = 4.0 * (error - 0.25);    break;}
        case 9713 : { error_table[i][j] = 4.0 * (0.75 - error);    break;}
        case 9714 : { error_table[i][j] = 4.0 * (error - 0.5);    break;}
    }
}

//== Look Table For Print out Test Decode Fuzzzy Table ===

// printf("\n\n\n Look Table For Print out Test Decode fuzzzy Table ");
// for (i=0;i<=EN_DECODE_TB_ROWS-1;i++)
// {
//     printf("\nRow %d >",i);
//     for (j=0;j<=EN_DECODE_TB_COLS-1;j++)
//         printf("%7.3f.",error_table[i][j]);
// }

if (error<error_table[0][0])
{
    i = 0;
}
else if (error >= error_table[EN_DECODE_TB_ROWS-1][0])
{
    i = EN_DECODE_TB_ROWS-1;
}
else
{
    for (i=1; i<EN_DECODE_TB_ROWS-1; i++)
    {
        if ((error_table[i-1][0]<=error)&&(error<error_table[i][0]))
            break;
    }
}

// Calculate F when F = Num/Den
//  Num = (H_1 * C_1) + (H_2 * C_2) + (H_3 * C_3) + (H_4 * C_4) + (H_5 * C_5)
//  Den = (H_1 + H_2 + H_3 + H_4 + H_5)
num = 0;
den = 0;

```

```

for (j=1;j<EN_DECODE_TB_COLS-1; j+=2)
{
    num += (error_table[i][j] * error_table[i][j+1]);
    den += error_table[i][j];
}

return (num / den);
}

//-----*/
double defuzzy(double cs)
{
    int i, j, Chk_Case;
    double num, den;
    double cs_table[EN_DECODE_TB_ROWS][EN_DECODE_TB_COLS] = {
        // cs = 99.99, xn= 98.0n yn=97.0n
        // Hcon_1, Ccon_1, Hcon_2, Ccon_2, Hcon_3, Ccon_3, Hcon_4, Ccon_4,
        Ccon_5, Ccon_5
        { -1,     1,     -1,      0,      0,      0,      0,      0,      0,      0,      0}, // case 1 LN
        { -0.75,   1,     -1,      1,  99.99,      0,      0,      0,      0,      0,      0}, // case 2 LN
        { -0.625,  97.03,   -1,  97.03,   -0.75,   0.5,  -0.625,  98.03,   -0.5,  98.03,  -0.375}, // case 3 LN MN
        { -0.5,   98.04,   -1,  98.04,   -0.75,   0.5,  -0.625,  97.04,   -0.5,   0.5,  -0.375}, // case 4 LN MN
        { -0.375,   0.5,  -0.625,  97.05,   -0.5,   0.5,  -0.375,  98.05,   -0.25,  98.05,  -0.125}, // case 5 MN SN
        { -0.25,   98.06,  -0.625,  98.06,   -0.5,   0.5,  -0.375,  97.06,   -0.25,   0.5,  -0.125}, // case 6 MN SN
        { -0.125,   0.5,  -0.375,  97.07,   -0.25,   0.5,  -0.125,  98.07,      0,  98.07,   0.125}, // case 7 SN ZO
        { 0,   98.08,  -0.375,  98.08,   -0.25,   0.5,  -0.125,  97.08,      0,   0.5,   0.125}, // case 8 SN ZO
        { 0.125,   0.5,  -0.125,  97.09,      0,   0.5,   0.125,  98.09,   0.25,  98.09,   0.375}, // case 9 ZO SP
        { 0.25,   98.10,  -0.125,  98.10,      0,   0.5,   0.125,  97.10,   0.25,   0.5,   0.375}, // case 10 ZO SP
        { 0.375,   0.5,   0.125,  97.11,   0.25,   0.5,   0.375,  98.11,   0.5,   98.11,   0.625}, // case 11 SP MP
    };
}

```

```

    { 0.5, 98.12, 0.125, 98.12, 0.25, 0.5, 0.375, 97.12, 0.5, 0.5, 0.625}, //  

case 12 SP MP  

    { 0.625, 0.5, 0.375, 97.13, 0.5, 0.5, 0.625, 98.13, 0.75, 98.13, 1}, //  

case 13 MP LP  

    { 0.75, 98.14, 0.375, 98.14, 0.5, 0.5, 0.625, 97.14, 0.75, 97.14, 1}, //  

case 14 MP LP  

    { 1, 1, 99.99, 1, 1, 0, 0, 0, 0, 0, 0}, //  

case 15 LP  

    { 1, 1, 1, 0, 0, 0, 0, 0, 0, 0}; //  

case 16 LP

for (i=0;i<=EN_DECODE_TB_ROWS-1;i++)  

    for (j=0;j<=EN_DECODE_TB_COLS-1;j++)  

    {Chk_Case = (int)(100*cs_table[i][j]);  

        switch(Chk_Case)  

        { case 9999 : { cs_table[i][j] = cs; break; }  

            case 9803 : { cs_table[i][j] = 4.0 * (0.75 + cs); break; }  

            case 9703 : { cs_table[i][j] = 4.0 * fabs(cs + 0.5); break; }  

            case 9804 : { cs_table[i][j] = 4.0 * fabs(cs + 0.5); break; }  

            case 9704 : { cs_table[i][j] = 4.0 * (0.75 + cs); break; }  

            case 9805 : { cs_table[i][j] = 4.0 * (cs + 0.5); break; }  

            case 9705 : { cs_table[i][j] = 4.0 * fabs(0.25 + cs); break; }  

            case 9806 : { cs_table[i][j] = 4.0 * fabs(0.25 + cs); break; }  

            case 9706 : { cs_table[i][j] = 4.0 * (cs + 0.5); break; }  

            case 9807 : { cs_table[i][j] = 4.0 * (0.25 + cs); break; }  

            case 9707 : { cs_table[i][j] = 4.0 * fabs(cs); break; }  

            case 9808 : { cs_table[i][j] = 4.0 * fabs(cs); break; }  

            case 9708 : { cs_table[i][j] = 4.0 * (0.25 + cs); break; }  

            case 9809 : { cs_table[i][j] = 4.0 * cs; break; }  

            case 9709 : { cs_table[i][j] = 4.0 * (0.25 - cs); break; }  

            case 9810 : { cs_table[i][j] = 4.0 * (0.25 - cs); break; }  

            case 9710 : { cs_table[i][j] = 4.0 * cs; break; }  

            case 9811 : { cs_table[i][j] = 4.0 * (cs - 0.25); break; }  

            case 9711 : { cs_table[i][j] = 4.0 * (0.5 - cs); break; }  

            case 9812 : { cs_table[i][j] = 4.0 * (0.5 - cs); break; }  

            case 9712 : { cs_table[i][j] = 4.0 * (cs - 0.25); break; }  

            case 9813 : { cs_table[i][j] = 4.0 * (cs - 0.5); break; }  

            case 9713 : { cs_table[i][j] = 4.0 * (0.75 - cs); break; }
}

```

```

        case 9814 : { cs_table[i][j] = 4.0 * (0.75 - cs); break; }
        case 9714 : { cs_table[i][j] = 4.0 * (cs - 0.5); break; }
    }

//==== Look Table For Print out Test Encode Fuzzzy Table ====
// printf("\n\n\n Look Table For Print out Test Encode fuzzzy Table ");
// for (i=0;i<=EN_DECODE_TB_ROWS-1;i++)
// {
//     printf("\nRow %d >",i);
//     for (j=0;j<=EN_DECODE_TB_COLS-1;j++)
//         printf("%7.3f,",cs_table[i][j]);
// }

if (cs < cs_table[0][0])
{
    i = 0;
}
else if (cs >= cs_table[EN_DECODE_TB_ROWS-1][0])
{
    i = EN_DECODE_TB_ROWS-1;
}
else
{
    for (i=1; i<EN_DECODE_TB_ROWS-1; i++)
    {
        if ((cs_table[i-1][0] <= cs) && (cs < cs_table[i][0]))
            break;
    }
}

// Calculate Fcon when Fcon = Num/Den
// Num = (Hcon_1 * Ccon_1) + (Hcon_2 * Ccon_2) + (Hcon_3 * Ccon_3)
//      + (Hcon_4 * Ccon_4) + (Hcon_5 * Ccon_5)
// Den = (Hcon_1 + Hcon_2 + Hcon_3 + Hcon_4 + Hcon_5);
num = 0;
den = 0;
for (j=1; j < EN_DECODE_TB_COLS-1; j += 2)
{
    num += (cs_table[i][j] * cs_table[i][j+1]);
    den += cs_table[i][j];
}
return (num / den);
}

//-----*/

```

```

double fuzzy_error(double error)
{
    return enfuzzy(error) * 10.0;
}

//-----
double fuzzy_change_in_error(double error)
{
    return enfuzzy(error) * 100.0;
}

//-----
double fuzzy( const double fuzzy_table[FUZ_SET_TB_ROWS][FUZ_SET_TB_COLS],
              double f1, double f2)
{
    int i, j;
    double lower, upper;

    // printf("\n\n\n Print Test Data in Fuzzy Table ");
    // for (i=0;i<=FUZ_SET_TB_ROWS-1;i++)
    // {   printf("\nRow %d >",i);
        // for (j=0;j<=FUZ_SET_TB_COLS-1;j++)
        //     printf("%7.3f,",fuzzy_table[i][j]);
    }

    //===== check f2 =====
    if (f2 <= ((fuzzy_table[1][0] + fuzzy_table[2][0]) / 2.0))
    {
        i = 1;
    }

    else if (f2 > ((fuzzy_table[FUZ_SET_TB_ROWS-1][0] + fuzzy_table[FUZ_SET_TB_ROWS-
2][0]) / 2.0))
    {
        i = FUZ_SET_TB_ROWS-1;
    }
    else
    {
        for (i = 2; i < FUZ_SET_TB_ROWS-1; i++)
        {
            lower = (fuzzy_table[i][0] + fuzzy_table[i-1][0]) / 2.0;
            upper = (fuzzy_table[i][0] + fuzzy_table[i+1][0]) / 2.0;
            if ((lower < f2) && (f2 <= upper))
                break;
        }
    }
}

```

```

}

//===== check f1 =====
if (f1 <= ((fuzzy_table[0][1] + fuzzy_table[0][2]) / 2.0))
{
    j = 1;
}
else if (f1 > ((fuzzy_table[0][FUZ_SET_TB_COLS-1] + fuzzy_table[0][FUZ_SET_TB_COLS-2]) /
2.0))
{
    j = FUZ_SET_TB_COLS-1;
}
else
{
    for (j = 2; j < FUZ_SET_TB_COLS-1; j++)
    {
        lower = (fuzzy_table[0][j] + fuzzy_table[0][j-1]) / 2.0;
        upper = (fuzzy_table[0][j] + fuzzy_table[0][j+1]) / 2.0;
        if ((lower < f1) && (f1 <= upper))
            break;
    }
}

return fuzzy_table[i][j];
}

/*-----*/
double f1_and_f2(double f1, double f2)
{
    const double fuzzy_table[FUZ_SET_TB_ROWS][FUZ_SET_TB_COLS] = {
// F2 \ F1
    {9999, -1, -0.8, -0.6, -0.4, -0.2, 0, 0.2, 0.4, 0.6, 0.8, 1},
    {-1, 1, 1, 1, 1, 1, 0.8, 0.6, 0.3, 0.1, 0},
    {-0.8, 1, 1, 1, 1, 1, 0.8, 0.6, 0.3, 0.1, 0, -0.1},
    {-0.6, 1, 1, 1, 1, 0.8, 0.6, 0.3, 0.1, 0, -0.1, -0.3},
    {-0.4, 1, 1, 1, 0.8, 0.6, 0.3, 0.1, 0, -0.1, -0.3, -0.6},
    {-0.2, 1, 1, 0.8, 0.6, 0.3, 0.1, 0, -0.1, -0.3, -0.6, -0.8},
    {0, 1, 0.8, 0.6, 0.3, 0.1, 0, -0.1, -0.3, -0.6, -0.8, -1},
    {0.2, 0.8, 0.6, 0.3, 0.1, 0, -0.1, -0.3, -0.6, -0.8, -1, -1},
    {0.4, 0.6, 0.3, 0.1, 0, -0.1, -0.3, -0.6, -0.8, -1, -1, -1},
    {0.6, 0.3, 0.1, 0, -0.1, -0.3, -0.6, -0.8, -1, -1, -1, -1},
    {0.8, 0.1, 0, -0.1, -0.3, -0.6, -0.8, -1, -1, -1, -1, -1},
    {1, 0, -0.1, -0.3, -0.6, -0.8, -1, -1, -1, -1, -1, -1} };
}

```

```
    return fuzzy(fuzzy_table, f1, f2);
}

//-----*/
double f1_and_f2_self(double f1, double f2)
{
    const double fuzzy_table[FUZ_SET_TB_ROWS][FUZ_SET_TB_COLS] = {
        // F2 \ F1
        {9999, -1, -0.8, -0.6, -0.4, -0.2, 0, 0.2, 0.4, 0.6, 0.8, 1},
        {-1, 1, 1, 1, 1, 0.8, 0, 0, 0, 0, 0, 0},
        {-0.8, 1, 1, 1, 1, 0.8, 0.6, 0, 0, 0, 0, 0},
        {-0.6, 1, 1, 1, 0.8, 0.6, 0.3, 0, 0, 0, 0, 0},
        {-0.4, 1, 1, 0.8, 0.6, 0.3, 0.1, 0, 0, 0, 0, 0},
        {-0.2, 1, 0.8, 0.6, 0.3, 0.1, 0, 0, 0, 0, 0, 0},
        {0, 0.8, 0.6, 0.3, 0.1, 0, 0, 0, -0.1, -0.3, -0.6, -0.8},
        {0.2, 0, 0, 0, 0, 0, 0, -0.1, -0.3, -0.6, -0.8, -1},
        {0.4, 0, 0, 0, 0, 0, -0.1, -0.3, -0.6, -0.8, -1, -1},
        {0.6, 0, 0, 0, 0, 0, -0.3, -0.6, -0.8, -1, -1, -1},
        {0.8, 0, 0, 0, 0, 0, -0.6, -0.8, -1, -1, -1, -1},
        {1, 0, 0, 0, 0, 0, -0.8, -1, -1, -1, -1, -1},};

    return fuzzy(fuzzy_table, f1, f2);
}
```

ภาคผนวก ค

บทความที่ได้รับการตีพิมพ์เผยแพร่และผลงานการจดสิทธิบัตรการประดิษฐ์

บทความที่ได้รับการตีพิมพ์เผยแพร่และผลงานการจดสิทธิบัตร

1. รายชื่อบทความวิจัยที่ได้รับการตีพิมพ์ในการประชุมวิชาการนานาชาติ
 1. S. Raweekul, T. Kulworawanichpong, and S. Sujitjorn. (2006). **Modelling and Simulation of Multiple Single - Phase Induction Motors in Parallel Operation.** Proc. The 8th WSEAS Int. Conf. on Automatic Control Modeling and Simulation: 195-200.
 2. S. Raweekul, T. Kulworawanichpong, and S. Sujitjorn. (2008). **Fuzzy Control of Parallel Induction Motors Drive.** Proc. The 10th WSEAS Int. Conference on Automatic Control Modeling and Simulation: 46-51.
2. รายชื่อบทความวิจัยที่ได้รับการตีพิมพ์ในวารสารวิชาการนานาชาติ
 1. S. Raweekul, T. Kulworawanichpong, and S. Sujitjorn. (2006). **Parallel-Connected Single-Phase Induction Motor.** WSEAS Trans. on Circuits and Systems. 5(63): 377-384.
3. รายชื่อบทความวิจัยที่ได้รับการตีพิมพ์ในวารสารวิชาการระดับชาติ
 1. ศักดิ์ระวี ระวีกุล, ชนัดชัย กุลวรรณนิชพงษ์, และสรາวุฒิ สุจิตjar. (2549). แบบจำลองและการจำลองผลของเตอร์เหนี่ยวนำไฟฟ้าเดี่ยวที่เชื่อมต่อหลายตัวแบบขนาน. วารสารสังขลานกรินทร์ วิทยาศาสตร์และเทคโนโลยี. 28(6): 1335-1350.
4. รายการจดสิทธิบัตรการประดิษฐ์
 1. สรາวุฒิ สุจิตjar และ ศักดิ์ระวี ระวีกุล, (2550). “ใบมีดสับและกระบวนการเจ็นรูปใบมีดสับ”, เลขที่คำขอ 0701000717.
 2. สรາวุฒิ สุจิตjar และ ศักดิ์ระวี ระวีกุล, (2550). “ชุดใบมีดคงแบบเป็นพวง”, เลขที่คำขอ 0701000718.
 3. สรາวุฒิ สุจิตjar และ ศักดิ์ระวี ระวีกุล, (2550). “ปลอกหีดใบมีดสับแบบปรับมุ่งได้และชุดใบมีดสับแบบปรับมุ่งได้”, เลขที่คำขอ 0701000719.

4. สราชุติ สุจิตร และ ศักดิ์ระวี ระวีกุล, (2550). “ใบรองสับ”, เลขที่คำขอ 0701001320.
5. สราชุติ สุจิตร และ ศักดิ์ระวี ระวีกุล, (2550). “ชุดใบมีดเนื้อน”, เลขที่คำขอ 0701001327.
6. สราชุติ สุจิตร และ ศักดิ์ระวี ระวีกุล, (2550). “ใบมีดเนื้อน”, เลขที่คำขอ 0701001328.
7. สราชุติ สุจิตร และ ศักดิ์ระวี ระวีกุล, (2550). “เครื่องสับวัสดุพืชผลทางการเกษตร”, เลขที่คำขอ 0701002473.

Proceeding of the 8th WSEAS Int. Conference on Automatic Control, Modeling and Simulation, Prague, Czech Republic, March 12-14, 2006(pp195-200)

Modelling and Simulation of Multiple Single - Phase Induction Motors in Parallel Operation

SAKRAWEE RAWEEKUL, THANATCHAI KULWORAWANICHONG,
and SARAWUT SUITJORN

School of Electrical Engineering, Institute of Engineering
Suranaree University of Technology
111 University Avenue, Muang District, Nakhon Ratchasima, 30000
THAILAND
<http://www.sut.ac.th>

abstract:- The development of state-space models for multiple single-phase induction motors in parallel connection is described in this paper. We present the models in general form based on the dq-frame principle. The set of motors is assumed to have a single inverter source. Also, simulation results on four drive conditions are discussed

Keywords: single-phase induction motor, parallel connection, modelling.

1. Introduction

Most industries in developing countries are based on agriculture. Unlike other heavy industries, agricultural industries require small size machines in production plants. In this fashion, three-phase induction motors are not suitable because they are usually over rating. Increasingly, many processes and office-used appliances are determined to employ simple and cheap single-phase motors. In some industries such as starch powder, textile, food processing, etc, a hundred of single-phase induction motors are installed to serve loads. In practice, use of one inverter to supply one motor is costly and also inefficient. To reduce cost, parallel connection of multiple single-phase induction motors fed by a single inverter is alternative due to its simplicity and cheapness. Therefore, improvement of efficient operation for a parallel-connected, multiple single-phase induction motor drive is vital to give loss minimization and minimum operating cost.

In this paper, we attempt to develop a mathematical model for multiple single-phase induction motors in parallel connection as described in state-space form. This modeling is based on the two-axis dq frame theory which plays an essential role for high-efficient induction motor drive technology. The analyses appeared in this paper consist of four main parts that are: i) single-phase induction motor model in stationary reference ii) modeling of multiple single-phase induction motors in parallel connection iii) simulation results conducted by four loading scenarios and iv) conclusion.

2. Single-Phase Induction Motor Model in Stationary Reference

A single-phase induction motor is considered to have stator and rotor windings. As shown in figure 1, the

stator winding composes of the main, and the auxiliary windings [9]. To develop the motor models, the motor itself can be considered as a two-phase or two-axis device. In terms of two axes, the d – and the q – axes are perpendicular. The development of the motor state models utilizes the dq-frame principle, and the reference frame theory [7]. The later theory allows the transformation of rotor variables to the stator side.

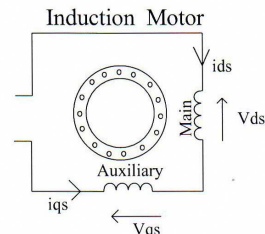


Fig.1 Winding composition of a single-phase induction motor.

The diagram in figure 2 reveals the orientation of the motor windings. In the figure, the subscript qs denotes any quantities belonging to the stator main winding (the stator q-axis winding), ds denotes those belonging to the stator auxiliary winding (the stator d-axis winding), qr and dr represent the same but for the rotor windings in the q- and the d-axes, respectively. In the same figure, the characters V , I and N denote voltage, current and turns of the windings, respectively.

Proceeding of the 8th WSEAS Int. Conference on Automatic Control, Modeling and Simulation, Prague, Czech Republic, March 12-14, 2006(pp195-200)

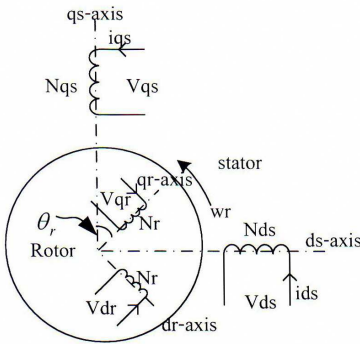


Fig. 2 Orientation of the stator and the rotor windings.

The qr and qs axes have the phase difference of θ_r . Based on the winding orientation as described, one can write the equation (1) in which the superscripts s, and r denote the stator, and the rotor sides, respectively.

$$\begin{bmatrix} V_{qr}^s \\ V_{dr}^s \end{bmatrix} = \begin{bmatrix} \cos \theta_r & \sin \theta_r \\ -\sin \theta_r & \cos \theta_r \end{bmatrix} \begin{bmatrix} V_{qr}^r \\ V_{dr}^r \end{bmatrix} \quad (1)$$

or in a compact form of

$$\begin{bmatrix} \mathfrak{V}_{xr}^s \\ \mathfrak{V}_{xr}^r \end{bmatrix} = [k] \begin{bmatrix} \mathfrak{V}_{xr}^r \end{bmatrix} \quad (3)$$

Where \mathfrak{V}_{xr}^s denotes any quantities transformed from the rotor side to the stator side

\mathfrak{V}_{xr}^r denotes any quantities on the rotor side

$[k]$ denotes the transformation matrix, i.e.

$$[k] = \begin{bmatrix} \cos \theta_r & \sin \theta_r \\ -\sin \theta_r & \cos \theta_r \end{bmatrix}.$$

The following subsections present the development of the motor state models for the stator and the rotor, respectively.

The Stator

The voltages on the stator part can be simply expressed by

$$\begin{aligned} V_{qs} &= r_{qs} i_{qs} + L_{qsqs} pi_{qs} + L_{qsdq} pi_{ds} + \\ &\quad L_{qsqr} pi_{qr} + L_{qsdq} pi_{dr} \\ V_{ds} &= r_{ds} i_{ds} + L_{dsqs} pi_{qs} + L_{dsds} pi_{ds} + \\ &\quad L_{dsqr} pi_{qr} + L_{dsdr} pi_{dr} \end{aligned}$$

in which p denotes $\frac{d}{dt}$. The above expressions can be rearranged in the matrix form as in (4).

$$\begin{bmatrix} V_{qs} \\ V_{ds} \end{bmatrix} = \begin{bmatrix} r_{qs} + pL_{qsqs} & pL_{qsdq} \\ pL_{dsqs} & r_{ds} + pL_{dsds} \end{bmatrix} \begin{bmatrix} i_{qs} \\ i_{ds} \end{bmatrix} + \\ p \left\{ \begin{bmatrix} L_{qsqr} & L_{qsdq} \\ L_{dsqr} & L_{dsqr} \end{bmatrix} \begin{bmatrix} i_{qr} \\ i_{dr} \end{bmatrix} \right\} \quad (4)$$

The Rotor

Due to the rotor symmetry, the winding turns on the d- and the q-axes are equal. Their resistances are also equal, i.e. $r_{qr} = r_{dr} = r_r$. The voltages on the rotor part can be simply expressed by

$$\begin{aligned} V_{qr}^r &= r_{qr} i_{qr} + L_{qrqr} pi_{qr} + \\ &\quad L_{qsdq} pi_{dr} + L_{qsqr} pi_{qs} + L_{qsdq} pi_{ds} \\ V_{dr}^r &= r_{dr} i_{dr} + L_{drqr} pi_{qr} + \\ &\quad L_{dsds} pi_{dr} + L_{drqr} pi_{qs} + L_{drds} pi_{ds} \end{aligned}$$

or in the matrix form of

$$\begin{bmatrix} V_{qr}^r \\ V_{dr}^r \end{bmatrix} = \begin{bmatrix} r_{qr} + pL_{qrqr} & pL_{qrdr} \\ pL_{drqr} & r_{dr} + pL_{drdr} \end{bmatrix} \begin{bmatrix} i_{qr} \\ i_{dr} \end{bmatrix} + \\ p \left\{ \begin{bmatrix} L_{qsqr} & L_{qsdq} \\ L_{drqr} & L_{drds} \end{bmatrix} \begin{bmatrix} i_{qs} \\ i_{ds} \end{bmatrix} \right\} \quad (5)$$

By transferring all quantities to the stator referent frame, the state-space matrix representing one single-phase induction motor can be summarized as shown in equation (6)

$$\frac{d}{dt} [\dot{i}] = [A] [\dot{i}] + [B] [v] \quad (6)$$

where

$$[\dot{i}] = [i_{qs} \quad i_{ds} \quad i_{qr} \quad i_{dr}]^T$$

$$[v] = [V_{qs} \quad V_{ds} \quad V_{qr} \quad V_{dr}]^T$$

$$[A] = [D]^{-1} [C]$$

$$[B] = [D]^{-1}$$

Proceeding of the 8th WSEAS Int. Conference on Automatic Control, Modeling and Simulation, Prague, Czech Republic, March 12-14, 2006(pp195-200)

$$[C] = \begin{bmatrix} r_{qs} & 0 \\ 0 & r_{ds} \\ -\omega_r L_{mqs} \sin \theta_r & -\omega_r L_{mqs} \cos \theta_r \\ -\omega_r L_{mqs} \cos \theta_r & -\omega_r L_{mqs} \sin \theta_r \end{bmatrix}$$

And

$$[D] = \begin{bmatrix} L_{lqs} + L_{mqs} & 0 & L_{mqs} \cos \theta_r & -L_{mqs} \sin \theta_r \\ 0 & (L_{lqs} + L_{mqs}) \omega_r L_{dsqr} \sin \theta_r & \omega_r L_{dsqr} \cos \theta_r & 0 \\ L_{mqs} \cos \theta_r & L_{mqs} \sin \theta_r & (L_{lr} + L_{mqs}) & 0 \\ -L_{mqs} \sin \theta_r & \cos \theta_r & 0 & (L_{lr} + L_{mqs}) \end{bmatrix}$$

N_{qs} = main winding turns,

N_{ds} = auxiliary winding turns, and

$N_{qr} = N_{dr} = N_r$ = rotor winding turns.

$$V'_{ds} = \frac{N_{qs}}{N_{ds}} V_{ds}, \quad i'_{ds} = \frac{N_{qs}}{N_{ds}} i_{ds}$$

$$L_{mq} = N_{qs}^2 P_g, \quad L'_{ds} = \left(\frac{N_{qs}}{N_{ds}}\right)^2 N_{ds}^2 P_g = L_{mq}$$

$$L'_{lds} = \left(\frac{N_{qs}}{N_{ds}}\right)^2 L_{lds}, \quad r'_{ds} = \left(\frac{N_{qs}}{N_{ds}}\right)^2 r_{ds}$$

$$L'_{lr} = \left(\frac{N_{qs}}{N_r}\right)^2 L_{lr}, \quad r'_{r} = \left(\frac{N_{qs}}{N_r}\right)^2 r_r$$

$$V'_{qr} = \frac{N_{qs}}{N_r} V'_{qr}, \quad V'_{dr} = \frac{N_{qs}}{N_r} V'_{dr}$$

$$i'_{qr} = \frac{N_r}{N_{qs}} i_{qr}, \quad i'_{dr} = \frac{N_r}{N_{qs}} i_{dr}$$

(remarks: “ \cdot ” indicates the transformed quantities to the reference q-axis of the stator.) Furthermore, the cross inductances can be replaced by the magnetic inductances using the following relations [9]

$$L_{qqs} = L_{lqs} + N_{qs}^2 P_g, \quad L_{dsds} = L_{lds} + N_{ds}^2 P_g$$

$$L_{qqr} = N_{qs} N_{qr} P_g, \quad L_{qsd} = N_{qs} N_{dr} P_g$$

$$L_{dsqr} = N_{ds} N_{qr} P_g, \quad L_{dsdr} = N_{ds} N_{dr} P_g$$

$$L_{qrqr} = L_{lqr} + N_{qr}^2 P_g, \quad L_{drdr} = L_{ldr} + N_{dr}^2 P_g$$

Considering the rotor motion, its mechanical model is expressed by [8]

$$\frac{d\omega_r}{dt} = \frac{P}{2J_m} T_e(t) - \frac{P}{2J_m} T_L(t) - \frac{B_m \omega_r(t)}{J_m}$$

where T_e denotes electromagnetic torque, i.e.

$$T_e = \left(\frac{P}{2}\right) L_{mqs} i_{qs} (-i_{qs} \sin \theta_r - i_{dr} \cos \theta_r) + L_{mqs} i_{ds} (-i_{qr} \cos \theta_r - i_{dr} \sin \theta_r)$$

and $\frac{d\theta_r}{dt} = \omega_r$. This model can be rewritten in a state form as

$$\begin{bmatrix} \frac{d\omega_r}{dt} \\ \frac{d\theta_r}{dt} \end{bmatrix} = \begin{bmatrix} -\frac{B_m}{J_m} & 0 \\ 1 & 0 \end{bmatrix} \begin{bmatrix} \omega_r \\ \theta_r \end{bmatrix} + \begin{bmatrix} \frac{P}{2J_m} \\ 0 \end{bmatrix} [T_e - T_L] \quad (7)$$

Combining the electrical and the mechanical state models results in the equation (7) representing a single-phase induction motor.

$$\begin{bmatrix} \frac{d[i]_{4x1}}{dt} \\ \frac{d\omega_r}{dt} \\ \frac{d\theta_r}{dt} \end{bmatrix} = \begin{bmatrix} [\mathfrak{R}]_{4x4} & \cdots & 0 & \cdots \\ \vdots & \ddots & & \\ 0 & -\frac{B_m}{J_m} & 0 & \omega_r \\ \vdots & 1 & 0 & \theta_r \end{bmatrix} \begin{bmatrix} [i]_{4x1} \\ \omega_r \\ \theta_r \\ 0 \end{bmatrix} + \begin{bmatrix} [\mathbf{N}]_{4x4} & \cdots & 0 & \cdots \\ \vdots & \ddots & & \\ 0 & \frac{P}{2J_m} & 0 & T_e - T_L \\ \vdots & 1 & 0 & 0 \end{bmatrix} \begin{bmatrix} [V]_{4x1} \\ T_e - T_L \end{bmatrix} \quad (8)$$

in which

$$[i]_{4x1} = [i_{qs} \quad i_{ds} \quad i_{qr} \quad i_{dr}]^T$$

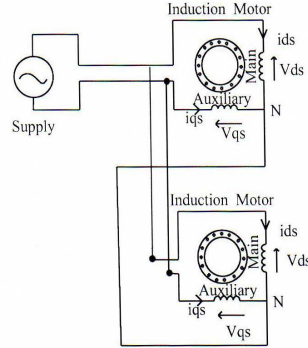
$$[\mathfrak{R}]_{4x4} = [A][D]^{-1}[C]$$

$$[\mathbf{N}]_{4x4} = [B][D]^{-1}$$

3. Modelling of Multiple (n) Parallel Connected Motors

Fig. 3 represents a group of n-parallel connected motors. The model for the kth motor can be expressed explicitly as equation (8) with sub-script k. Let $[\Lambda_k]$ and $[\Theta_k]$ be state and input vectors of the kth motor, accordingly. The collective matrix equation representing the group of n-parallel connected motors can be written as equation (9).

Proceeding of the 8th WSEAS Int. Conference on Automatic Control, Modeling and Simulation, Prague, Czech Republic, March 12-14, 2006(pp195-200)



$$[\Lambda_k] = \begin{bmatrix} i_{qs,k} \\ i_{ds,k} \\ i_{qr,k} \\ i_{dr,k} \\ \omega_{r,k} \\ \theta_{r,k} \end{bmatrix} \quad \text{and} \quad [\Theta_k] = \begin{bmatrix} V_{qs,k} \\ V'_{ds,k} \\ V'_{qr,k} \\ V'_{dr,k} \\ T_e - T_L \\ 0 \end{bmatrix}$$

Fig. 3 Schematic diagram of two-motor group.
Equation (11)

$$\frac{d}{dt} \begin{bmatrix} [\Lambda_1] \\ [\Lambda_2] \\ [\Lambda_3] \\ \vdots \\ [\Lambda_n] \end{bmatrix} = \begin{bmatrix} [R1]_{4 \times 4} & [0]_{4 \times 4} & [0]_{4 \times 4} & \cdots & [0]_{4 \times 4} \\ [0]_{4 \times 4} & [R2]_{4 \times 4} & [0]_{4 \times 4} & \cdots & [0]_{4 \times 4} \\ [0]_{4 \times 4} & [0]_{4 \times 4} & [R3]_{4 \times 4} & \vdots & [0]_{4 \times 4} \\ \vdots & \vdots & \vdots & \ddots & \vdots \\ [0]_{4 \times 4} & [0]_{4 \times 4} & [0]_{4 \times 4} & \cdots & [Rn]_{4 \times 4} \end{bmatrix} \begin{bmatrix} [\Lambda_1] \\ [\Lambda_2] \\ [\Lambda_3] \\ \vdots \\ [\Lambda_n] \end{bmatrix} + \begin{bmatrix} [S1]_{4 \times 4} & [0]_{4 \times 4} & [0]_{4 \times 4} & \cdots & [0]_{4 \times 4} \\ [0]_{4 \times 4} & [S2]_{4 \times 4} & [0]_{4 \times 4} & \cdots & [0]_{4 \times 4} \\ [0]_{4 \times 4} & [0]_{4 \times 4} & [S3]_{4 \times 4} & \vdots & [0]_{4 \times 4} \\ \vdots & \vdots & \vdots & \ddots & \vdots \\ [0]_{4 \times 4} & [0]_{4 \times 4} & [0]_{4 \times 4} & \cdots & [Sn]_{4 \times 4} \end{bmatrix} \begin{bmatrix} [\Theta_1] \\ [\Theta_2] \\ [\Theta_3] \\ \vdots \\ [\Theta_n] \end{bmatrix}$$

Table1 steady-state performances of each test case

	Case 1			Case 2			Case 3			Case 4		
	M1	M2	M3	M1	M2	M3	M1	M2	M3	M1	M2	M3
Supply Current (A)	25.44			17.48			32.42			22.07		
Motor Current (A)	8.48	8.48	8.48	8.48	4.85	4.15	8.48	10.09	13.85	8.48	5.91	7.68
Motor Speed (rpm)	1402	1402	1402	1402	1450	1461	1402	1408	1370	1402	1452	1455
Load Torque (N.m)	14.27	14.27	14.27	14.27	7.78	6.14	14.27	14.46	17.74	14.27	9.33	8.62

4. Simulation Results

To verify effectiveness, correction and accuracy of the developed model, four test-case scenarios were assigned in which three motors connected in parallel form the test bed. The four test cases are detailed as follows.

Case 1: all test motors are technically the same in both motor parameters and motor loads.

Motor 1: Parameter set 1, Load 1
Motor 2: Parameter set 1, Load 1
Motor 3: Parameter set 1, Load 1

Case 2: parameters of each test motor are equal, but each motor shares a different portion of load.

Motor 1: Parameter set 1, Load 1
Motor 2: Parameter set 1, Load 2
Motor 3: Parameter set 1, Load 3

Case 3: load of each test motor is equal, while their parameters are different.

Motor 1: Parameter set 1, Load 1

Motor 2: Parameter set 2, Load 1

Motor 3: Parameter set 3, Load 1

Case 4: neither parameters nor load of the motors are equal.

Motor 1: Parameter set 1, Load 1

Motor 2: Parameter set 2, Load 2

Motor 3: Parameter set 3, Load 3

Motor parameter and loads are listed below [11-13].

Parameter set 1:

Poles = 4, $r_{qs} = 4.3\Omega$, $r_{ds} = 2.6\Omega$, $r_r = 2.01\Omega$,

$L_{mqs} = 105\Omega$, $L_{lr} = 1.8\Omega$, $L_{lqs} = 1.01\Omega$,

$L_{lds} = 1.8\Omega$, $j = 0.0546Kgm^2$, $B_m = 0.0002$

Proceeding of the 8th WSEAS Int. Conference on Automatic Control, Modeling and Simulation, Prague, Czech Republic, March 12-14, 2006(pp195-200)

Parameter set 2:

$$Poles = 4, r_{qs} = 1.3\Omega, r_{ds} = 2.6\Omega, r_r = 2.01\Omega,$$

$$L_{mqs} = 105\Omega, L_{lr} = 2.8\Omega, L_{lqs} = 2.01\Omega,$$

$$L_{lds} = 2.8\Omega, j = 0.0546 Kgm^2, B_m = 0.0002$$

Parameter set 3:

$$Poles = 4, r_{qs} = 3.2\Omega, r_{ds} = 7.2\Omega, r_r = 2\Omega,$$

$$L_{mqs} = 54.97\Omega, L_{lr} = 3.2\Omega, L_{lqs} = 3.61\Omega,$$

$$L_{lds} = 2.09\Omega, j = 0.0546 Kgm^2, B_m = 0.0002$$

Load torque 1: $1.8 \times 10^{-4} \omega_r^2$ N.m

Load torque 2: $9.5 \times 10^{-5} \omega_r^2$ N.m

Load torque 3: $7.5 \times 10^{-5} \omega_r^2$ N.m

The simulation for each test case was conducted by applying a 220-V, 50-Hz sinusoidal voltage source to energize the motor group.

To briefly present the test results, steady-state value of some key characteristics for each motor and for the entire group is summarized in table 1. In addition, relevant responses in time domain of the fourth case are selected and shown in fig.4-9.

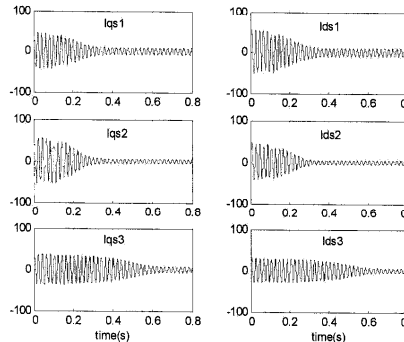


Figure 4 Stator current of the case 4 motor

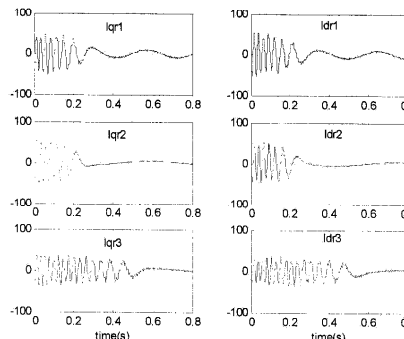


Figure 5 rotor currents of case 4

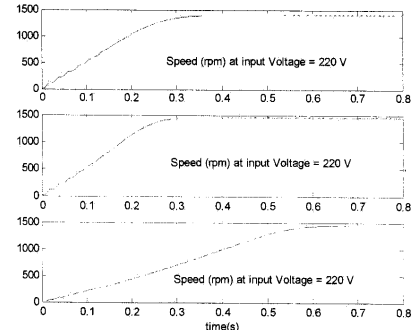


Figure 6 motor speeds of case 4

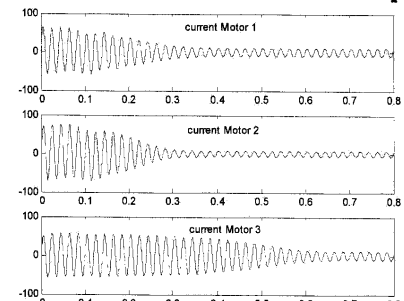


Figure 7 current drawn by each motor in case 4

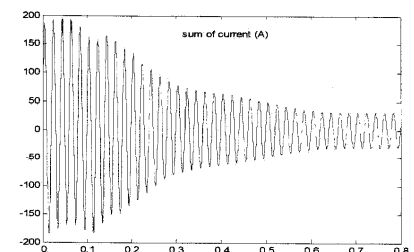


Figure 8 current of the motor group in case 4

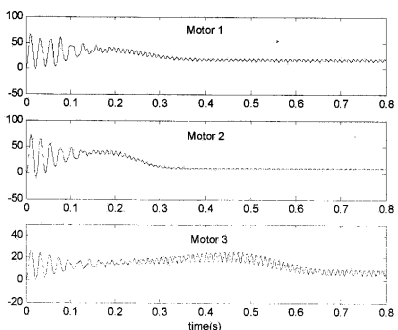


Figure 9 motor torques of case 4

Proceeding of the 8th WSEAS Int. Conference on Automatic Control, Modeling and Simulation, Prague, Czech Republic, March 12-14, 2006(pp195-200)

As can be seen, the simulations resulting from the four test cases reveal electromechanical characteristics for all motors of the group. By the method proposed in this paper, several motors connected in parallel can be analyzed, numerically. This model is simple but efficient to be included into a simulation algorithm of a high-performance drive, particularly in a parallel operation of multiple single-phase induction motors. Obviously, in order to reduce model complexity, some can benefit significantly from this model.

5. Conclusion

The development of the state models for multiple single-phase induction motors in parallel connection has been explained with simulation results presented. The model in general form is useful for practical consideration under various load and drive conditions. Our further research is to develop sensorless drive technology on the basis of the results presented herein.

A mathematical model in this paper is direct and simple. Although the system matrix resulting from this model is sizable, it is remarkably sparse. With the help from MATLAB latest version, solutions of the time series state equations representing the motor group are easily obtained.

References:

- [1] Y.Matsumoto, S.Ozaki, and A.Kawamura, A novel vector control of single-inverter multiple-induction-motors drives for Shinkansen traction system,*IEEE Applied Power Electronics Conference and Exposition (APEC '01)*, Vol. 1, 2001, pp.608 – 614.
- [2] M.B.R.Correa, C.B. Jacobina, A.M.N. Lima, and E.R.C. da Silva, Single-phase induction motor drives systems, *IEEE Applied Power Electronics Conference and Exposition(APEC '99)*,Vol. 1, 1999 pp. 403 – 409.
- [3] M.B.R.Correa, C.B. Jacobina, A.M.N. Lima, and E.R.C. da Silva, Vector control strategies for single-phase induction motor drive systems, *IEEE Transactions on Industry Applications*, Vol. 51,No5, 2004,pp.1073 – 1080.
- [4] D.H.Jang, Voltage, frequency, and phase-difference angle control of PWM inverters-fed two-phase induction motors, *IEEE Transactions on Power Electronics*, Vol. 9, No. 4, 1994, pp.377 – 383.
- [5] K.Matsuse,Y.Kouno,H.Kawai, anS.Yokomizo, A speed-sensorless vector control method of parallel-connected dual induction motor fed by a single inverter, *IEEE Transactions on IndustryApplications*,Vol.38, No.6, 2002,pp.15 66– 1571.
- [6] K.Matsuse,Y.Kouno,H.Kawai, and J.Oikawa, Characteristics of speed sensorless vector controlled dual induction motor drive connected in parallel fed by a single inverter, *IEEE Transactions on Industry Applications*, Vol. 40, No.1, 2004, pp.153 – 161.
- [7] R.Krishnan , *Electric Motor Drives Modeling, Analysis, and Control*, Prentice Hall, 2001.
- [8] P.C. Krause, O.Wasynszuk, and S.D. Sudhoff, *Analysis of Electrical Machinery*, Piscataway, Nj ;IEEE Press, 1995.
- [9] Chee-Mun ong ,*Dynamic Simulation of Electric machinery using MATLAB/SIMULINK*,Prentice Hall,1998
- [10] B.Wu, S.B. Dewan, and P.C.Sen, A Modified Current source inverter (MCS) for a multiple induction motor drive system, *IEEE Trans. On Power Electronics*, Vol.3, No.1, 1988,pp.10–16.
- [11] C.Mademlis, I.Kioskeridis, and T.Theodoulidis, Optimization of single-phase induction motors-Part I: maximum energy efficiency control, *IEEE Trans. on Energy Conversion*, Vol.20, No.1, 2005, pp.187 – 195.
- [12] K.Matsuse,S.Taniguchi, T.Yoshizumi, and K.Namiki, A speed-sensorless vector control of induction motor operating at high efficiency taking core loss into account, *IEEE Transactions on IndustryApplications* , Vol.37 , No.2 , 2001, pp.548 – 558.
- [13] M.B.R.Correa, C.B. Jacobina, A.M.N. Lima, and E.R.C. da Silva, Rotor-flux-oriented control of a single-phase induction motor drive,*IEEE Trans. on Power Electronics*, Vol.47, No.4, 2000, pp. 832 – 841.
- [14] V.Joseph, *Power Electronics Principles and Applications*, McGraw-Hill,1995.
- [15] Y.Kono,T.Fushimi, and K.Matsuse, Speed Senseless Vector Control of Parallel Connected Induction Motors, *Proc.PIEMC'2000*, 2000, pp.278-283.

Proceedings of the 10th WSEAS International Conference on Automatic Control, Modelling & Simulation Istanbul, Turkey, May 27-30, 2008(pp 46-51)

Fuzzy Control of Parallel Induction Motors Drive

SAKRAWEE RAWEEKUL, THANATCHAI KULWORAWANICHPONG,

and SARAWUT SUJITJORN⁺

School of Electrical Engineering, Institute of Engineering

Suranaree University of Technology

111 University Avenue, Muang District, Nakhon Ratchasima, 30000

THAILAND

⁺corresponding author sarawut@sut.ac.th <http://www.sut.ac.th>

Abstract: - This article presents the design of a fuzzy controller for a drive system. The drive consists of three single-phase induction motors (fractional hp) in parallel connection, and fed by a single PWM inverter. The fuzzy controller is self-organizing and capable of dealing with high torque disturbances. Simulation results are presented.

Key-Words: - single-phase, induction motor, parallel connection, fuzzy control, self-organizing.

1 Introduction

Parallel induction motor drive has been known for many years in heavy industries such as railways [1], etc. The drive technology for those applications is complicated and costly. Small-and-medium enterprises (SMEs), such as agricultural and food industries, etc., can benefit from the idea but with less complicated and inexpensive technology. Single-phase (1Ø) fractional hp induction motors are still champion among other types of motors for SMEs in developing countries. Researchers studied dynamic of multiple 1Ø induction motors in parallel connection[2]. They also presented the detailed mathematical models. The present article explains a further work in which a control design has been formulated. Section 2 of this article briefly reviews the models of parallelly connected 1Ø induction motors. Section 3 presents our fuzzy control design for a small power parallel drive scheme. Simulation results and conclusions can be found in Sections 4 and 5, respectively.

2 Models of Single-Phase Induction Motors in Parallel Connection

Fig. 1 depicts the diagram of parallelly connected induction motors driven by one inverter. Formulation of the motor models is based on the dq-frame principle [3,4]. Equation(1) describes the motion of a motor [5]. Combining the equation (1) and the state-variable model

$$\begin{bmatrix} \frac{d\omega_r}{dt} \\ \frac{d\theta_r}{dt} \end{bmatrix} = \begin{bmatrix} -\frac{B_m}{J_m} & 0 \\ 1 & 0 \end{bmatrix} \begin{bmatrix} \omega_r \\ \theta_r \end{bmatrix} + \begin{bmatrix} \frac{P}{2J_m} \\ 0 \end{bmatrix} [T_e - T_L] \quad (1)$$

of an induction motor results in equation (2) that describes the electrical and mechanical dynamics of an

$$\begin{bmatrix} \frac{d[i]_{4x1}}{dt} \\ \frac{d\omega_r}{dt} \\ \frac{d\theta_r}{dt} \end{bmatrix} = \begin{bmatrix} [\mathcal{R}]_{4x4} & \cdots & 0 & \cdots \\ \vdots & \ddots & & \\ 0 & -\frac{B_m}{J_m} & 0 & \omega_r \\ \vdots & 1 & 0 & \theta_r \end{bmatrix} \begin{bmatrix} [i]_{4x1} \\ \omega_r \\ \theta_r \end{bmatrix} + \begin{bmatrix} [\mathcal{N}]_{4x4} & \cdots & 0 & \cdots \\ \vdots & \ddots & & \\ 0 & \frac{P}{2J_m} & 0 & T_e - T_L \\ \vdots & 1 & 0 & 0 \end{bmatrix} \begin{bmatrix} [V]_{4x1} \\ T_e - T_L \end{bmatrix} \quad (2)$$

induction motor. The model can be expressed for n parallelly connected motors as in equation (3). For full detailed development of the models and notation list, readers should refer to the reference [2].

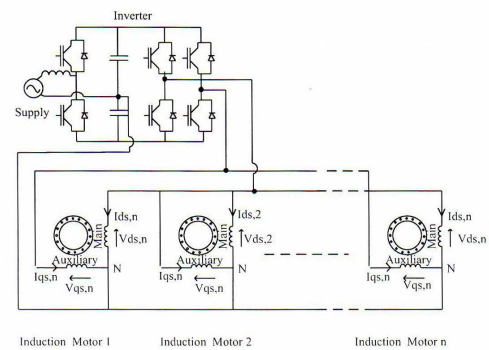


Fig. 1 Schematic diagram of 1Ø induction motors parallelly connected and driven by a single inverter.

Proceedings of the 10th WSEAS International Conference on Automatic Control, Modelling & Simulation Istanbul, Turkey, May 27-30, 2008(pp 46-51)

$$\begin{aligned} \frac{d}{dt} \begin{bmatrix} [\Lambda_1] \\ [\Lambda_2] \\ \vdots \\ [\Lambda_n] \end{bmatrix} = & \begin{bmatrix} [g1]_{4 \times 4} & [0]_{4 \times 4} & [0]_{4 \times 4} & \cdots & [0]_{4 \times 4} \\ [0]_{4 \times 4} & [g2]_{4 \times 4} & [0]_{4 \times 4} & \cdots & [0]_{4 \times 4} \\ [0]_{4 \times 4} & [0]_{4 \times 4} & [g3]_{4 \times 4} & \vdots & [0]_{4 \times 4} \\ \vdots & \vdots & \vdots & \ddots & \vdots \\ [0]_{4 \times 4} & [0]_{4 \times 4} & [0]_{4 \times 4} & \cdots & [gn]_{4 \times 4} \end{bmatrix} \begin{bmatrix} [\Lambda_1] \\ [\Lambda_2] \\ \vdots \\ [\Lambda_n] \end{bmatrix} + \\ & \begin{bmatrix} [N1]_{4 \times 4} & [0]_{4 \times 4} & [0]_{4 \times 4} & \cdots & [0]_{4 \times 4} \\ [0]_{4 \times 4} & [N2]_{4 \times 4} & [0]_{4 \times 4} & \cdots & [0]_{4 \times 4} \\ [0]_{4 \times 4} & [0]_{4 \times 4} & [N3]_{4 \times 4} & \vdots & [0]_{4 \times 4} \\ \vdots & \vdots & \vdots & \ddots & \vdots \\ [0]_{4 \times 4} & [0]_{4 \times 4} & [0]_{4 \times 4} & \cdots & [Nn]_{4 \times 4} \end{bmatrix} \begin{bmatrix} [\Theta_1] \\ [\Theta_2] \\ \vdots \\ [\Theta_n] \end{bmatrix} \quad (3) \end{aligned}$$

where

$$[\Lambda_n] = \begin{bmatrix} i_{qn} \\ i_{dm} \\ i_{qm} \\ i_{dm} \\ \theta_m \\ \theta_m \end{bmatrix} \text{ and } [\Theta_n] = \begin{bmatrix} V_{qn} \\ V_{dm} \\ V_{qm} \\ V_{dm} \\ T_e - T_L \\ 0 \end{bmatrix}.$$

3 Fuzzy Control Design

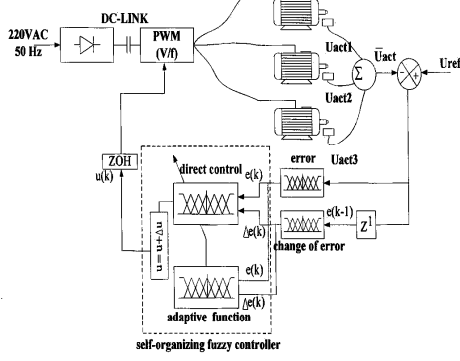


Fig. 2 Parallel 1O induction motors drive with a self-organizing fuzzy controller.

Referring to Fig. 2, we are now considering a drive system consisting of three 1O induction motors in parallel connection fed by one PWM inverter under a constant v/f scheme[8,9,10]. The average speed (U_{act}) is fed back to compare with the reference command (U_{ref}).The feedback controller is a fuzzy logic one which issues a command to control the switching pattern of the inverter. The physical controller is based on a

DSP with 10 bit A/D converters at 500k samples/sec. Our fuzzy controller contains several simple fuzzy rules of the form "if x_1 and x_2 then y ". Inference of the rules applies the well-known center of gravity method of defuzzification[11,12]. We apply the triangular membership grades for all fuzzy variables which are speed errors (e), change in speed errors (Δe), change in control (Δu), and change in the center of membership grade for output (Δc). The membership grades are shown in Fig. 3 in which XN = extremely large negative, VN = very large negative, LN = large negative, MN = medium negative, SN = small negative, ZO = about zero, SP = small positive, MP = medium positive, LP = large positive, VP = very large positive, and XP = extremely large positive. Our fuzzy controller is a self-organizing one [6, 7]. It has two components namely direct control, and adaptive function as shown by the diagram in Fig. 2. Later in this article, it is illustrated that without the adaptive function the control system cannot properly deal with a large torque disturbance.

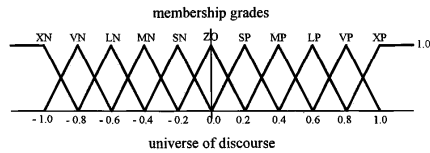


Fig. 3 Membership grades for fuzzy variables.

Since the controller possesses two components, the direct control employs fuzzy rules of the form

if [$e(k)$ is E_i] and [$\Delta e(k)$ is E_j] then [$\Delta u(k)$ is $U_{n(i,j)}$],

and the adaptive function contains rules of the form

if [$e(k)$ is E_i] and [$\Delta e(k)$ is E_j] then [$\Delta c(k)$ is $C_{m(i,j)}$].

Referring to the rules, the symbols E_i , E_j , U_n , and C_m stand for the fuzzy descriptions of speed errors, change in speed errors, change in control, and change in center of membership grades, respectively. Rule firing of the direct control results in

$$\Delta u = \sum_{i,j} \frac{\sum [(\mu E_i \cap \mu E_j) \Delta U_{n(i,j)}]}{\sum (\mu E_i \cap \mu E_j)}.$$

Proceedings of the 10th WSEAS International Conference on Automatic Control, Modelling & Simulation Istanbul, Turkey, May 27-30, 2008(pp 46-51)

Since the adaptive function provides an adjustment to the operation of the direct control, firing an adaptive rule can be viewed as updating the change in control Δu as follows

$$U_{n(i,j)} = U_{n(i,j)} + \frac{\sum_{i,j} [(\mu E_i \cap \mu E_j) \Delta C_m(i,j)]}{\sum_{i,j} (\mu E_i \cap \mu E_j)}$$

Both components of the fuzzy controller contains rules as summarized by the Tables 1 and 2, respectively.

Table 1 Fuzzy rules: Direct control.

		change in errors										
		XN	VN	LN	MN	SN	ZO	SP	MP	LP	VP	XP
errors	XN	XP	XP	XP	XP	XP	XP	VP	LP	MP	SP	ZO
	VN	XP	XP	XP	XP	XP	VP	LP	MP	SP	ZO	SN
	LN	XP	XP	XP	XP	VP	LP	MP	SP	ZO	SN	MN
	MN	XP	XP	XP	VP	LP	MP	SP	ZO	SN	MN	LN
	SN	XP	XP	VP	LP	MP	SP	ZO	SN	MN	LN	VN
	ZO	XP	VP	LP	MP	SP	ZO	SN	MN	LN	VN	XN
	SP	VP	LP	MP	SP	ZO	SN	MN	LN	VN	XN	XN
	MP	LP	MP	SP	ZO	SN	MN	LN	VN	XN	XN	XN
	LP	MP	SP	ZO	SN	MN	LN	VN	XN	XN	XN	XN
	VP	SP	ZO	SN	MN	LN	VN	XN	XN	XN	XN	XN
	XP	ZO	SN	MN	LN	VN	XN	XN	XN	XN	XN	XN

Table 2 Fuzzy rules: Adaptive function.

		change in errors										
		XN	VN	LN	MN	SN	ZO	SP	MP	LP	VP	XP
errors	XN	XP	XP	XP	XP	XP	VP	ZO	ZO	ZO	ZO	ZO
	VN	XP	XP	XP	XP	VP	LP	ZO	ZO	ZO	ZO	ZO
	LN	XP	XP	XP	VP	LP	MP	ZO	ZO	ZO	ZO	ZO
	MN	XP	XP	VP	LP	MP	SP	ZO	ZO	ZO	ZO	ZO
	SN	XP	VP	LP	MP	SP	ZO	ZO	ZO	ZO	ZO	ZO
	ZO	VP	LP	MP	SP	ZO						
	SP	ZO	ZO	ZO	ZO	ZO	SN	MN	LN	VN	XN	XN
	MP	ZO	ZO	ZO	ZO	ZO	SN	MN	LN	VN	XN	XN
	LP	ZO	ZO	ZO	ZO	ZO	MN	LN	VN	XN	XN	XN
	VP	ZO	ZO	ZO	ZO	ZO	LN	VN	XN	XN	XN	XN
	XP	ZO	ZO	ZO	ZO	ZO	VN	XN	XN	XN	XN	XN

4 Simulation Results

Firstly, simulation results of one motor at no-load are

illustrated in Fig. 4. Without any controller, the motor runs upto the rated speed of 1,450 rpm. The motor follows the speed commands nicely (800, 1000, 1200 and 1300 rpm) with our self-organizing fuzzy controller. The results are shown for only one motor because the others behave similarly. Secondly, we show the results when the motors are disturbed intervally by an external load-torque of 20 Nm as seen from Fig. 5. It can be noticed that the self-organizing controller performs much better than the direct control does in terms of fast

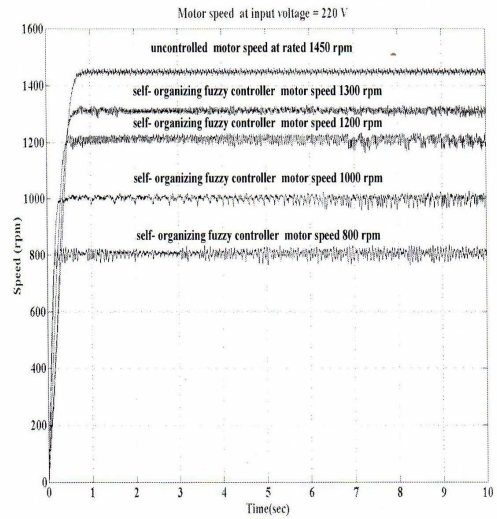


Fig. 4 Speed responses of one motor at no-load (self-organizing fuzzy controller).

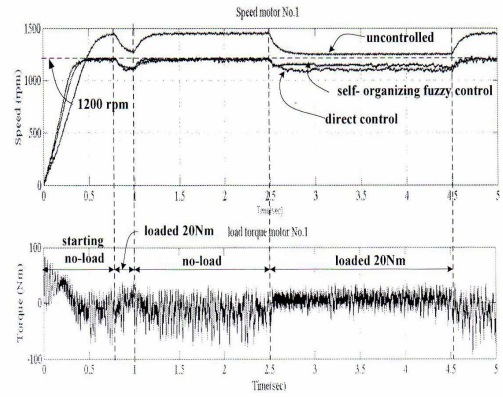


Fig. 5 Speed responses of one motor at intervally loaded (20 Nm).

Proceedings of the 10th WSEAS International Conference on Automatic Control, Modelling & Simulation Istanbul, Turkey, May 27-30, 2008(pp 46-51)

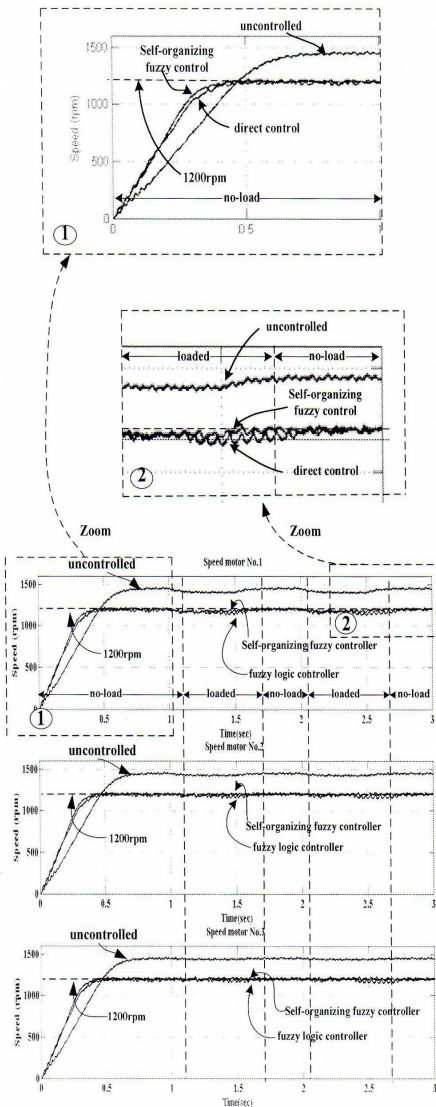


Fig. 6a Speed responses when the motors are intervally disturbed by the external load torque summarized by Table 3.

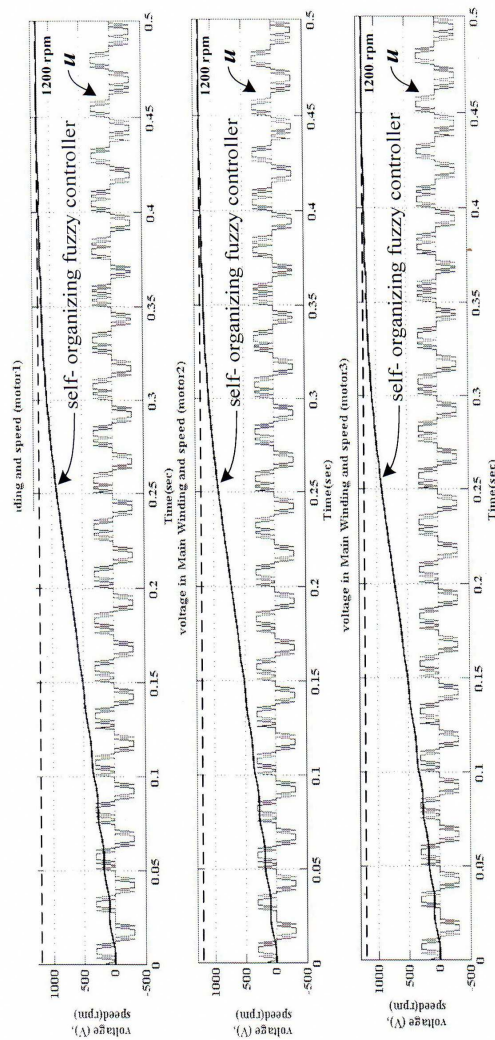


Fig. 6b Motors' speeds with the control signal u

Proceedings of the 10th WSEAS International Conference on Automatic Control, Modelling & Simulation Istanbul, Turkey, May 27-30.2008(pp 46-51)

response, steady-state speed, speed regulation, and recovery from disturbances. Thirdly, we consider a more realistic case of having a crop chopping machine (see Fig. 7) to be installed with the motors and the controllers. In this case, realistic load-torque disturbances to each motor are summarized by Table 3. Fig. 6 illustrates the results of motors' speed responses. It can be observed that the self-organizing controller produces better responses than the direct control does for all cases. Fig. 8 illustrates the motor currents. Table 4 summarizes the results, and particularly indicates the benefit of our self-organizing fuzzy controller which can confine the speed errors within $\pm 3\%$ better than the required specifications.

Table 3. External torque intervally disturbs each motor.

Time(sec)	Motor No1	Motor No2	Motor No3
1.0-1.7	6 Nm	3 Nm	1.5 Nm
2.0-2.7	6 Nm	3 Nm	1.5 Nm

Table 4. Summary of steady-state speeds and % speed-errors of each motor(required speed: 1,200 rpm, $\pm 5\%$).

motor	Direct fuzzy controller		Self-organizing fuzzy controller	
	Average speed(rpm)	%error	Average speed(rpm)	%error
No.1	1151	-4.08	1170	-2.50
No.2	1170	-2.50	1187	-1.08
No.3	1194	-0.50	1201	+0.08

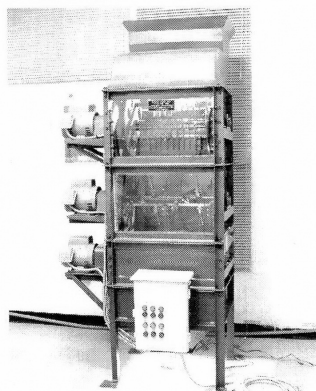


Fig. 7 Crop chopping machine.

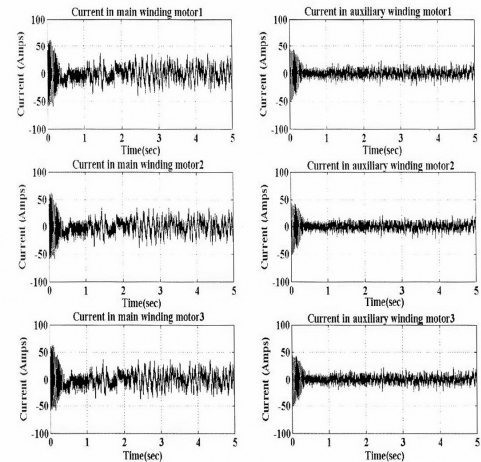


Fig. 8 Waveforms of motor currents.

5 Conclusion

We have reported the development of a self-organizing fuzzy controller for a drive system having three 10 induction motors connected parallelly. These motors are driven by a single PWM-VSI of which switching patterns are controlled by our self-organizing fuzzy controller. This development is aimed for a crop chopping machine illustrated in Fig. 7. At present, the idea is verified by simulation. The results show that large load-torque disturbances can be dealt with satisfactorily. The motor speed variation due to the torque disturbance can be properly regulated within $\pm 3\%$ errors better than the required specification of $\pm 5\%$. With our controller, the motors response faster with no overshoots. Our future works are to implement this control technology, and further develop the controller to achieve a slightly underdamped response.

6 Acknowledgements

This work is supported by the National Research Council of Thailand. Expenses for conference participation are supported by SUT, and RMUT E-SAN. The authors are greatly thankful to these organizations.

References:

- [1] Y. Matsumoto, S. Ozaki, and A. Kawamura, A novel vector control of single-inverter multiple-induction-motors drives for Shinkansen traction system, *Proc. IEEE Conf. on Applied Power Electronics (APEC '2001)*, Vol. 1, 2001, pp. 608 – 614.

Proceedings of the 10th WSEAS International Conference on Automatic Control, Modelling & Simulation Istanbul, Turkey, May 27-30,2008(pp 46-51)

- [2] S. Rawekul, T. Kulworawanichpong, and S. Sujitjorn, Parallel-connected single-phase induction motor: modelling and simulation. *WSEAS Trans. on Circuits and Systems*, Vol. 5, No. 63, 2006, pp. 377–384.
- [3] C-M. Ong, *Dynamic Simulation of Electric machinery using MATLAB/SIMULINK*, Prentice Hall, 1998.
- [4] P.C. Krause, O. Waszczuk, and S.D. Sundhoff, *Analysis of Electrical Machinery*, Piscataway, Nj :IEEE Press, 1995. 51, No. 5, 2004, pp. 1073 – 1080.
- [5] R. Krishnan, *Electric Motor Drives Modeling, Analysis, and Control*, Prentice Hall, 2001.
- [6] C.J. Hwang, and T.T. Yen, A design of fuzzy self-organizing controller, *Proc. IEEE Conf. on Fuzzy Systems*, Vol. 3, 1996, pp. 1567–1572.
- [7] X. Chengying, and C.S. Yung, Design of multilevel fuzzy controller for nonlinear systems and stability analysis, *IEEE Trans. on Fuzzy Systems*, Vol. 13, No. 6, 2005, pp.761–778.
- [8] B. Wu, S.B. Dewan, and P.C. Sen, A modified current source inverter for a multiple induction motor drive system, *IEEE Trans. on Power Electronics*, Vol. 3, No. 1, 1988, pp.10–16.
- [9] M.B.R. Correa, C.B. Jacobina, A.M.N. Lima, and E.R.C. da Silva, Single-phase induction motor drives systems, *Proc. IEEE Conf. on Applied Power Electronics and Exposition(APEC '99)*, Vol. 1, 1999, pp. 403 – 409.
- [10] D.H. Jang, Voltage, frequency, and phase - difference angle control of PWM inverters-fed two-phase induction motors, *IEEE Trans. on Power Electronics*, Vol. 9, No. 4, 1994, pp. 377 – 383.
- [11] G. Calcev, Some remarks on the stability of Mamdani fuzzy control system, *IEEE Trans. on Fuzzy System*, Vol. 6, No. 3, 1998, pp.436 – 442.
- [12] E.H. Mamdani, Application of fuzzy logic to approximate reasoning using linguistic synthesis, *IEEE Trans. on Computers*, Vol. C-26, No. 12, 1977, pp. 1182 – 1191.
- [13] P. vas, A.F. Stronach, M. Neuroth, Full fuzzy control of a DSP-based high performance induction motor drive, *Proc. IEE Conf. on Control Theory Appl.*, Vol. 144, No. 5,1997, pp. 361 – 368.

Notation list:

- B_m viscous friction coefficient (Nm/rad/sec)
- C_m fuzzy description of change in center of membership grades
- E_i fuzzy description of speed errors
- E_j fuzzy description of change in speed errors
- $i_{qs}, i_{ds}, i_{qr}, i_{dr}$ the q- axis and the d- axis current components of stator and rotor (A)
- J_m moment of inertia (Kg ·m²)
- P number of poles (pole)
- T_e electromagnetic torque (Nm)
- T_L load torque (Nm)
- U_n fuzzy description of change in control

- U_{ref} reference command (rpm)
- U_{act1} actual speed of motor No.1 (rpm)
- U_{act2} actual speed of motor No.2 (rpm)
- U_{act3} actual speed of motor No.3 (rpm)
- U_{act} average speed (rpm)
- $V_{qs}, V_{ds}, V_{qr}, V_{dr}$ the q-exes and d-exes voltage components on stator and rotor (V)
- e speed errors
- Δc change in the center of membership grade for output
- Δe change in speed errors
- Δu change in control
- ω_r speed (rad/s)
- θ_r phase difference between the q_r and q_s axes (rad)
- superscript S denotes stator-side quantities
- superscript r denotes rotor-side quantities
- superscript ' denotes transformed quantities to the reference q- axis of the stator
- \cap fuzzy min operator
- $[i]_{4x1}$ matrix of main and auxiliary windings currents
- $[\aleph_n]_{4x4}$ matrix of motor parameters
- $[\Re_n]_{4x4}$ matrix of motor parameters
- $[V]_{4x1}$ matrix of main and auxiliary windings voltages

Parallel - Connected Single - Phase Induction Motors: Modelling and Simulation

SAKRAWEE RAWEEKUL, THANATCHAI KULWORAWANICHONG,
and SARAWUT SUJITJORN⁺

School of Electrical Engineering, Institute of Engineering
Suranaree University of Technology

111 University Avenue, Muang District, Nakhon Ratchasima, 30000
THAILAND

⁺corresponding author sarawut@sut.ac.th <http://eng.sut.ac.th/ee>

abstract:- The development of a state-space model representing multiple single-phase induction motors in parallel connection is described in this paper. The proposed model is in a general expression based on the dq-frame principle. The model of a multi-motor system becomes a large sparse matrix. A set of parallel motors is assumed to be fed by a single inverter source. Practical cases of having almost the same motors, the same loads, different motors with near ratings, and different loads have been considered. Simulation results on four drive conditions are discussed in details.

Keywords: single-phase induction motor, parallel connection, modelling.

1. Introduction

Most industries in developing countries are based on agriculture. Unlike other heavy industries, agricultural industries require small size machines in production plants. In this fashion, three-phase induction motors are not suitable because they are usually over rated. Although, any large-size three-phase induction motors can be operated at a fraction of their ratings, it is not a good reason to do so due to inefficiency and uneconomy. Increasingly, many processes and office-used appliances are designed to employ simple and low-cost single-phase motors. In some industries such as starch, textile, food processing, etc, a few hundreds of single-phase induction motors are installed to serve loads. In practice, use of one inverter to supply one motor is costly and also inefficient. To reduce cost, parallel connection of multiple single-phase induction motors fed by a single inverter [1], [2] is an alternative due to its simplicity and low cost. Therefore, improvement of efficient operation for a parallel-connected, multiple single-phase induction motor drive [3] is vital to attain loss minimization and minimum operating cost.

In this paper, we attempt to develop a mathematical model for multiple single-phase induction motors in parallel connection as described in state-space form. This modelling is based on the two-axis dq frame theory which plays an essential role for high-efficient induction motor drive technology. The analyses appeared in this paper consist of four main parts that are: i) single-phase induction motor model in stationary reference frame , ii) modelling of multiple single-phase induction motors in parallel connection , iii) simulation results conducted for four loading scenarios , and iv) conclusion.

2. Motor Model in Stationary Reference Frame

A single-phase induction motor is considered to have stator, and rotor windings. As shown in figure 1, the stator winding composes of the main, and the auxiliary windings [4]. To develop the motor models, the motor itself can be considered as a two-phase or two-axis device. In terms of two axes, the d – and the q – axes are perpendicular. The development of the motor state models utilizes the dq-frame principle, and the reference frame theory [5]. The later theory allows the transformation of rotor variables to the stator side.

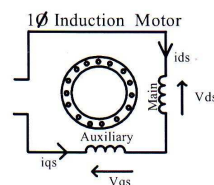


Fig.1 Winding composition

The diagram in fig. 2 [6] reveals the orientation of the motor windings. In the figure, the subscript qs denotes any quantities belonging to the stator main winding (the stator q-axis winding), ds denotes those belonging to the stator auxiliary winding (the stator d-axis winding), qr and dr represent the same but for the rotor windings in the q- and the d-axes, respectively. In the same figure, the

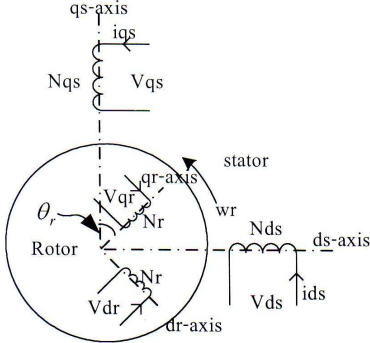


Fig. 2 Orientation of the stator and the rotor windings.

The qr and qs axes have the phase difference of θ_r . Based on the winding orientation as described, one can write the equation (1) in which the superscripts s and r denote the stator, and the rotor sides, respectively.

$$\begin{bmatrix} V_{qr}^s \\ V_{dr}^s \end{bmatrix} = \begin{bmatrix} \cos\theta_r & \sin\theta_r \\ -\sin\theta_r & \cos\theta_r \end{bmatrix} \begin{bmatrix} V_{qr}^r \\ V_{dr}^r \end{bmatrix} \quad (1)$$

or in a compact form of

$$\begin{bmatrix} \mathfrak{V}_{xr}^s \end{bmatrix} = [k] \begin{bmatrix} \mathfrak{V}_{xr}^r \end{bmatrix} \quad (2)$$

where \mathfrak{V}_{xr}^s denotes any quantities transformed from the rotor side to the stator side,

\mathfrak{V}_{xr}^r denotes any quantities on the rotor side,
and

$[k]$ denotes the transformation matrix, i.e.

$$[k] = \begin{bmatrix} \cos\theta_r & \sin\theta_r \\ -\sin\theta_r & \cos\theta_r \end{bmatrix}.$$

The following subsections present the summary of the motor state models for the stator and the rotor, respectively.

The Stator

The voltages on the stator part can be simply expressed by

$$\begin{aligned} V_{qs} &= r_{qs}i_{qs} + L_{qsqs}pi_{qs} + L_{qsdq}pi_{ds} + \\ &\quad L_{qqrq}pi_{qr} + L_{qsrq}pi_{dr} \\ V_{ds} &= r_{ds}i_{ds} + L_{dsqs}pi_{qs} + L_{dsdq}pi_{ds} + \\ &\quad L_{dsqr}pi_{qr} + L_{dsdr}pi_{dr} \end{aligned}$$

in which p denotes d/dt . The above expressions can be rearranged in the matrix form as in (3).

$$\begin{bmatrix} V_{qs}^s \\ V_{ds}^s \end{bmatrix} = \begin{bmatrix} r_{qs} + pL_{qsqs} & pL_{qsdq} \\ pL_{dsqs} & r_{ds} + pL_{dsdq} \end{bmatrix} \begin{bmatrix} i_{qs}^s \\ i_{ds}^s \end{bmatrix} + \\ p \left\{ \begin{bmatrix} L_{qqrq} & L_{qsrq} \\ L_{dsqr} & L_{dsdr} \end{bmatrix} \begin{bmatrix} i_{qr}^r \\ i_{dr}^r \end{bmatrix} \right\} \quad (3)$$

The Rotor

Due to the rotor symmetry, the winding turns on the d- and the q-axes are equal. Their resistances are also equal, i.e. $r_{qr} = r_{dr} = r_r$. The voltages on the rotor part can be simply expressed by

$$\begin{aligned} V_{qr}^r &= r_{qr}i_{qr} + L_{qqrq}pi_{qr} + \\ &\quad L_{qsdq}pi_{dr} + L_{qqrq}pi_{qs} + L_{qrdq}pi_{ds} \\ V_{dr}^r &= r_{dr}i_{dr} + L_{drqr}pi_{qr} + \\ &\quad L_{dsds}pi_{dr} + L_{drqs}pi_{qs} + L_{drds}pi_{ds} \end{aligned}$$

or in the matrix form of

$$\begin{bmatrix} V_{qr}^r \\ V_{dr}^r \end{bmatrix} = \begin{bmatrix} r_{qr} + pL_{qqrq} & pL_{qrdq} \\ pL_{drqr} & r_{dr} + pL_{drdr} \end{bmatrix} \begin{bmatrix} i_{qr}^r \\ i_{dr}^r \end{bmatrix} + \\ p \left\{ \begin{bmatrix} L_{qrsq} & L_{qrdq} \\ L_{drqr} & L_{drds} \end{bmatrix} \begin{bmatrix} i_{qs}^s \\ i_{ds}^s \end{bmatrix} \right\} \quad (4)$$

By transferring all quantities to the stator reference frame, the state-space matrix representing one single-phase induction motor can be summarized as shown in equation (5).

$$\frac{d}{dt}[\dot{i}] = [\bar{A}][\dot{i}] + [\bar{B}][v] \quad (5)$$

where

$$\begin{aligned} [\dot{i}] &= [i_{qs} \quad i_{ds} \quad i_{qr} \quad i_{dr}]^T \\ [v] &= [V_{qs} \quad V_{ds} \quad V_{qr} \quad V_{dr}]^T \\ [\bar{A}] &= [D]^{-1}[C] \\ [\bar{B}] &= [D]^{-1} \end{aligned}$$

$$[C] = \begin{bmatrix} r_{qs} & 0 \\ 0 & r_{ds} \\ -\omega_r L_{mqs} \sin \theta_r & -\omega_r L_{mqs} \cos \theta_r \\ -\omega_r L_{mqs} \cos \theta_r & -\omega_r L_{mqs} \sin \theta_r \\ -\omega_r L_{mqs} \sin \theta_r & -\omega_r L_{mqs} \cos \theta_r \\ \omega_r L_{dsqr} \cos \theta_r & -\omega_r L_{mqs} \cos \theta_r \\ r_r & 0 \\ 0 & r_r \end{bmatrix}$$

, and

$$[D] = \begin{bmatrix} L_{lqs} + L_{mqs} & 0 & L_{mqs} \cos \theta_r & -L_{mqs} \sin \theta_r \\ 0 & (L_{lqs} + L_{mqs}) & L_{mqs} \sin \theta_r & L_{mqs} \cos \theta_r \\ L_{mqs} \cos \theta_r & L_{mqs} \sin \theta_r & (L_{lr} + L_{mqs}) & 0 \\ -L_{mqs} \sin \theta_r & L_{mqs} \cos \theta_r & 0 & (L_{lr} + L_{mqs}) \end{bmatrix}$$

N_{qs} = main winding turns,

N_{ds} = auxiliary winding turns, and

$N_{qr} = N_{dr} = N_r$ = rotor winding turns.

$$\begin{aligned} V_{ds} &= \frac{N_{qs}}{N_{ds}} V_{ds} & , \quad i_{ds} &= \frac{N_{qs}}{N_{ds}} i_{ds} \\ L_{mq} &= N_{qs}^2 P_g & , \quad L_{ds} &= \left(\frac{N_{qs}}{N_{ds}}\right)^2 N_{ds}^2 P_g = L_{mqs} \\ L_{lds} &= \left(\frac{N_{qs}}{N_{ds}}\right)^2 L_{lqs} & , \quad r_{ds} &= \left(\frac{N_{qs}}{N_{ds}}\right)^2 r_{ds} \\ L_{lr} &= \left(\frac{N_{qs}}{N_r}\right)^2 L_{lqr} & , \quad r_r &= \left(\frac{N_{qs}}{N_r}\right)^2 r_r \\ V_{qr} &= \frac{N_{qs}}{N_r} V_{qr} & , \quad V_{dr} &= \frac{N_{qs}}{N_r} V_{dr} \\ i_{qr} &= \frac{N_r}{N_{qs}} i_{qr} & , \quad i_{dr} &= \frac{N_r}{N_{qs}} i_{dr} \end{aligned}$$

(remarks: “‘’ indicates the transformed quantities to the reference q-axis of the stator.) Furthermore, the cross inductances can be replaced by the magnetic inductances using the following relations [4].

$$\begin{aligned} L_{qqs} &= L_{lqs} + N_{qs}^2 P_g & , \quad L_{dsds} &= L_{lds} + N_{ds}^2 P_g \\ L_{qsqr} &= N_{qs} N_{qr} P_g & , \quad L_{qldr} &= N_{qs} N_{dr} P_g \\ L_{dsqr} &= N_{ds} N_{qr} P_g & , \quad L_{dsdr} &= N_{ds} N_{dr} P_g \\ L_{qrqr} &= L_{lqr} + N_{qr}^2 P_g & , \quad L_{drdr} &= L_{ldr} + N_{dr}^2 P_g \end{aligned}$$

Considering the rotor motion, its mechanical model is expressed by [6]

$$\frac{d\omega_r}{dt} = \frac{P}{2J_m} T_e(t) - \frac{P}{2J_m} T_L(t) - \frac{B_m \omega_r(t)}{J_m}$$

where T_e denotes electromagnetic torque, i.e.

$$T_e = \left(\frac{P}{2}\right) L_{mqs} i_{qs} (-i_{qs} \sin \theta_r - i_{dr} \cos \theta_r) + L_{mqs} i_{ds} (-i_{qr} \cos \theta_r - i_{dr} \sin \theta_r)$$

and $\frac{d\theta_r}{dt} = \omega_r$. This model can be rewritten in a state-space form as

$$\begin{bmatrix} \frac{d\omega_r}{dt} \\ \frac{d\theta_r}{dt} \end{bmatrix} = \begin{bmatrix} -\frac{B_m}{J_m} & 0 \\ 1 & 0 \end{bmatrix} \begin{bmatrix} \omega_r \\ \theta_r \end{bmatrix} + \begin{bmatrix} \frac{P}{2J_m} \\ 0 \end{bmatrix} [T_e - T_L] \quad (6)$$

Combining the electrical and the mechanical state models results in the equation (7) representing a single-phase induction motor.

$$\begin{bmatrix} \frac{d[i]_{4x1}}{dt} \\ \frac{d\omega_r}{dt} \\ \frac{d\theta_r}{dt} \end{bmatrix} = \begin{bmatrix} [\mathfrak{R}]_{4x4} & [0]_{4x2} \\ [0]_{2x4} & \begin{bmatrix} -\frac{B_m}{J_m} & 0 \\ 1 & 0 \end{bmatrix} \end{bmatrix} \begin{bmatrix} [i]_{4x1} \\ \omega_r \\ \theta_r \end{bmatrix} + \begin{bmatrix} [\mathfrak{N}]_{4x4} & [0]_{4x2} \\ [0]_{2x4} & \begin{bmatrix} \frac{P}{2J_m} & 0 \\ 0 & 0 \end{bmatrix} \end{bmatrix} \begin{bmatrix} [V]_{4x1} \\ T_e - T_L \end{bmatrix} \quad (7)$$

in which

$$\begin{aligned} [i]_{4x1} &= [i_{qs} \quad i_{ds} \quad i_{qr} \quad i_{dr}]^T \\ [\mathfrak{R}]_{4x4} &= [A][D]^{-1}[C] \\ [\mathfrak{N}]_{4x4} &= [B][D]^{-1} \end{aligned}$$

3. Modelling of Multiple Parallel - Connected Motors

Consider a two-motor set. Equation (7) in concatenated form for the set is equation (8). One can obtain a state model representing n motors in parallel connection through concatenation of n single-motor models as shown in equation (9).

$$\begin{bmatrix} \frac{d[\dot{i}_1]_{4x1}}{dt} \\ \frac{d\omega_{r1}}{dt} \\ \frac{d[\dot{i}_2]_{4x1}}{dt} \\ \frac{d\omega_{r2}}{dt} \\ \frac{d\theta_{r2}}{dt} \end{bmatrix} = \begin{bmatrix} [\mathfrak{R}1]_{4x4} & [0]_{4x2} \\ [0]_{4x2} & \begin{bmatrix} -\frac{B_1}{J_{m1}} & 0 \\ 1 & 0 \end{bmatrix} \\ [0]_{6x6} & \\ [\mathfrak{R}2]_{4x4} & [0]_{4x2} \\ [0]_{4x2} & \begin{bmatrix} -\frac{B_2}{J_{m2}} & 0 \\ 1 & 0 \end{bmatrix} \\ [0]_{6x6} & \end{bmatrix} \begin{bmatrix} [\dot{i}_1]_{4x1} \\ \omega_{r1} \\ [\dot{i}_2]_{4x1} \\ \omega_{r2} \\ \theta_{r2} \end{bmatrix} + \begin{bmatrix} [\mathfrak{N}1]_{4x4} & [0]_{4x2} \\ [0]_{4x2} & \begin{bmatrix} \frac{P_1}{2J_{m1}} & 0 \\ 1 & 0 \end{bmatrix} \\ [0]_{6x6} & \\ [\mathfrak{N}2]_{4x4} & [0]_{4x2} \\ [0]_{4x2} & \begin{bmatrix} \frac{P_2}{2J_{m2}} & 0 \\ 1 & 0 \end{bmatrix} \\ [0]_{6x6} & \end{bmatrix} \begin{bmatrix} V_{4x1} \\ T_{el} + T_{L1} \\ V_{4x1} \\ T_{el} + T_{L2} \\ 0 \end{bmatrix} \quad (8)$$

$$\frac{d}{dt} \begin{bmatrix} [\Lambda_1] \\ [\Lambda_2] \\ [\Lambda_3] \\ \vdots \\ [\Lambda_n] \end{bmatrix} = \begin{bmatrix} [\mathfrak{R}1]_{4x4} & [0]_{4x4} & [0]_{4x4} & \cdots & [0]_{4x4} \\ [0]_{4x4} & [\mathfrak{R}2]_{4x4} & [0]_{4x4} & \cdots & [0]_{4x4} \\ [0]_{4x4} & [0]_{4x4} & [\mathfrak{R}3]_{4x4} & \vdots & [0]_{4x4} \\ \vdots & \vdots & \vdots & \ddots & \vdots \\ [0]_{4x4} & [0]_{4x4} & [0]_{4x4} & \cdots & [\mathfrak{R}n]_{4x4} \end{bmatrix} \begin{bmatrix} [\Lambda_1] \\ [\Lambda_2] \\ [\Lambda_3] \\ \vdots \\ [\Lambda_n] \end{bmatrix} + \begin{bmatrix} [\mathfrak{N}1]_{4x4} & [0]_{4x4} & [0]_{4x4} & \cdots & [0]_{4x4} \\ [0]_{4x4} & [\mathfrak{N}2]_{4x4} & [0]_{4x4} & \cdots & [0]_{4x4} \\ [0]_{4x4} & [0]_{4x4} & [\mathfrak{N}3]_{4x4} & \vdots & [0]_{4x4} \\ \vdots & \vdots & \vdots & \ddots & \vdots \\ [0]_{4x4} & [0]_{4x4} & [0]_{4x4} & \cdots & [\mathfrak{N}n]_{4x4} \end{bmatrix} \begin{bmatrix} [\Theta_1] \\ [\Theta_2] \\ [\Theta_3] \\ \vdots \\ [\Theta_n] \end{bmatrix} \quad (9)$$

where

$$[\Lambda_k] = \begin{bmatrix} i_{qs,k} \\ i_{ds,k} \\ i_{qr,k} \\ i_{dr,k} \\ \omega_{r,k} \\ \theta_{r,k} \end{bmatrix} \quad \text{and} \quad [\Theta_k] = \begin{bmatrix} V_{qs,k} \\ V_{ds,k} \\ V_{qr,k} \\ V_{dr,k} \\ T_e - T_L \\ 0 \end{bmatrix} \quad (10)$$

To analyze electromechanical characteristics of n parallel single-phase motors, a combination of an individual model for each motor needs to be defined in a single and large-sparse matrix to represent the entire system. Fig. 3 depicts a group of n parallel-connected motors. Let $[\Lambda_k]$ and $[\Theta_k]$ be state and input vectors of the k^{th} motor, respectively. The model for the k^{th} motor can be expressed explicitly as equation (10) with subscript k .

4. Simulation Results

To verify effectiveness, correctness and accuracy of the developed model, four test-case scenarios were assigned, in which three motors driving three separate centrifugal pumps connected in parallel, form the test bed. The four test cases are detailed as follows [7]-[10].

Case 1: all motors are technically the same in both parameters and loads.

- Motor 1: Parameter set 1, Load 1
- Motor 2: Parameter set 1, Load 1
- Motor 3: Parameter set 1, Load 1

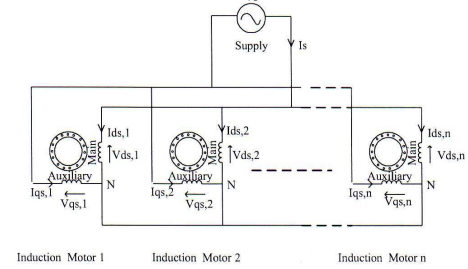


Fig. 3 Schematic diagram for a group of n parallel motors.

Case 2: parameters of each motor are equal, but motors have different portions of loads.

- Motor 1: Parameter set 1, Load 1
- Motor 2: Parameter set 1, Load 2
- Motor 3: Parameter set 1, Load 3

Case 3: load of each motor is equal, while motor parameters are different.

- Motor 1: Parameter set 1, Load 1
- Motor 2: Parameter set 2, Load 1
- Motor 3: Parameter set 3, Load 1

Case 4: neither parameters nor loads of the motors are equal.

- Motor 1: Parameter set 1, Load 1
- Motor 2: Parameter set 2, Load 2
- Motor 3: Parameter set 3, Load 3

and loads are listed below

- Load torque 1: $1.8 \times 10^{-4} \omega_r^2$ N.m
- Load torque 2: $9.5 \times 10^{-5} \omega_r^2$ N.m
- Load torque 3: $7.5 \times 10^{-5} \omega_r^2$ N.

Table 1 Motor parameters [11]-[13].

Parameter set	poles	r_{qs} (Ω)	r_{ds} (Ω)	r_r (Ω)	L_{mqs} (H)	L_{lr} (H)	$L_{lqs(H)}$	$L_{lds(H)}$	J ($\text{kg} \cdot \text{m}^2$)	B_m ($\text{N} \cdot \text{m}/\text{rad/sec}$)
1	4	4.3	2.6	2.01	105	1.8	1.01	1.8	0.0546	0.0002
2	4	1.3	2.6	2.01	105	2.8	2.01	2.8	0.0546	0.0002
3	4	3.2	7.2	2.00	54.97	3.2	3.61	2.09	0.0546	0.0002

Table 2 Steady-state performances of each test case

	Case 1			Case 2			Case 3			Case 4		
	M1	M2	M3									
Supply Current (A _{ms})	25.44			17.48			32.42			22.07		
Motor Current (A _{ms})	8.48	8.48	8.48	8.48	4.15	8.48	10.09	13.85	8.48	5.91	7.68	
Motor Speed (rpm)	1402	1402	1402	1402	1450	1461	1402	1408	1370	1402	1452	1455
Load Torque (N.m)	14.27	14.27	14.27	14.27	7.78	6.14	14.27	14.46	17.74	14.27	9.33	8.62
Motor Slip	0.065	0.065	0.065	0.065	0.033	0.026	0.065	0.061	0.086	0.065	0.032	0.030

Simulations for each test case were conducted by applying a 220-V, 50-Hz sinusoidal voltage source to energize the motor group.

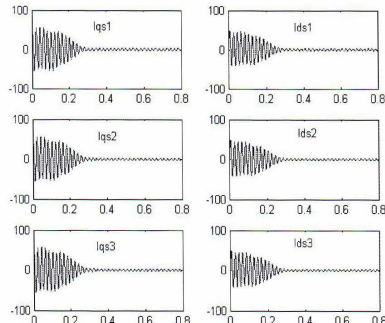


Fig. 4 Stator currents (A) of case 1

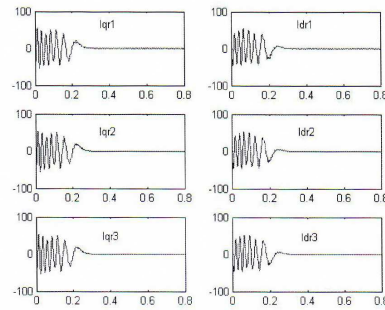


Fig. 5 Rotor currents (A) of case 1

To briefly present the results, steady-state values of some key characteristics for each motor and for the entire group are summarized in table 1. The stator and the rotor currents are depicted in fig. 4-11. It can be

noticed from the fig. 8-9 that the current responses depend mostly on the motor parameters. Fig. 10-11 also confirm that the load characteristics affect the current responses. Case 4 (different motor parameters and different loads) has very rich dynamic. So, speed, torque, and current responses of case 4 are illustrated in more details in fig. 12-15. In this case, each motor has its own responses different from the others. The case is difficult to control, and the drive must be rated carefully.

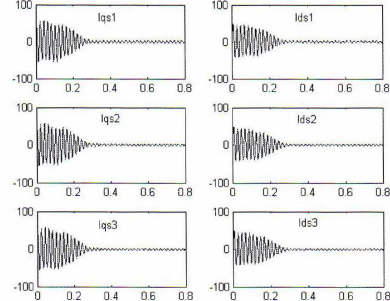


Fig. 6 Stator currents (A) of case 2

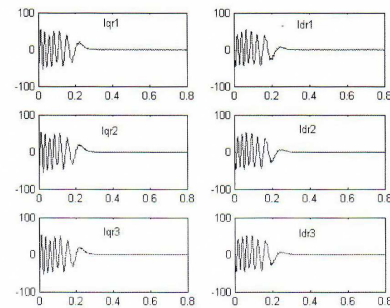


Fig. 7 Rotor currents (A) of case 2

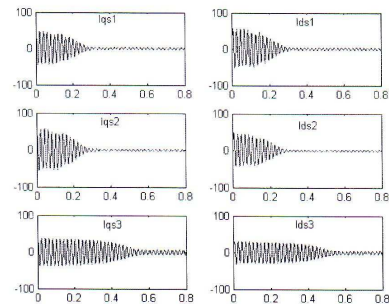


Fig. 8 Stator currents (A) of case 3

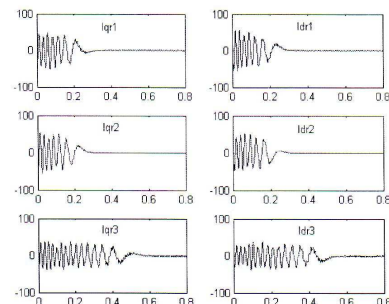


Fig. 9 Rotor currents (A) of case 3

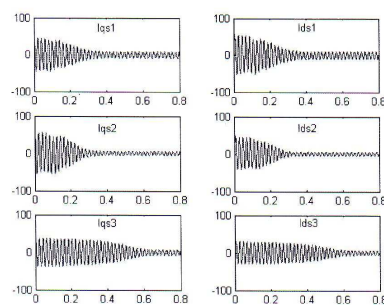


Fig. 10 Stator currents (A) of case 4

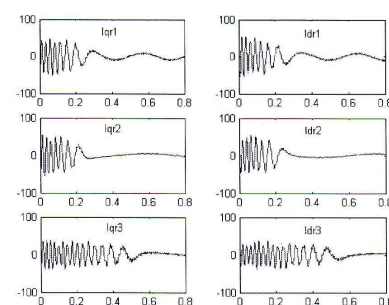


Fig. 11 Rotor currents (A) of case 4

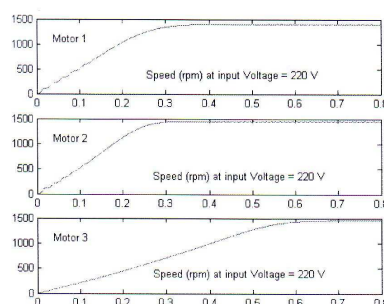


Fig. 12 Motor speeds (rpm) of case 4

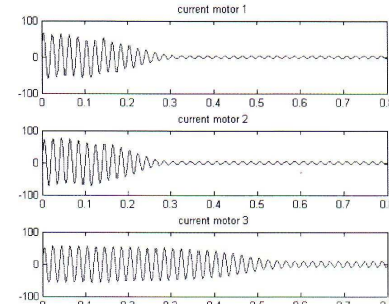


Fig. 13 Currents (A) drawn by each motor of case 4

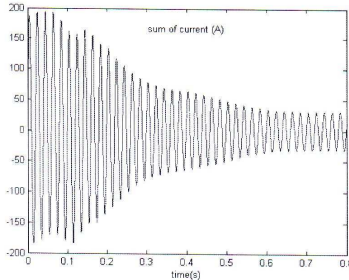


Fig. 14 Currents (A) of the motor group of case 4

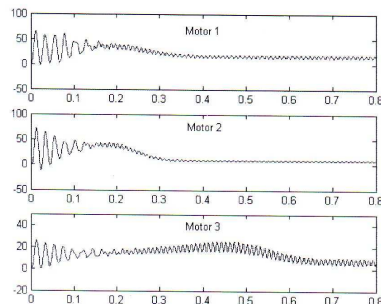


Fig. 15 Motor torques (N.m) of case 4

As can be seen, the simulation results reveal electromechanical characteristics for all motors of the group. By the method proposed in this paper, several motors connected in parallel can be analyzed, numerically. The proposed model is simple, yet efficient to be included into a simulation algorithm of a high-performance drive. In order to reduce model complexity, one can benefit significantly from this proposed model.

5. Conclusion

The development of the state models for multiple single-phase induction motors in parallel connection has been explained with simulation results presented. The model in general form is useful for practical consideration under various load and drive conditions. The model is direct and simple. Although the system matrix resulting from this model is sizeable, it is remarkably sparse. With the help from MATLAB, solutions of the time series state equations representing the motor group are easily obtained. Our further research is to develop sensorless drive technology on the basis of the results presented herein. Speed and torque observers will be developed correspondingly with minimum loss in a motor group taken into account. One simple question still left open is that how many motors in parallel connection can be stably driven by a single inverter.

References:

- [1] Y. Matsumoto, S. Ozaki, and A. Kawamura, A novel vector control of single-inverter multiple-induction-motors drives for Shinkansen traction system, *IEEE Applied Power Electronics conference and Exposition (APEC '2001.)*, Vol. 1, 2001, pp. 608 – 614.
- [2] B. Wu, S.B. Dewan, and P.C. Sen, A modified current source inverter for a multiple induction motor drive system, *IEEE Trans. on Power Electronics*, Vol. 3, No. 1, 1988, pp. 10–16.
- [3] M.B.R. Correa, C.B. Jacobina, A.M.N. Lima, And E.R.C. da Silva, Single-phase induction motor drives systems, *IEEE Applied Power Electronics Conference and Exposition (APEC '99.)*, Vol. 1, 1999, pp. 403 – 409.
- [4] C-M. Ong, *Dynamic Simulation of Electric machinery using MATLAB/SIMULINK*, Prentice Hall, 1998
- [5] R. Krishnan, *Electric Motor Drives Modeling, Analysis, and Control*, Prentice Hall, 2001.
- [6] P.C. Krause, O. Waszczuk, and S.D. Sudhoff, *Analysis of Electrical Machinery*, IEEE Press, 1995.
- [7] M.B.R. Correa, C.B. Jacobina, A.M.N. Lima, and E.R.C. da Silva, Vector control strategies for single-phase induction motor drive systems, *IEEE Trans. on Industry Applications*, Vol. 51, No. 5, 2004, pp. 1073 – 1080.
- [8] D.H. Jang, Voltage, frequency, and phase-difference angle control of PWM inverters-fed two-phase induction motors, *IEEE Trans. on Power Electronics*, Vol. 9, No. 4, 1994, pp. 377 – 383.
- [9] K. Matsuse, Y. Kouno, H. Kawai, and S. Yokomizo, A speed-sensorless vector control method of parallel-connected dual induction motor fed by a single inverter, *IEEE Trans. on Industry Applications*, Vol. 38, No. 6, 2002, pp. 1566 – 1571.
- [10] K. Matsuse, Y. Kouno, H. Kawai, and J. Oikawa, Characteristics of speed sensorless vector controlled dual induction motor drive connected in parallel fed by a single inverter, *IEEE Trans. on Industry Applications*, Vol. 40, No. 1, 2004, pp. 153 – 161.
- [11] C. Mademlis, I. Kioskeridis, and T. Theodoulidis, Optimization of single-phase induction motors-Part I: Maximum energy efficiency control, *IEEE Trans. on Energy Conversion*, Vol. 20, No. 1, 2005, pp. 187 – 195.
- [12] K. Matsuse, S. Taniguchi, T. Yoshizumi, and K. Namiki, A speed-sensorless vector control of induction motor operating at high efficiency taking core loss into account, *IEEE Trans. on Industry Applications*, Vol. 37, No. 2, 2001, pp. 548 – 558.
- [13] M.B.R. Correa, C.B. Jacobina, A.M.N. Lima, and E.R.C. da Silva, Rotor-flux-oriented control of a single-phase induction motor drive,

IEEE Trans. on Power Electronics, Vol. 47, No. 4, 2000, pp. 832 – 841.

Notation List

B_m viscous friction coefficient ($\text{N}\cdot\text{m}/\text{rad/sec}$)

$i_{qs}, i_{ds}, i_{qr}, i_{dr}$ the q-axis and the d-axis current components of stator and rotor (A)

J_m moment of inertia ($\text{Kg}\cdot\text{m}^2$)

$N_{qs}, N_{ds}, N_{qr}, N_{dr}$ winding turns on the q-axis and the d-axis of stator and rotor

L_{lqs} leakage inductance of the stator main winding (H)

L_{lds} leakage inductance of the stator auxiliary winding (H)

L_{lr} leakage inductance on the rotor winding (H)

L_{mq}, L_{md} mutual inductances on the d- and the q-axes (H)

L_{qqs} self inductance on the stator q-axis (H)

L_{qsd} cross inductance between the stator q- and d-axes (H)

L_{qsqr} cross inductance between the stator q-axis and the rotor q-axis (H)

L_{qsd} cross inductance between the stator q-axis and the rotor d-axis (H)

L_{dsds} self inductance on the stator d-axis (H)

L_{dsqr} cross inductance between the stator d-axis and the rotor q-axis (H)

L_{dsdr} cross inductance between the stator d-axis and the rotor d-axis (H)

p d/dt

P number of poles (pole)

P_g permeance of airgap

$r_{qs}, r_{ds}, r_{qr}, r_{dr}$ the q-axis and the d-axis resistance components of stator and rotor (Ω)

T_e electromagnetic torque (Nm)

T_L load torque (Nm)

$V_{qs}, V_{ds}, V_{qr}, V_{dr}$ the q-axes and d-axes voltage components on stator and rotor(V)

ω_r speed (rad/s)

θ_r phase difference between the q_r and q_s axes (rad)

superscript S denotes stator-side quantities

superscript r denotes rotor-side quantities

superscript ' denotes transformed quantities to the reference q- axis of the stator

นิพนธ์ต้นฉบับ

แบบจำลองและการจำลองผลมอเตอร์เหนี่ยวนำไฟฟ้าเดี่ยวที่เชื่อมต่อหลายตัวแบบขนาน

ศักดิ์ระวี ระเวกุล¹ ชนัดชัย กุลวราวนิชพงษ์² และ สราวนุติ สุจิตjar³

Abstract

Raweekul, S., Kulworawanichpong, T., and Sujitjorn, S.

Modelling and simulation of multiple single - phase induction motor in parallel connection

Songklanakarin J. Sci. Technol., 2006, 28(6) : 1335-1350

A mathematical model for parallel connected n-multiple single-phase induction motors in generalized state-space form is proposed in this paper. The motor group draws electric power from one inverter. The model is developed by the dq-frame theory and was tested against four loading scenarios in which satisfactory results were obtained.

Key words : single-phase induction motor, multiple, parallel connection, modelling

School of Electrical Engineering, Institute of Engineering, Suranaree University of Technology, Muang, Nakhon Ratchasima, 30000 Thailand.

¹นักศึกษาปริญญาเอก สาขาวิชาศึกษาไฟฟ้า, ผู้ช่วยศาสตราจารย์ ²Ph.D.(Electrical Engineering), ผู้ช่วยศาสตราจารย์ ³Ph.D.(Electrical Engineering), ศาสตราจารย์ สาขาวิชาศึกษาไฟฟ้า สำนักวิชาศึกษาและทดสอบ มหาวิทยาลัยเทคโนโลยีสุรนารี อําเภอเมือง จังหวัดนครราชสีมา 30000

Corresponding e-mail: mr_sakrawee@yahoo.com

รับต้นฉบับ 5 มกราคม 2549 รับลงพิมพ์ 8 พฤษภาคม 2549

บทคัดย่อ

ศักดิ์ระวี ระเวกุล ชนัดชัย กุลวรรณนิพงษ์ และ สราจุติ สุจิตจาร
แบบจำลองและการจำลองมอเตอร์หนี่ยวนำไฟฟ้าเดี่ยวที่เชื่อมต่อหลายตัวแบบขนาน

ว. สงขลานครินทร์ วทท. 2549 28(6) : 1335-1350

แบบจำลองทางคณิตศาสตร์สำหรับกุญแจของมอเตอร์หนี่ยวนำที่เชื่อมต่อขานกัน n ตัว ในรูปของสมการปริภูมิสเก็ตที่มีเสน่ห์ในบทความนี้ ได้พัฒนาให้อยู่ในรูปแบบที่เป็นลักษณะทั่วไปเพื่อให้ง่ายในการนำไปใช้ประโยชน์ในงานที่มีมอเตอร์หลายตัวต่อขาน รับกำลังไฟฟ้าจากแหล่งจ่ายผ่านอินเวอร์เตอร์ชุดเดียว แบบจำลองที่พัฒนาขึ้นมาที่ลักษณะ dq-frame พิรบกันนี้ได้ทำการทดสอบแบบจำลองการขานมอเตอร์ n ตัวที่ได้พัฒนาขึ้น โดยจำลองการขันໂ Holden ในสภาวะต่างๆ 4 สภาวะ ซึ่งผลที่ได้มีความสอดคล้องกัน

ในโรงงานอุตสาหกรรมหลายประเภท เช่น อุตสาหกรรมแบ่งมันสำปะหลัง อุตสาหกรรมเส้นใยและถักท่อ และอุตสาหกรรมแปรรูปอาหาร มีการใช้เครื่องจักรกลที่ประกอบด้วย มอเตอร์หนี่ยวนำ ทำหน้าที่ขับเคลื่อนกระบวนการต่างๆ เนื่องจากมอเตอร์หนี่ยวนำมีโครงสร้างแข็งแรงและใช้งานง่าย การควบคุมมอเตอร์หนี่ยวนำที่ต้องคำนึงถึงประสิทธิภาพ ความคุ้มค่าทางด้านพลังงานและการลงทุน ในmagnitude ของโรงงานอุตสาหกรรมจะต้องใช้มอเตอร์ที่มีพิกัดเท่ากัน ทำงานขันให้ลดที่มีสมบัติด้ายกันหลายตัว ลึ่งที่ต้องการตามมาด้วยอุปกรณ์ควบคุมที่ต้องใช้ควบคุมการขับเคลื่อนมอเตอร์แล้วตัว อุปกรณ์ดังกล่าวมักจะมีราคาแพง หากสามารถใช้อุปกรณ์ขับเคลื่อนเพียงชุดเดียวทั้งหมดที่ต้องขานกันก็จะเป็นการช่วยลดต้นทุนการผลิตได้ระดับหนึ่ง ดังเช่น ที่มีการใช้ในระบบลากจูงไฟฟ้า (Matsuse et al., 2001) การใช้เทคโนโลยีในแนวโน้มประযุกษาต่ออุตสาหกรรมหลายประเภทที่มีอัตราพิกัดและธรรมชาติของโหลดแตกต่างกันโดยเฉลี่ยอย่างยิ่งการนำเทคโนโลยีดังกล่าวมาพัฒนาระบบอุตสาหกรรมที่มีขนาดเล็ก กำลังการผลิตต่ำ และต้องการระบบที่มีขนาดไม่ใหญ่มากนัก เช่น อุตสาหกรรมขนาดย่อม ในการพัฒนาเทคโนโลยีการขับเคลื่อนมอเตอร์ต่อขานกันหลายตัวนั้น จะต้องอาศัยองค์ความรู้เกี่ยวกับแบบจำลองทางคณิตศาสตร์ การวิเคราะห์แบบจำลองทางคณิตศาสตร์ได้แบ่งออกเป็น 4 ส่วนคือ 1. ส่วนของการหาแบบจำลองทางคณิตศาสตร์ของมอเตอร์หนี่ยวนำที่เชื่อมต่อ 2. การวิเคราะห์แบบจำลองทางคณิตศาสตร์ของกระบวนการขานมอเตอร์ n ตัวในรูปของสมการปริภูมิสเก็ต 3. การจำลองผลโดยทดสอบแบบจำลองในสภาวะต่างๆ 4 สภาวะ และในส่วนสุดท้ายเป็นการสรุป

ในการวิเคราะห์แบบจำลองทางคณิตศาสตร์ได้แบ่งออกเป็น 4 ส่วนคือ 1. ส่วนของการหาแบบจำลองทางคณิตศาสตร์ของมอเตอร์หนี่ยวนำที่เชื่อมต่อ 2. การวิเคราะห์แบบจำลองทางคณิตศาสตร์ของกระบวนการขานมอเตอร์ n ตัวในรูปของสมการปริภูมิสเก็ต 3. การจำลองผลโดยทดสอบแบบจำลองในสภาวะต่างๆ 4 สภาวะ และในส่วนสุดท้ายเป็นการสรุป

1. แบบจำลองมอเตอร์หนี่ยวนำที่เชื่อมต่อ

ในการวิเคราะห์แบบจำลองทางคณิตศาสตร์ของมอเตอร์หนี่ยวนำที่เชื่อมต่อ จะพิจารณาจากโครงสร้างของมอเตอร์ (Krishnan, 2001) ซึ่งประกอบด้วย ชุดลวด 2 ชุด

ว. สงขลานคринทร์ วทท.
ปีที่ 28 ฉบับที่ 6 พ.ย.-ธ.ค. 2549

1337

การจำลองผลมอเตอร์เห็นที่วันนี้ไฟสเลีย
ศักดิ์วีระวีกุล และคณะ

คือชุดที่อยู่บนสเตเตอร์ ประกอบด้วย ขดลวดหลัก (main winding) และขดลวดช่วย (auxiliary winding) ส่วนชุดที่สองนั้นอยู่ที่โรเตอร์ดังแสดงใน Figure 1 ใน การพัฒนาแบบจำลองทางคณิตศาสตร์จะใช้แบบสองเฟส หรืออาจเรียกว่าสองแกน ซึ่งประกอบด้วย แกน d และแกน q ตั้งฉากกัน วิเคราะห์หาแบบจำลองทางคณิตศาสตร์ อาศัยหลักการ dq-frame การพัฒนาแบบจำลองมีการขยายตัวแปรรูปโดยใช้แบบสตอร์ดามทฤษฎีกรอบอ้างอิง (reference frame theory) (Krause et al., 1995) Figure 2 แสดงการวางตัวของชุดขดลวดที่อยู่บนสเตเตอร์ โดยแกน q คือแกนของขดลวดหลักที่มีค่าแรงดันเป็น V_{qs} มีกระแสไฟฟ้าในขดลวดเป็น i_{qs} และมีจำนวนวนรอบขดลวดเป็น N_{qs} แกน d คือแกนของขดลวดช่วยที่มีค่าแรงดันเป็น V_{ds} มีกระแสไฟฟ้าในขดลวดเป็น i_{ds} และมีจำนวนวนรอบขดลวดเป็น N_{ds} ในส่วนของโรเตอร์จะประกอบด้วยแกน q มีค่าแรงดันเป็น V_{qr} มีกระแสไฟฟ้าในขดลวดเป็น i_{qr} และมีจำนวนวนรอบขดลวดเป็น N_{qr} แกน d มีค่าแรงดันเป็น V_{dr} มีกระแสไฟฟ้าในขดลวดเป็น i_{dr} และมีจำนวนวนรอบขดลวด

เป็น N_{dr} เมื่อแกน q_r ทำมุมกับแกน q_s อยู่ θ_r สามารถแยกเวคเตอร์เข้าสู่แกนหลักของขดลวดสเตเตอร์โดยใช้ทฤษฎีกรอบอ้างอิง จากแผนภาพขดลวดสเตเตอร์และโรเตอร์ของมอเตอร์เห็นที่วันนี้ที่จาระนาในแบบสองแกนดังที่แสดงใน Figure 2 สามารถเขียนสมการความสัมพันธ์ของแรงดันในรูปเมตริกิกซ์ โดยกำหนดให้ค่าที่มีด้วย r แสดงถึงค่าที่อยู่บนสเตเตอร์ ในท่านองเดียวกันค่าที่มีด้วย r แสดงถึงค่าที่อยู่บนโรเตอร์

$$\begin{bmatrix} V_{qr}^s \\ V_{dr}^s \end{bmatrix} = \begin{bmatrix} \cos\theta_r & \cos(90-\theta_r) \\ \cos(90+\theta_r) & \cos\theta_r \end{bmatrix} \begin{bmatrix} V_{qr}^r \\ V_{dr}^r \end{bmatrix} \quad (1)$$

หรือ

$$\begin{bmatrix} V_{qr}^s \\ V_{dr}^s \end{bmatrix} = \begin{bmatrix} \cos\theta_r & \sin\theta_r \\ -\sin\theta_r & \cos\theta_r \end{bmatrix} \begin{bmatrix} V_{qr}^r \\ V_{dr}^r \end{bmatrix} \quad (2)$$

สมการที่ 2 สามารถเขียนให้กระชับได้ว่า

$$[V_x^s] = [k][V_x^r] \quad (3)$$

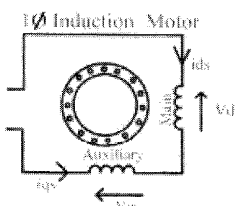


Figure 1. Winding composition

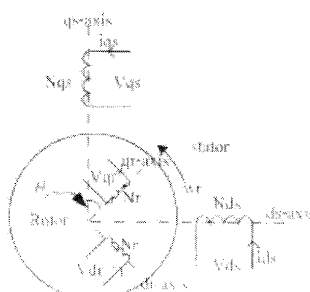


Figure 2. Orientation of the stator and the rotor windings.

เมื่อ \mathcal{V}_{qr} คือ ค่าไดร์ ที่แปลงแกนจากโกรเตอ์มายังสเตเตเตอร์
 \mathcal{V}_r คือ ค่าไดร์ ที่อยู่บนโกรเตอ์
 k คือ เมตริกซ์การแปลงระหว่างสเตเตเตอร์กับโกรเตอ์

$$[k] = \begin{bmatrix} \cos\theta_r & \sin\theta_r \\ -\sin\theta_r & \cos\theta_r \end{bmatrix}$$

ในการวิเคราะห์หาแบบจำลองทางคณิตศาสตร์ของมอเตอร์เห็นว่าหนึ่งเฟลเซ้นต์ จะแยกพิจารณาออกเป็นสองส่วน คือ พิจารณาส่วนของสเตเตเตอร์ และส่วนของโกรเตอ์ ดังนี้

1) พิจารณาส่วนของสเตเตเตอร์

จากสมการแรงดันที่เกิดขึ้นบนสเตเตเตอร์ จะได้ความสัมพันธ์ของแรงดัน กระแส ความด้านทาน และความเห็นใจนา ดังนี้

$$V_{qs} = r_{qs}i_{qs} + L_{qsqs}pi_{qs} + L_{qsds}pi_{ds} + L_{qsqr}pi_{qr} + L_{qsd़}pi_{dr}$$

$$V_{ds} = r_{ds}i_{ds} + L_{dsqs}pi_{qs} + L_{dsds}pi_{ds} + L_{dsqr}pi_{qr} + L_{dsdr}pi_{dr}$$

เมื่อ p คือ อุปัพน์อันดับหนึ่งเทียบกับเวลา และสามารถจัดให้อยู่ในรูปสมการเมตริกซ์ได้ว่า

$$\begin{bmatrix} V_{qs}^s \\ V_{ds}^s \end{bmatrix} = \begin{bmatrix} r_{qs} + pL_{qsqs} & pL_{qsds} \\ pL_{dsqs} & r_{ds} + pL_{dsds} \end{bmatrix} \begin{bmatrix} i_{qs}^s \\ i_{ds}^s \end{bmatrix} + p \begin{bmatrix} L_{qsqr} & L_{qsd़} \\ L_{dsqr} & L_{dsqr} \end{bmatrix} \begin{bmatrix} i_{qr}^s \\ i_{dr}^s \end{bmatrix} \quad (4)$$

ในสมการที่ 4 จะเห็นว่ามีส่วนของกระแสโกรเตอ์อยู่ทางขวาเมื่อสุดของสมการ ทำให้ร้ายกระแสร์โกรเตอ์ไปยังสเตเตเตอร์ ด้วยเมตริกซ์การแปลงแกนดังต่อไปนี้

$$\begin{bmatrix} i_x^s \\ i_x^r \end{bmatrix} = [k] \begin{bmatrix} i_x^s \\ i_x^r \end{bmatrix} \text{ หรือ } \begin{bmatrix} i_x^r \\ i_x^s \end{bmatrix} = [k]^{-1} \begin{bmatrix} i_x^s \\ i_x^r \end{bmatrix}$$

จึงสามารถเขียนแสดงสมการ (4) ได้ในรูป

$$\begin{bmatrix} V_{qs}^s \\ V_{ds}^s \end{bmatrix} = \begin{bmatrix} r_{qs} + pL_{qsqs} & pL_{qsds} \\ pL_{dsqs} & r_{ds} + pL_{dsds} \end{bmatrix} \begin{bmatrix} i_{qs}^s \\ i_{ds}^s \end{bmatrix} + p \begin{bmatrix} L_{qsqr} & L_{qsd़} \\ L_{dsqr} & L_{dsqr} \end{bmatrix} [k]^{-1} \begin{bmatrix} i_{qr}^s \\ i_{dr}^s \end{bmatrix}$$

นั้นก็คือ

$$\begin{bmatrix} V_{qs}^s \\ V_{ds}^s \end{bmatrix} = \begin{bmatrix} r_{qs} + pL_{qsqs} & pL_{qsds} \\ pL_{dsqs} & r_{ds} + pL_{dsds} \end{bmatrix} \begin{bmatrix} i_{qs}^s \\ i_{ds}^s \end{bmatrix} + p \begin{bmatrix} L_{qsqr} & L_{qsd़} \\ L_{dsqr} & L_{dsqr} \end{bmatrix} \cdot \begin{bmatrix} \cos\theta_r & -\sin\theta_r \\ \sin\theta_r & \cos\theta_r \end{bmatrix} \begin{bmatrix} i_{qr}^s \\ i_{dr}^s \end{bmatrix} \quad (5)$$

เมื่อค่าเห็นใจนานามแม่เหล็กระหว่างแกน d-q ในผู้ช่วยของสมการ (5) ดังจากกันทำให้มีค่าความเห็นใจนาเป็นศูนย์ จัดรูปสมการ (5) ใหม่จะได้ว่า

$$\begin{bmatrix} V_{qs}^s \\ V_{ds}^s \end{bmatrix} = \begin{bmatrix} r_{qs} & 0 \\ 0 & r_{ds} \end{bmatrix} \begin{bmatrix} i_{qs}^s \\ i_{ds}^s \end{bmatrix} + \begin{bmatrix} L_{qsqr} & 0 \\ 0 & L_{qsqr} \end{bmatrix} p \begin{bmatrix} i_{qs}^s \\ i_{ds}^s \end{bmatrix} + p \begin{bmatrix} L_{qsqr} \cos\theta_r & -L_{qsqr} \sin\theta_r \\ L_{dsdr} \sin\theta_r & L_{dsdr} \cos\theta_r \end{bmatrix} \begin{bmatrix} i_{qr}^s \\ i_{dr}^s \end{bmatrix} \quad (6)$$

นั้นก็คือ

ว. สงขลานครินทร์ วทท.
ปีที่ 28 ฉบับที่ 6 พ.ย. - ธ.ค. 2549

1339

การจำลองผลลัพธ์ เห็นได้ชัดเจน
ศักดิ์ระวี วงศ์วิจิต และคณะ

$$\begin{bmatrix} V_{qs}^s \\ V_{ds}^s \end{bmatrix} = \begin{bmatrix} r_{qs} & 0 \\ 0 & r_{ds} \end{bmatrix} \begin{bmatrix} i_{qs}^s \\ i_{ds}^s \end{bmatrix} + \begin{bmatrix} L_{qsqr} & 0 \\ 0 & L_{qsqr} \end{bmatrix} p \begin{bmatrix} i_{qs}^s \\ i_{ds}^s \end{bmatrix} + \left\{ \begin{bmatrix} -\omega_r L_{qsqr} \sin \theta_r & -\omega_r L_{qsqr} \cos \theta_r \\ \omega_r L_{dsdr} \cos \theta_r & -\omega_r L_{dsdr} \sin \theta_r \end{bmatrix} \begin{bmatrix} i_{qr}^s \\ i_{dr}^s \end{bmatrix} \right\} + \begin{bmatrix} L_{qsqr} \cos \theta_r & -L_{qsqr} \sin \theta_r \\ L_{dsdr} \sin \theta_r & L_{dsdr} \cos \theta_r \end{bmatrix} p \begin{bmatrix} i_{qr}^s \\ i_{dr}^s \end{bmatrix} \quad (7)$$

2) พิจารณาที่โรเตอร์

พิจารณาในกรณีที่โรเตอร์สมมาตร กล่าวคือ จำนวนรอบของคลื่วน้ำในแนวแกน d และ q มีค่าเท่ากันและ ความต้านทานของชุดของลวดที่โรเตอร์ในแนวแกน d และ q จะมีค่าเท่ากัน ($r_{qr} = r_{dr} = r_r$) และสมการแรงตันที่โรเตอร์ เป็นดังนี้

$$\begin{aligned} V_{qr}^r &= r_{qr} i_{qr} + L_{qrqr} p i_{qr} + L_{qsds} p i_{dr} + L_{qrsq} p i_{qs} + L_{qrdq} p i_{ds} \\ V_{dr}^r &= r_{dr} i_{dr} + L_{drqr} p i_{qr} + L_{dsds} p i_{dr} + L_{dqsq} p i_{qs} + L_{drds} p i_{ds} \end{aligned}$$

และอาจจัดให้อยู่ในรูปสมการเมตริกซ์ได้ดังนี้

$$\begin{bmatrix} V_{qr}^r \\ V_{dr}^r \end{bmatrix} = \begin{bmatrix} r_{qr} + pL_{qrqr} & pL_{qrdr} \\ pL_{drqr} & r_{dr} + pL_{drdr} \end{bmatrix} \begin{bmatrix} i_{qr}^r \\ i_{dr}^r \end{bmatrix} + p \begin{bmatrix} L_{qrqs} & L_{qrdq} \\ L_{drqr} & L_{drds} \end{bmatrix} \begin{bmatrix} i_{qs}^s \\ i_{ds}^s \end{bmatrix} \quad (8)$$

ทำการยกย่อตัวแปรแรงดันและกระแสที่อยู่บนโรเตอร์ไปยังสเตเตอრ ด้วยหลักการแปลงแกนดังนี้
แปลงกระแส

$$\begin{bmatrix} i_r^r \\ i_r^s \end{bmatrix} = [k]^{-1} \begin{bmatrix} i_r^s \\ i_r^r \end{bmatrix} \quad (9)$$

แปลงแรงดัน

$$\begin{bmatrix} V_r^r \\ V_r^s \end{bmatrix} = [k]^{-1} \begin{bmatrix} V_r^s \\ V_r^r \end{bmatrix} \quad (10)$$

สมการ (8) จึงอาจเขียนแสดงได้ดังรูปสมการ (11) และ (12) ตามลำดับ

$$[k]^{-1} \begin{bmatrix} V_{qr}^s \\ V_{dr}^s \end{bmatrix} = \begin{bmatrix} r_{qr} + pL_{qrqr} & pL_{qrdr} \\ pL_{drqr} & r_{dr} + pL_{drdr} \end{bmatrix} \bullet [k]^{-1} \begin{bmatrix} i_{qr}^s \\ i_{dr}^s \end{bmatrix} + p \begin{bmatrix} L_{qrqs} & L_{qrdq} \\ L_{drqr} & L_{drds} \end{bmatrix} \begin{bmatrix} i_{qs}^s \\ i_{ds}^s \end{bmatrix} \quad (11)$$

$$\begin{bmatrix} V_{qr}^s \\ V_{dr}^s \end{bmatrix} = [k] \begin{bmatrix} r_{qr} & 0 \\ 0 & r_{dr} \end{bmatrix} [k]^{-1} \begin{bmatrix} i_{qr}^s \\ i_{dr}^s \end{bmatrix} + [k] \begin{bmatrix} L_{qrqr} & L_{qrdr} \\ L_{drqr} & L_{drdr} \end{bmatrix} [k]^{-1} p \begin{bmatrix} i_{qr}^s \\ i_{dr}^s \end{bmatrix} + p \begin{bmatrix} L_{qrqs} & L_{qrdq} \\ L_{drqr} & L_{drds} \end{bmatrix} \begin{bmatrix} i_{qs}^s \\ i_{ds}^s \end{bmatrix} \quad (12)$$

พิจารณาผังของสมการ (12) จะเห็นว่ามีสามพจน์รวมกันทางพีชคณิต เมื่อพิจารณาพจน์ที่ 1 คือพจน์ที่อยู่ชุดแรก ทางผังของสมการ นั้นคือ

$$[k] \begin{bmatrix} r_{qr} & 0 \\ 0 & r_{dr} \end{bmatrix} [k]^{-1} \begin{bmatrix} i_{qr}^s \\ i_{dr}^s \end{bmatrix}$$

ทำการแทนค่าเมตริกซ์ $[k]$ และเมตริกซ์ $[k]^{-1}$ จะได้

$$\begin{bmatrix} \cos\theta_r & \sin\theta_r \\ -\sin\theta_r & \cos\theta_r \end{bmatrix} \begin{bmatrix} r_{qr} & 0 \\ 0 & r_{dr} \end{bmatrix} \bullet \begin{bmatrix} \cos\theta_r & -\sin\theta_r \\ \sin\theta_r & \cos\theta_r \end{bmatrix} \begin{bmatrix} i_{qr}^s \\ i_{dr}^s \end{bmatrix}$$

จัดรูปให้ง่ายขึ้นจะได้

$$\begin{bmatrix} r_{qr} \cos^2\theta_r + r_{dr} \sin^2\theta_r & -r_{qr} \cos\theta_r \sin\theta_r + r_{dr} \sin\theta_r \cos\theta_r \\ -r_{qr} \cos\theta_r \sin\theta_r + r_{dr} \sin\theta_r \cos\theta_r & r_{dr} \cos^2\theta_r + r_{qr} \sin^2\theta_r \end{bmatrix} \begin{bmatrix} i_{qr}^s \\ i_{dr}^s \end{bmatrix}$$

ในกรณีที่ $r_{qr} = r_{dr} = r_r$ ตลอดจน $\cos^2\theta_r + \sin^2\theta_r = 1$

พจน์ดังกล่าวจะลดรูปเป็น

$$\begin{bmatrix} r_r & 0 \\ 0 & r_r \end{bmatrix} \begin{bmatrix} i_{qr}^s \\ i_{dr}^s \end{bmatrix} \quad (13)$$

พิจารณาส่วนที่ 2 ที่อยู่ทางฝั่งขวาของสมการ (12) ในกรณีที่ค่าความเหนี่ยวนำร่วมระหว่างแกน d-q ของโรเตอร์มีค่าเท่ากันคุณย์เนื่องจากแกนทั้งสองอยู่ในตำแหน่งทำมุมตั้งจากซึ่งกันและกัน พร้อมทั้งแทนค่าเมตริกซ์ $[k]$ และ $[k]^{-1}$ พจน์ที่ได้เป็นดังนี้

$$\begin{bmatrix} \cos\theta_r & \sin\theta_r \\ -\sin\theta_r & \cos\theta_r \end{bmatrix} \begin{bmatrix} L_{qrqr} & 0 \\ 0 & L_{drdr} \end{bmatrix} \bullet \begin{bmatrix} \cos\theta_r & -\sin\theta_r \\ \sin\theta_r & \cos\theta_r \end{bmatrix} p \begin{bmatrix} i_{qr}^s \\ i_{dr}^s \end{bmatrix} \quad (14)$$

จัดรูปให้ง่ายขึ้นจะได้

$$\begin{bmatrix} L_{qrqr} \cos^2\theta_r + L_{drdr} \sin^2\theta_r & -L_{qrqr} \sin\theta_r \cos\theta_r + L_{drdr} \sin\theta_r \cos\theta_r \\ -L_{qrqr} \sin\theta_r \cos\theta_r + L_{drdr} \sin\theta_r \cos\theta_r & L_{qrqr} \cos^2\theta_r + L_{drdr} \sin^2\theta_r \end{bmatrix} p \begin{bmatrix} i_{qr}^s \\ i_{dr}^s \end{bmatrix} \quad (15)$$

เมื่อความเหนี่ยวนำตัวเอง (self inductance) ของโรเตอร์บริเวณแกน q และ d มีค่าเท่ากัน $L_{qrqr} = L_{drdr}$ เนื่องจากมีจำนวนรอบของชุดลวดเดียวกัน พจน์ (15) สามารถลดรูปได้เป็นดังนี้

$$\begin{bmatrix} L_{qrqr} & 0 \\ 0 & L_{qrqr} \end{bmatrix} p \begin{bmatrix} i_{qr}^s \\ i_{dr}^s \end{bmatrix} \quad (16)$$

เมื่อพิจารณาพจน์ที่ 3 คือพจน์ที่อยู่ชุดสุดท้ายทางฝั่งขวาของสมการ (12) ซึ่งก็คือ

$$p \left\{ \left[\begin{bmatrix} \cos\theta_r & \sin\theta_r \\ -\sin\theta_r & \cos\theta_r \end{bmatrix} \begin{bmatrix} L_{qrs} & L_{qds} \\ L_{drqs} & L_{drds} \end{bmatrix} \right] \begin{bmatrix} i_{qs}^s \\ i_{ds}^s \end{bmatrix} \right\} \quad (17)$$

เมื่อคืออนุพันธ์อันดับหนึ่งที่เทียบกับเวลาเราสามารถจัดรูปพจน์ (17) ได้ใหม่ดังนี้

$$\begin{aligned} & \begin{bmatrix} -\omega_r L_{qrs} \sin\theta_r + \omega_r L_{drqs} \cos\theta_r & -\omega_r L_{qrs} \sin\theta_r + \omega_r L_{drds} \cos\theta_r \\ -\omega_r L_{qrs} \cos\theta_r - \omega_r L_{drqs} \sin\theta_r & -\omega_r L_{qrs} \cos\theta_r - \omega_r L_{drds} \sin\theta_r \end{bmatrix} + \\ & \begin{bmatrix} L_{qrs} \sin\theta_r + L_{drqs} \sin\theta_r & L_{qrs} \cos\theta_r + L_{drds} \sin\theta_r \\ -L_{qrs} \sin\theta_r + L_{drqs} \cos\theta_r & -L_{qrs} \sin\theta_r + L_{drds} \cos\theta_r \end{bmatrix} p \begin{bmatrix} i_{qr}^s \\ i_{dr}^s \end{bmatrix} \end{aligned} \quad (18)$$

ว. สงขลาวนครินทร์ วทก.

ปีที่ 28 ฉบับที่ 6 พ.ย.-ธ.ค. 2549

1341

การจัดการผลิตอิเล็กทรอนิกส์
ศักดิ์ระชี ราชภัฏ แพรฯ

เมื่อนำพจน์ (13), (16) และ (17) แทนกลับลงไปในสมการ (12) จะได้สมการ (19) จากการที่ย้ายค่ากระแสแม่เหล็กน แกน dq ของสเตเตอร์จะทำให้ค่าความเห็นใจว่าระหว่างแกน d และแกน q หายไป เนื่องจากขาดลวดหั้งสองหัวมุกัน 90 องศา

$$\begin{aligned} & \left[\begin{array}{cc} V_{qr}^s & r_r \\ V_{dr}^s & 0 \end{array} \right] \left[\begin{array}{c} i_{qr}^s \\ i_{dr}^s \end{array} \right] + \left[\begin{array}{cc} L_{qrqr} & 0 \\ 0 & L_{qqrq} \end{array} \right] P \left[\begin{array}{c} i_{qr}^s \\ i_{dr}^s \end{array} \right] + \\ & \left[\begin{array}{cc} -\omega_r L_{qrqs} \sin \theta_r + \omega_r L_{drqs} \cos \theta_r & -\omega_r L_{qrds} \sin \theta_r + \omega_r L_{drds} \cos \theta_r \\ -\omega_r L_{qrqs} \cos \theta_r - \omega_r L_{drqs} \sin \theta_r & -\omega_r L_{qrds} \cos \theta_r - \omega_r L_{drds} \sin \theta_r \end{array} \right] + \\ & \left[\begin{array}{cc} L_{grqs} \cos \theta_r + L_{drqs} \sin \theta_r & L_{grds} \cos \theta_r + L_{drds} \sin \theta_r \\ -L_{grqs} \sin \theta_r + L_{drqs} \cos \theta_r & -L_{grds} \sin \theta_r + L_{drds} \cos \theta_r \end{array} \right] P \left[\begin{array}{c} i_{qr}^s \\ i_{dr}^s \end{array} \right] \quad (19) \end{aligned}$$

จะได้ผลลัพธ์ที่ย้ายมาอยู่บนแกน q ของสเตเตอร์ไม่สามารถสร้างความเห็นใจว่าแนวโน้มยังแกน d ของสเตเตอร์ได้ ค่าความเห็นใจว่านาของแกน dq ในสมการ (19) จึงมีค่าเป็นศูนย์ นั่นคือ

$$\begin{aligned} & \left[\begin{array}{cc} V_{qr}^s & r_r \\ V_{dr}^s & 0 \end{array} \right] \left[\begin{array}{c} i_{qr}^s \\ i_{dr}^s \end{array} \right] + \left[\begin{array}{cc} L_{qrqr} & 0 \\ 0 & L_{qqrq} \end{array} \right] P \left[\begin{array}{c} i_{qr}^s \\ i_{dr}^s \end{array} \right] + \left[\begin{array}{cc} -\omega_r L_{qrqs} \sin \theta_r & \omega_r L_{drds} \cos \theta_r \\ -\omega_r L_{qrqs} \cos \theta_r & \omega_r L_{drds} \sin \theta_r \end{array} \right] i_{dr}^s + \\ & \left[\begin{array}{cc} L_{grqs} \cos \theta_r & L_{drds} \sin \theta_r \\ -L_{grqs} \sin \theta_r & L_{drds} \cos \theta_r \end{array} \right] P \left[\begin{array}{c} i_{qr}^s \\ i_{dr}^s \end{array} \right] \quad (20) \end{aligned}$$

เมื่อทำการแปลงแกนตามหลักการกรอบอังกฤษกับที่ ตั้งที่ได้แสดงมาแล้วข้างต้น สามารถน้าส่วนที่เป็นสมการแรงดันของสเตเตอร์และโรเตอร์มาเขียนให้อยู่ในรูปสมการเมตริกซ์ได้ดังสมการ (21)

$$\begin{aligned} & \left[\begin{array}{c} V_{qs}^s \\ V_{ds}^s \\ V_{qr}^s \\ V_{dr}^s \end{array} \right] = \left[\begin{array}{cccc} r_{qs} & 0 & -\omega_r L_{qsqr} \sin \theta_r & -\omega_r L_{qsd़r} \cos \theta_r \\ 0 & r_{ds} & \omega_r L_{dsqr} \cos \theta_r & -\omega_r L_{dsdr} \cos \theta_r \\ -\omega_r L_{qrqs} \sin \theta_r & -\omega_r L_{drdr} \cos \theta_r & r_r & 0 \\ -\omega_r L_{qrqs} \cos \theta_r & -\omega_r L_{drdr} \cos \theta_r & 0 & r_r \end{array} \right] \left[\begin{array}{c} i_{qs}^s \\ i_{ds}^s \\ i_{qr}^s \\ i_{dr}^s \end{array} \right] + \\ & \left[\begin{array}{cccc} L_{qsqs} & 0 & L_{qsqr} \cos \theta_r & -L_{qsqr} \sin \theta_r \\ 0 & L_{dsds} & L_{dsdr} \sin \theta_r & L_{dsdr} \cos \theta_r \\ L_{grqs} \cos \theta_r & L_{drdr} \sin \theta_r & L_{qsqr} & 0 \\ -L_{grqs} \sin \theta_r & L_{drdr} \cos \theta_r & 0 & L_{drdr} \end{array} \right] P \left[\begin{array}{c} i_{qs}^s \\ i_{ds}^s \\ i_{qr}^s \\ i_{dr}^s \end{array} \right] \quad (21) \end{aligned}$$

สมการ (21) สามารถหาค่าความสัมพันธ์ของค่าแรงดัน กระแส ความต้านทาน และจำนวนรอบของชุดลวดแต่ละชุดเมื่อย้ายตัวเร็บนแกน dq ของโรเตอร์ไปอยู่บนแกน dq ของสเตเตอร์ ก็หนดให้

N_{qs} คือ จำนวนรอบของชุดลวดหลัก (Main winding)

N_{ds} คือ จำนวนรอบของชุดลวดช่วย (Auxiliary winding)

$N_{qr} = N_{dr} = N_r$ คือ จำนวนรอบของชุดลวดโรเตอร์

และค่าที่ไม่ต้องก หมายถึงค่าที่ย้ายมาอยู่บนแกนอังกิง q ของสเตเตอร์

$$\begin{aligned}
 V'_{ds} &= \frac{N_{qs}}{N_{ds}} V_{ds} & i'_{ds} &= \frac{N_{qs}}{N_{ds}} i_{ds} \\
 L_{mq} &= N_{qs}^2 P_g & L'_{ds} &= \left(\frac{N_{qs}}{N_{ds}} \right)^2 N_{ds}^2 P_g = L_{mq} \\
 L'_{lds} &= \left(\frac{N_{qs}}{N_{ds}} \right)^2 L_{lds} & r'_{ds} &= \left(\frac{N_{qs}}{N_{ds}} \right)^2 r_{ds} \\
 L'_{lr} &= \left(\frac{N_{qs}}{N_r} \right)^2 L_{lr} & r'_r &= \left(\frac{N_{qs}}{N_r} \right)^2 r_r \\
 V'_{qr} &= \frac{N_r}{N_{qs}} V_{qr}^s & V'_{dr} &= \frac{N_{qs}}{N_r} V_{dr}^s \\
 i'_{qr} &= \frac{N_r}{N_{qs}} i_{qr}^s & i'_{dr} &= \frac{N_r}{N_{qs}} i_{dr}^s
 \end{aligned}$$

สามารถเปลี่ยนค่าความเหนี่ยวนำสำหรับชุดเดียวกันแต่ละชุดเป็นค่าความเหนี่ยวนำแม่เหล็ก (magnetic inductance) ด้วย
ความสัมพันธ์ดังต่อไปนี้ (Ong, 1998)

$$\begin{aligned}
 L_{qqsq} &= L_{qs} + N_{qs}^2 P_g & L_{dsds} &= L_{lds} + N_{ds}^2 P_g \\
 L_{qspq} &= N_{qs} N_{qr} P_g & L_{qsdq} &= N_{qs} N_{dr} P_g \\
 L_{dsqr} &= N_{ds} N_{qr} P_g & L_{dsdr} &= N_{ds} N_{dr} P_g \\
 L_{qrqr} &= L_{qr} + N_{qr}^2 P_g & L_{drdr} &= L_{dr} + N_{dr}^2 P_g
 \end{aligned}$$

แทนค่าดังๆ ลงในสมการ (21) โดยพิจารณาให้จำนวนนรอบของชุดเดียวกัน จะได้ว่า

$$\begin{aligned}
 \begin{bmatrix} V_{qs}^s \\ V_{ds}^s \\ V_{qr}^s \\ V_{dr}^s \end{bmatrix} &= \begin{bmatrix} r_{qs} & 0 & -\omega_r L_{mqs} \sin \theta_r & -\omega_r L_{mqs} \cos \theta_r \\ 0 & r'_{ds} & \omega_r L_{mqs} \cos \theta_r & -\omega_r L_{mqs} \cos \theta_r \\ -\omega_r L_{mqs} \sin \theta_r & \omega_r L_{mqs} \cos \theta_r & r'_r & 0 \\ -\omega_r L_{mqs} \cos \theta_r & -\omega_r L_{mqs} \cos \theta_r & 0 & r'_r \end{bmatrix} \begin{bmatrix} i_{qs} \\ i_{ds} \\ i_{qr} \\ i_{dr} \end{bmatrix} + \\
 &\quad \begin{bmatrix} L'_{qs} + L_{mqs} & 0 & L_{mqs} \cos \theta_r & -L_{mqs} \sin \theta_r \\ 0 & (L'_{qs} + L_{mqs}) & L_{mqs} \sin \theta_r & L_{mqs} \cos \theta_r \\ L_{mqs} \cos \theta_r & L_{mqs} \sin \theta_r & (L'_{lr} + L_{mqs}) & 0 \\ -L_{mqs} \sin \theta_r & L_{mqs} \cos \theta_r & 0 & (L'_{lr} + L_{mqs}) \end{bmatrix} P \begin{bmatrix} i_{qs} \\ i_{ds} \\ i_{qr} \\ i_{dr} \end{bmatrix} \quad (22)
 \end{aligned}$$

และสามารถถอดรหัสในรูปสมการสเต็ตได้ดังนี้

$$\frac{d}{dt}[i] = [A][i] + [B][v] \quad (23)$$

ว. สงขลานครินทร์ วทก.
ปีที่ 28 ฉบับที่ 6 พ.ย.-ธ.ค. 2549

1343

การจำลองผลมอเตอร์เพื่อยานนำไฟฟ้าเดี่ยว
ศักดิ์วิวี ระวีกุล และคณะ

$$[i] = \begin{bmatrix} i_{qs} & i'_{ds} & i'_{qr} & i'_{dr} \end{bmatrix}^T$$

$$[v] = \begin{bmatrix} V_{qs} & V'_{ds} & V'_{qr} & V'_{dr} \end{bmatrix}^T$$

$$[A] = [D]^{-1}[C]$$

$$[B] = [D]^{-1}$$

$$[C] = \begin{bmatrix} -r_{qs} & 0 & \omega_r L_{mqs} \sin \theta_r & \omega_r L_{mqs} \cos \theta_r \\ 0 & -r'_{ds} & -\omega_r L_{mqs} \cos \theta_r & \omega_r L_{mqs} \cos \theta_r \\ \omega_r L_{mqs} \sin \theta_r & -\omega_r L_{mqs} \cos \theta_r & -r'_r & 0 \\ \omega_r L_{mqs} \cos \theta_r & \omega_r L_{mqs} \cos \theta_r & 0 & -r'_r \end{bmatrix}$$

และ

$$[D] = \begin{bmatrix} L'_{lqs} + L_{mqs} & 0 & L_{mqs} \cos \theta_r & -L_{mqs} \sin \theta_r \\ 0 & (L'_{lqs} + L_{mqs}) & L_{mqs} \sin \theta_r & L_{mqs} \cos \theta_r \\ L_{mqs} \cos \theta_r & L_{mqs} \sin \theta_r & (L'_{lr} + L_{mqs}) & 0 \\ -L_{mqs} \sin \theta_r & L_{mqs} \cos \theta_r & 0 & (L'_{lr} + L_{mqs}) \end{bmatrix}$$

เมื่อพิจารณาการเคลื่อนที่ของโรเตอร์ โดยใช้กฎการเคลื่อนที่ของนิวตัน (Krishnan, 2001) สมการเชิงกลอาจเขียนแสดงได้ดังนี้

$$\frac{d\omega_r}{dt} = \frac{P}{2J_m} T_e(t) - \frac{P}{2J_m} T_L(t) - \frac{B_m \omega_r(t)}{J_m}$$

เมื่อ T_e คือแรงบิดทางแม่เหล็กไฟฟ้า (Electromagnetic Torque)

$$T_e = \left(\frac{P}{2} \right) L_{mqs} i_{qs} (-i_{qs} \sin \theta_r - i'_{dr} \cos \theta_r) + L_{mqs} i'_{ds} (i'_{qr} \cos \theta_r - i'_{dr} \sin \theta_r)$$

$$\text{และ } \frac{d\theta_r}{dt} = \omega_r$$

จัดให้อยู่ในรูปสมการสแตก

$$\begin{bmatrix} \frac{d\omega_r}{dt} \\ \frac{d\theta_r}{dt} \end{bmatrix} = \begin{bmatrix} -\frac{B_m}{J_m} & 0 \\ 1 & 0 \end{bmatrix} \begin{bmatrix} \omega_r \\ \theta_r \end{bmatrix} + \begin{bmatrix} \frac{P}{2J_m} \\ 0 \end{bmatrix} [T_e - T_L] \quad (24)$$

เมื่อรวมแบบจำลองปริภูมิสแตกสถานะของทั้งท่อไฟฟ้าและทางกลเข้าด้วยกันจะได้แบบจำลองปริภูมิสแตกสถานะของมอเตอร์ไฟฟ้ากระแสสลับชนิดเหนี่ยวนำแบบหนึ่งเพลสดังนี้

$$\begin{bmatrix} \frac{d[i]_{4x1}}{dt} \\ \frac{d\omega_r}{dt} \\ \frac{d\theta_r}{dt} \end{bmatrix} = \begin{bmatrix} [\mathfrak{R}]_{4x4} & \cdots & \cdots \\ \vdots & \ddots & \\ 0 & -\frac{B}{Jm} & 0 \\ \vdots & 1 & 0 \end{bmatrix} \quad (25)$$

โดยที่

$$[i]_{4 \times 1} = [i_{qs} \quad i'_{ds} \quad i'_{qr} \quad i'_{dr}]^T$$

$$[\mathfrak{R}]_{4 \times 4} = [A] = [D]^{-1}[C]$$

$$[\mathfrak{N}]_{4 \times 4} = [B] = [D]^{-1}$$

2. แบบจำลองทางคณิตศาสตร์สำหรับการต่อขานมอเตอร์ n ตัว

ตามที่ได้นำเสนอการพัฒนาแบบจำลองทางคณิตศาสตร์ของมอเตอร์เหนี่ยวนำหนึ่งเฟสโดยใช้วิธีการแปลงแกน ในการวิจัยนี้ได้นำมาพัฒนาเพื่อให้ได้แบบจำลองสำหรับการขานมอเตอร์หลาຍๆ ตัวที่ใช้อุปกรณ์ขับเคลื่อนเพียงชุดเดียว การพัฒนาแบบจำลองทางคณิตศาสตร์ของการต่อขานมอเตอร์หลาຍๆ ตัวนี้ จะอาศัยหลักการถ่ายโอนแกนเมื่อทำการ พัฒนาแบบจำลองทางคณิตศาสตร์สำหรับตัวเดียว โดยจะพิจารณาระบบที่ประกอบไปด้วย มอเตอร์เหนี่ยวนำที่มีชุดคลัว 3 ชุด คือ ชุดคลัวหลัก ชุดคลัวซ้าย และชุดคลัวขวา ตลอดที่มอเตอร์ นำมารอขานกันหลาຍๆ ตัวรับพลังงานจากแหล่งจ่ายเพียงชุดเดียวจังแสดงใน Figure 3 จากสมการ (26) จะได้สมการที่เป็นแบบจำลองทางพลวัตของมอเตอร์เหนี่ยวนำหนึ่งเฟสซึ่งสามารถนำมารวบรวมและพัฒนาให้เป็นแบบจำลองทางคณิตศาสตร์ของการขานมอเตอร์เหนี่ยวนำหนึ่งเฟสโดยตัว สภาพการที่ได้จะอยู่ในรูปสมการปริภูมิสัมภ์ ดังสมการ (27) ซึ่งแสดงตัวอย่างการขานมอเตอร์ 2 ตัว ในสมการจะเห็นได้ว่าเมตริกซ์ $[V]$ มีขนาด 4 แถว 1 หลัก ที่อยู่ทางด้านขวาสุดของสมการปริภูมิสัมภ์ในมอเตอร์ตัวที่ 1 และตัวที่ 2 นั้นจะเป็นชุดเมตริกซ์ชุดเดียวกัน จาวิธีนี้สามารถนำมารพัฒนาแบบจำลองทางคณิตศาสตร์ของการขานมอเตอร์เหนี่ยวนำหลาຍๆ ตัวหรือ n ตัวที่มีแหล่งจ่ายแรงดันไฟฟ้าเดียวกันได้ดังแสดงในสมการ (28) โดยที่

$$[A_n] = \begin{bmatrix} i_{qs} \\ i'_{ds} \\ i'_{qr} \\ i'_{dr} \\ \omega_m \\ \theta_m \end{bmatrix} \text{ และ } [\Theta_n] = \begin{bmatrix} V_{qs} \\ V'_{ds} \\ V'_{qr} \\ V'_{dr} \\ T_e - T_L \\ 0 \end{bmatrix}$$

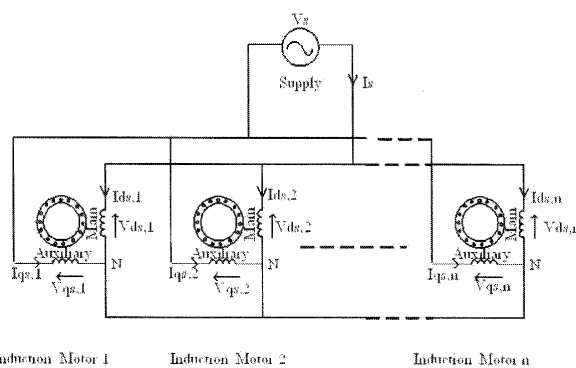


Figure 3. Schematic diagram for a group of n parallel motors

ว. สงขลานครินทร์ วทก.
ปีที่ 28 ฉบับที่ 6 พ.ย.-ธ.ค. 2549

1345

การจัดการผลิตเครื่องเรือนเพื่อส่งออก
ศักดิ์ระดับ ระดับกุศล และคุณภาพ

สมการที่ 26

$$\left[\begin{array}{c} d[i]_{4 \times 1} \\ \hline \frac{dt}{d\omega_r} \\ \frac{dt}{d\theta_r} \\ \frac{dt}{d\theta_r} \end{array} \right] = \left[\begin{array}{cccccc} \mathfrak{R}_{11} & \mathfrak{R}_{12} & \mathfrak{R}_{13} & \mathfrak{R}_{14} & 0 & 0 \\ \mathfrak{R}_{21} & \mathfrak{R}_{22} & \mathfrak{R}_{23} & \mathfrak{R}_{24} & 0 & 0 \\ \mathfrak{R}_{31} & \mathfrak{R}_{32} & \mathfrak{R}_{33} & \mathfrak{R}_{34} & 0 & 0 \\ \mathfrak{R}_{41} & \mathfrak{R}_{42} & \mathfrak{R}_{43} & \mathfrak{R}_{44} & 0 & 0 \\ 0 & 0 & 0 & 0 & -\frac{B_m}{J_m} & 0 \\ 0 & 0 & 0 & 0 & 1 & 0 \end{array} \right] + \left[\begin{array}{c} [i]_{4 \times 1} \\ \hline \omega_r \\ \theta_r \end{array} \right] + \left[\begin{array}{cccccc} \mathfrak{x}_{11} & \mathfrak{x}_{12} & \mathfrak{x}_{13} & \mathfrak{x}_{14} & 0 & 0 \\ \mathfrak{x}_{21} & \mathfrak{x}_{22} & \mathfrak{x}_{23} & \mathfrak{x}_{24} & 0 & 0 \\ \mathfrak{x}_{31} & \mathfrak{x}_{32} & \mathfrak{x}_{33} & \mathfrak{x}_{34} & 0 & 0 \\ \mathfrak{x}_{41} & \mathfrak{x}_{42} & \mathfrak{x}_{43} & \mathfrak{x}_{44} & 0 & 0 \\ 0 & 0 & 0 & 0 & -\frac{p}{2J_m} & 0 \\ 0 & 0 & 0 & 0 & 1 & 0 \end{array} \right] \left[\begin{array}{c} [V]_{4 \times 1} \\ \hline T_e - T_L \\ 0 \end{array} \right]$$

สมการที่ 27

$$\left[\begin{array}{c} d[i]_{4 \times 1} \\ \hline \frac{dt}{d\omega_{r1}} \\ \frac{dt}{d\theta_{r1}} \\ \frac{dt}{d\omega_{r2}} \\ \frac{dt}{d\theta_{r2}} \end{array} \right] = \left[\begin{array}{cccccc} \mathfrak{R1}_{11} & \mathfrak{R1}_{12} & \mathfrak{R1}_{13} & \mathfrak{R1}_{14} & 0 & 0 & 0 & 0 & 0 & 0 & 0 \\ \mathfrak{R1}_{21} & \mathfrak{R1}_{22} & \mathfrak{R1}_{23} & \mathfrak{R1}_{24} & 0 & 0 & 0 & 0 & 0 & 0 & 0 \\ \mathfrak{R1}_{31} & \mathfrak{R1}_{32} & \mathfrak{R1}_{33} & \mathfrak{R1}_{34} & 0 & 0 & 0 & 0 & 0 & 0 & 0 \\ \mathfrak{R1}_{41} & \mathfrak{R1}_{42} & \mathfrak{R1}_{43} & \mathfrak{R1}_{44} & 0 & 0 & 0 & 0 & 0 & 0 & 0 \\ 0 & 0 & 0 & 0 & -\frac{B_{m1}}{J_{m1}} & 0 & 0 & 0 & 0 & 0 & 0 \\ 0 & 0 & 0 & 0 & 1 & 0 & 0 & 0 & 0 & 0 & 0 \\ 0 & 0 & 0 & 0 & 0 & 0 & \mathfrak{R2}_{11} & \mathfrak{R2}_{12} & \mathfrak{R2}_{13} & \mathfrak{R2}_{14} & 0 & 0 \\ 0 & 0 & 0 & 0 & 0 & 0 & \mathfrak{R2}_{21} & \mathfrak{R2}_{22} & \mathfrak{R2}_{23} & \mathfrak{R2}_{24} & 0 & 0 \\ 0 & 0 & 0 & 0 & 0 & 0 & \mathfrak{R2}_{31} & \mathfrak{R2}_{32} & \mathfrak{R2}_{33} & \mathfrak{R2}_{34} & 0 & 0 \\ 0 & 0 & 0 & 0 & 0 & 0 & \mathfrak{R2}_{41} & \mathfrak{R2}_{42} & \mathfrak{R2}_{43} & \mathfrak{R2}_{44} & 0 & 0 \\ 0 & 0 & 0 & 0 & 0 & 0 & 0 & 0 & 0 & 0 & -\frac{B_{m2}}{J_{m2}} & 0 \\ 0 & 0 & 0 & 0 & 0 & 0 & 0 & 0 & 0 & 0 & 1 & 0 \end{array} \right] \left[\begin{array}{c} [i_1]_{4 \times 1} \\ \hline \omega_{r1} \\ \theta_{r1} \\ [i_2]_{4 \times 1} \\ \hline \omega_{r2} \\ \theta_{r2} \end{array} \right]$$

$$\left[\begin{array}{cccccc} \mathfrak{x1}_{11} & \mathfrak{x1}_{12} & \mathfrak{x1}_{13} & \mathfrak{x1}_{14} & 0 & 0 & 0 & 0 & 0 & 0 & 0 \\ \mathfrak{x1}_{21} & \mathfrak{x1}_{22} & \mathfrak{x1}_{23} & \mathfrak{x1}_{24} & 0 & 0 & 0 & 0 & 0 & 0 & 0 \\ \mathfrak{x1}_{31} & \mathfrak{x1}_{32} & \mathfrak{x1}_{33} & \mathfrak{x1}_{34} & 0 & 0 & 0 & 0 & 0 & 0 & 0 \\ \mathfrak{x1}_{41} & \mathfrak{x1}_{42} & \mathfrak{x1}_{43} & \mathfrak{x1}_{44} & 0 & 0 & 0 & 0 & 0 & 0 & 0 \\ 0 & 0 & 0 & 0 & \frac{p_1}{2J_{m1}} & 0 & 0 & 0 & 0 & 0 & 0 \\ 0 & 0 & 0 & 0 & 1 & 0 & 0 & 0 & 0 & 0 & 0 \\ 0 & 0 & 0 & 0 & 0 & 0 & \mathfrak{x2}_{11} & \mathfrak{x2}_{12} & \mathfrak{x2}_{13} & \mathfrak{x2}_{14} & 0 & 0 \\ 0 & 0 & 0 & 0 & 0 & 0 & \mathfrak{x2}_{21} & \mathfrak{x2}_{22} & \mathfrak{x2}_{23} & \mathfrak{x2}_{24} & 0 & 0 \\ 0 & 0 & 0 & 0 & 0 & 0 & \mathfrak{x2}_{31} & \mathfrak{x2}_{32} & \mathfrak{x2}_{33} & \mathfrak{x2}_{34} & 0 & 0 \\ 0 & 0 & 0 & 0 & 0 & 0 & \mathfrak{x2}_{41} & \mathfrak{x2}_{42} & \mathfrak{x2}_{43} & \mathfrak{x2}_{44} & 0 & 0 \\ 0 & 0 & 0 & 0 & 0 & 0 & 0 & 0 & 0 & 0 & \frac{p_2}{2J_{m2}} & 0 \\ 0 & 0 & 0 & 0 & 0 & 0 & 0 & 0 & 0 & 0 & 1 & 0 \end{array} \right] \left[\begin{array}{c} [V]_{4 \times 1} \\ \hline T_e + T_{L1} \\ 0 \\ [V]_{4 \times 1} \\ \hline T_e + T_{L2} \\ 0 \end{array} \right]$$

สมการที่ 28

$$\frac{d}{dt} \begin{bmatrix} [\Lambda_1] \\ [\Lambda_2] \\ [\Lambda_3] \\ \vdots \\ [\Lambda_n] \end{bmatrix} = \begin{bmatrix} [R1]_{4 \times 4} & [0]_{4 \times 4} & [0]_{4 \times 4} & \cdots & [0]_{4 \times 4} \\ [0]_{4 \times 4} & [R2]_{4 \times 4} & [0]_{4 \times 4} & \cdots & [0]_{4 \times 4} \\ [0]_{4 \times 4} & [0]_{4 \times 4} & [R3]_{4 \times 4} & \vdots & [0]_{4 \times 4} \\ \vdots & \vdots & \vdots & \ddots & \vdots \\ [0]_{4 \times 4} & [0]_{4 \times 4} & [0]_{4 \times 4} & \cdots & [Rn]_{4 \times 4} \end{bmatrix} \begin{bmatrix} [\Lambda_1] \\ [\Lambda_2] \\ [\Lambda_3] \\ \vdots \\ [\Lambda_n] \end{bmatrix} + \begin{bmatrix} [N1]_{4 \times 4} & [0]_{4 \times 4} & [0]_{4 \times 4} & \cdots & [0]_{4 \times 4} \\ [0]_{4 \times 4} & [N2]_{4 \times 4} & [0]_{4 \times 4} & \cdots & [0]_{4 \times 4} \\ [0]_{4 \times 4} & [0]_{4 \times 4} & [N3]_{4 \times 4} & \vdots & [0]_{4 \times 4} \\ \vdots & \vdots & \vdots & \ddots & \vdots \\ [0]_{4 \times 4} & [0]_{4 \times 4} & [0]_{4 \times 4} & \cdots & [Nn]_{4 \times 4} \end{bmatrix} \begin{bmatrix} [\Theta_1] \\ [\Theta_2] \\ [\Theta_3] \\ \vdots \\ [\Theta_n] \end{bmatrix}$$

การจำลองผล

การจำลองผลสำหรับการตัวเรี่ม MATLAB โดยเริ่มจากการรับค่าพารามิเตอร์ของมอเตอร์แต่ละตัว และกำหนดค่าเริ่มต้นต่างๆ ของมอเตอร์ หลังจากนั้นก็จะเป็นกระบวนการคำนวณเชิงตัวเลข เพื่อหาค่าตัวแปรต่างๆ ของสมการ จากนั้นนำมาหาค่าแรงบิดและความชันสำนวนแม่เหล็กซึ่งมีอยู่ตามลำดับ ในกระบวนการทดสอบจำลองผลการขานวนมอเตอร์ 3 ตัว แบ่งการจำลองผลออกเป็น 4 ภาระด้วยกัน ได้แก่

ภาระ 1 กำหนดให้พารามิเตอร์และภาระของมอเตอร์แต่ละตัวเท่ากัน โดยมอเตอร์ทุกด้วยมีพารามิเตอร์เท่ากัน ตัวที่ 1

มอเตอร์ 1: พารามิเตอร์ชุดที่ 1, แรงบิดของโคลด์ตัวที่ 1

มอเตอร์ 2: พารามิเตอร์ชุดที่ 1, แรงบิดของโคลด์ตัวที่ 1

มอเตอร์ 3: พารามิเตอร์ชุดที่ 1, แรงบิดของโคลด์ตัวที่ 1

ภาระ 2 กำหนดให้พารามิเตอร์ของมอเตอร์เท่ากันทุกด้วยตัวแต่ละตัวแต่ต่างกัน โดยมอเตอร์ทุกด้วยมีพารามิเตอร์เท่ากันตัวที่ 1

มอเตอร์ 1: พารามิเตอร์ชุดที่ 1, แรงบิดของโคลด์ตัวที่ 1

มอเตอร์ 2: พารามิเตอร์ชุดที่ 1, แรงบิดของโคลด์ตัวที่ 2

มอเตอร์ 3: พารามิเตอร์ชุดที่ 1, แรงบิดของโคลด์ตัวที่ 3

ภาระ 3 กำหนดให้พารามิเตอร์แตกต่างกันและภาระของมอเตอร์แต่ละตัวเท่ากัน

มอเตอร์ 1: พารามิเตอร์ชุดที่ 1, แรงบิดของโคลด์ตัวที่ 1

มอเตอร์ 2: พารามิเตอร์ชุดที่ 2, แรงบิดของโคลด์ตัวที่ 1

มอเตอร์ 3: พารามิเตอร์ชุดที่ 3, แรงบิดของโคลด์ตัวที่ 1

ภาระ 4 กำหนดให้พารามิเตอร์และภาระของมอเตอร์แต่ละตัวแตกต่างกัน

มอเตอร์ 1: พารามิเตอร์ชุดที่ 1, แรงบิดของโคลด์ตัวที่ 1

มอเตอร์ 2: พารามิเตอร์ชุดที่ 2, แรงบิดของโคลด์ตัวที่ 2

มอเตอร์ 3: พารามิเตอร์ชุดที่ 3, แรงบิดของโคลด์ตัวที่ 3

ว. สงขลานครินทร์ วทก.
ปีที่ 28 ฉบับที่ 6 พ.ย.-ธ.ค. 2549

1347

การจำลองผลลัพธ์เมื่อยานนำไฟฟ้าเดิม
ศักดิ์ระวี ระวีกุล และคณะ

ขนาดแรงบิดของโอลด์ที่เป็นบีมหอยโข่ง 3 ตัว ซึ่งมีสมการของความล้มพังน้ำร่องบิดกับความเร็วเป็นดังนี้ $T = k\omega^2$

แรงบิดของโอลด์ตัวที่ 1: $1.8 \times 10^{-4} \omega^2 \text{ N.m}$

แรงบิดของโอลด์ตัวที่ 2: $9.5 \times 10^{-5} \omega^2 \text{ N.m}$

แรงบิดของโอลด์ตัวที่ 3: $7.5 \times 10^{-5} \omega^2 \text{ N.m}$

การจำลองผลจะใช้ค่าพารามิเตอร์สำหรับมอเตอร์แต่ละตัวดังแสดงใน Table 1 นี้ (Mademlis, 2005; Rahim, 2002) โดยแหล่งจ่ายพลังงานที่ให้แก่มอเตอร์จะควบคุมแรงดันไฟฟ้าขนาด 220V และความถี่ 50Hz คงที่อยู่ตลอดเวลาด้วยอินเวอร์เตอร์เพียงชุดเดียว (Kono *et al.*, 2000) ในการจำลองผลสภาวะต่างๆ 4 สภาวะนั้น ภาวะที่ใช้เป็นบีมหอยโข่ง 8 ตัวที่มีขนาดเท่ากันและแตกต่างกันตามสภาวะการทดสอบ ผลที่ได้แสดงด้วยตัวอย่างที่ 4 เป็นดังใน Figure 4-9 นี้

อภิปรายผล

จากการจำลองผลแบบจำลองทางคณิตศาสตร์ที่ได้พัฒนาขึ้นสำหรับการขนาดมอเตอร์เห็นได้ว่าน้ำหนักนิดหนึ่งเพียงหลาๆ ตัว โดยรับพลังงานจากแหล่งจ่ายที่ควบคุมด้วยอินเวอร์เตอร์เพียงชุดเดียว ผลที่ได้แสดงใน Figure 4-9

เป็นตัวอย่างผลการทดสอบในสภาวะที่ 4 จะเห็นได้ว่าเมื่อมอเตอร์เริ่มขับโอลด์จะมีการดึงกระแสในช่วงแรกๆ ก่อนจะเข้าสู่สภาวะคงตัว สอดคล้องกับความเร็วของมอเตอร์โดยสังเกตได้จากเวลาที่กระแสและความเร็วของมอเตอร์เข้าสู่สภาวะคงตัวมีค่าเท่ากัน ไม่ว่าการทดสอบจะมีการเปลี่ยนแปลงโหลดที่แตกต่างกันทั้ง 4 สภาวะ (Correa *et al.*, 1999) ผลที่ได้ยังคงมีความสอดคล้องกัน จากการทดสอบแบบจำลองในสภาวะต่างๆ ที่ได้ก่อความแล้วนั้นแสดงให้เห็นว่า แบบจำลองทางคณิตศาสตร์ของมอเตอร์เห็นได้ว่าน้ำหนักนิดหนึ่งเพียงต่อบนขนาด ก ตัวที่ได้พัฒนาขึ้นสามารถดำเนินการได้อย่างต่อเนื่อง ให้อายุ命มาก

สรุปและขอเสนอแนะ

แบบจำลองทางคณิตศาสตร์ของมอเตอร์เห็นได้ว่าน้ำหนักนิดหนึ่งเพียงต่อบนขนาด ก ตัวที่ได้นำเสนอในบทความนี้ เป็นแบบจำลองที่อยู่ในรูปของสมการปริภูมิสัมผัสด้วยแก้การนำไปประยุกต์ใช้ประโยชน์ในงานที่มีมอเตอร์เห็นได้ว่าน้ำหนักนิดหนึ่งเพียงตัวเดียว และ ก ตัว ซึ่งผลที่ได้จากการจำลองผลตัวโดยโปรแกรมคอมพิวเตอร์ในสภาวะต่างๆ มีความสอดคล้องกันเป็นอย่างดี

Table 1. Motor parameters (11)-(13)

Parameter set	poles	r_{qs} (Ω)	r'_{ds} (Ω)	r'_{r} (Ω)	L_{mqs} (Ω)	L_{lr} (Ω)	L_{lqs} (Ω)	L_{lds} (Ω)	J (kg.m^2)	B_m ($\text{N}\cdot\text{m}/\text{rad/sec}$)
1	4	4.3	2.6	2.01	105	1.8	1.01	1.8	0.0546	0.0002
2	4	1.3	2.6	2.01	105	2.8	2.01	2.8	0.0546	0.0002
3	4	3.2	7.2	2.00	54.97	3.2	3.61	2.09	0.0546	0.0002

Table 2. Steady-state performance of each test case

	Case 1			Case 2			Case 3			Case 4		
	M1	M2	M3									
Supply Current (A_{ms})	25.44			17.48			32.42			22.07		
Motor Current (A_{ms})	8.48	8.48	8.48	8.48	4.85	4.15	8.48	10.09	13.85	8.48	5.91	7.68
Motor Speed (rpm)	1402	1402	1402	1402	1450	1461	1402	1408	1370	1402	1452	1455
Load Torque (N.m)	14.27	14.27	14.27	14.27	7.78	6.14	14.27	14.46	17.74	14.27	9.33	8.62
Motor Slip	0.065	0.065	0.065	0.065	0.033	0.026	0.065	0.061	0.086	0.065	0.032	0.030

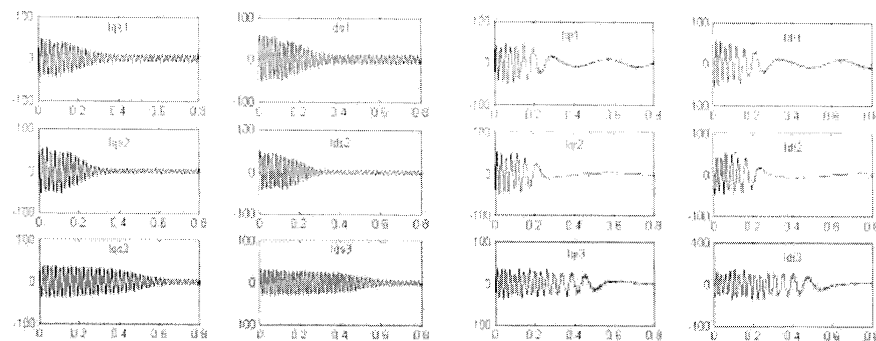


Figure 4. Stator currents (A) of case 4

Figure 5. Rotor currents (A) of case 3

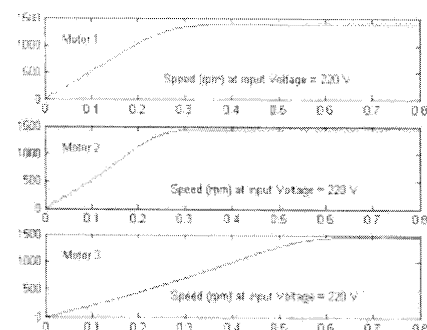


Figure 6. Motor speeds (rpm) of case 4

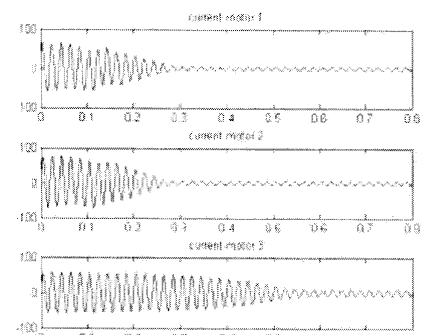


Figure 7. Rotor currents (A) of case 4

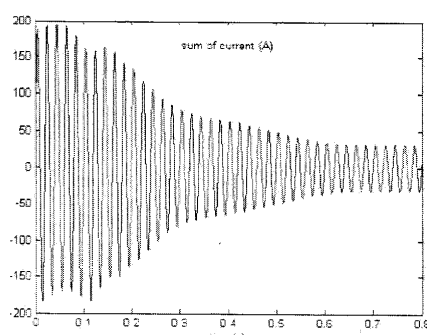


Figure 8. Currents (A) of the motor group of case 4

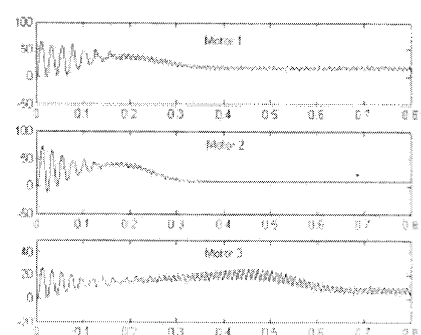


Figure 9. Motor torques (N.m) of case 4

เอกสารอ้างอิง

- Chee-Mun ong. 1998. Dynamic Simulation of Electric machineryusing MATLAB/SIMULINK, Prentice Hall.
- Correa, M.B.R., Jacobina, C.B., Lima, A.M.N. and da Silva, E.R.C. 1999. Single-phase induction motor Drives systems, IEEE Applied PoweElectronics Conference and Exposition (APEC'99), Vol. 1: 403-409.
- Correa, M.B.R., Jacobina, C.B., Lima, A.M.N. and da Silva, E.R.C. 2004. Vector control strategies for single-phase induction motor drive systems, IEEE Trans. IA, 51(5): 1073-1080.
- Jang, D.H. Voltage, frequency, and phase-difference angle control of PWM inverters-fed two-phase induction motors, IEEE Trans. PE, 9(4): 377-383.
- Kono, Y., Fushimi, T., and Matsuse K. 2000. Speed Senseless Vector Control of Parallel Connected Induction Motors, Proc. PIEMC' 2000, 2000: 278-283.
- Krause, P.C., Wasynczuk, O. and Sudhoff, S.D. 1995. Analysis of Electrical Machinery, Piscataway, Nj; IEEE Press.
- Krishnan, R. 2001. Electric Motor Drives Modeling, Analysis and Control, Prentice Hall.
- Mademlis, C., Kioskeridis, I., and Theodoulidis, T. 2005. Optimization of single-phase induction motors-Part I: maximum energy efficiency control, IEEE Trans. EC, 20(1): 187-195.
- Matsuse, K., Kouno, Y., Kawai, H. and Oikawa, J. 2004.Characteristics of speed sensorless vector controlled dual induction motor drive connected in parallel fed by a single inverter, IEEE Trans. IA, 40(1): 153-161.
- Matsumoto, Y., Ozaki, S. and Kawamura, A. 2001. A novel vector control of single-inverter multiple-induction-motors drives for Shinkansen traction system, IEEE Applied Power Electronics Conference and Exposition (APEC'2001.), 1: 608-614.
- Rahim, N.A. 2002. Operating of Single-Phase Induction Motor as Two-Phase Motor, IEEE Trans. IA, 38(6): 1566-1571.

Notation List

- B_m viscous friction coefficient (N/m/rad/sec)
 $i_{qs}, i_{ds}, i_{qr}, i_{dr}$ the q-axis and the d-axis current components of stator and rotor (A)
 J_m moment of inertia (Kg-m²)
 $N_{qs}, N_{ds}, N_{qr}, N_{dr}$ winding turns on the q-axis and the d-axis of stator and rotor
 L_{lqs} leakage inductance of the stator main winding (H)
 L_{lds} leakage inductance of the stator auxiliary winding (H)
 L_{lr} leakage inductance on the rotor winding (H)
 L_{mqs}, L_{mds} mutual inductances on the d- and the q-axes (H)
 L_{qsqs} self inductance on the stator q-axis (H)
 L_{qdsq} cross inductance between the stator q- and d-axes (H)
 L_{qsqr} cross inductance between the stator q-axis and the rotor q-axis (H)
 L_{qdqr} cross inductance between the stator q-axis and the rotor d-axis (H)
 L_{dsds} self inductance on the stator d-axis (H)
 L_{dsqr} cross inductance between the stator d-axis and the rotor q-axis (H)
 L_{dsdr} cross inductance between the stator d-axis and the rotor d-axis (H)
 p $\frac{d}{dt}$
 P number of poles (pole)
 P_g permeance of airgap
 $r_{qs}, r_{ds}, r_{qr}, r_{dr}$ the q-axis and the d-axis resistance components of stator and rotor ()
 T_e electromagnetic torque (Nm)
 T_L load torque (Nm)
 $V_{qs}, V_{ds}, V_{qr}, V_{dr}$ the q-exes and d-exes voltage components on stator and rotor(V)
 ω_r speed (rad/s)
 θ_r phase difference between the and axes (rad)
superscript *S* denotes stator-side quantities
superscript *r* denotes rotor-side quantities
superscript ' denotes transformed quantities to the reference q- axis of the stator

ประวัติผู้เขียน

นายศักดิ์ธีระวี ระวีกุล เกิดเมื่อวันที่ 17 มิถุนายน พ.ศ. 2515 ที่อำเภอเมือง จังหวัดอุดรธานี สำเร็จการศึกษาระดับปริญญาตรีวิศวกรรมศาสตรบัณฑิต (วิศวกรรมไฟฟ้า) จากศูนย์กลางมหาวิทยาลัยเทคโนโลยีราชมงคล เมื่อปี พ.ศ. 2538 และสำเร็จการศึกษาระดับปริญญาโท วิศวกรรมศาสตรมหาบัณฑิต (วิศวกรรมไฟฟ้า) จากมหาวิทยาลัยเทคโนโลยีสุรนารี เมื่อ พ.ศ. 2544 ได้รับทุนพัฒนาอาจารย์ จากมหาวิทยาลัยเทคโนโลยีราชมงคล เมื่อ พ.ศ. 2547 เป็นผู้ช่วยศาสตราจารย์ ประจำสาขาวิชาวิศวกรรมไฟฟ้า มหาวิทยาลัยเทคโนโลยีราชมงคลอีสาน และในปี พ.ศ. 2548 ได้รับทุนพัฒนาอาจารย์ จากมหาวิทยาลัยเทคโนโลยีสุรนารี โดยได้รับทุนอุดหนุน การทำวิจัยบางส่วนจากบประมาณแผ่นดิน ผ่านการพิจารณาโดยคณะกรรมการวิจัยแห่งชาติ